



UNIVERSITAT POLITÈCNICA DE VALÈNCIA

Escuela Técnica Superior de Ingeniería Aeroespacial y Diseño Industrial

Diseño de un procedimiento de aproximación GNSS para
el aeropuerto de El Hierro

Trabajo Fin de Grado

Grado en Ingeniería Aeroespacial

AUTOR/A: Palao Ros, Juan Ignacio

Tutor/a: Yuste Pérez, Pedro

Cotutor/a: Vila Carbó, Juan Antonio

CURSO ACADÉMICO: 2023/2024

Agradecimientos

Quiero expresar mi más profundo agradecimiento a mis padres, Juan Ignacio y Fernanda, por su inquebrantable apoyo, sacrificio y afecto incondicional. Gracias por alentar siempre mis inquietudes e intereses y por acompañarme en cada paso del camino siendo mi pilar fundamental.

A mi familia y amigos, por su presencia constante y apoyo a lo largo de los años. Agradezco su gran respaldo, ofreciéndome siempre los brazos abiertos. Finalmente, a Elia, por su inspiración y cariño.

A todos ellos y a todas las personas involucradas en mi formación académica y personal a lo largo de estos años, quiero expresar mi más sincero agradecimiento. Todos ellos forman parte de este y futuros proyectos.

Resumen

La presente memoria tiene por objetivo el diseño de tres procedimientos de aproximación instrumental GNSS al aeropuerto de El Hierro a sus pistas 34 y 16: LPV (APV-I SBAS), LNAV (NPA GNSS) y RNP-VPT.

Se lleva a cabo un estudio aeronáutico de la zona, incluyendo su historia y condiciones, así como un cálculo detallado de los procedimientos a implementar complementado con su representación en 3D. Para ello, se ha trabajado con la ayuda de el modelo de elevación de la isla proporcionado por el Instituto Geográfico Nacional MDT05 y MATLAB como herramienta principal cálculo con el objetivo de obtener resultados con la mayor precisión posible.

A través de los procedimientos desarrollados se pretende optimizar el flujo creciente de tráfico a la isla en los últimos años, actualizando los procedimientos de aproximación en vigor mejorando de esta forma su seguridad y capacidad operacional.

Abstract

The objective of this report is to design three GNSS instrumental approach procedures for El Hierro Airport's runways 34 and 16: LPV (APV-I SBAS), LNAV (NPA GNSS), and RNP-VPT.

An aeronautical study of the area, including its history and conditions, was conducted along with a detailed calculation of the procedures to be implemented, including their 3D representation. The elevation model of the island provided by the National Geographic Institute (MDT05) and MATLAB were used as the main calculation tools to achieve the highest possible accuracy.

The developed procedures aim to optimize the increasing flow of arrival traffics to the island by updating the current approach procedures to more actual technologies, thereby enhancing safety and capacity.

Índice general

Agradecimientos	I
Resumen	II
Abstract	IV
Memoria	1
1 Introducción.....	1
1.1 Marco global	1
1.2 Historia	3
1.3 Geografía y clima	3
1.4 Espacios aéreos.....	5
1.5 Flota usuaria.....	7
1.6 Futuro del aeropuerto de El Hierro.....	9
2 Diseño de aproximaciones a El Hierro	12
2.1 Introducción	12
2.1.1 Navegación Basada en Prestaciones (PBN).....	12
2.1.2 Sistemas GNSS.....	13
2.1.3 Especificación RNP APCH.....	14
2.1.4 Fases de una aproximación	14
2.1.5 Tramo de llegada.....	15
2.1.6 Tramo de aproximación inicial	15
2.1.7 Tramo de aproximación intermedia	15
2.1.8 Tramo de aproximación final.....	16
2.1.9 Tramo de aproximación frustrada	16
2.2.1 Cobertura GNSS SBAS	18
2.2.2 Cálculo de VSS.....	18
2.2.3 OAS tramo APV	21
2.2.4 Conclusiones	23
2.3 Aproximación LNAV (NPA GNSS).....	24
2.3.1 VSS y pendiente de descenso	24
2.3.2 Tramo aproximación final.....	25
2.3.3 Tramo aproximación frustrada	26
2.3.4 Tramo intermedio.....	30
2.3.5 Tramo inicial	32
2.3.6 OCA/H.....	33
2.4 Aproximación RNP - VPT (NPA)	35

2.4.1	Descripción de maniobra	35
2.4.2	Diseño del circuito visual de derrota prescrita (VPT)	36
2.4.3	Tramo divergente (Aproximación final - VPT)	40
2.4.4	Diseño aproximación instrumental (RNP)	40
2.4.5	OCA/H.....	43
2.5	Conclusiones y tabla de mínimos	44
3	Herramientas.....	45
3.1	Introducción	45
3.2	Modelo digital del terreno.....	45
3.3	Descripción de scripts MATLAB	47
Pliego de condiciones		50
1	Objeto.....	50
2	Condiciones de los materiales.....	50
2.1	Descripción.....	50
2.2	Control de calidad.....	50
3	Condiciones de la ejecución.....	51
3.1	Descripción.....	51
3.2	Control de calidad.....	51
4	Pruebas y ajustes finales o de servicio	51
Presupuesto		53
1	Introducción.....	53
2	Coste equipos informáticos	53
3	Coste de licencias de software	54
4	Coste de personal.....	54
5	Presupuesto total	54
Cartas		57
1	Introducción.....	57
2	LNAV	58
3	RNP	59
4	VPT 1 (RWY 34).....	60
5	VPT 2 (RWY 16).....	61
Anexo		62
A1	Clave de referencia	62
A2	Área de maniobra de aproximación visual (en circuito).....	63
A3	Scripts de MATLAB	67
Bibliografía		130

Índice de figuras

1	Isla de El Hierro.....	1
2	Localización del aeropuerto de El Hierro (Los Cangrejos).....	2
3	Imagen antigua del aeropuerto sin la posterior ampliación de la terminal. [1].	3
4	Imagen satélite de El Hierro (Google Earth).	4
5	Diagrama de frecuencias de viento en el aeropuerto [2].....	5
6	Organización del espacio aéreo. Carta AD 2-GCHI [1].	5
7	Carta de aproximación visual entre semana [1].....	6
8	Carta de aproximación visual los sábados y domingos [1].....	7
9	ATR-72 ‘Teide’ de Binter Canarias (ahora propiedad de NAYSA Servicios) [1].....	8
10	Llegadas para el día 16 y 17 de abril [1].	8
11	Comparación pasajeros/hora demanda-capacidad del aeropuerto [2]	10
12	Comparación aeronaves/hora demanda-capacidad del aeropuerto [2].....	10
13	Especificaciones RNP y RNAV [3].....	12
14	Clasificación de aproximaciones instrumentales [3].....	13
15	Tramo de aproximación por instrumentos (Figura I-4-1-1 [4]).....	15
16	Tramo de aproximación frustrada por instrumentos. [4].....	17
17	Disponibilidad últimas 24 horas sistema EGNOS APV-I (19/05/2024) [4]	18
18	Superficie de tramo visual alineada con eje de pista para procedimiento con localizador o guía lateral equivalente a localizador [4].	19
19	VSS para aproximación APV-I en las pista 34 y 16 GCHI.....	20
20	VSS APV-I con vista ampliada sobre el aeropuerto.	20
21	Parámetros soporte lógico OAS PANS-OPS pista 16 [5].	21
22	Superficies OAS APV I pista 16 GCHI.....	22
23	Parámetros soporte lógico OAS PANS-OPS pista 34 [5].	22
24	Superficies OAS APV I pista 34 GCHI.....	23
25	VSS para aproximación APV I en las pista 34 y 16 GCHI con 3° de pendiente.....	24
26	VSS para aproximación APV I en las pista 34 y 16 GCHI con 3° y 4,2° de pendiente, respectivamente.....	25
27	XTT, ATT y semianchura del área para RNP APCH (aviones) en las fases de vuelo de aproximación inicial/intermedia/final y de aproximación frustrada (m) [4].	25
28	Representación tramo final y MAPt nominal para aproximación LNAV pista 16 y 34.....	26
29	Áreas RNP APCH. Figura III-3-3-2 [4].	27
30	Tramo final y frustrada inicial e intermedia para las pistas 16 y 34. Aproximación LNAV.....	28
31	Aproximación LNAV tramos final y frustrada pista 16.	29
32	Aproximación LNAV tramos final y frustrada pista 34.	30
33	Confluencia de áreas en el FAF [4].....	31

34	Aproximación LNAV tramo intermedio y final pista 34 [4].....	31
35	Aproximación LNAV tramo intermedio y final pista 16 [4].....	32
36	Aproximación inicial-intermedia-final LNAV pistas 16 y 34.	33
37	Aproximación inicial-intermedia-final LNAV pistas 16 y 34 (vista en planta).....	33
38	Carta SID GXCO RWY 30 [1].....	36
39	Carta SID GXCO RWY 12 [1].....	36
40	Caso general de derrota normalizada [4].....	37
41	Velocidades (IAS) para el cálculo de procedimientos en km/h. Tabla I-4-1-1 [4].....	37
42	Semianchura del corredor VPT. Tabla I-4-7-Ap-1 [4].	38
43	MOC, OCH y visibilidad mínima para maniobras visuales de derrota prescrita. Tabla I-4-7-Ap-2 [4].....	38
44	Área VPT [4].....	38
45	Procedimiento VPT pista 34 (azul) y HIE 228° (negro).....	39
46	Procedimiento VPT pista 16 (rojo) y HIE 228° (negro).....	39
47	Tramos aproximación RNP GCHI pista 16 y 34 (vista en planta).	41
48	Aproximación RNP-VPT pista 16 GCHI.....	42
49	Aproximación RNP-VPT pista GCHI.....	42
50	Tercera cobertura proyecto PNOA-LiDAR [6].....	45
51	Cuadrícula de El Hierro IGN [6].....	46
52	Representación del raster de El Hierro (coordenadas LL).....	47
53	Datos pista GCHI [1].....	62
54	Tabla 1-1 Clave de referencia de aeródromo [7].....	63
55	MOC y OCA/H para aproximación visual (en circuito) [4].....	64
56	Dimensiones y pendientes de las superficies limitadoras [7].....	65
57	Obstáculo determinante circuito visual reducido.	66

Índice de tablas

1	Estimación del plan director en el año 2000 y datos reales.....	9
2	OCA/H para aproximación LNAV GCHI.....	34
3	OCA/H para aproximación RNP-VPT GCHI.....	43
4	Caja de mínimos.....	44
5	Desglose de horas dedicadas al proyecto.....	53
6	Desglose de costes horarios de equipo informático.....	54
7	Desglose de costes por licencias de software.....	54
8	Costes de personal asociado al proyecto.....	54
9	Costes totales asociados al proyecto.....	55

Memoria

1. Introducción

1.1. Marco global

El aeropuerto de El Hierro (indicativo OACI: GCHI) se inaugura en diciembre de 1972. Este se sitúa al nordeste de la isla en una zona costera denominada Llano de los Cangrejos, próximo a su capital, Valverde (Figura 1).



Fig. 1: Isla de El Hierro.

Dada la compleja orografía y tras comenzar los estudios aeronáuticos en 1962 se opta por la ubicación actual del aeropuerto construyendo una pista (16-34) de 800 metros de longitud y 30 metros de ancho. Posteriormente se ampliará para su inauguración hasta los 1000 metros y en 1991-1992 hasta los 1250 metros actuales.



Fig. 2: Localización del aeropuerto de El Hierro (Los Cangrejos).

Actualmente el CTR del aeropuerto opera de lunes a viernes con diferente horario para época estival e invernal ofreciendo servicio de control aéreo de torre y siendo espacio aéreo clase D. Así mismo también ofrece los fines de semana servicio AFIS transformando su CTR a FIZ con espacio aéreo clase G.

Además el aeropuerto cuenta con las siguientes infraestructuras:

- Plataforma de estacionamiento
- Una pista de vuelo 16-34
- Tres puertas de entrada/salida a la pista
- Edificio terminal de pasajeros
- Torre de control
- Central eléctrica
- Centro de emisores
- Edificio S.E.I
- Edificio de cocheras
- Aparcamiento para vehículos

El acceso al aeropuerto es posible desde la carretera Valverde - La Caleta siendo la distancia desde el centro urbano de 9 km y aproximadamente 9 minutos de trayecto. Así mismo también existe una linea de autobuses y servicio de taxis.

1.2. Historia

El primer acontecimiento aeronáutico de la isla ocurre el 12 de diciembre de 1955 donde el Servicio de Búsqueda y Salvamento Aéreo realiza una evacuación de un enfermo. Con el objetivo de mejorar las operaciones aéreas de la isla en 1962 se inician los estudios aeronáuticos y tras la inauguración en 1972 se abre el tráfico aéreo civil nacional de pasajeros y mercancías.

La primera conexión fue abierta por Iberia en 1972 con un Fokker F-27 desde Tenerife Norte (Figura 3). En 1992 la ruta Tenerife Norte - El Hierro pasa a ser gestionada por Binter Canarias, la cual opera con la aeronave ATR-72 haciendo necesaria una ampliación de la pista y con el aumento de pasajeros una nueva terminal pasando esta de 600 metros cuadrados a 3000 metros cuadrados.

El aeropuerto supone una mejora importante para los habitantes de El Hierro, mejorando las comunicaciones con el resto del archipiélago y planteando un nuevo tipo de turismo.



Fig. 3: Imagen antigua del aeropuerto sin la posterior ampliación de la terminal. [1].

1.3. Geografía y clima

La ubicación geográfica de la isla de El Hierro es la más occidental del archipiélago canario, también la de menor superficie (unos 270 km²) y densidad de población.

Como todas las islas Canarias son el resultado de apilamiento de materiales volcánicos a aproximadamente 3500 metros de profundidad. En el caso de la isla de El Hierro, el ascenso del magma se produce a través de tres ejes que convergen en el centro de la isla formando una peculiar forma estrellada de tres vertientes con parecido al de la isla de Tenerife la cual se articula en torno al volcán de Ventejís con su punto más alto situado a 1501 metros de altitud. Estas elevaciones abruptas contribuyen a una topografía escarpada con profundos barrancos y acantilados que contrastan con valles fértiles al pocos metros del océano Atlántico.

La orografía de El Hierro está moldeada por la acción del viento y agua a lo largo del tiempo dando lugar a un entorno que combina desniveles de terreno muy pronunciados con valles y llanuras.



Fig. 4: Imagen satélite de El Hierro (Google Earth).

El clima de la isla, al igual que el resto de el archipiélago destaca por no ser el que corresponde por su ubicación geográfica próxima al Desierto del Sáhara, esto se debe a causa del efecto del anticiclón de las Azores que junto con el sistema de vientos alisios y rotación de la Tierra refresca el aire y agua de las costas con la corriente del Golfo más fría proveniente del norte. Estas características moldean los rasgos climatológicos de la isla durante todo el año.

La temperatura media oscila entre la mínima en enero de 18,1°C y máxima de agosto de 23,1°C. Las precipitaciones se concentran entre los meses de octubre hasta marzo siendo los más secos entre junio y agosto. El número medio de días de lluvia al año es de 36, con previsión nula de nieve.

La visibilidad horizontal es de 9000 m o superior el 99,8 % del tiempo y la visibilidad horizontal es superior a 2400 metros un 87,9 % del tiempo.

El viento es fuerte a lo largo del año, disminuyendo en verano y presentando un dominio en dirección NNE del 44,4 %. El porcentaje de mediciones totales de viento en calma no supera el 7 %.

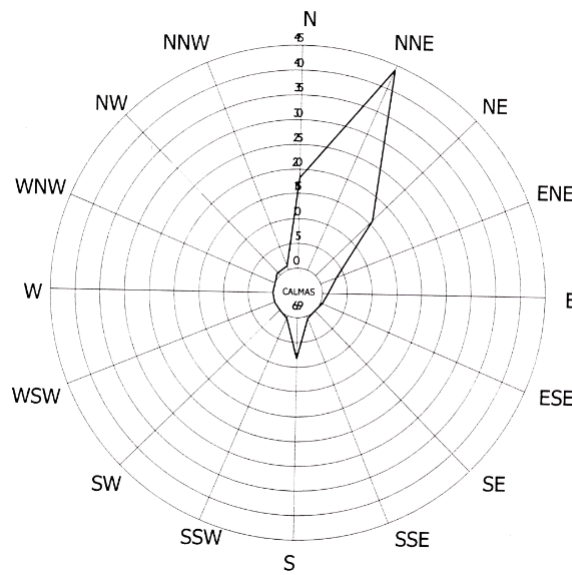


Fig. 5: Diagrama de frecuencias de viento en el aeropuerto [2].

1.4. Espacios aéreos

Los espacios aéreos en la isla de El Hierro se modifican ofreciendo servicio de tráfico aéreo de torre (TWR) entre semana y servicio de información de vuelo (AFIS) los fines de semana dentro de las horas operativas del aeropuerto.

La información del aeropuerto obtenida en el AIP muestra las dos posibles configuraciones del espacio aéreo (Figura 6).

17. ESPACIO AÉREO ATS		ATS AIRSPACE		
Denominación y límites laterales Designation and lateral limits	Límites verticales Vertical limits	Clase de espacio aéreo Airspace class	Unidad responsable Idioma Unit Language	Altitud de transición Transition altitude
FIZ HIERRO (RMZ) (1) 275457N 0175947W, 275716N 0175446W; 275353N 0175248W desde este punto siguiendo arco de 5 NM centrado en el ARP // from this point following arc of 5 NM centred on ARP, 275113N 0174813W, 274315N 0174332W, 273953N 0175051W, 274352N 0175310W, desde este punto siguiendo arco de 5 NM centrado en el ARP // from this point following arc of 5 NM centred on ARP, 275142N 0175753W, 275457N 0175947W.	2700 ft AMSL SFC	G	HIERRO AFIS ES/EN	1850 m/6000 ft
CTR HIERRO (2) Los límites laterales coinciden con los publicados para FIZ HIERRO // Lateral limits coincide with those published for FIZ HIERRO.	2700 ft AMSL SFC	D	CANARIAS APP ES/EN	
ATZ HIERRO Círculo de 8 km de radio centrado en ARP // Circle radius 8 km centred on ARP (3).	1800 ft AMSL (4) SFC	D	HIERRO TWR ES/EN	
Observaciones: (1) Durante HR AFIS. Zona obligatoria de presentación de plan de vuelo. (2) Durante HR TWR. (3) O la visibilidad horizontal, lo que resulte inferior. (4) O hasta la elevación del techo de nubes, lo que resulte más bajo.	Remarks: (1) During AFIS HR. Flight plan submission mandatory zone. (2) During TWR HR. (3) Or the ground visibility, whichever is lower. (4) Or up to the cloud ceiling, whichever is lower.			

Fig. 6: Organización del espacio aéreo. Carta AD 2-GCHI [1].

El espacio aéreo queda clasificado de la siguiente manera entre semana (Figura 7):

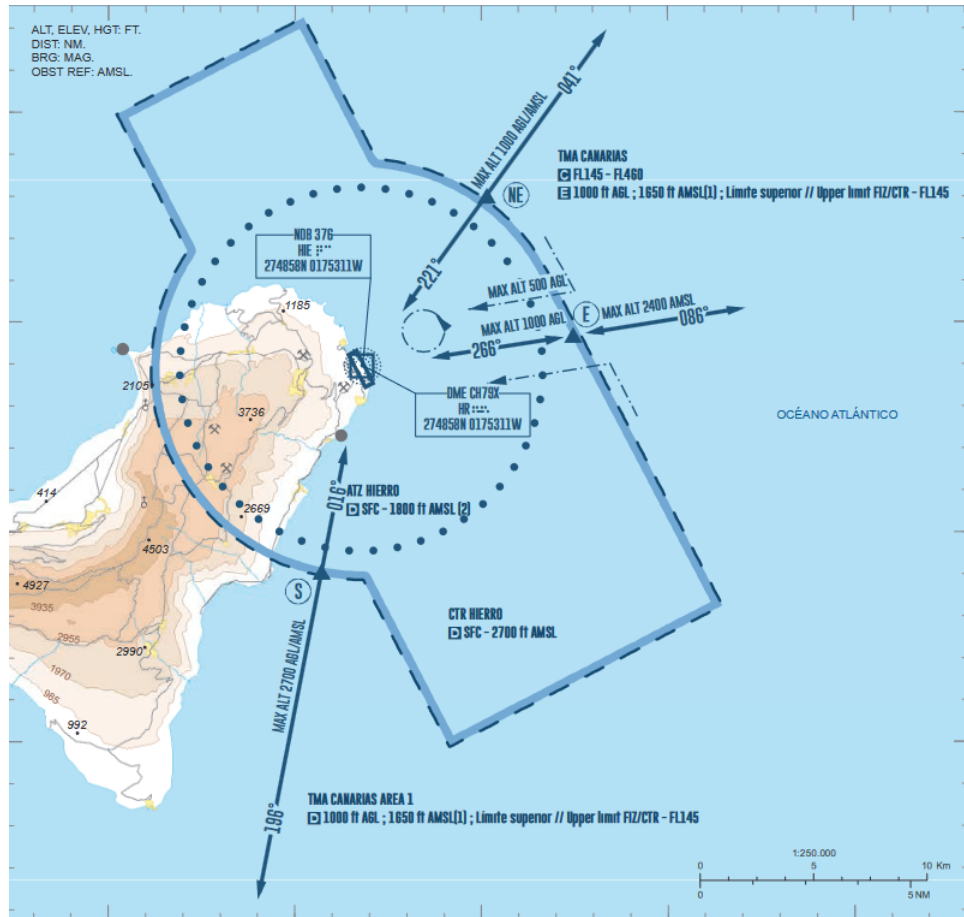


Fig. 7: Carta de aproximación visual entre semana [1].

- ‘Clase C’ FL145 - FL460 TMA Canarias.
- ‘Clase D’ de 1000 ft AGL; 1650 ft AMSL; Límite superior FIZ/CTR - FL145. TMA Canarias.
- ‘Clase D’ SFC - 2700 ft AMSL el CTR Hierro.
- ‘Clase D’ SFC - 1800 ft AMSL el ATZ Hierro.

La configuración durante los fines de semana es la siguiente (Figura 8):

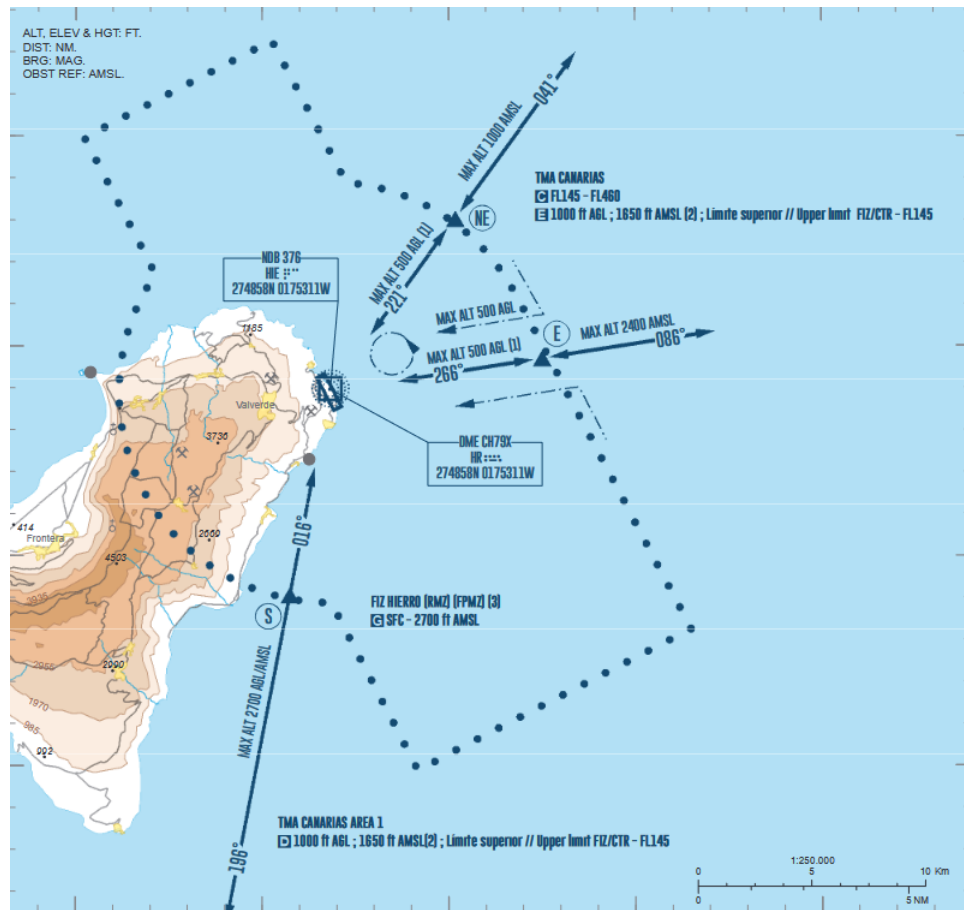


Fig. 8: Carta de aproximación visual los sábados y domingos [1].

- ‘Clase C’ FL145 - FL460 TMA Canarias.
- ‘Clase D’ 1000 ft AGL; 1650 ft AMSL; Límite superior FIZ/CTR - FL145. TMA de Canarias.
- ‘Clase G’ SFC - 2700 ft AMSL el FIZ Hierro.

1.5. Flota usuaria

El aeropuerto de El Hierro cuenta con un total de dos destinos/orígenes de sus vuelos actualmente: Gran Canaria y Tenerife Norte. Estos vuelos son operados por cuatro compañías: Canarias Airlines (RSC), Binter Canarias, NAYSA y Canaryfly en el caso de Tenerife Norte como destino. La flota de estas compañías está constituida principalmente por aviones ATR-72 (Figura 9), turbohélices con una capacidad máxima de 78 asientos y un alcance idóneo para pequeños recorridos regionales.

Este mismo modelo es la aeronave máxima permitida en el aeropuerto tal y como se puede

comprobar en el AIP, concretamente en la carta de ‘Datos de aeródromo’ (AD 2-GCHI 1) [1]. Como comprobación se consultan las llegadas reales para los próximos días a El Hierro mediante la herramienta online ‘FlightRadar24’ (Figura 10).



Fig. 9: ATR-72 ‘Teide’ de Binter Canarias (ahora propiedad de NAYSA Servicios) [1].

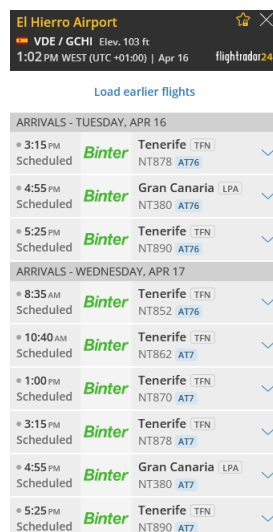


Fig. 10: Llegadas para el día 16 y 17 de abril [1].

Este último modelo (ATR 72-600) cuenta con motores Pratt & Whitney PW127M, los cuales ofrecen una mejora termodinámica en el despegue permitiendo mayor rendimiento en aeropuertos con pistas cortas y/o elevadas temperaturas, características que se encuentran en el entorno de las Islas Canarias y gran parte del territorio nacional [8].

A continuación se detallan sus especificaciones generales:

- Capacidad: 68-78 asientos
- Longitud: 27,16 m
- Envergadura: 27,05 m
- Altura: 7,65 m
- Superficie alar: 61 m²
- MTOW: 23000 kg
- Potencia: 1846 kW por motor
- Velocidad crucero 510 km/h
- Alcance: 1528 km
- Techo de vuelo: 7600 m (25000 ft)

1.6. Futuro del aeropuerto de El Hierro

Las previsiones de tráfico de pasajeros ejecutadas en el apartado 4 de la memoria del Plan Director del Aeropuerto de El Hierro [2], muestran una hipótesis realista de crecimiento de tráfico de pasajeros en el periodo 2000-2020 de un 4,3 % anual, el cual se ajusta en gran medida al obtenido por el Instituto Canario de Estadística (ISTAC) [9]. Se muestran los datos en el periodo 2018-2023 en la Tabla 1.

Tráfico de pasajeros totales		
Año	Estimación realista	Real
2018	258097	246538
2019	267645	268405
2020	277455	178042
2021	-	233935
2022	-	273550
2023	-	300980

Tabla 1: Estimación del plan director en el año 2000 y datos reales.

Fuente ISTAC [9] y Plan Director del Aeropuerto [2].

Con estos datos se procede a consultar la capacidad de la terminal (Figura 11) y campo (Figura 12) siguiendo la aproximación de hipótesis realista contrastada anteriormente.

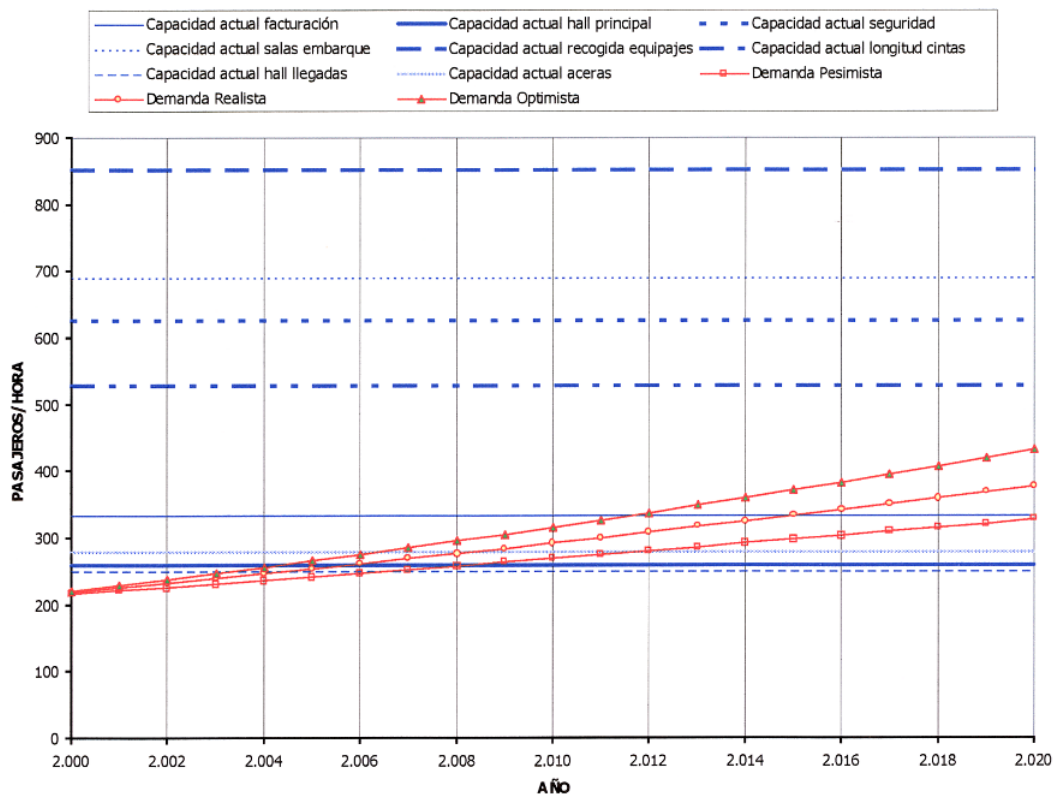


Fig. 11: Comparación pasajeros/hora demanda-capacidad del aeropuerto [2].

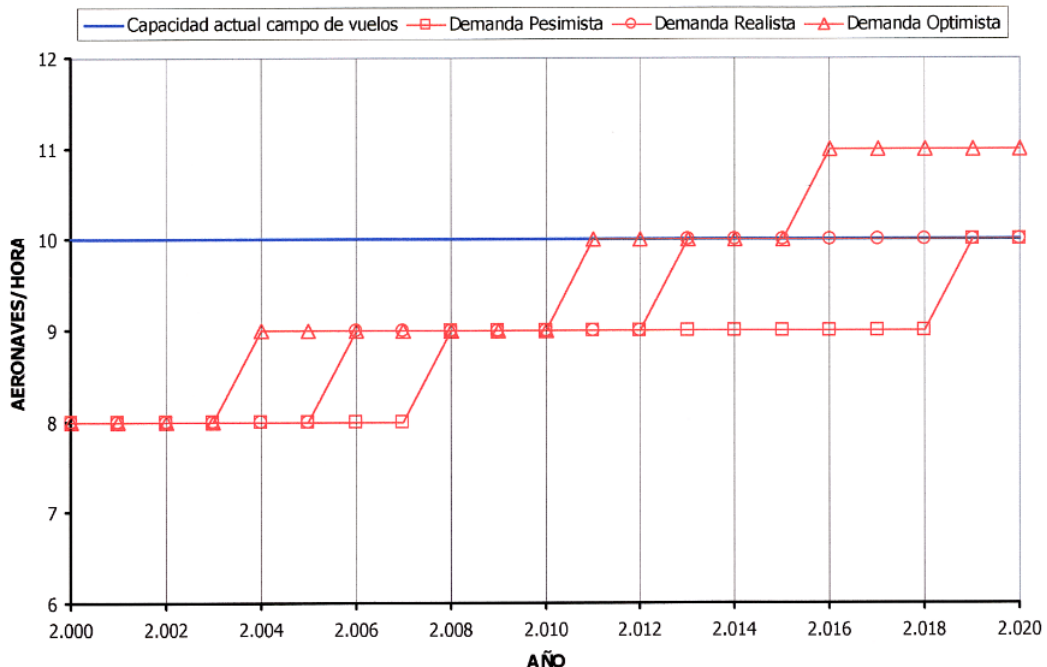


Fig. 12: Comparación aeronaves/hora demanda-capacidad del aeropuerto [2].

Como se puede observar, actualmente se está alcanzando la capacidad máxima del campo de vuelos en cuanto a aeronaves/hora así como las limitaciones de capacidad por pasajeros/hora en el hall principal, zona de facturación, hall de llegadas y otros espacios aeroportuarios.

El estudio realizado en el apartado 6 ‘Desarrollo previsible’ del Plan Director (ver [2]) para una posible ampliación tanto de la terminal como pista, muestra las grandes dificultades tanto para reorientar la pista actual como para ampliarla en cualquier dirección dada la ubicación del aeropuerto.

La alternativa considerada óptima es la de mantener la pista actual modificando únicamente la plataforma y edificios aeroportuarios, en ambos casos creando una nueva terminal simétrica y centrándose en atender la demanda de tráfico de tipo ATR. El máximo desarrollo posible del aeropuerto por esta vía es de 550000 pasajeros/año y de 30000 aeronaves anuales.

Tal y como muestran los datos, el aeropuerto de El Hierro mantiene un crecimiento constante en los últimos años (a excepción de 2020 por la pandemia). A pesar de ser la menor del archipiélago, oferta y demanda de pasajeros y aeronaves en las áreas aeroportuarias están alcanzando un equilibrio por lo que puede ser de gran interés tanto el análisis de una ampliación de las infraestructuras como una optimización de la capacidad operativa actualizando los procedimientos de aproximación ya existentes en lo cual se centrará esta memoria.

2. Diseño de aproximaciones a El Hierro

2.1. Introducción

2.1.1. Navegación Basada en Prestaciones (PBN)

El avance e implantación de los sistemas GNSS en la aviación junto con sistemas de aumenc-tación es una realidad hoy en día.

La navegación basada en prestaciones agrupa una serie de tipos de navegación con mayor capacidad de la aeronave para navegar basándose en las prestaciones en vez de en sensores tradicionales. Este enfoque supone un avance significativo sobre los métodos de navegación empleados hasta el momento, ofreciendo mayor flexibilidad, precisión, eficiencia y seguridad.

Dentro de los ocho tipos de especificaciones PBN definidos en el manual de la OACI [10], encontramos cuatro de RNP (Required Performance Navigation). Estos procedimientos son RNAV (Area Navigation) con la diferencia de cumplir los requerimientos y de no solo ofrecer la precisión necesaria para las distintas fases de vuelo sino la disponibilidad, continuidad e integridad. Se basa en un conjunto de estándares mínimos que debe cumplir la aeronave para operar en un espacio aéreo o seguir un determinado procedimiento RNAV o RNP con la precisión lateral acompañando al nombre de la especificación en millas náuticas la cual se espera alcance un 95 % del tiempo de vuelo (Figura 13).

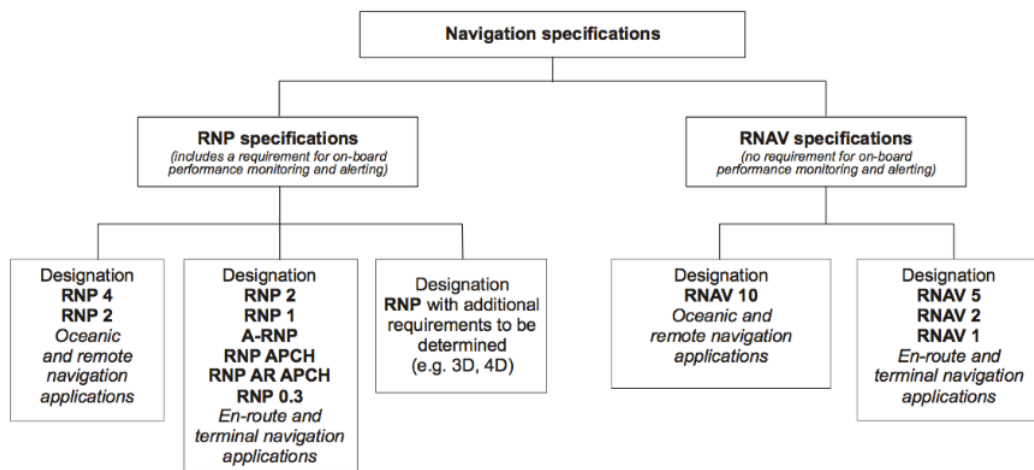


Fig. 13: Especificaciones RNP y RNAV [3].

Los beneficios de la navegación basada en prestaciones son notables en los siguientes campos:

- Seguridad operacional
- Capacidad del espacio aéreo

- Eficiencia en navegación
- Eficiencia del control aéreo
- Reducción del impacto medioambiental
- Accesibilidad en condiciones adversas

2.1.2. Sistemas GNSS

El término GNSS (Global Navigation Satellite Systems) hace referencia a los sistemas de navegación que emplean constelaciones de satélites para este fin. Por definición el GNSS tiene una cobertura global y algunos ejemplos actuales son: GALILEO (Europa), GPS (Estados Unidos), GLONASS (Rusia) o BeiDou (China).

Como se ha mencionado anteriormente, los cuatro parámetros de medición del rendimiento los sistemas GNSS son: precisión, integridad, continuidad y disponibilidad. Además, con el objetivo de poder cumplir los requisitos necesarios para la aviación civil en las diferentes etapas de vuelo, los resultados obtenidos pueden mejorar gracias a los sistemas de aumentación como pueden ser el SBAS (Satellite Based Augmentation System, GBAS (Ground Based Augmentation System) o ABAS (Aircraft Based Augmentation System).

Estos sistemas emplean tecnologías para cancelar o minimizar los errores obtenidos por los satélites ya sea mediante constelaciones de satélites, estaciones de referencia terrestres, sistemas propios embarcados en la aeronave o combinación de estos.

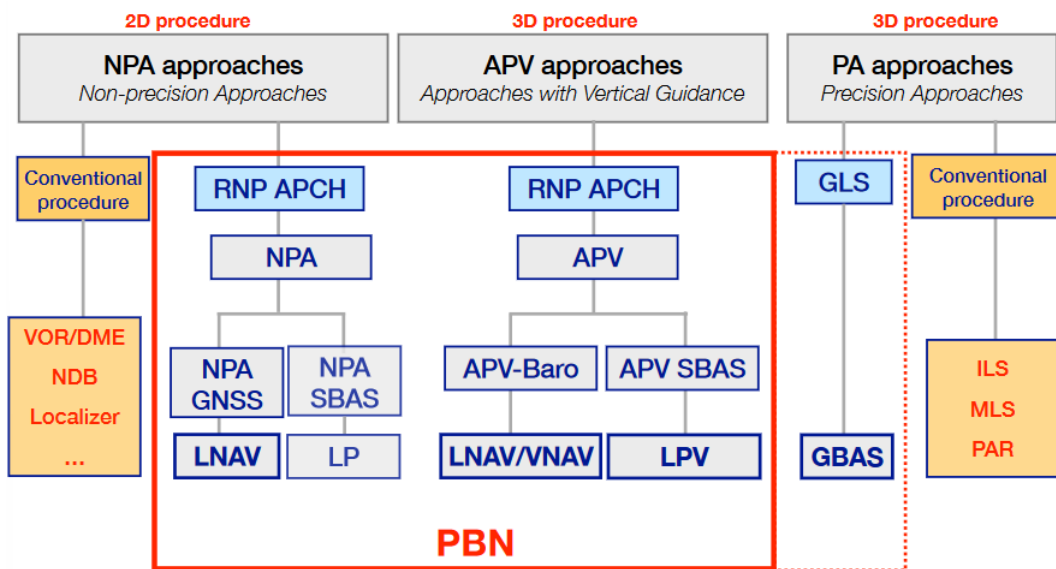


Fig. 14: Clasificación de aproximaciones instrumentales [3].

En el contexto de la isla de El Hierro, la navegación basada en prestaciones ofrece oportunidades significativas para optimizar los procedimientos de aproximación actuales y aumentar

la posible capacidad operativa de la instalación. Este tipo de procedimientos pueden tener en cuenta en mayor modo las características específicas del entorno geográfico y meteorológico de la isla así como consideraciones relacionadas con: ruido, conservación de medio ambiente y fauna local dando lugar a procedimientos de aproximación que maximicen la seguridad y eficiencia minimizando el impacto ambiental respetando la biodiversidad única de El Hierro.

2.1.3. Especificación RNP APCH

La especificación PBN denominada RNP APCH incluye los procedimientos de aproximación por instrumentos que emplean RNAV (GNSS). Los documentos empleados para el diseño del procedimiento son los siguientes:

- Doc. 9613 AN/937 ‘Performance Based Navigation Manual’ [10].
- Doc. 8168 OPS/611 ‘Operación de aeronaves, Volumen II, Construcción de procedimientos de vuelo visual y por instrumentos’ [10].

Dentro de esta clasificación (Figura 14), encontramos aproximaciones de precisión (con guiado vertical) o de no precisión (con únicamente guiado lateral). De principal interés para el trabajo actual son las aproximaciones LPV y LNAV. Se detallan a continuación las principales características de cada una.

- LNAV (NPA GNSS): Este tipo de aproximación de no precisión cuenta únicamente con navegación lateral básica GNSS y emplea el sistema RAIM para detectar errores en la señal satélite obtenida gracias a la comparación con al menos otros cinco satélites visibles.
- LPV (APV SBAS): Este tipo de aproximación proporciona navegación lateral y vertical gracias al sistema de aumentación SBAS. Emplea el sistema SBAS y RAIM FDE para comprobar errores en los datos recibidos. Consta de un diseño propio de tramo de aproximación final.

2.1.4. Fases de una aproximación

Cualquier procedimiento de aproximación por instrumentos consta de hasta cinco etapas o tramos independientes. Por orden llegada los tramos son: llegada, inicial, intermedio, final y frustrada. La denominación de los puntos de referencia, tal y como se observa a continuación, se hace de acuerdo al tramo en el que se encuentran. Los principales son: IAF (Initial Approach Fix), IF (Intermediate Fix), FAF/FAP (Final Approach Fix) y MAPt (Missing Approach Point) (Figura 15).

Siendo una fase de vuelo crítica por su proximidad al terreno, la aproximación además se caracteriza por la ejecución de procedimientos y maniobras complejas por parte de los pilotos de las aeronaves en un breve periodo de tiempo.

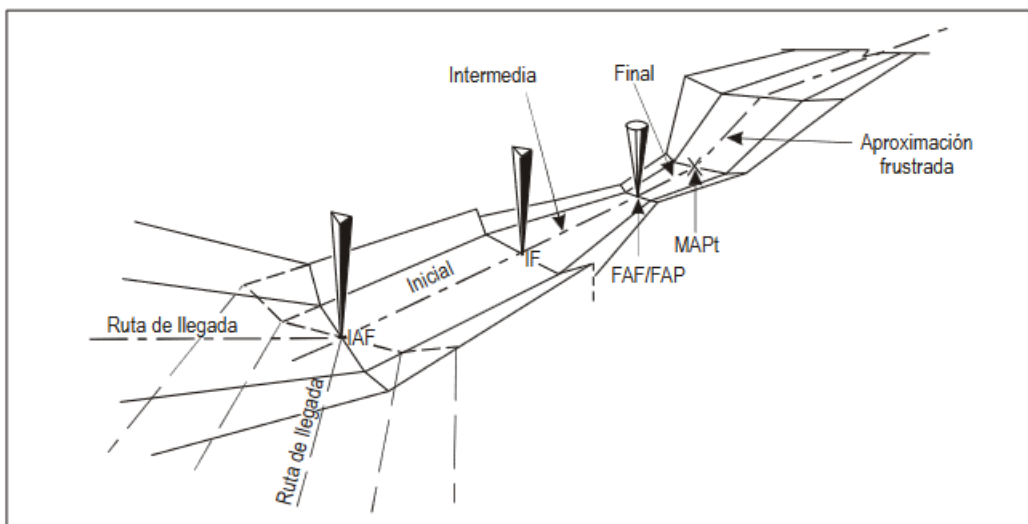


Fig. 15: Tramo de aproximación por instrumentos (Figura I-4-1-1 [4]).

2.1.5. Tramo de llegada

El tramo de llegada por instrumentos se diseñará si es necesario establecer rutas de llegada desde la estructura de en ruta hasta el punto de aproximación inicial (IAF) y además aportan ventajas operacionales. Estos tramos se denominan rutas de llegadas normalizadas por instrumentos (STAR).

El diseño del área depende principalmente de su longitud (mayores/menores de 46 km) y tiene un margen de franqueamiento de obstáculos (MOC) de 300 m.

2.1.6. Tramo de aproximación inicial

La aproximación inicial comienza en el IAF siendo el primer punto de la aproximación a un aeropuerto y finaliza en el IF, donde de forma general la aeronave se encontrará alineada con la pista. El margen de franqueamiento de obstáculos es de 300 m en el área primaria con una pendiente óptima de 4 % y máxima de 8 % (para Cat H hasta 13,2 %).

Además, cabe destacar la utilización de procedimientos de inversión y/o hipódromo en esta etapa de aproximación los cuales se incluyen en el tramo inicial hasta que la aeronave se encuentra alineada con el tramo intermedio.

2.1.7. Tramo de aproximación intermedia

El tramo de aproximación intermedia comienza en el IF y termina en el FAF llevando a cabo una transición entre tramos donde se realizan los ajustes necesarios para aproximar la aeronave al aeropuerto y alinearla con la pista. Es posible que el inicio del tramo intermedio

también comience una vez finalizad un procedimiento de derrota de navegación a estima o los procedimientos de inversión/hipódromo ya comentados.

Dada la finalidad de este tramo en la aproximación, la pendiente de descenso debería ser horizontal o con una sección horizontal al menos. En caso de que el descenso sea necesario se autoriza hasta un máximo de un 5,2 % (3°) siendo necesario un tramo horizontal con longitud mínima de 2,8 km (Cat C y D) o 1,9 km (Cat. A y B) antes del FAF. La longitud óptima del tramo es de 9,3 km y con un máximo de 28 km.

El margen de franqueamiento de obstáculos (MOC) en esta fase es de 150 m en el área primaria reduciéndose a 0 en las áreas secundarias.

2.1.8. Tramo de aproximación final

El tramo de aproximación final comienza en el FAF guiándolo de esta forma la aeronave en su última parte del descenso, alineándola con la pista y finalizando en el MAPt donde comenzará la aproximación frustrada.

La longitud óptima es de 9,3 km y mínima de 5,6 km. La pendiente óptima es del 5,2% (3°)

La protección del tramo se realizará mediante la definición de OAS o OCA/H, en este último caso el MOC es de 75 m.

2.1.9. Tramo de aproximación frustrada

Por último se encuentra el tramo de aproximación frustrada, necesario para cada aproximación por instrumentos y que comenzará una vez el piloto de la aeronave decida frustrar el aterrizaje.

Este comienza en el MAPt (procedimientos NPA) o DA/H (PA o en procedimientos APV) y termina a una altitud suficiente para iniciar una nueva aproximación, volver a un circuito de espera o reanudar otro vuelo en ruta. En el caso de aproximación APV el tramo inicial queda cubierto por las OAS y finaliza en el SOC.

Este tramo consta de tres fases (Figura 16):

- Fase inicial: tramo recto desde el MAPt hasta el SOC donde la aeronave ajusta la configuración para ‘motor y al aire’. La pendiente es horizontal y el MOC es el mismo que en el tramo de aproximación final.
- Fase intermedia: tramo desde el SOC hasta el primer punto que se alcanza y mantienen 50 m de franqueamiento de obstáculos. La pendiente de ascenso es de 2,5 % y MOC de 30 m.
- Fase final: el último tramo comienza en el punto donde se mantienen 50 m de franqueamiento de obstáculos y finaliza en el punto donde comenzará un nuevo procedimiento ya

sea de aproximación, hipódromo o retorno a un vuelo en ruta. La pendiente de ascenso es la misma que en la fase intermedia de aproximación frustrada y el MOC es de 50 m.

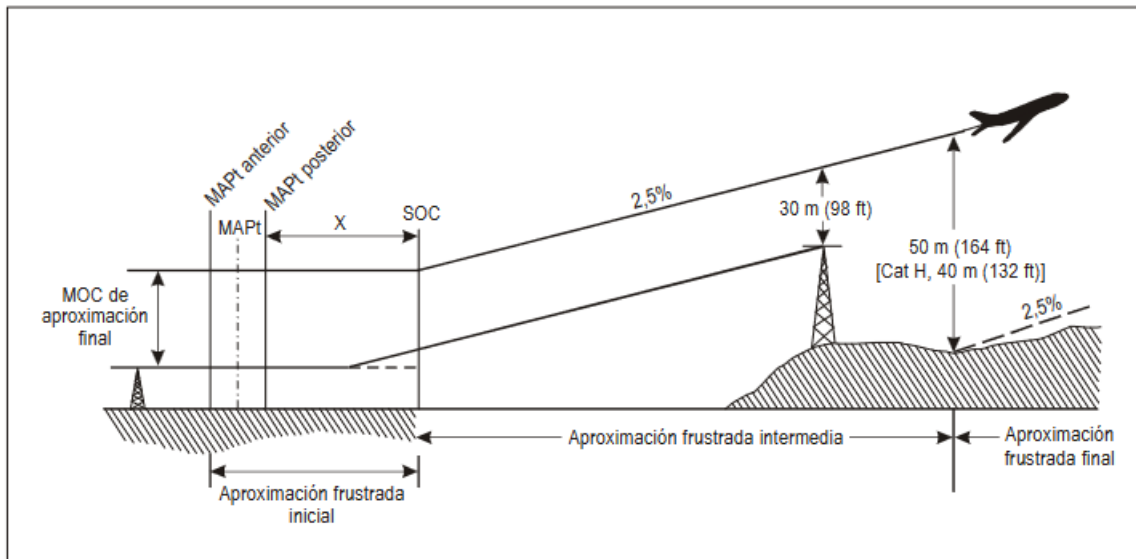


Fig. 16: Tramo de aproximación frustrada por instrumentos. [4].

2.2. Aproximación LPV (APV-I SBAS)

En este apartado se detalla el diseño de la aproximación LPV (APV-I SBAS) propuesta para el aeropuerto de El Hierro a las pistas 34 y 16 con el ATR72 como aeronave de referencia.

2.2.1. Cobertura GNSS SBAS

Se realiza previamente al cálculo del procedimiento, la comprobación de cobertura GNSS SBAS para aproximaciones APV-I en el área de Canarias y en concreto, la isla de El Hierro, accediendo a los datos de cobertura de EGNOS (European Geostationary Navigation Overlay Service).

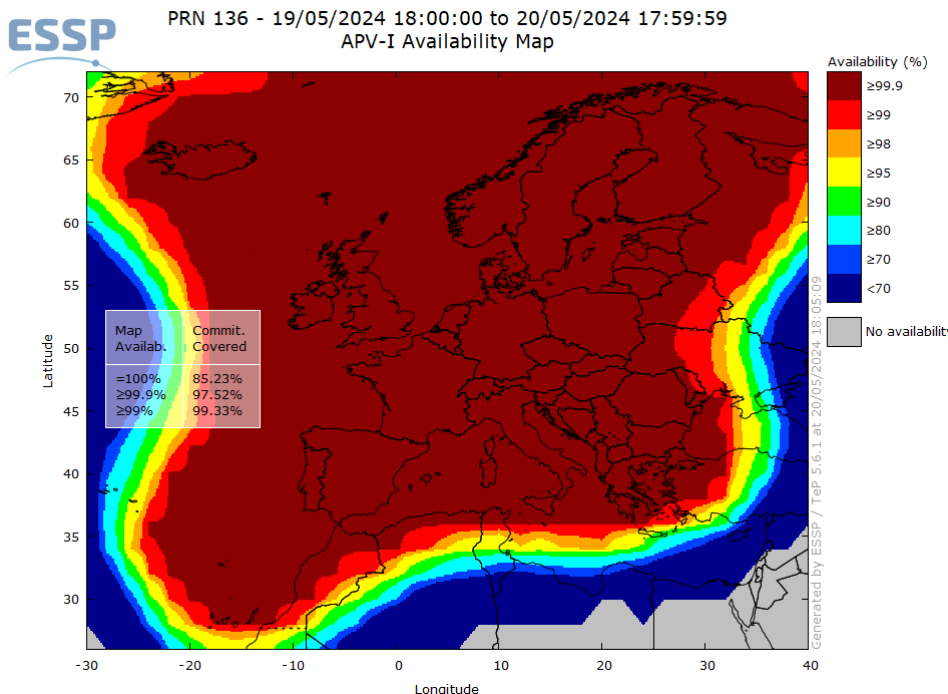


Fig. 17: Disponibilidad últimas 24 horas sistema EGNOS APV-I (19/05/2024) [4].

Tal y como se comprueba en la Figura 17 la isla cuenta con cobertura SBAS pero se sitúa en el borde del área a fecha del desarrollo de esta memoria.

2.2.2. Cálculo de VSS

En primer lugar se realiza la protección respecto a obstáculos en el tramo visual. Para ello se definen las superficies de tramo visual (VSS) de acuerdo con la Parte I - Sección 4, Capítulo 5,4 [4].

En el caso de aproximación APV-I la VSS se define con una anchura en base igual a la

superficie interna de aproximación (tal y como se define en el Anexo 14), comenzando 60 metros antes del umbral y extendiéndose siguiendo el eje de pista hasta la OCH con una pendiente de $1,12^\circ$ menos de la promulgada (Figura 18).

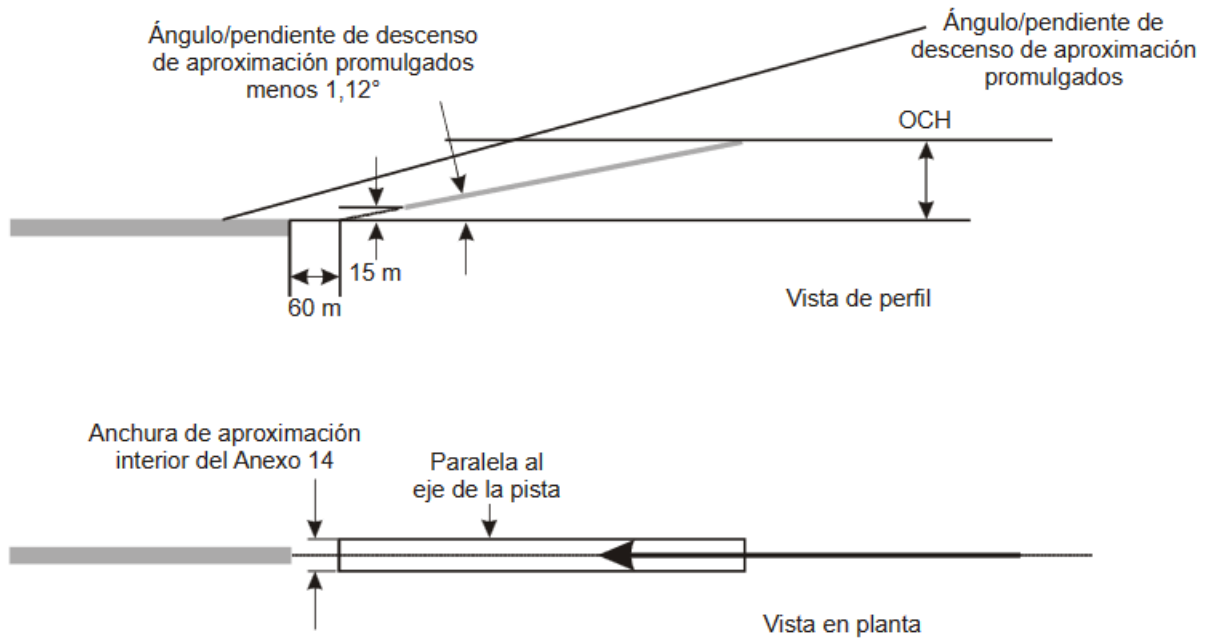


Fig. 18: Superficie de tramo visual alineada con eje de pista para procedimiento con localizador o guía lateral equivalente a localizador [4].

La construcción de las superficies se ha realizado suponiendo una pendiente de descenso de 3° , el ángulo óptimo para este tipo de aproximación en el tramo final. Los resultados obtenidos para la pista 34 y 16 respectivamente se muestran a continuación.

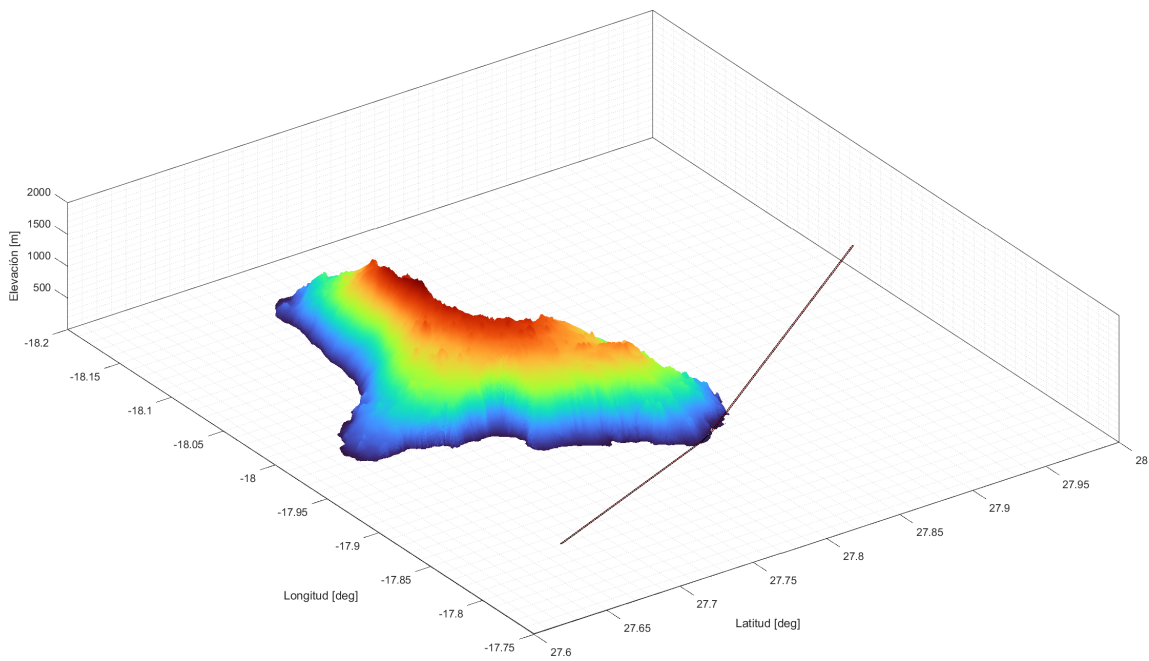


Fig. 19: VSS para aproximación APV-I en las pista 34 y 16 GCHI.

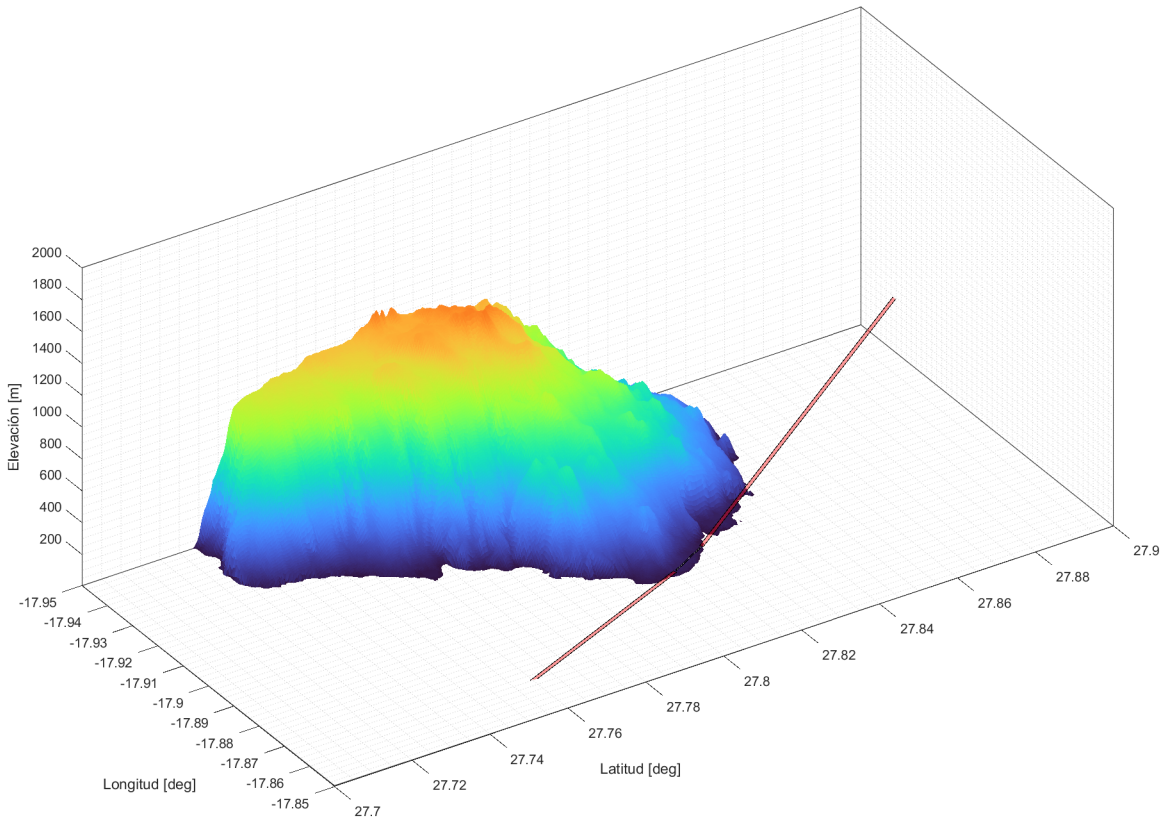


Fig. 20: VSS APV-I con vista ampliada sobre el aeropuerto.

Se comprueba así, como la superficie de tramo visual para ambas pistas con una pendiente

óptima no queda penetrada por ningún obstáculo.

2.2.3. OAS tramo APV

Se comienza con la construcción del procedimiento en su sección más limitante en la ubicación a estudio, la fase de vuelo más próxima a la isla. Se han realizado las superficies de evaluación de obstáculos para este tipo de aproximación de precisión (OAS APV SBAS). Estas superficies están definidas a través de parámetros geométricos de la aproximación así como la categoría de la aeronave, constan de siete superficies planas con distintas pendientes dispuestas alrededor de la derrota del tramo APV.

Para la construcción se ha empleado el soporte lógico de OAS de los PANS-OPS. [5].

Estos son los parámetros introducidos para la aproximación a la pista 16:

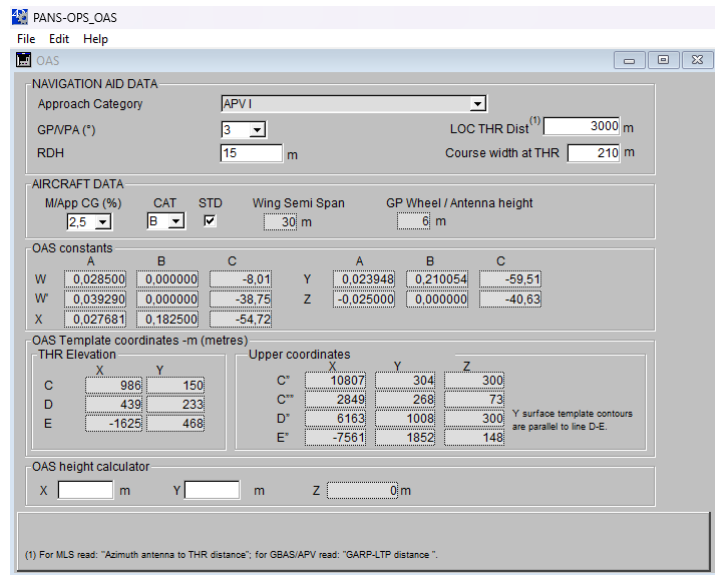


Fig. 21: Parámetros soporte lógico OAS PANS-OPS pista 16 [5].

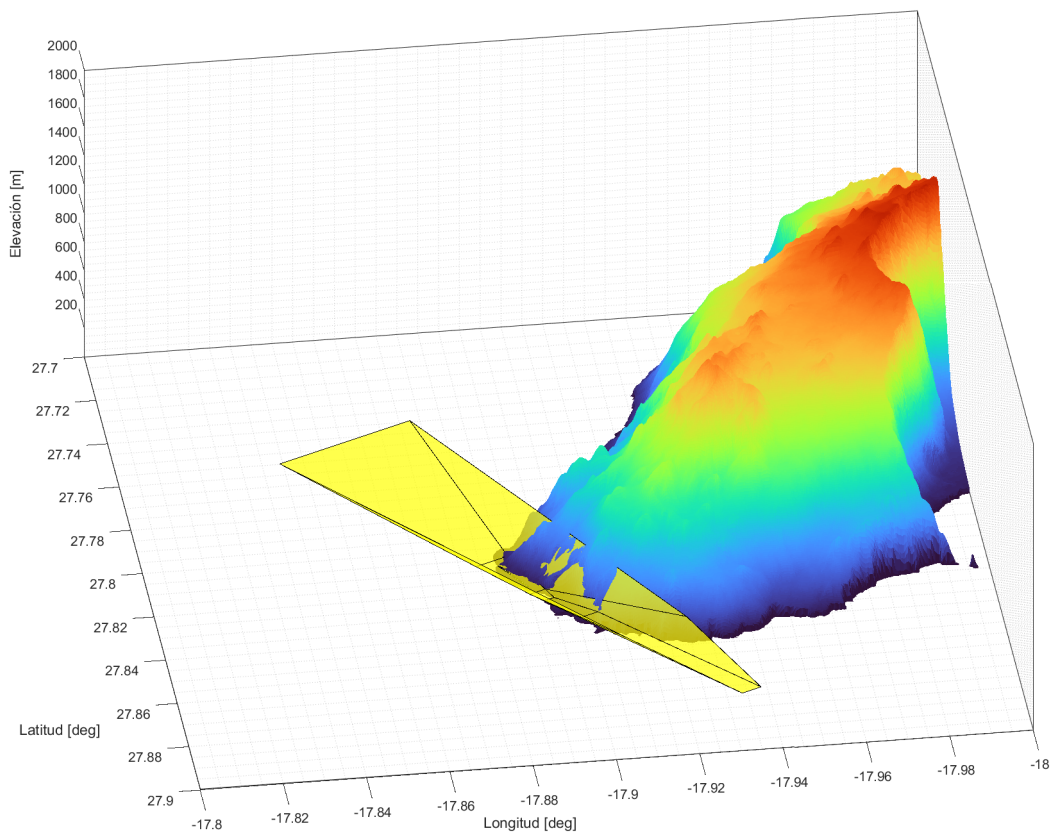


Fig. 22: Superficies OAS APV I pista 16 GCHI.

A través de la representación sobre el raster de elevación se obtiene el obstáculo determinante el que penetra en las OAS a 440,6 metros de altitud (Figura 22).

Estos son los parámetros introducidos para la aproximación a la pista 34:

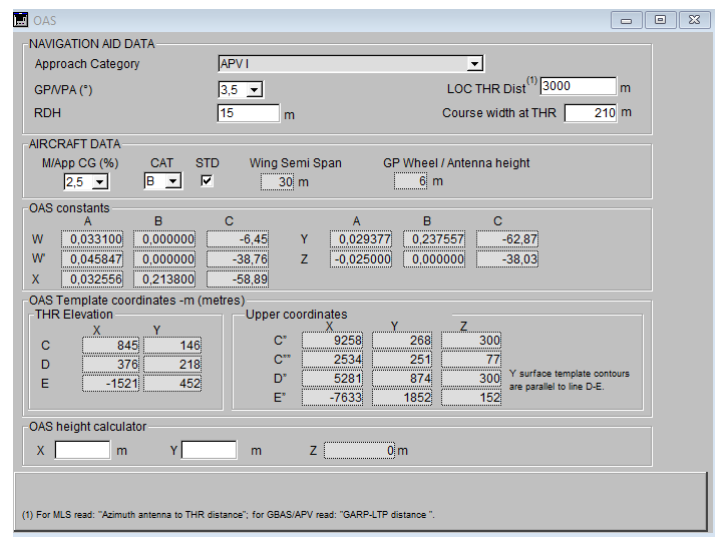


Fig. 23: Parámetros soporte lógico OAS PANS-OPS pista 34 [5].

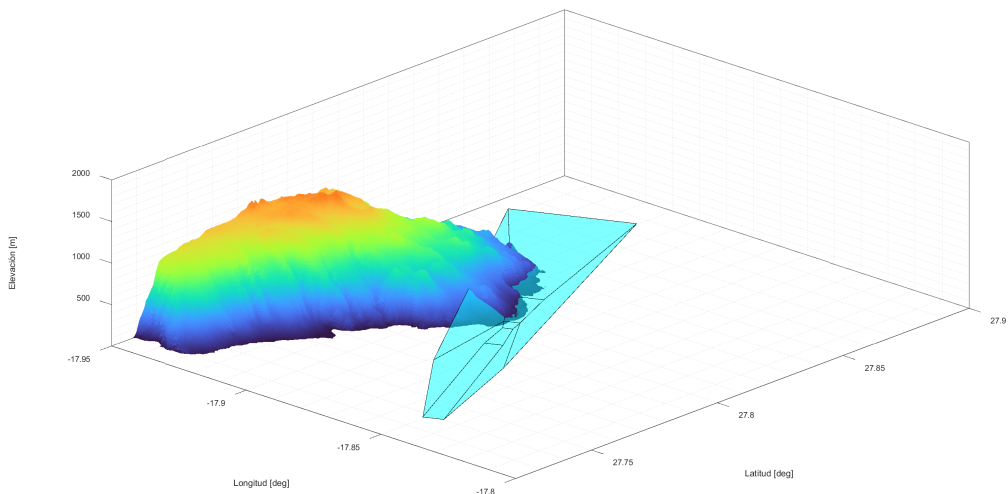


Fig. 24: Superficies OAS APV I pista 34 GCHI.

A través de la representación sobre el raster de elevación se obtiene el obstáculo determinante el que penetra en las OAS se encuentra a 456,3 metros de altitud (Figura 24).

2.2.4. Conclusiones

Como se puede observar, las superficies OAS quedan penetradas por obstáculos siendo los más determinantes los mencionados anteriormente. Dado que las superficies VSS quedan libres de obstáculos si que sería posible ajustar la OCA/H pertinente para el procedimiento a través de los valores OCA/H y mínimos de franqueamiento de obstáculos.

Para el caso concreto a estudio en esta memoria, la aplicación de una aproximación LPV (APV-I) sí que sería posible pero esta no aportaría ventajas operacionales y en seguridad significativas a causa de los obstáculos tan elevados que penetran en las superficies OAS. Finalmente, la aproximación LPV al aeropuerto de El Hierro no se considera una alternativa óptima y por tanto no se continuará su desarrollo en esta memoria.

2.3. Aproximación LNAV (NPA GNSS)

En este apartado se detalla el diseño de la aproximación LNAV con especificación RNP APCH al aeropuerto de El Hierro a sus pistas 34 y 16 con el ATR72 como aeronave de referencia. Esta propuesta alternativa se trata de una aproximación PBN de no precisión con guiado lateral la cual empela sistemas GNSS básicos para ello.

2.3.1. VSS y pendiente de descenso

Se comienza con la obtención de las superficies VSS para la aproximación LNAV a ambas pistas. Estas se realizan de acuerdo al Doc. 8168 (ver [4], Parte I - Sección 4, Capítulo 5.4). Para este tipo de aproximación de no precisión se procede de forma análoga al ya realizado para la aproximación LPV con algunas modificaciones. La anchura de base es igual a la anchura de la franja de pista, comenzando a 60 metros del umbral y ensanchándose un 15 % a cada lado hasta la OCH. La pendiente escogida es de 3°, óptima para el tramo final de aproximación.

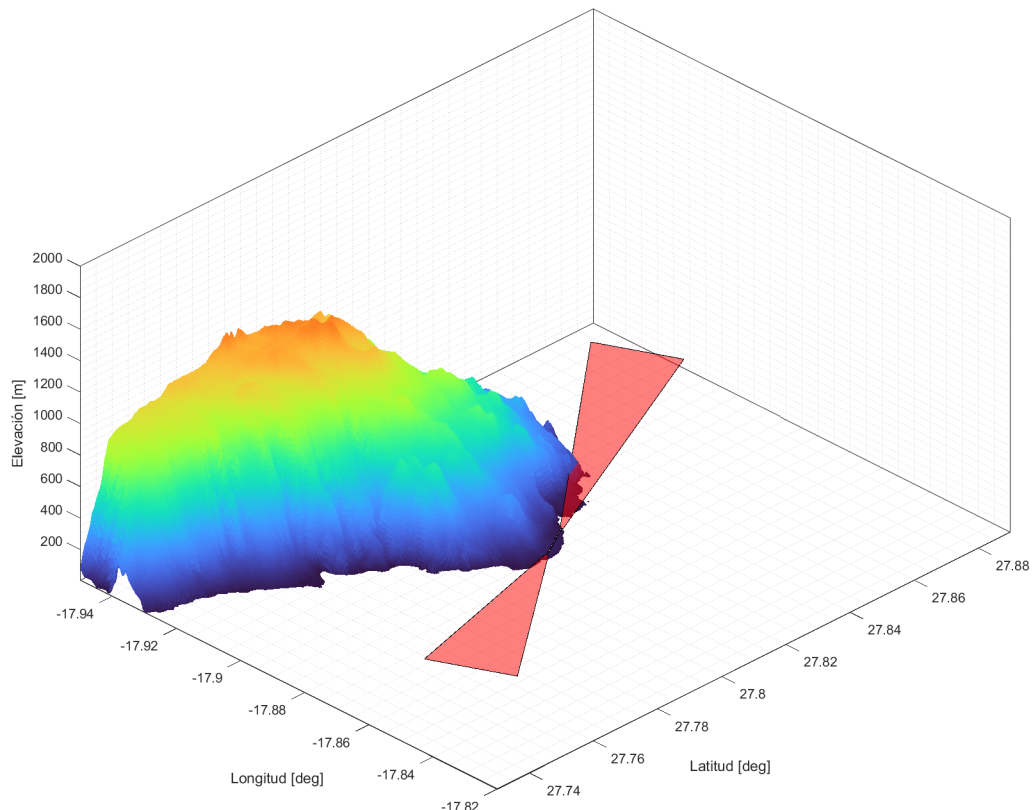


Fig. 25: VSS para aproximación APV I en las pista 34 y 16 GCHI con 3° de pendiente.

Una vez representadas las VSS se comprueba como un obstáculo del terreno penetra en la correspondiente a la pista 16. Se establece una pendiente de descenso necesaria de 4,2° completando así la protección de las superficies VSS (Figura 26).

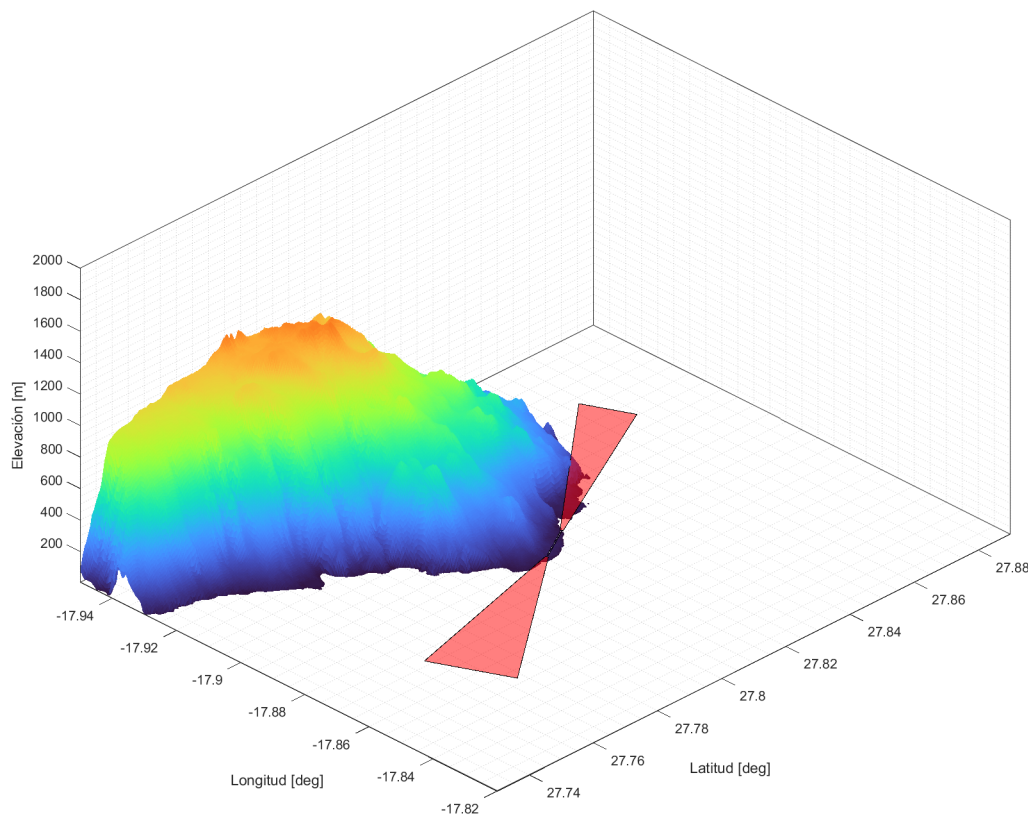


Fig. 26: VSS para aproximación APV I en las pista 34 y 16 GCHI con 3° y $4,2^\circ$ de pendiente, respectivamente.

2.3.2. Tramo aproximación final

El tramo de aproximación final se construye de forma conjunta con el de aproximación frustrada al ser ambos los tramos críticos en la aproximación a El Hierro.

Para ello se ha establecido una longitud óptima del tramo de aproximación final tanto para la pista 34 y 16 de 9,3 km con ambos tramos alineados con el eje de pista de acuerdo al Doc. 8168 (ver [4], Parte III — Sección 2, Capítulo 3). La anchura del área queda determinada según el valor del ATT en la Figura 27 (ver [4], Parte III - Sección 1, Capítulo 2). El margen mínimo para franqueamiento de obstáculos es de 75 m en el área primaria, disminuyendo hasta 0 en las áreas secundarias.

IF/IAF/aproximación frustrada (<56 km del ARP)			FAF			MAPt/aproximación frustrada inicial en línea recta (LP/LPV solamente)			Aproximación frustrada (<28 km del ARP)		
XTT	ATT	% A/W	XTT	ATT	% A/W	XTT	ATT	% A/W	XTT	ATT	% A/W
1 852	1 482	4 630	556	444	2 685	556	444	1 759	1 852	1 482	3 704

Fig. 27: XTT, ATT y semianchura del área para RNP APCH (aviones) en las fases de vuelo de aproximación inicial/intermedia/final y de aproximación frustrada (m) [4].

La posición del MAPt nominal se representa inicialmente de forma ideal sobre la cabecera de ambas pistas. Dados los obstáculos próximos al aeropuerto, los cuales penetran en la superficie de tramo final, así como posteriores, es necesario el retrasar la posición de este punto de referencia así como incrementar su altitud con tal de cumplir el franqueamiento de obstáculos. Se obtienen valores obtenidos para la posición del MAPt y su representación para la aproximación LNAV en las pistas 34 y 16 (Figura 28)).

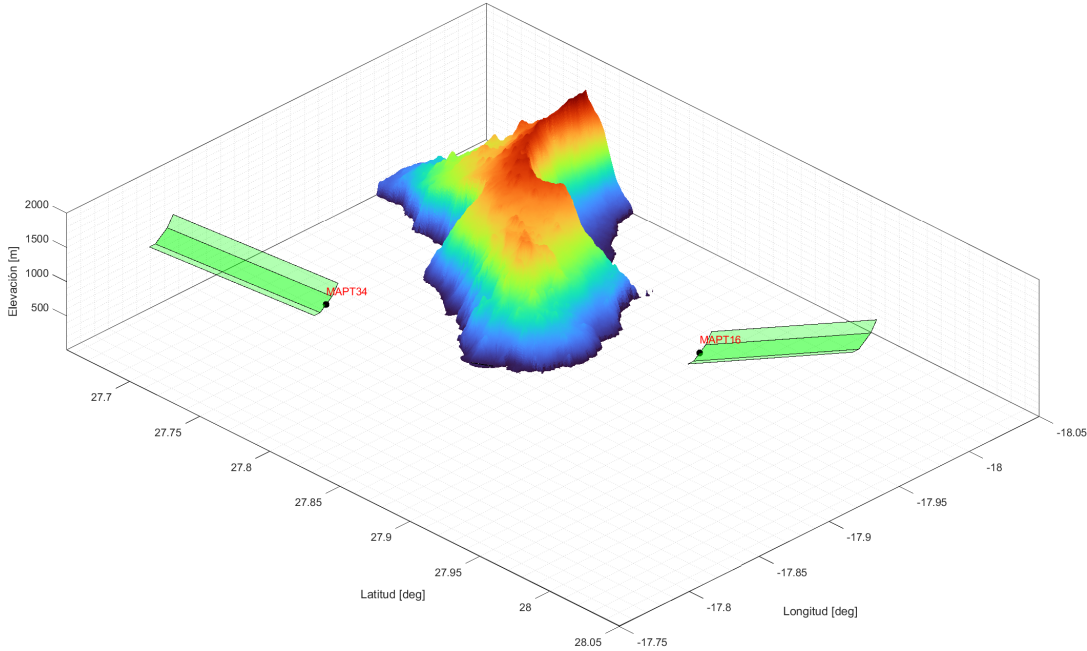


Fig. 28: Representación tramo final y MAPt nominal para aproximación LNAV pista 16 y 34.

La posición del MAPt nominal respecto el umbral de las pistas 34 y 16 es de 8170,4 m y 1163,3 m de separación horizontal y a 600 pies y 610 pies de altitud respectivamente. Este tramo cuenta con una pendiente de descenso de 3° y $4,2^\circ$ respectivamente. A partir de este punto, dado que se trata de una aproximación de no precisión comenzará el tramo de aproximación frustrada.

2.3.3. Tramo aproximación frustrada

El diseño de la aproximación frustrada en todos sus tramos atiende a las indicaciones del Doc.8168 (Ver [4], Parte III - Sección 3, Capítulo 3.2). La anchura del área de aproximación frustrada viene dada por la Figura 27, además a partir del MAPt existe un incremento de 15° a cada lado de la derrota de aproximación hasta alcanzar el SOC (Figura 29).

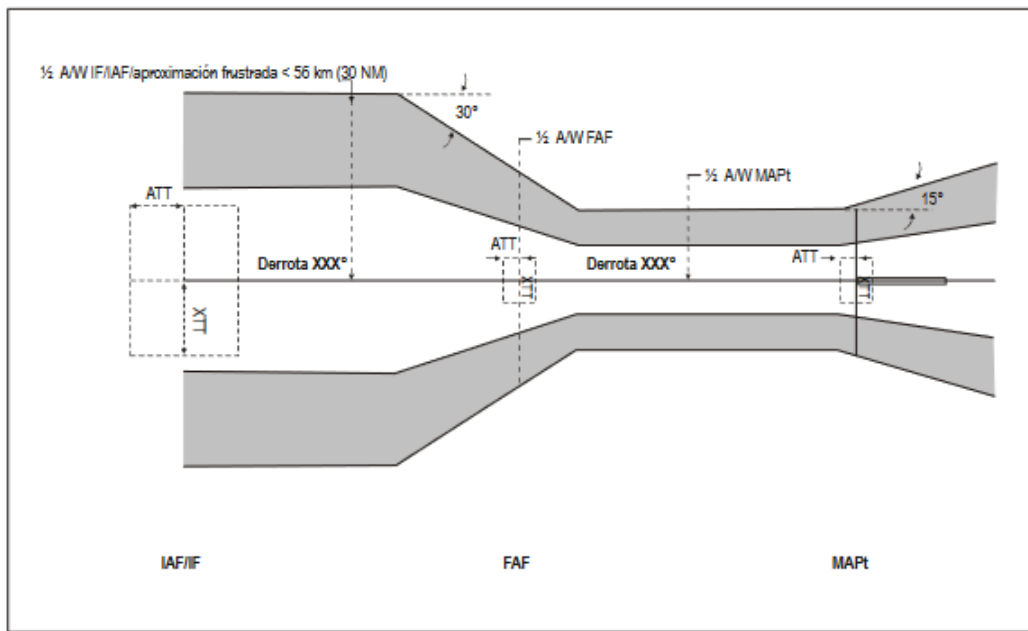


Fig. 29: Áreas RNP APCH. Figura III-3-3-2 [4].

El SOC o punto de comienzo del ascenso se determina una vez establecido el MAPt como un punto de referencia en el procedimiento de aproximación. En el Doc. 8168 (Parte I - Sección 4, Capítulo 6, ‘Criterios generales en el tramo de aproximación frustrada’), se presentan varios métodos de cálculo.

Por su aplicación y objetivo del presente proyecto se ha optado por el método simplificado para la determinación del SOC. Este método proporciona una estimación para altitudes de hasta 4000 metros (dentro del rango de operación) y queda determinado por la distancia FAF al MAPt (nominal) más la distancia de transición.

Para realizar el cálculo propuesto se debe acudir a la Tabla I-4-6-2 [4], donde se define la distancia de transición según tipo de aeronave. En el caso de el ATR72 tipo B y dado que se ha establecido una longitud óptima del tramo final, los valores obtenidos son iguales para ambas pistas.

$$D_{FAF \rightarrow MAPt} = 9300 \text{ m}$$

$$X_{Transicion} = \max(0,0681 \cdot D_{FAF \rightarrow MAPt} + 3352, 0,3246 \cdot D_{FAF \rightarrow MAPt} + 1653)$$

$$X_{SOC16} = X_{SOC34} = 4671,78 \text{ m}$$

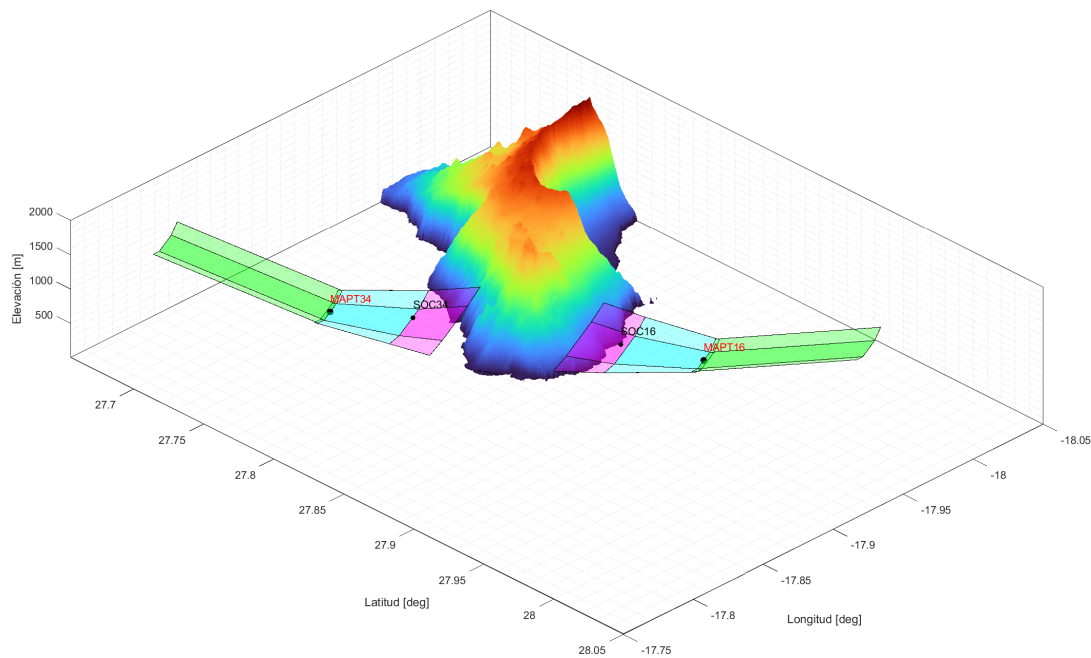


Fig. 30: Tramo final y frustrada inicial e intermedia para las pistas 16 y 34. Aproximación LNAV.

Para el tramo final de frustrada, el más crítico en cuanto a la protección contra obstáculos se refiere, se ha aplicado un viraje de 15° a la derrota en dirección este con el objetivo de evitar la formación montañosa próxima al campo (Figuras 31 y 32). Al tratarse de un viraje de 15° o inferior aplican los criterios de aproximación frustrada en línea recta mostrados en el Doc.8168 (ver [4], Parte I - Sección 4, Capítulo 6.6).

Se aplica un margen mínimo para franqueamiento de obstáculos (MOC) de 50 metros en el tramo final de frustrada.

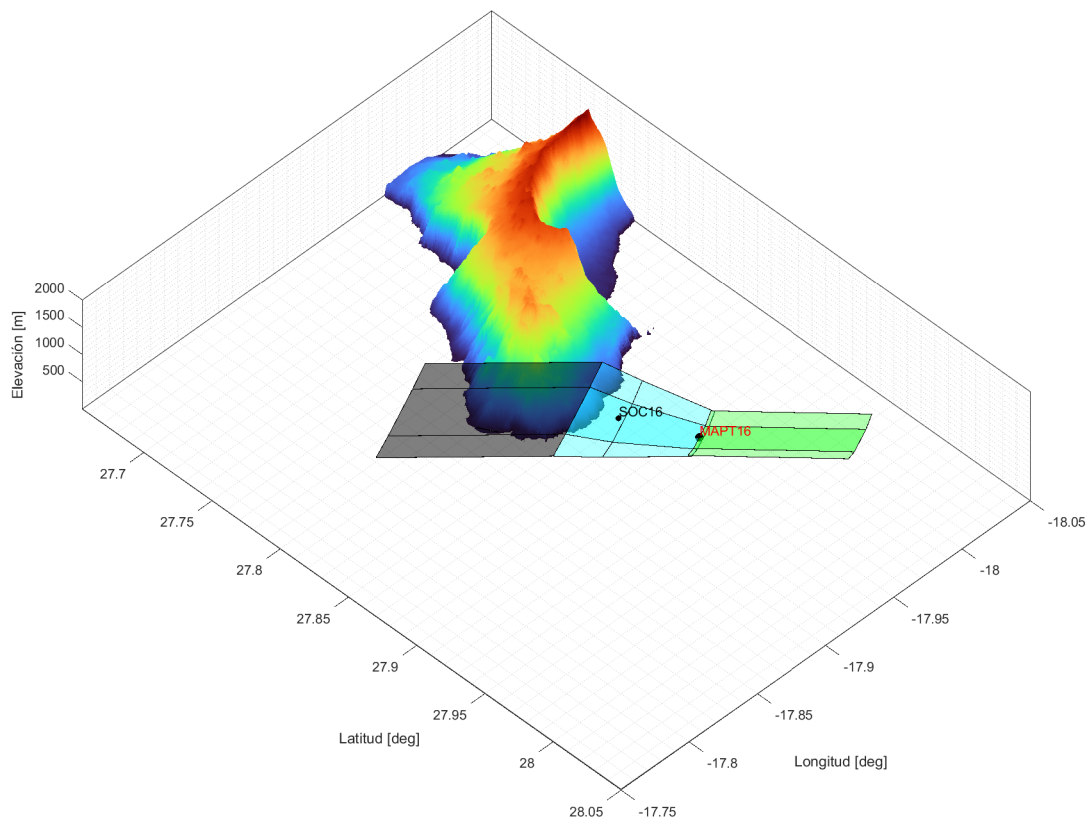


Fig. 31: Aproximación LNAV tramos final y frustrada pista 16.

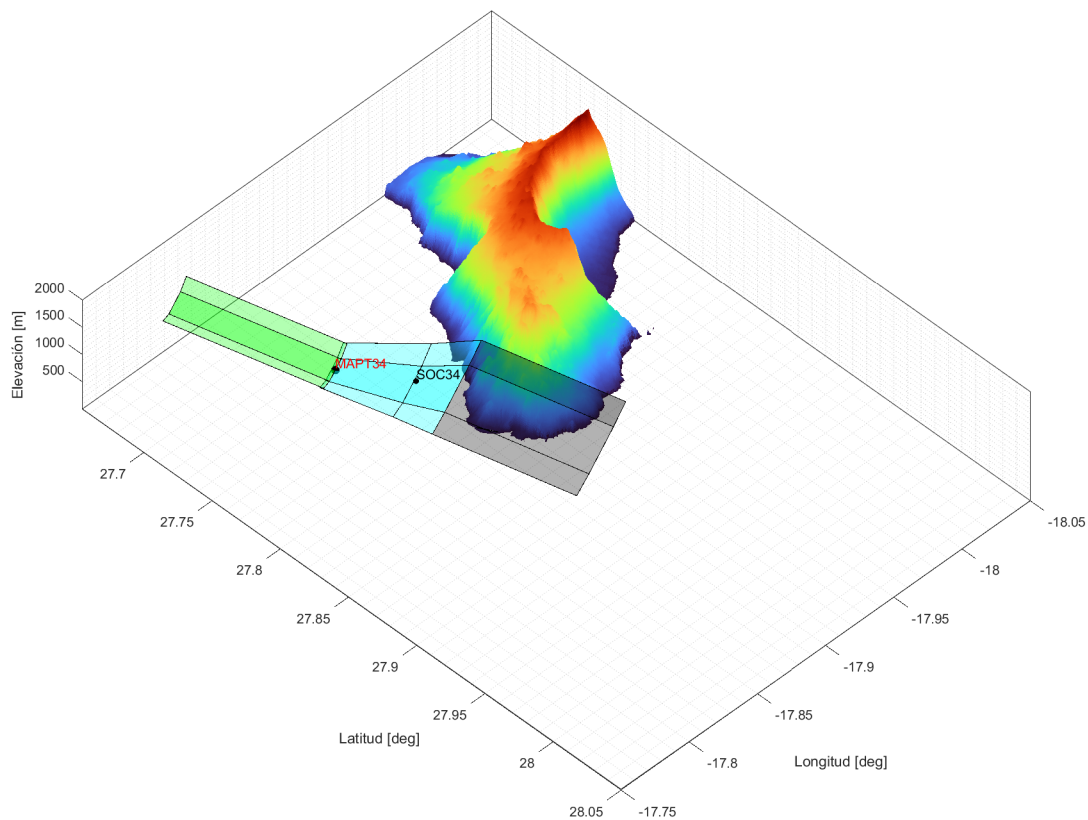


Fig. 32: Aproximación LNAV tramos final y frustrada pista 34.

2.3.4. Tramo intermedio

El diseño del tramo intermedio de aproximación se hace seguidamente al tramo final de forma alineada con la pista.

El tramo se diseña con la longitud óptima para el tipo de aproximación, siendo de 9,3 km y una semianchura de 4630 metros en el punto IF (Figura 27). El MOC en el tramo es de 150 metros en el área principal. La confluencia del tramo intermedio con el final se realiza de acuerdo al Doc.8168 (ver [4], Parte III, Sección 1, Capítulo 1, 5.4) (Figuras 34 y 35).

‘Para llegadas y aproximaciones, la anchura del área se define, en el punto donde la fase de vuelo y/o la XTT cambia, usando el valor intermedio para la fase precedente y el valor XTT para la fase subsiguiente. Cuando la anchura del área del tramo subsiguiente es menor que la anchura del área del tramo precedente, la confluencia se logra usando una línea a 30° de la derrota nominal apoyada en la anchura del área en el punto de cambio (p. ej., IF y FAF).’

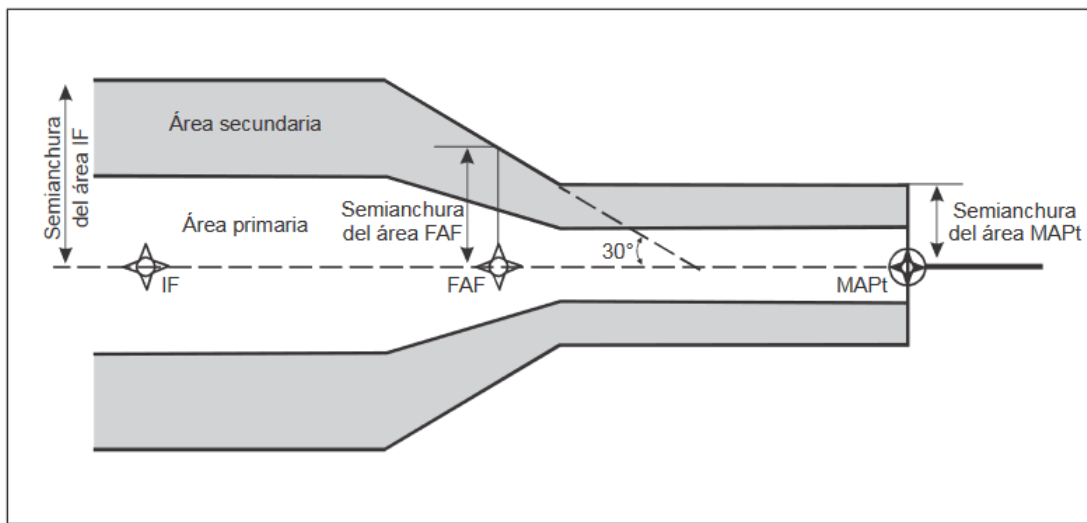


Fig. 33: Confluencia de áreas en el FAF [4].

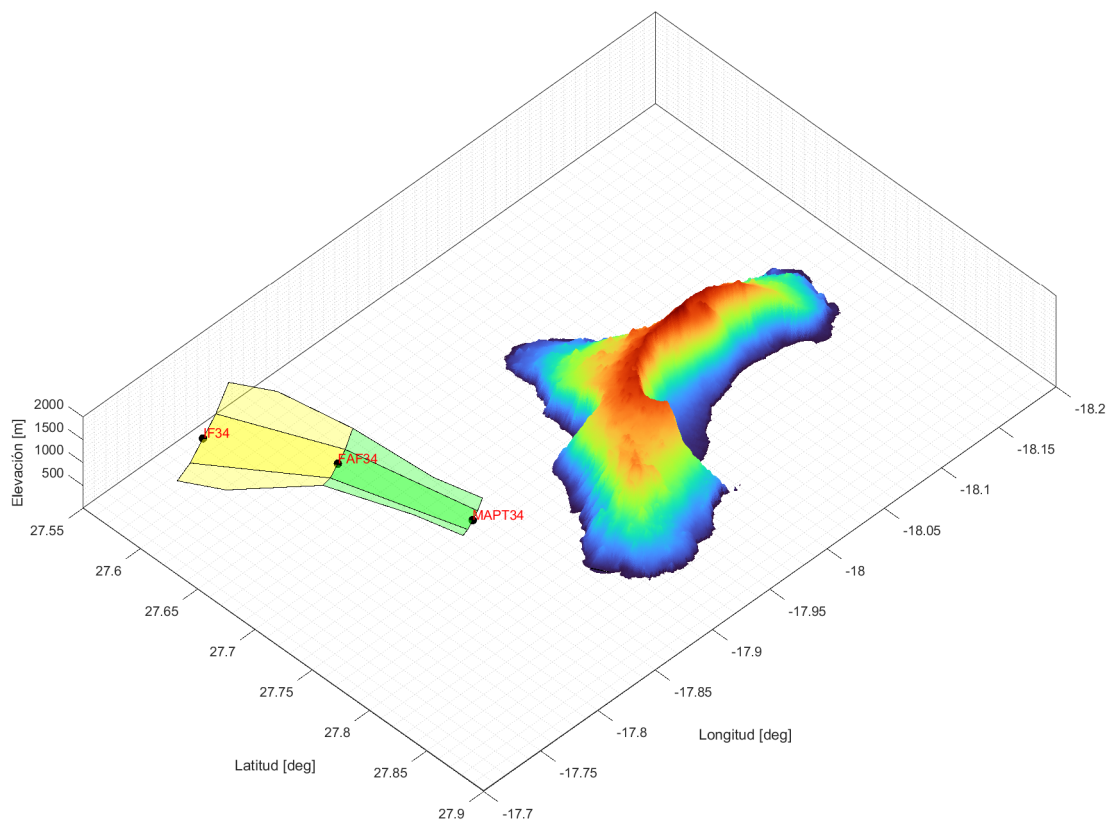


Fig. 34: Aproximación LNAV tramo intermedio y final pista 34 [4].

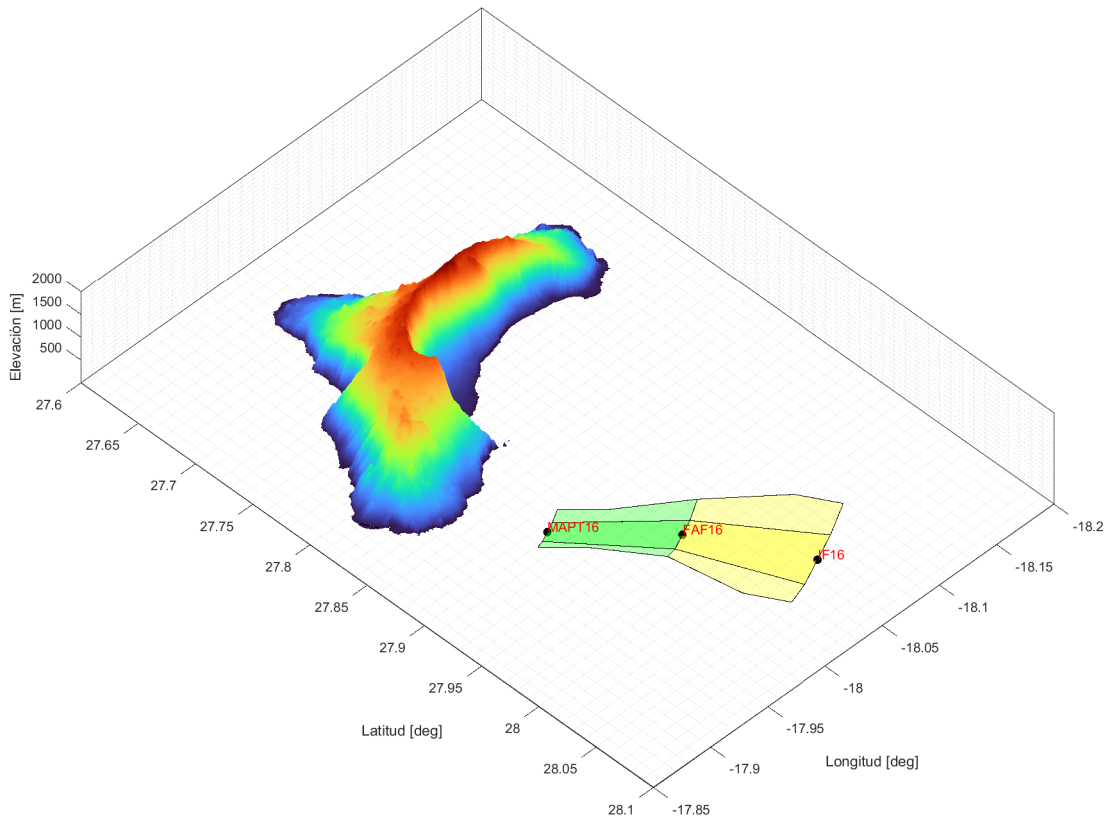


Fig. 35: Aproximación LNAV tramo intermedio y final pista 16 [4].

2.3.5. Tramo inicial

Por último se plantea el tramo inicial de la aproximación con un viraje de 90° hacia el este, favorable en cuanto a franqueamiento de obstáculos y con orientación hacia la ruta de llegada más común actualmente a El Hierro.

El diseño se realiza de acuerdo al Doc.8168 (ver [4], Parte III, Sección 3, Capítulo 2). La longitud del área es de 9,3 km con una pendiente de descenso del 4 %, valores óptimos para este tipo de procedimiento. El margen mínimo de franqueamiento de obstáculos es de 300 metros en este tramo.

El viraje situado en el IF atiende a las indicaciones del Doc.8168 (ver [4], Parte III, Sección 2, Capítulo 2). En concreto el viraje se diseñará mediante el método de arco de círculo, el cual se puede aplicar en el tramo de aproximación inicial en un viraje de paso.

Se realiza una protección exterior del viraje mediante arcos de círculo con centro en el punto en el que la bisectriz de la recta entre los dos puntos límites intersectan la perpendicular del tramo anterior. El tramo de protección interior se diseña a través de la unión de las respectivas áreas primaria y secundaria antes y después del punto de recorrido.

A continuación se presenta el tramo de aproximación inicial calculado junto con el tramo intermedio y final para ambas aproximaciones (Figuras 36 y 37).

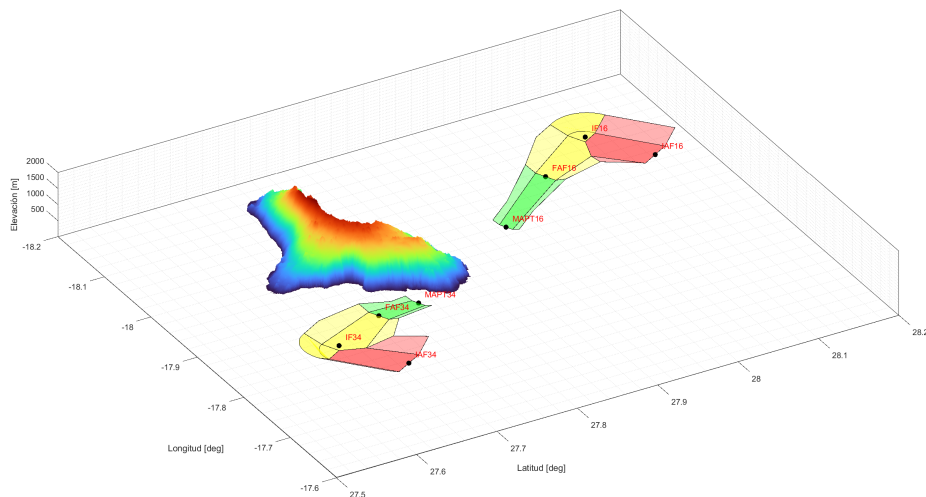


Fig. 36: Aproximación inicial-intermedia-final LNAV pistas 16 y 34.

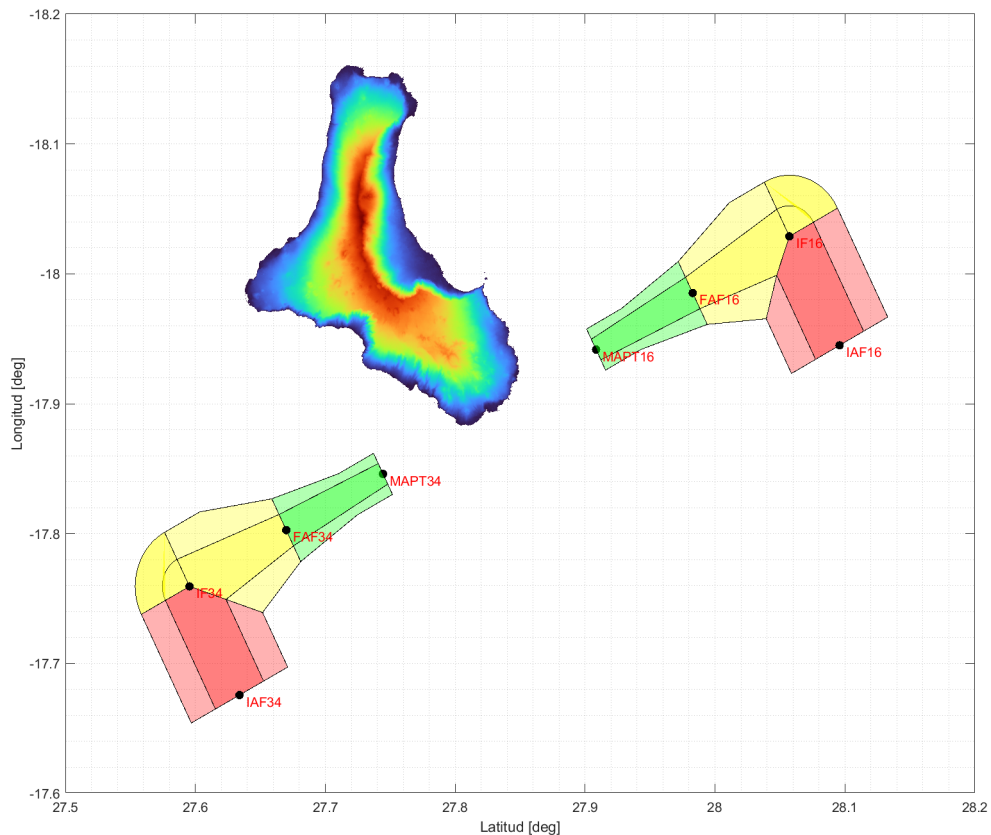


Fig. 37: Aproximación inicial-intermedia-final LNAV pistas 16 y 34 (vista en planta).

2.3.6. OCA/H

La OCA/H en procedimientos de no precisión, como es el caso de la aproximación LNAV a estudio, se define como la altitud o altura más baja por encima de la elevación del umbral

o por encima de la elevación del aeródromo, según corresponda, utilizada para respetar los correspondientes criterios de franqueamiento de obstáculos.

Los valores obtenidos para la OCA/H en el procedimiento LNAV son los siguientes:

OCA/H Aproximación LNAV (GCHI)				
	Pista 16 (m)	Pista 34 (m)	Pista 16 (ft)	Pista 34 (ft)
OCH	550	570	1800	1860
OCA	580	600	1900	1960

Tabla 2: OCA/H para aproximación LNAV GCHI.

2.4. Aproximación RNP - VPT (NPA)

Por último, se ha optado por realizar una aproximación RNP-VPT. Este tipo de procedimiento incluye el tramo de aproximación instrumental tipo RNP APCH seguido de un tramo visual donde se definen las referencias visuales a seguir durante la aproximación final.

Este tipo de aproximación puede mejorar la seguridad y capacidad operacional en El Hierro dada su compleja orografía y condiciones en la aproximación final. El tramo RNP permite una rápida y eficaz aproximación hasta el MAPt, mientras que el tramo VPT aporta la seguridad y maniobrabilidad propia de un segmento visual.

2.4.1. Descripción de maniobra

La aproximación RNP APCH previa al tramo de derrota prescrita visual finaliza en el donde comenzará el tramo de divergencia VPT. Las referencias proporcionadas en el procedimiento pueden complementarse mediante puntos de referencia como VOR/DME y coordenadas manteniendo la referencia visual en cualquier caso con el terreno.

Dado que actualmente la gran mayoría de vuelos con destino El Hierro parten del aeropuerto de Tenerife Norte (GCXO) y en menor medida desde Gran Canaria (GCLP). Se ha optado por diseñar el tramo RNP de la aproximación con el objetivo de facilitar su uso y aprovechar la infraestructura de navegación actual desde el origen más común de las aeronaves que recibe el aeropuerto, Tenerife Norte.

Se parte siguiendo la ruta estándar Tenerife (GCXO) - El Hierro (GCHI), la cual esta formada por la salida normalizada por instrumentos (SID) HIE6K de la pista 12 y HIE4J de la pista 30. Estas salidas se aproximan al aeropuerto de El Hierro desde el waypoint MOROD siguiendo rumbo 228° al NDB HIE situado junto a la terminal y con frecuencia 376,00 kHz (Figura 38 y 39). La posibilidad de desarrollar una llegada instrumental (STAR) no se abordará en esta memoria pero sí se tomara como posible origen para las llegadas.

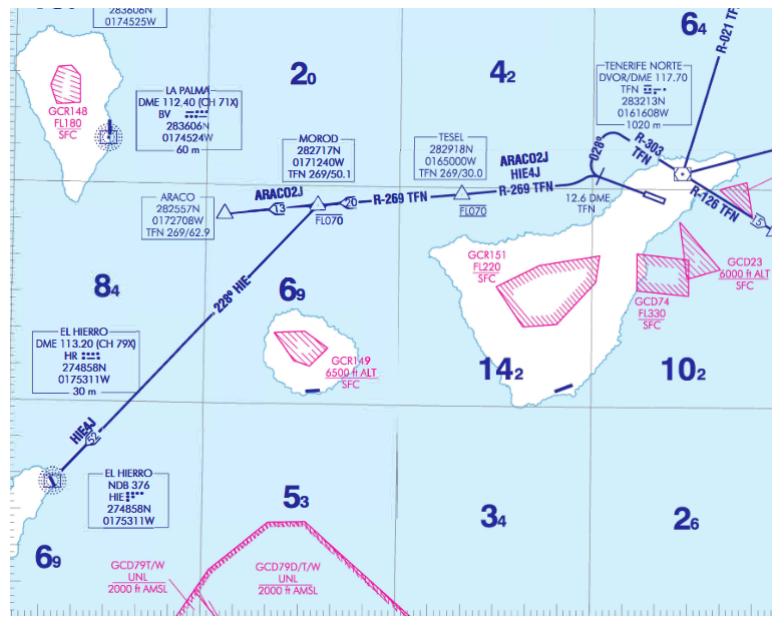


Fig. 38: Carta SID GXCO RWY 30 [1].

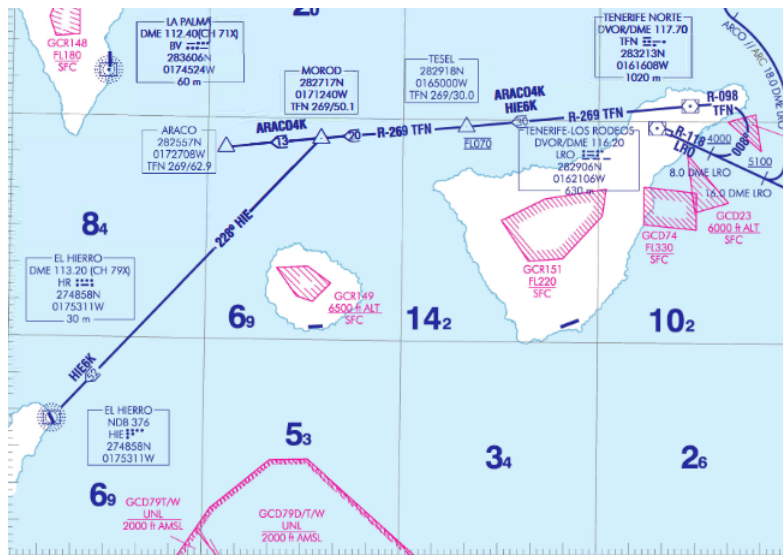


Fig. 39: Carta SID GXCO RWY 12 [1].

2.4.2. Diseño del circuito visual de derrota prescrita (VPT)

El tramo VPT forma un circuito de tráfico visual completo de forma ideal con los tramos propios de este. Las especificaciones del diseño se encuentran en el Doc. 9168 [4], apéndice del Capítulo 7 ‘Maniobras visuales utilizando derrotas prescritas’), donde se especifica el cálculo del radio de viraje y longitud tramo final de la derrota prescrita el cual viene definido por la velocidad de aproximación final según el tipo de aeronave. Las características de la maniobra se muestran en la Figura 40.

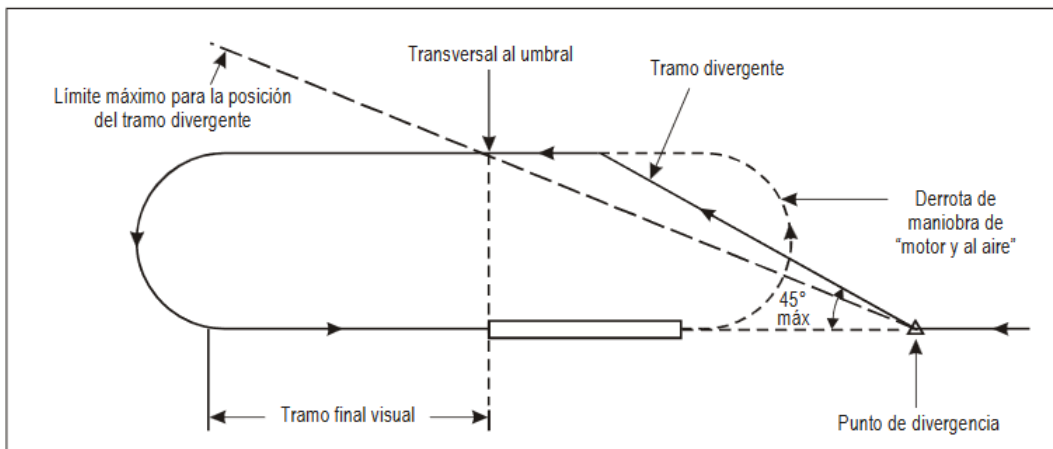


Fig. 40: Caso general de derrota normalizada [4].

Categoria de aeronaves	V_{at}	Gama de velocidades para aproximación inicial	Gama de velocidades para aproximación final	Velocidades máximas para maniobras visuales (en circuito)	Velocidades máximas para aproximación frustrada	
					Intermedia	Final
A	<169	165/280 (205*)	130/185	185	185	205
B	169/223	220/335 (260*)	155/240	250	240	280
C	224/260	295/445	215/295	335	295	445
D	261/306	345/465	240/345	380	345	490
E	307/390	345/467	285/425	445	425	510
H	N/A	130/220**	110/165***	N/A	165	165
Cat H (PinS)***	N/A	130/220	110/165	N/A	130 ó 165	130 ó 165

Velocidad en umbral V_{at} basada en 1,3 veces la velocidad de pérdida V_{so} o en 1,23 veces la velocidad de pérdida V_{sig} en configuración de aterrizaje con masa máxima certificada. (No aplicable a helicópteros).

* Velocidad máxima para procedimientos de inversión e hipódromo.

** La velocidad máxima para procedimientos de inversión e hipódromo hasta 6 000 ft inclusive es de 185 km/h, y de 205 km/h por encima de 6 000 ft.

*** Los procedimientos de aproximación a un punto en el espacio para helicópteros basados en GNSS básico se podrán diseñar con velocidades máximas de 220 km/h para los tramos de aproximación inicial e intermedia, y de 165 km/h para los tramos de aproximación final y frustrada o de 165 km/h para los tramos de aproximación inicial e intermedio y de 130 km/h para los tramos de aproximación final y frustrada dependiendo de las necesidades operacionales. Véase la Parte IV, Capítulo 2.

Nota.— Las velocidades V_{at} de la columna 2 de esta tabla son la conversión exacta de los valores de la Tabla I-4-1-2, puesto que aquellos valores determinan la categoría de las aeronaves. Las velocidades de las columnas restantes se han convertido y redondeado al múltiplo de cinco más próximo por razones operacionales y, desde una óptica de seguridad operacional, se consideran equivalentes.

Fig. 41: Velocidades (IAS) para el cálculo de procedimientos en km/h. Tabla I-4-1-1 [4].

La pendiente óptima es de 3° con un ángulo de inclinación lateral de 25°/s. El área asociada al procedimiento consta de la derrota nominal calculada más un área W situada al exterior de esta con un valor tal y como muestra la Figura 42. El MOC y OCH y visibilidad mínima del procedimiento atiende a los valores recomendados en la Figura 43 resultando el mismo obstáculo determinante que el calculado en el área de maniobra visual de 143 metros y por tanto una

OCA/H de 233 metros que se calcula posteriormente.

Categoría de aeronaves	A	B	C	D	E
Semianchura del corredor (w) metros (pies)	1 400 4 593	1 500 4 921	1 800 5 905	2 100 6 890	2 600 8 530

Fig. 42: Semianchura del corredor VPT. Tabla I-4-7-Ap-1 [4].

Categoría de aeronaves	Margen de franqueamiento de obstáculos m (ft)	OCH mínima por encima de la elevación del aeródromo m (ft)	Visibilidad mínima km (NM)
A	90 (295)	120 (394)	1,9 (1,0)
B	90 (295)	150 (492)	2,8 (1,5)
C	120 (394)	180 (591)	3,7 (2,0)
D	120 (394)	210 (689)	4,6 (2,5)
E	150 (492)	240 (787)	6,5 (3,5)

Fig. 43: MOC, OCH y visibilidad mínima para maniobras visuales de derrota prescrita. Tabla I-4-7-Ap-2 [4].

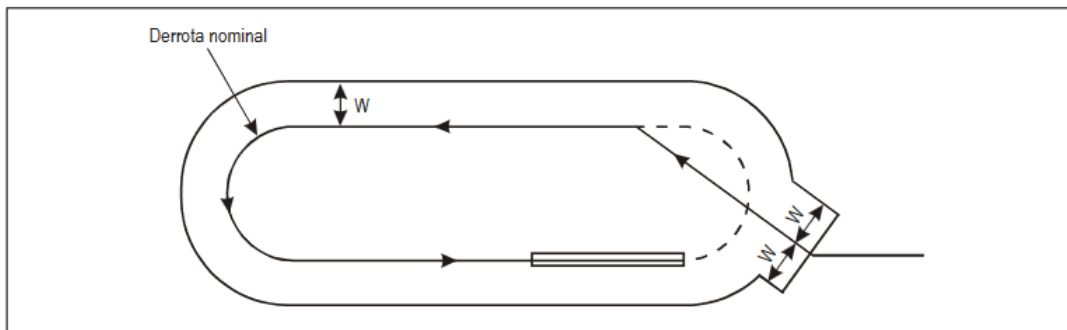


Fig. 44: Área VPT [4].

Se realiza el diseño del procedimiento de derrota prescrita mostrado a continuación, para la pista 34 (azul) y 16 (rojo) junto con la limitación de semianchura.

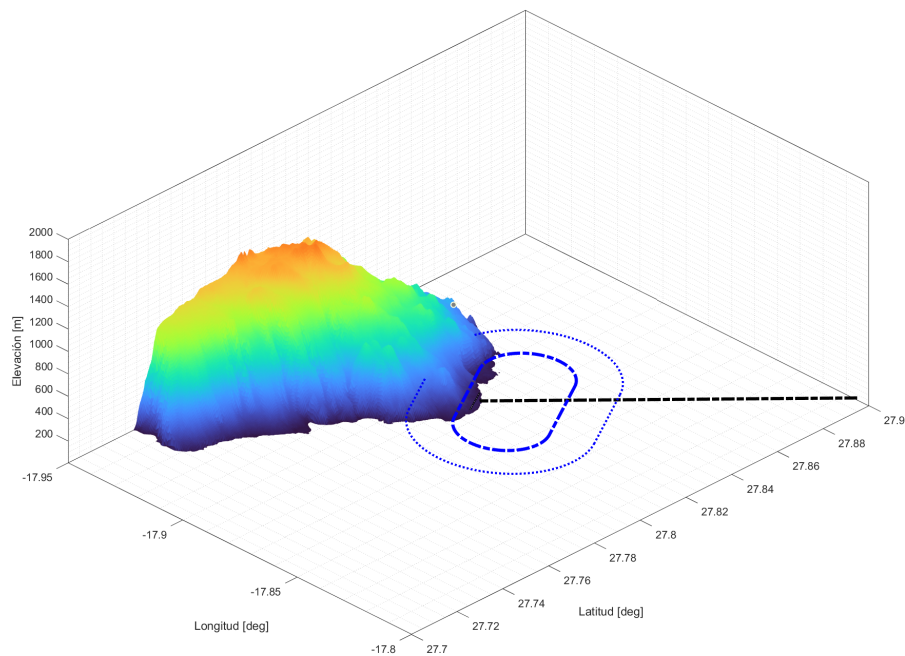


Fig. 45: Procedimiento VPT pista 34 (azul) y HIE 228° (negro).

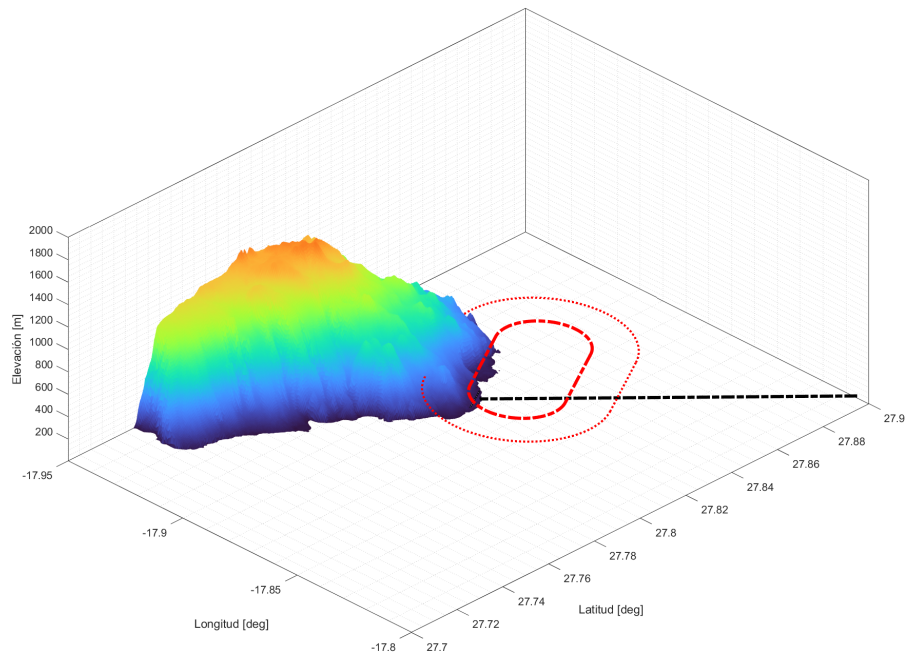


Fig. 46: Procedimiento VPT pista 16 (rojo) y HIE 228° (negro).

Cabe destacar que el procedimiento de frustrada se compone de un ascenso hasta la altitud del circuito VPT (OCA/H de circuito visual) el cual se propone del 2,5 %.

2.4.3. Tramo divergente (Aproximación final - VPT)

El tramo divergente une la aproximación final por instrumentos hasta el procedimiento VPT. Este cuenta con ciertas limitaciones tal y como recomienda el apéndice del Capítulo 7 [4].

‘2.4.3 El ángulo que forman el tramo divergente y la pista utilizada para la derrota prescrita deberá ser inferior o igual a 45°.’

Por tanto el tramo divergente el cual determina también el final de la aproximación instrumental (MAPt) se ubica a 45° respecto de la derrota de pista a una distancia de conveniencia de 5000 metros respecto del punto de viraje base a final del circuito visual de derrota prescrita ya mostrado. La altura del MAPt la misma que la OCA/H del tramo VPT dado que el procedimiento RNP se encuentra en su totalidad sobre el mar y por tanto no cuenta con obstáculos que penetren sus superficies.

2.4.4. Diseño aproximación instrumental (RNP)

El diseño del tramo RNP de la aproximación se ha realizado de forma análoga de la aproximación LNAV (RNP APCH) manteniendo la posible llegada instrumental ya presentada desde Tenerife y el tramo divergente VPT.

Las longitudes de los tramos escogidas son de 9300 metros, las recomendadas como óptimas por el Doc. 8168 (Ver [4]) al igual que las pendientes de descenso, de 3° en el tramo inicial y final y nulo para el intermedio y la confluencia de tramos. En cuanto al margen de franqueamiento de obstáculos y semianchura de área en cada tramo se mantienen los empleados en la aproximación RNP APCH anterior (Figura 27).

Por último, en el IF, posterior a los tramos iniciales de las aproximaciones se plantea un viraje desde la posible derrota de llegada desde el radial 228 para ello se efectúa un viraje de 90° para la pista 34 y 60° para la pista 16 en este punto.

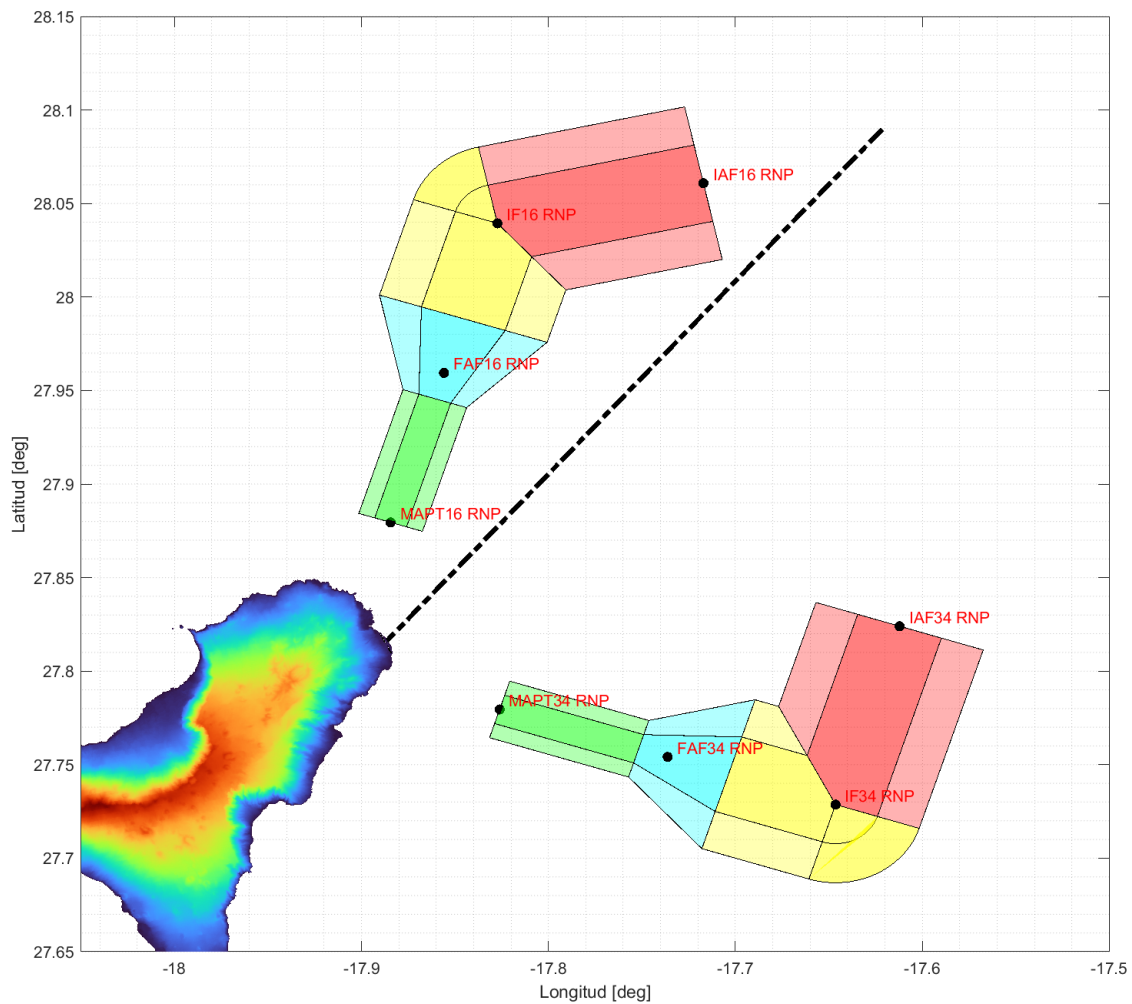


Fig. 47: Tramos aproximación RNP GCHI pista 16 y 34 (vista en planta).

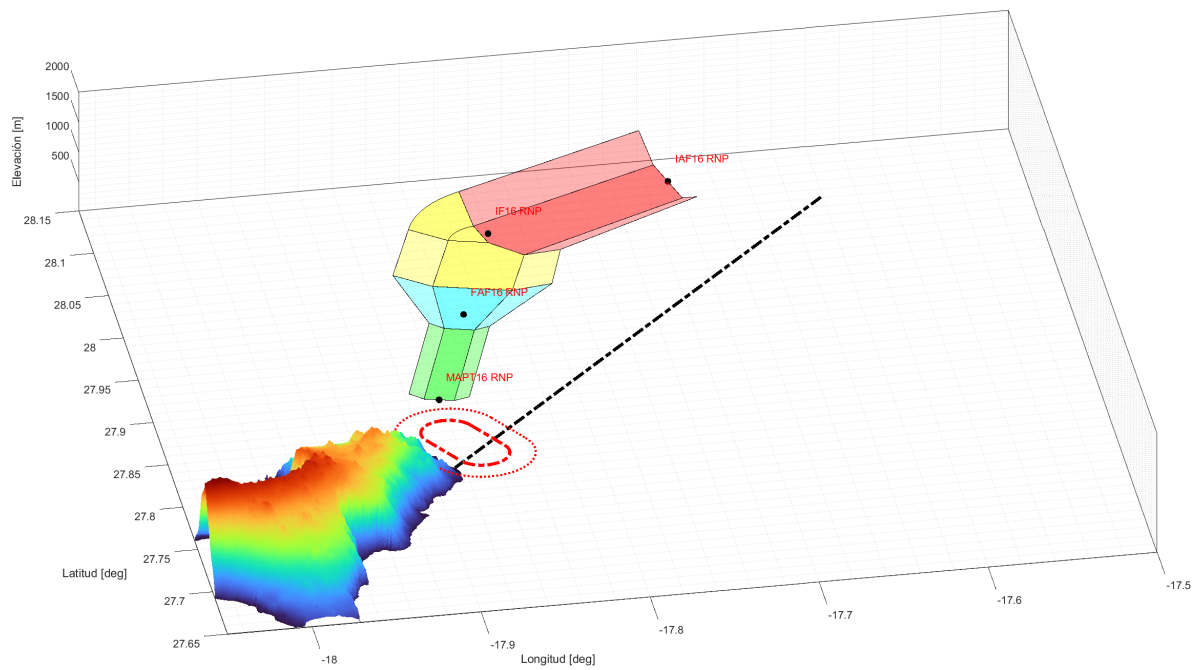


Fig. 48: Aproximación RNP-VPT pista 16 GCHI.

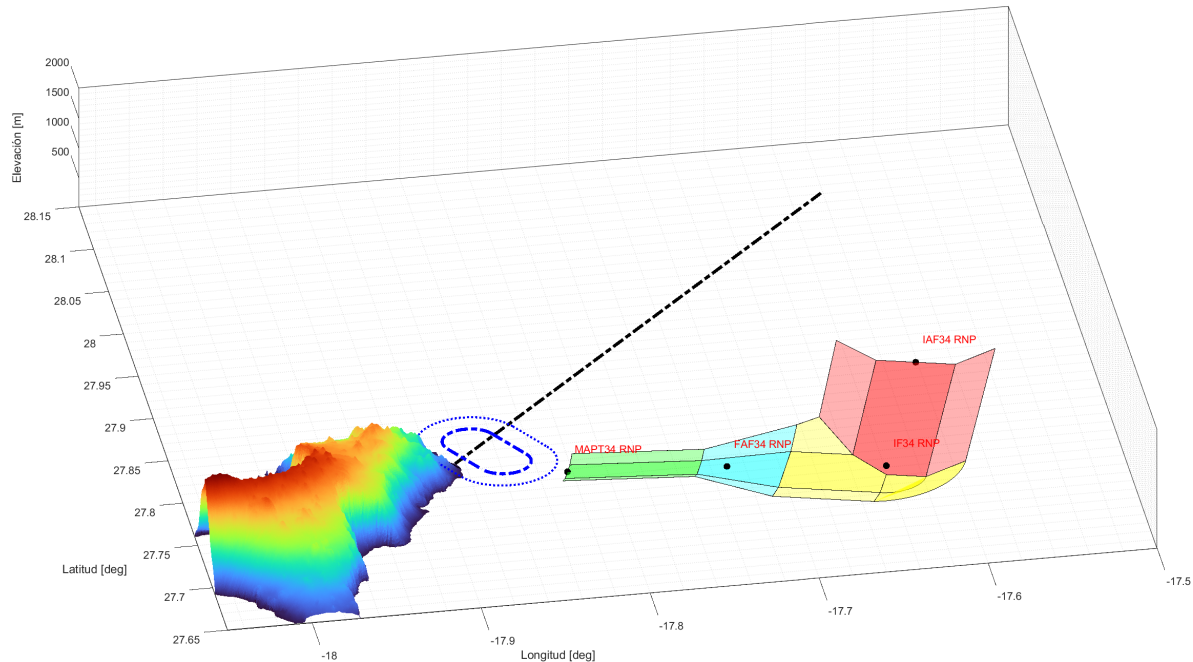


Fig. 49: Aproximación RNP-VPT pista GCHI.

2.4.5. OCA/H

Los valores obtenidos para la OCA/H en el procedimiento RNP-VPT son los siguientes:

OCA/H Aproximación RNP-VPT (GCHI)				
	Pista 16 (m)	Pista 34 (m)	Pista 16 (ft)	Pista 34 (ft)
Altura obstáculo	111	111	364,2	364,2
Altitud obstáculo	143	143	469,2	469,2
OCH	201	201	659,4	659,4
OCA	233	233	764	764

Tabla 3: OCA/H para aproximación RNP-VPT GCHI.

OCA/H		A	B	C	D
STA	LNAV	2,5 %	1960 (1860)		
	RNP-VPT	2,5 %	770 (660)		
En circuito (H) sobre 106		770 (660)			

Tabla 4: Caja de mínimos.

2.5. Conclusiones y tabla de mínimos

Se muestran los resultados obtenidos para las aproximaciones diseñadas: LNAV y RNP-VPT (Tabla 4). Las unidades que se publican están redondeadas a la decena y en pies siendo la OCA el primer valor y la OCH el segundo entre paréntesis. Se han incluido los mínimos en aproximación visual en circuito calculados en el Anexo de este documento.

A través del presente proyecto se ha analizado, desarrollado y calculado tres diferentes aproximaciones GNSS al aeropuerto de El Hierro. En primer lugar, se plantea la aproximación LPV (SBAS APV-I) la cual a pesar de cumplir con la protección de superficies visuales (VSS) queda totalmente penetrada en las OAS. Aunque es viable su aplicación, esta aproximación se desestima para el desarrollo en el presente trabajo dado que no aportaría mejoras ante las aproximaciones existentes y presentadas en el trabajo (LNAV y RNP-VPT) a causa de los elevados mínimos (OCA/H).

A continuación, se presenta una aproximación alternativa, LNAV (GNSS). Esta aproximación de no precisión y guiado lateral, se desarrolla con el tramo de frustrada como la parte limitante por lo que se plantea un viraje en ese tramo con el objetivo de reducir la OCA/H del procedimiento. La aproximación diseñada presenta unos mínimos razonables muy similares a los actuales(Figura 4) por lo que se considera como alternativa viable.

Por último, se plantea la aproximación RNP-VPT la cual consta de un tramo RNP y a continuación un procedimiento de derrota prescrita visual. Esta aproximación se ha construido con el objetivo de facilitar la aproximación a los tráficos procedentes de Tenerife y Gran Canaria (únicos orígenes de vuelos a El Hierro actuales). Una vez finalizada la aproximación RNP se plantea el tramo VPT el cual permite obtener unos mínimos más convenientes con una mejora considerable en estos sobre los procedimientos actuales y el procedimiento LNAV (GNSS) desarrollado en esta memoria.

Finalmente, se ha optado por escoger las aproximaciones LNAV y RNP-VPT como alternativas viables de aproximación para El Hierro. Estas aproximaciones aportarían una actualización tecnológica significativa a los procedimientos existentes mejorando de la misma forma la capacidad operacional, seguridad y mínimos para las aeronaves con destino El Hierro.

3. Herramientas

3.1. Introducción

En este apartado se detallarán las herramientas, funciones y scripts desarrollados con el objetivo de calcular y diseñar los distintos procedimientos de aproximación ya presentados.

3.2. Modelo digital del terreno

Como base para realizar cálculos y representaciones se ha utilizado el Modelo Digital del Terreno (MDT) correspondiente a la isla de El Hierro, obtenido a través del centro de descargas del Instituto Geográfico Nacional (IGN) [6]. El modelo escogido es el MDT05 el cual ofrece una resolución de 5 metros y dio cobertura por primera vez a la isla en 2023 (Figura 50). La cuadrícula de interés para el proyecto es la 1105 correspondiente al archivo de descarga ‘PNOA_MDT05_REGCAN95_HU28_1105-1108_LID.tif’ (Figura 51).



Fig. 50: Tercera cobertura proyecto PNOA-LiDAR [6].

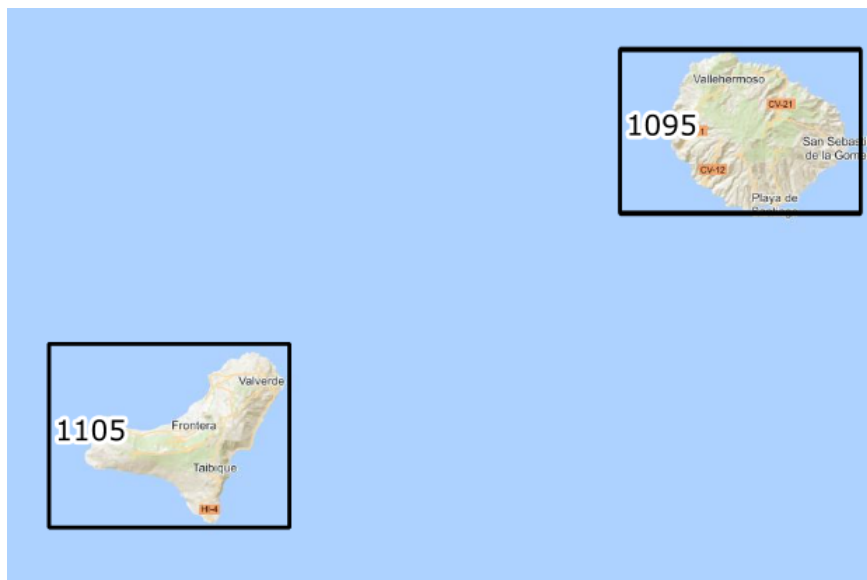


Fig. 51: Cuadrícula de El Hierro IGN [6].

El script empleado para transformar el archivo ‘.tif’ a la matriz de elevación necesaria es: ‘**RasterHierro.m**’.

En primer lugar el script permite establecer una resolución de celda personalizada, haciendo posible reducir los tiempos de carga de la CPU del ordenador a la hora de hacer las representaciones tridimensionales. Posteriormente la lectura de la información del raster se hace mediante la función ‘readgeoraster’ implementada en MATLAB la cual extrae una matriz con los datos de elevación del terreno en coordenadas UTM con información de georeferenciación.

A partir de estos datos se establecen los límites de la matriz y se transforma en coordenadas LL (Latitud-Longitud) con la función ‘utm2ll’ con una precisión de milímetros. La zona UTC seleccionada como entrada en la función es la 28 correspondiente a la isla.

Este script guarda las matrices obtenidas de la conversión en las variables ‘lat_raster’, ‘lon_raster’ y ‘mask’ en un archivo ‘.mat’ para su acceso desde otros scripts sin ser necesario realizar la lectura del raster y conversión de nuevo en estos.

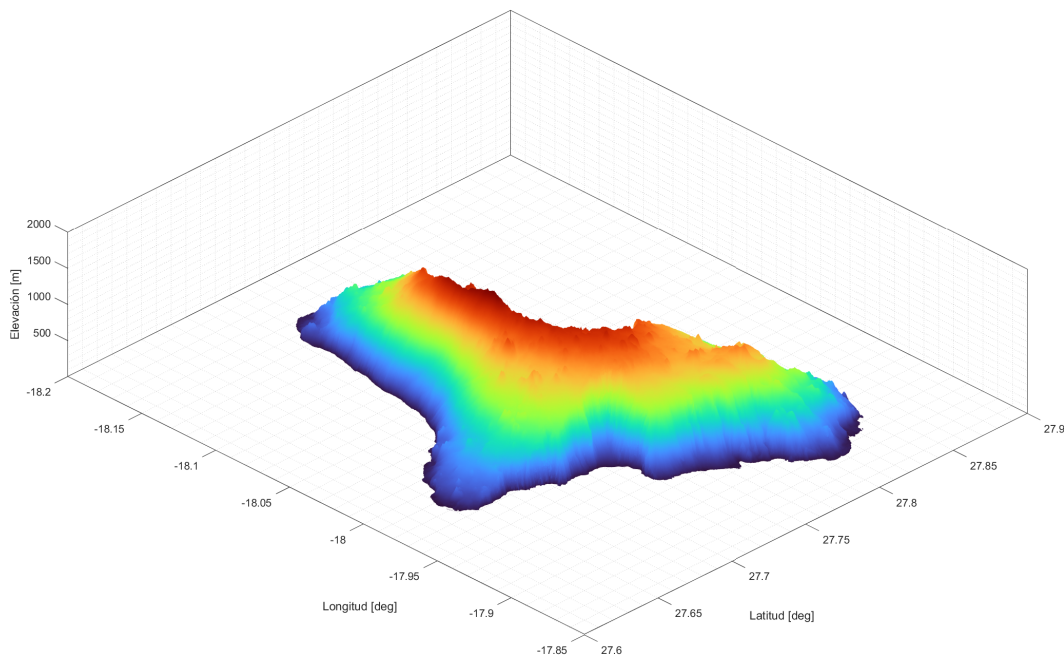


Fig. 52: Representación del raster de El Hierro (coordenadas LL).

3.3. Descripción de scripts MATLAB

En esta sección se realiza una breve descripción de los scripts creados en MATLAB con el objetivo de desarrollar el proyecto. En el Anexo A3 de este mismo documento se muestran los scripts de forma completa con comentarios detallados en cada sección para su comprensión y uso.

Script 1: RasterHierro.m

- Carga el modelo digital del terreno en formato '.tif' empleando la función de MATLAB 'readgeoraster' y guarda la matriz de elevación y struct de georeferenciación asociado. Permite ajustar la resolución de visualización reduciendo así los tiempos de carga. Como opción adicional al final del script se añade el código necesario para realizar la extracción de los datos de obstáculos obtenidos del AIP en la tabla de datos 'LE_Amdt_A_2023_16_AD_2_10_GCHI_en.csv' para guardarlos convenientemente en el archivo 'obstaculos.mat'.
- Los datos de entrada necesarios son: opciones de personalización de resolución y visualización, el archivo MDT y de forma opcional el archivo de obstáculos del aeropuerto.
- Como resultado guarda la información obtenida del raster realizando la conversión de coordenadas de UTM a LL y aplicando la resolución deseada por el usuario.

Script 2: pista.m

- Mediante este script se definen las características y posición de la pista para su posterior representación. También se calcula y obtiene el área de maniobras visuales.
- Los datos necesarios para su funcionamiento son: coordenadas LL de las cabeceras y altitud de las mismas y altura y radio de giro del circuito de maniobra visual.
- Convirtiendo a coordenadas LL se guarda y exporta el resultado en el archivo ‘pista.mat’

Script 3: tramos_oas_apv.m

- Permite obtener los datos de las superficies OAS a través de las constantes obtenidas del software de PANS-OPS. Se realiza la conversión a coordenadas LL para finalmente guardar la información.
- El resultado se guarda en el archivo ‘tramos_oas_apv.mat’.

Script 4: vss.m

- Este script calcula las superficies VSS para la aproximación LNAV y LPV.
- Es necesario introducir los datos de posición de cabecera de las pistas y de la geometría de las VSS (pendiente, altura, anchura).
- Exporta el resultado de ambas VSS para las dos aproximaciones en el archivo ‘vss.mat’.

Script 5: tramos_lnav.m

- A través de este script se obtienen las distintas superficies que forman los tramos de una aproximación LNAV. Mediante los datos de entrada necesarios se calcularán las: pendientes, alturas y posiciones de todos los puntos que forman cada tramo de la aproximación.
- Como datos de entrada necesarios se encuentran todas las recomendaciones del Doc. 8168 [4], entre ellas se encuentran: longitudes, ATT, constantes para el diseño de confluencias y SOC, pendientes, datos del aeropuerto y pistas y valores de franqueamiento de obstáculos.
- El cálculo de las aproximaciones comienza desde la aproximación frustrada hasta la inicial siendo referenciadas todas las superficies de los tramos respecto a las cabeceras de pista. Cada tramo está formado por tres superficies una principal y dos secundarias a los lados.
- El resultado obtenido se guarda para su posterior visualización en el archivo ‘tramos.mat’.

Script 6: circuito_derrotaprescrita_vpt.m

- Este script obtiene la representación de una aproximación RNP-VPT. Como resultado se exportan las superficies de la aproximación RNP con las especificaciones deseadas y el procedimiento VPT junto con el área de protección exterior asociada.

- Como datos de entrada son necesarios: información del aeropuerto y pistas, longitud y radio del circuito VPT y los datos de diseño para la construcción de la aproximación RNP ya empleados en el diseño LNAV.
- El cálculo de cada tramo se realiza desde la aproximación final (partiendo del MAPt) terminando en la aproximación inicial. En este caso, dada la orientación del tramo de llegada y tipo de aproximación ha sido necesario referenciar cada tramo respecto a su precedente y el MAPt respecto al tramo de divergencia previo al procedimiento VPT.
- El resultado se guarda en el archivo ‘vpt_datos.mat’.

Script 7: plot_general.m

- Este es el principal script del proyecto. A través del mismo se cargan los datos de los diferentes scripts presentados los cuales contienen la información de las distintas aproximaciones: LPV, LNAV, RNP-VPT. A través de las distintas secciones se configura la vista y zooms del raster a representar y se activan/desactivan las vistas de: pista, área de circuito visual, obstáculos AIP, vss, tramos y puntos de la aproximación RNP-VPT, tramos aproximación LNAV, superficies OAS y puntos asociados a la aproximación LNAV.
- Cabe destacar que es necesario una modificación manual de las secciones antes de su ejecución dado que es posible que los tiempos de carga para representar varias superficies de forma conjunta sea muy elevado.

Pliego de condiciones

1. Objeto

Este pliego de condiciones tiene como objetivo establecer las especificaciones técnicas y requisitos necesarios para el diseño y desarrollo de los distintos procedimientos de aproximación GNSS para el aeropuerto de El Hierro. Los procedimientos de aproximación a diseñar son: LNAV (NPA GNSS) y RNP-VPT.

Este proyecto se enfoca en la optimización de los procedimientos actuales mediante la actualización de tecnologías y procedimientos con el objeto de mejorar la eficiencia y seguridad operacional.

2. Condiciones de los materiales

2.1. Descripción

Las herramientas a emplear para el desarrollo del proyecto son:

- Software de programación de cálculo numérico, análisis y modelado (MATLAB).
- Modelo digital de elevación (MDT05).
- Documentación de la OACI necesaria: Doc. 9613 AN/937 ‘Performance Based Navigation Manual’ y el Doc. 8168 OPS/611 ‘Operación de aeronaves y Volumen II, Construcción de procedimientos de vuelo visual y por instrumentos’.

2.2. Control de calidad

El control de calidad de los materiales se plantea de la siguiente forma:

- Se comprueba que el software cuenta con las últimas actualizaciones y está configurado correctamente para el proyecto a desarrollar.

- Se validará la precisión y vigencia de los datos obtenidos en el modelo de elevación del Instituto Geográfico Nacional.
- Se revisarán las últimas actualizaciones a la documentación oficial.

3. Condiciones de la ejecución

3.1. Descripción

El proyecto se plantea en tres fases con el objetivo de aumentar la eficiencia y precisión en el diseño y resultados.

- **Fase 1: Estudio aeronáutico:** A través del estudio se evaluaran las variables y condiciones: aeroportuarias, geográficas, orográficas, meteorológicas, económicas, históricas y de las previsiones futuras esperadas.
- **Fase 2: Diseño de procedimientos:** En esta fase se abarca el diseño y cálculo completo de los procedimientos de aproximación GNSS LNAV y RNP-VPT.
- **Fase 3: Resultados y representación:** En la última fase del proyecto se representan los resultados obtenidos de la fase de diseño y se evalúa su viabilidad y precisión.

3.2. Control de calidad

- **Fase 1: Estudio aeronáutico:** El estudio será revisado por equipos de profesionales en los distintos campos, asegurando que todos los factores importantes sean incluidos.
- **Fase 2: Diseño de procedimientos:** Los diseños deben ser validados en diferentes condiciones y equipos. Revisiones periódicas son necesarias para actualizar los cambios relevantes.
- **Fase 3: Resultados y representación:** La representación, resultados y planos obtenidos serán validados por diferentes equipos y software.

4. Pruebas y ajustes finales o de servicio

Finalmente, para concluir el proyecto será necesario realizar varias pruebas con el objetivo de verificar la viabilidad y especificaciones de los resultados en cuanto: seguridad, calidad y funcionamiento. Algunas entidades involucradas en este proceso son la AESA (Agencia Estatal de Seguridad Aérea) y ENAIRE (proveedor de servicios de navegación en España).

Para ello se proponen pruebas experimentales de los diseños de procedimientos obtenidos a través de simulador y con una aeronave real. Estas pruebas deben ser señalizadas con personal

y equipo homologado y cualificado para este tipo de validaciones en España, como AESA. A través de estas pruebas se puede hacer evidente el realizar distintos ajustes y/o mejoras en los procedimientos obtenidos.

Presupuesto

1. Introducción

El presente apartado pretende exponer el desglose de costes asociados al proyecto realizado **‘Diseño de procedimientos de aproximación GNSS para el aeropuerto de El Hierro’**. Los distintos apartados de costes hacen referencia a: equipo informático, software empleado y personal. Así mismo se obtiene el coste de amortización asumiendo la no exclusividad de equipos y licencias para esta única ocupación. Este gasto queda definido por la siguiente ecuación.

$$\text{Coste de amortización (€)} = \text{Coste inicial} \cdot \frac{\text{Tiempo de ocupación}}{\text{Vida útil}}$$

La duración del proyecto ha sido de 7 meses (diciembre - junio). Hasta el mes de marzo se dedicaron una media de 15 horas semanales, de abril a mayo se destinaron una media de 30 horas semanales, siendo finalmente necesarias las dos primeras semanas de junio alrededor de 40 horas semanales.

Descripción	Horas semanales	Horas totales
Diciembre- Marzo	15	240
Abril - Mayo	30	240
Mayo - Junio	40	80
TOTAL		560 horas

Tabla 5: Desglose de horas dedicadas al proyecto.

2. Coste equipos informáticos

En este apartado se enumera el listado de recursos empleados para la realización del proyecto de fin de grado de equipos informáticos. Ambos equipos se han utilizado de manera conjunta la mayor parte del tiempo de desarrollo, además cabe tener en cuenta que se asume una vida útil de cinco años para cada equipo, de esta forma los costes horarios por la utilización se reflejan en la Tabla 6.

Descripción	Unidades	Precio (€)	Coste/h (€)	Coste total (€)
Ordenador Principal	1	1400	0,032	17,90
Ordenador Secundario	1	800	0,018	10,23
TOTAL				28,13 €

Tabla 6: Desglose de costes horarios de equipo informático.

3. Coste de licencias de software

En cuanto a las licencias software empleadas en el desarrollo del proyecto han sido necesarias las licencias de MATLAB así como la de Microsoft Office. Dado que el proyecto ha tomado alrededor de 7 meses, se asumirá el coste asociado al tiempo de uso de estas licencias.

Descripción	Coste anual(€)	Amortización (años)	Coste total (€)
MATLAB	900	1	525
Office 365	69	1	40,25
TOTAL			565,25 €

Tabla 7: Desglose de costes por licencias de software.

4. Coste de personal

En este apartado se abordan los costes asociados al personal que ha desarrollado el proyecto. El coste de el profesor/es tutor/es se ha obtenido de las tablas retributivas anuales de la UPV. En el caso del coste asociado al ingeniero licenciado se ha obtenido un valor a través de la tabla salarial publicada en el BOE para el año 2024 con datos anuales de nuevo. Con estos datos se obtiene el coste total del personal en la Tabla 8.

Cabe destacar que las horas trabajadas anuales se obtienen del múltiplo de 40 horas semanales por las 46 semanas al año laborables (aproximadamente), haciendo un total de 1840 horas laborables al año. Finalmente, las horas dedicadas por el profesor tutor se han fijado en 40 entre reuniones y tiempo de trabajo.

Descripción	Retribución (€)	H/año	Coste/h (€)	Horas	Coste
Profesor Doctor (Tutor)	34454,70	1840	18,73	40	749,02
Ingeniero licenciado	26170,65	1840	14,22	560	7965,98
TOTAL					8714 €

Tabla 8: Costes de personal asociado al proyecto.

5. Presupuesto total

A través de la información obtenida en apartados anteriores se calcula el coste total del proyecto, el cual además cuenta con un coste indirecto establecido en el 10 % del total calculado

como gastos asociados al proyecto de: electricidad, desplazamientos, etc.

Descripción	Coste (€)
Equipos informáticos	28,13
Licencias software	565,25
Personal	8714
Coste directo	9307,37
Coste indirecto (10 %)	930,74
TOTAL	10238,11

Tabla 9: Costes totales asociados al proyecto.

El presupuesto total del proyecto asciende a **DIEZ MIL DOSCIENTOS TREINTA Y OCHO EUROS CON ONCE CÉNTIMOS.**

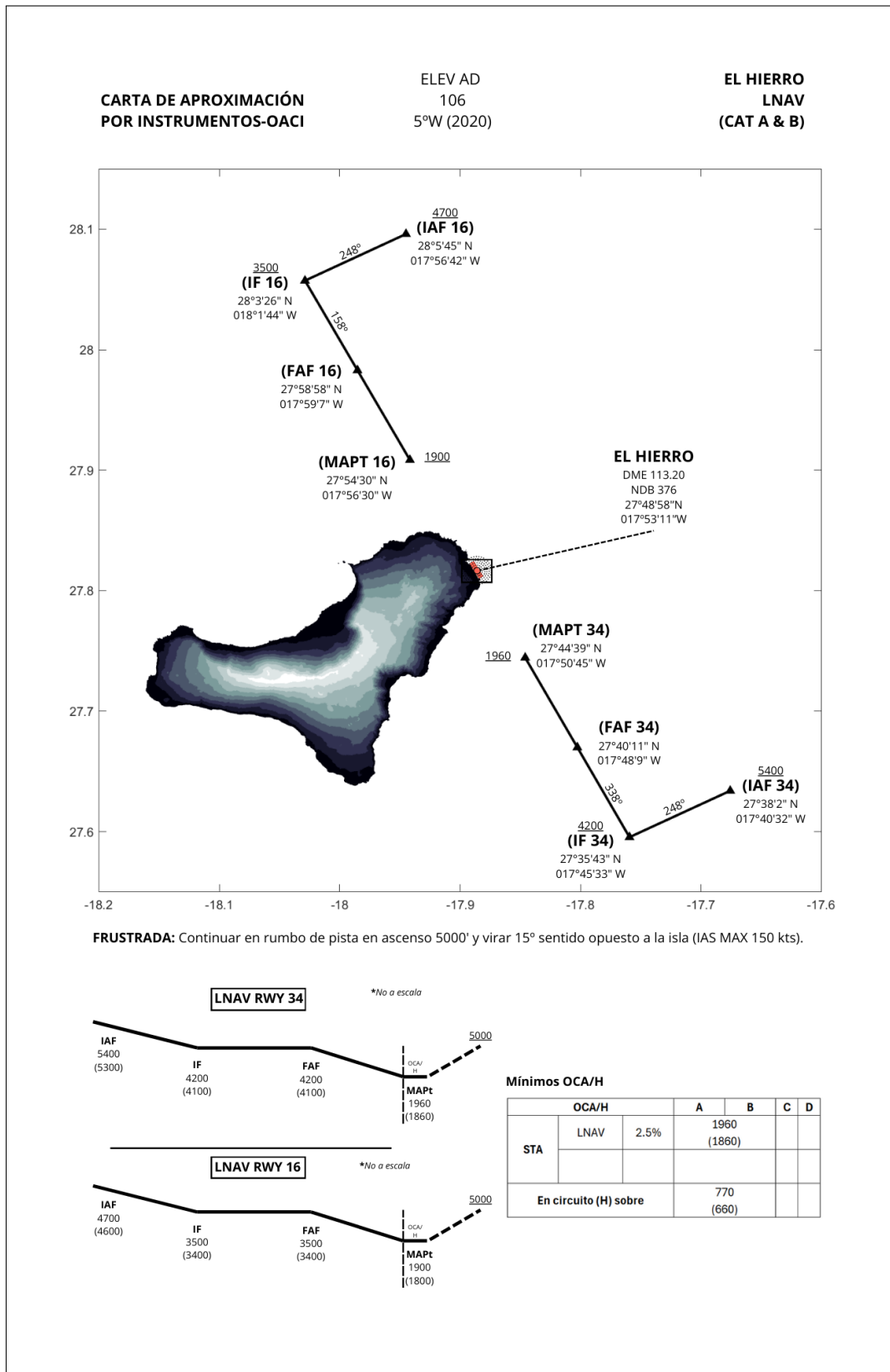
Cartas

1. Introducción

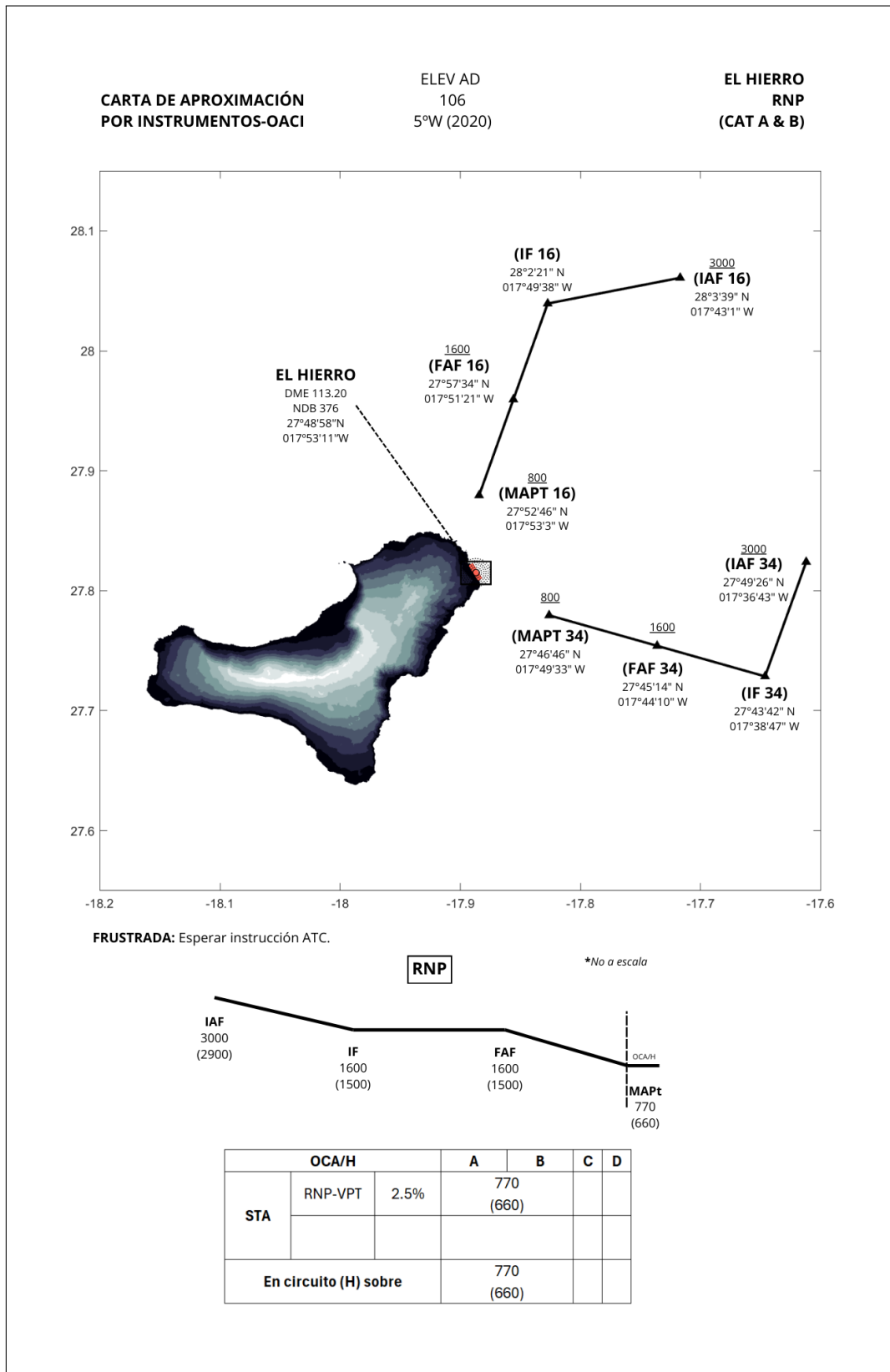
Las cartas de navegación constituyen el resultado final de este proyecto: ‘Diseño de aproximaciones GNSS para el aeropuerto de El Hierro’. En este apartado se muestran las cuatro cartas desarrolladas: LNAV, RNP, VPT1 y VPT2. Estas dos últimas cartas, son las correspondientes al procedimiento visual de derrota prescrita y ha sido necesario desarrollar una por cada aproximación a El Hierro.

Las cartas incluyen la información sobre los distintos procedimientos incluyendo: waypoints, altitudes mínimas, rumbos, coordenadas, perfil vertical, frustradas y mínimos de la aproximación.

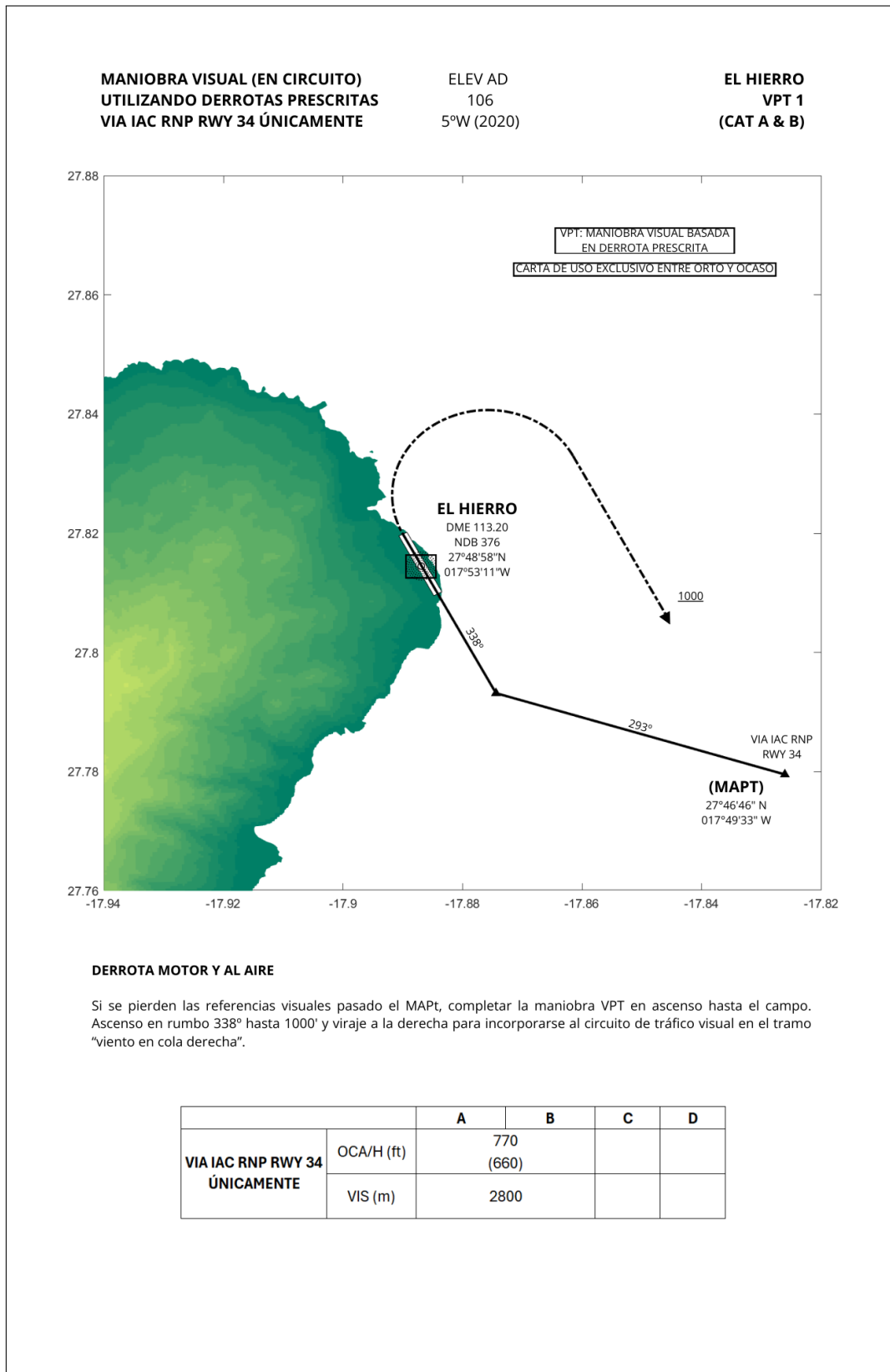
2. LNAV



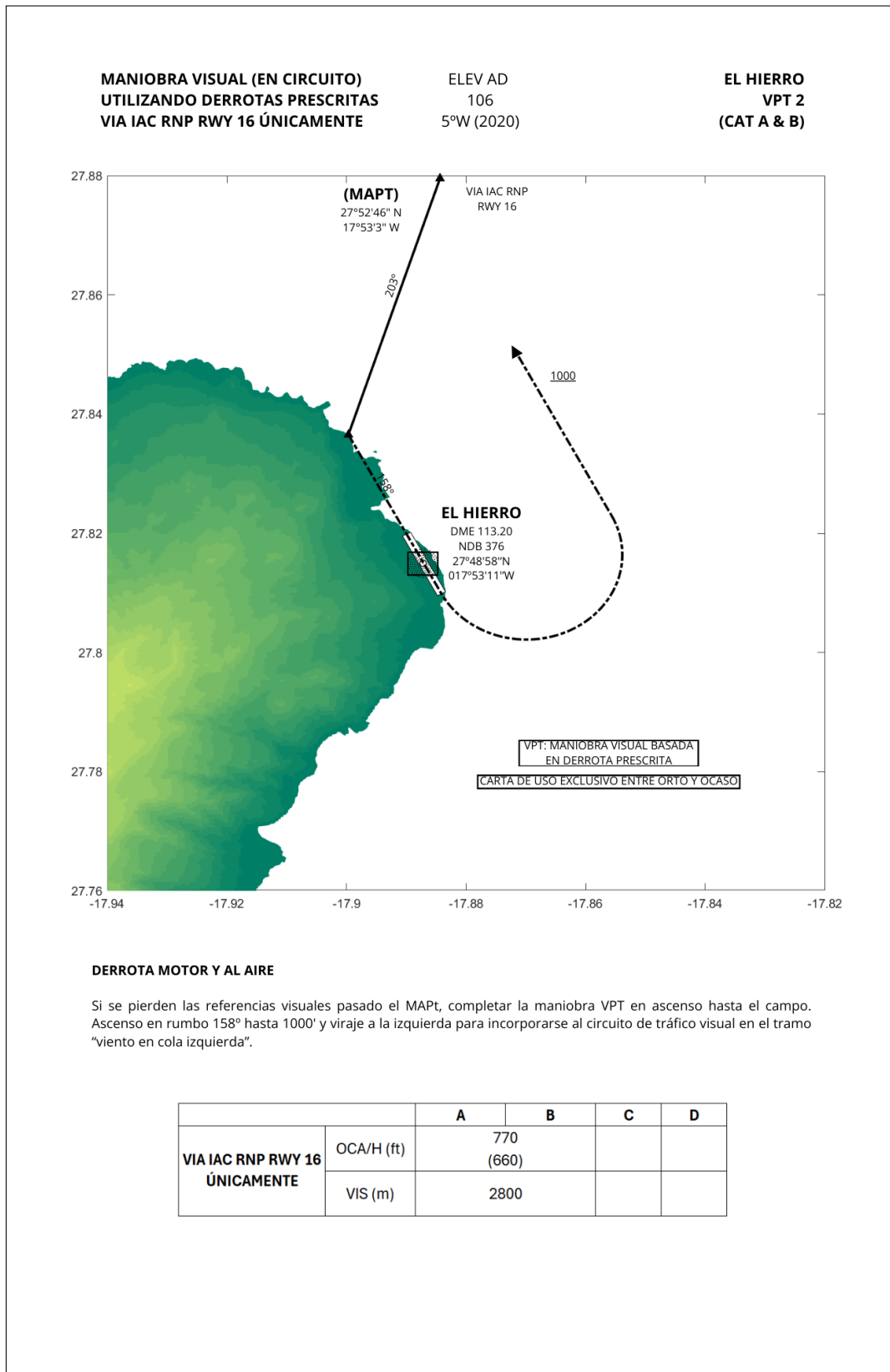
3. RNP



4. VPT 1 (RWY 34)



5. VPT 2 (RWY 16)



Anexo

A1 . Clave de referencia

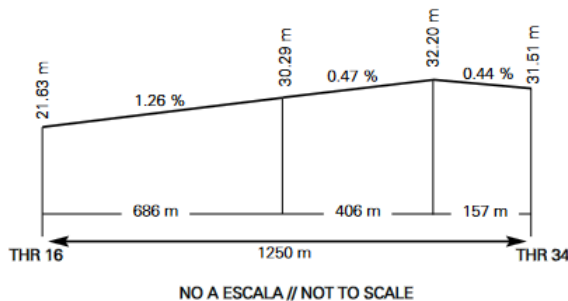
La clave de referencia tiene como objetivo relacionar de forma sencilla las complejas especificaciones de los diferentes aeródromos con el objetivo de suministrar las necesidades e instalaciones aeroportuarias requeridas para las distintas aeronaves que operan en el aeródromo. La clave se compone de dos elementos, el primero determinado mediante la longitud de campo de referencia y el segundo mediante la envergadura o anchura exterior entre ruedas del tren de aterrizaje siendo el valor más crítico el válido [7].

RWY	Orientación Direction	DIM (m)	THR PSN	THR ELEV TDZ ELEV	SWY (m)	CWY (m)	Franja (m) Strip (m)	OFZ	RESA (m)	RWY/SWY SFC PCN
16	152.57° GEO 158° MAG	1250 x 30	274911.46N 0175323.91W	THR: 22 m / 71 ft TDZ: No	No	No	1310 x 75	No	No	RWY: ASPH PCN 26/F/A/W/T (1) SWY: No
34	332.57° GEO 338° MAG	1250 x 30	274835.43N 0175302.89W	THR: 32 m / 103 ft TDZ: No	No	No	1310 x 75	No	No	RWY: ASPH PCN 26/F/A/W/T (1) SWY: No

Observaciones: (1) Primeros 85 m RWY 16 PCN 42/R/C/W/T.
Primeros 150 m RWY 34 PCN 11/F/A/W/T.

Remarks: (1) First 85 m RWY 16 PCN 42/R/C/W/T.
First 150 m RWY 34 PCN 11/F/A/W/T.

Perfil:



NO A ESCALA // NOT TO SCALE

Fig. 53: Datos pista GCHI [1].

Se determina por tanto la longitud de campo de referencia realizando los cálculos por corrección de altitud, temperatura y pendiente tal y como se muestra a continuación.

$$\text{Corrección altitud} \Rightarrow 1 + \frac{0,07 \cdot H}{300} = 0,9925$$

$$\text{Corrección temperatura} \Rightarrow 1 + 0,01(t_r - t_{sH}) = 0,8912$$

$$\text{Corrección pendiente} \Rightarrow 1 + p \cdot 0,1 \cdot 100 = 0,922$$

$$\text{Longitud campo referencia} \Rightarrow 1250 \cdot 0,9925 \cdot 0,8912 \cdot 0,922 = 1019,53 \text{ metros}$$

Dado que la aeronave de mayor tamaño permitida en El Hierro es el ATR72, se tomarán sus datos de envergadura (27,05 m) y distancia de las ruedas del tren principal (4,1 m) con el objetivo de obtener el segundo elemento de la clave mediante la tabla 1-1 publicada en el documento Anexo 14 de la OACI [7].

Tabla 1-1. Clave de referencia de aeródromo
(véanse 1.6.2 a 1.6.4)

Núm. de clave (1)	Elementos 1 de la clave		Elementos 2 de la clave	
	Longitud de campo de referencia del avión (2)	Letra de clave (3)	Envergadura (4)	Anchura exterior entre ruedas del tren de aterrizaje principal ^a (5)
1	Menos de 800 m	A	Hasta 15 m (exclusive)	Hasta 4,5 m (exclusive)
2	Desde 800 m hasta 1 200 m (exclusive)	B	Desde 15 m hasta 24 m (exclusive)	Desde 4,5 m hasta 6 m (exclusive)
3	Desde 1 200 m hasta 1 800 m (exclusive)	C	Desde 24 m hasta 36 m (exclusive)	Desde 6 m hasta 9 m (exclusive)
4	Desde 1 800 m en adelante	D	Desde 36 m hasta 52 m (exclusive)	Desde 9 m hasta 14 m (exclusive)
		E	Desde 52 m hasta 65 m (exclusive)	Desde 9 m hasta 14 m (exclusive)
		F	Desde 65 m hasta 80 m (exclusive)	Desde 14 m hasta 16 m (exclusive)

Fig. 54: Tabla 1-1 Clave de referencia de aeródromo [7].

Finalmente se determina, siendo la envergadura el dato más restrictivo del segundo elemento, que la clave de referencia de aeródromo es **2C**.

A2 . Área de maniobra de aproximación visual (en circuito)

La maniobra en circuito visual se refiere a la fase visual de vuelo tras una aproximación por instrumentos en la cual se prepara la aeronave para aterrizar en un campo no acondicionado para aproximaciones directas.

El área de protección de la maniobra queda definida en el la Parte I, Sección 4 - Capítulo 7 ‘Área de maniobra de aproximación visual (en circuito)’ [4].

El método de construcción del área se realiza mediante dos arcos en cada cabecera con el radio apropiado para el tipo de aeronave uniendo de forma tangente los arcos construidos. Los

parámetros para el cálculo de los radios se realiza a través de las tablas de velocidades por tipo de aeronave (Tabla I-4-1-1 [4]). También se cuenta con un viento de 25 kt durante el viraje aplicado sobre la TAS (obtenida con la elevación aeródromo + 300m y temperatura ISA +15°) y una inclinación de 20° de promedio o ángulo de inclinación lateral que genere una velocidad de viraje de 3°/s.

En cuanto al franqueamiento de obstáculos deberemos proporcionar el margen requerido según la tabla I-4-7-3 ‘MOC y OCA/H para aproximación visual (en circuito) (Figura 56). En el caso de el ATR72, tipo B, se deberá proporcionar un MOC de 90 m, con una visibilidad mínima de 2,8 km’.

<i>Categoría de aeronaves</i>	<i>Margen de franqueamiento de obstáculos m (ft)</i>	<i>Límite inferior de OCH sobre la elevación del aeródromo m (ft)</i>	<i>Visibilidad mínima km (NM)</i>
A	90 (295)	120 (394)	1,9 (1,0)
B	90 (295)	150 (492)	2,8 (1,5)
C	120 (394)	180 (591)	3,7 (2,0)
D	120 (394)	210 (689)	4,6 (2,5)
E	150 (492)	240 (787)	6,5 (3,5)

Fig. 55: MOC y OCA/H para aproximación visual (en circuito) [4].

1

Teniendo en cuenta la ubicación del aeropuerto de El Hierro y la gran formación montañosa adyacente al mismo en dirección oeste se opta por utilizar el método para reducir la OCA/H detallado en la Parte I - Sección 4, Capítulo 7.4 (Ver [4]).

‘En el cálculo de la OCA/H se podrá ignorar un sector del área de maniobras visuales (en circuito) en que exista un obstáculo prominente, si se encuentra fuera de las áreas de aproximación final y de aproximación frustrada. El límite del sector está determinado por las dimensiones de las superficies de aproximación por instrumentos del Anexo 14’

En el Capítulo 4 del Anexo 14 [7] se pueden encontrar las recomendaciones de superficies de aproximación por instrumentos. El dato de interés para la representación sera la divergencia a cada lado de el tramo de aproximación de no precisión con número de clave 2, este es de un 15 % (Figura 56 y 57).

PISTAS PARA APROXIMACIONES

Superficies y dimensiones ^a (1)	CLASIFICACION DE LAS PISTAS										
	Aproximación visual Número de clave				Aproximación que no sea de precisión Número de clave				Aproximación de precisión		
	1 (2)	2 (3)	3 (4)	4 (5)	1,2 (6)	3 (7)	4 (8)	Categoría I Número de clave	Categoría II o III Número de clave	3,4 (10)	3,4 (11)
CÓNICA											
Pendiente	5%	5%	5%	5%	5%	5%	5%	5%	5%	5%	5%
Altura	35 m	55 m	75 m	100 m	60 m	75 m	100 m	60 m	100 m	100 m	100 m
HORIZONTAL INTERNA											
Altura	45 m	45 m	45 m	45 m	45 m	45 m	45 m	45 m	45 m	45 m	45 m
Radio	2 000 m	2 500 m	4 000 m	4 000 m	3 500 m	4 000 m	4 000 m	3 500 m	4 000 m	4 000 m	4 000 m
APROXIMACIÓN INTERNA											
Anchura	—	—	—	—	—	—	—	90 m	120 m ^c	120 m ^c	120 m ^c
Distancia desde el umbral	—	—	—	—	—	—	—	60 m	60 m	60 m	60 m
Longitud	—	—	—	—	—	—	—	900 m	900 m	900 m	900 m
Pendiente								2,5%	2%	2%	2%
APROXIMACIÓN											
Longitud del borde interior	60 m	80 m	150 m	150 m	150 m	300 m	300 m	150 m	300 m	300 m	300 m
Distancia desde el umbral	30 m	60 m	60 m	60 m	60 m	60 m	60 m	60 m	60 m	60 m	60 m
Divergencia (a cada lado)	10%	10%	10%	10%	15%	15%	15%	15%	15%	15%	15%
Primera sección											
Longitud	1 600 m	2 500 m	3 000 m	3 000 m	2 500 m	3 000 m	3 000 m	3 000 m	3 000 m	3 000 m	3 000 m
Pendiente	5%	4%	3,33%	2,5%	3,33%	2%	2%	2,5%	2%	2%	2%
Segunda sección											
Longitud	—	—	—	—	—	3 600 m ^b	3 600 m ^b	12 000 m	3 600 m ^b	3 600 m ^b	3 600 m ^b
Pendiente	—	—	—	—	—	2,5%	2,5%	3%	2,5%	2,5%	2,5%
Sección horizontal											
Longitud	—	—	—	—	—	8 400 m ^b	8 400 m ^b	—	8 400 m ^b	8 400 m ^b	8 400 m ^b
Longitud total	—	—	—	—	—	15 000 m	15 000 m	15 000 m	15 000 m	15 000 m	15 000 m
DE TRANSICIÓN											
Pendiente	20%	20%	14,3%	14,3%	20%	14,3%	14,3%	14,3%	14,3%	14,3%	14,3%
DE TRANSICIÓN INTERNA											
Pendiente	—	—	—	—	—	—	—	40%	33,3%	33,3%	33,3%
SUPERFICIE DE ATERRIZAJE											
INTERRUMPIDO											
Longitud del borde interior	—	—	—	—	—	—	—	90 m	120 m ^c	120 m ^c	120 m ^c
Distancia desde el umbral	—	—	—	—	—	—	—	—	1 800 m ^d	1 800 m ^d	1 800 m ^d
Divergencia (a cada lado)	—	—	—	—	—	—	—	10%	10%	10%	10%
Pendiente	—	—	—	—	—	—	—	4%	3,33%	3,33%	3,33%

Fig. 56: Dimensiones y pendientes de las superficies limitadoras [7].

Se realiza la representación sobre el raster con el resultado obtenido mediante las tablas de cálculo de 4,8 km para el radio de giro. La altura del circuito se situará añadiendo el MOC al obstáculo determinante obtenido en el sector del área de interés (OCA/H). Los valores de obstáculo determinante y OCA/H son:

$$OCA = 143(H) + 90(MOC) = 233 \text{ metros (764 pies)}$$

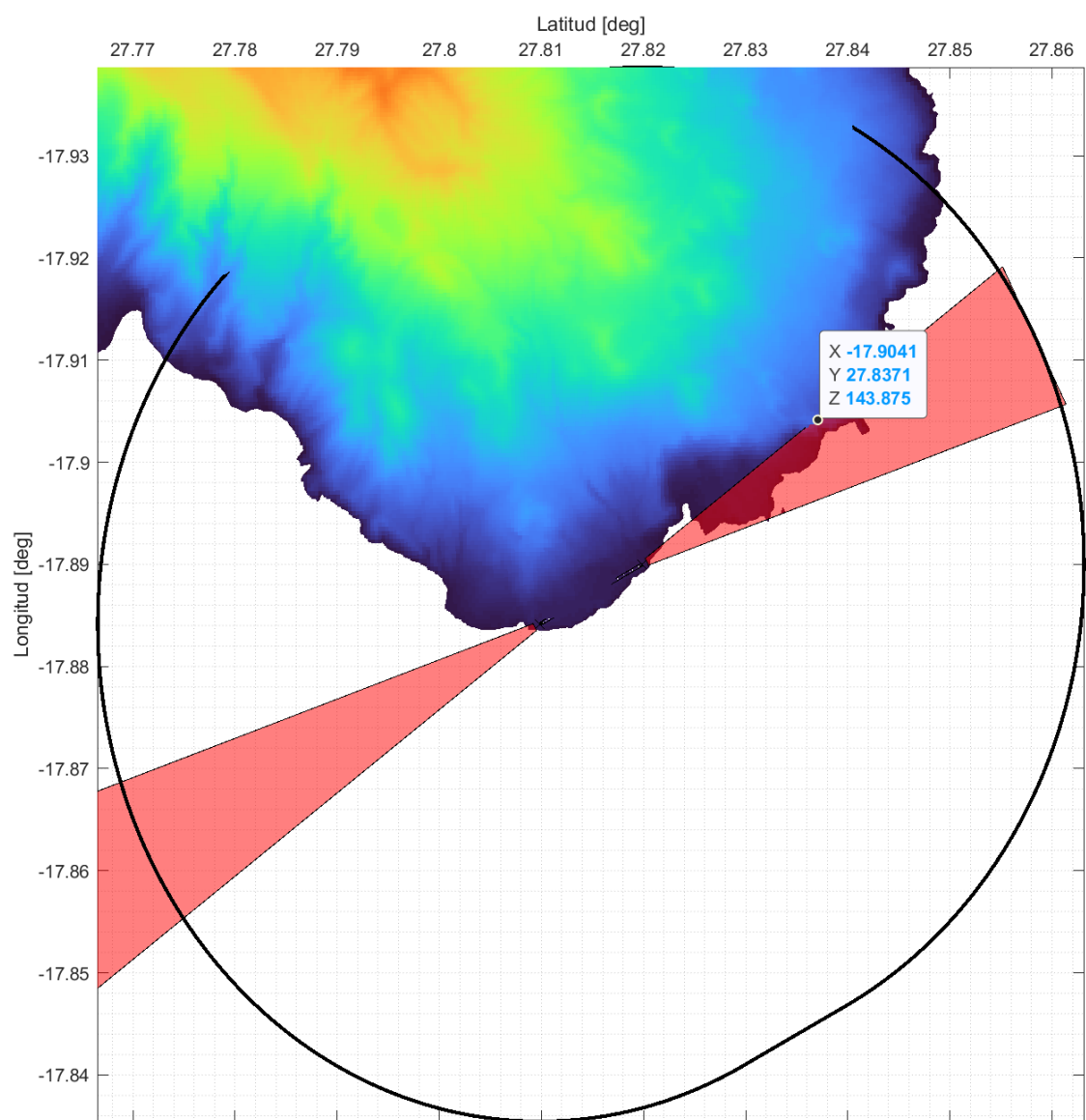


Fig. 57: Obstáculo determinante circuito visual reducido.

A3 . Scripts de MATLAB

Script 1: RasterHierro.m

```
1 %% RasterHierro.m
2 % Este script carga el archivo del modelo digital del terreno del IGN en
3 % formato '.tif' de la cuadrícula a visualizar empleando la función
4 % readgeoraster y guardando la información de la matriz de elevación así
5 % como del struct con la información de georeferenciación asociado.
6
7 % Además, este script permite personalizar la resolución de visualización,
8 % de esta forma se consigue reducir en gran medida el tiempo de carga por
9 % ejecución.
10
11 clear; clc; close all;
12
13 %% Parámetros
14 resolucion = [40, 40]; % INPUT resolución deseada
15
16 %% Lectura raster
17 [A,R] = readgeoraster('PNOA_MDT05_REGCAN95_HU28_1105-1108_LID.tif'); % Nombre archivo MDT
18 mask = single(uint16(A));
19 mask = reducirResolucion(mask, [R.SampleSpacingInWorldY, R.SampleSpacingInWorldX],
20                           resolucion);
21 R.RasterSize = size(mask);
22
23 %% Adaptación info para plot
24 % Se define el grid con la información obtenida
25
26 x = R.XWorldLimits(1):resolucion(2):R.XWorldLimits(2);
27 y = R.YWorldLimits(1):resolucion(1):R.YWorldLimits(2);
28 y = flip(y);
29 [X,Y] = meshgrid(x,y);
30 lat_raster = zeros(size(X));
31 lon_raster = zeros(size(X));
32 % Vectoriza la operación en lugar de iterar sobre cada elemento
33 for i = 1:numel(X)
34     [lat_raster(i), lon_raster(i)] = utm2ll(X(i), Y(i), 28);
35 end
36
37 save raster.mat lat_raster lon_raster mask
38
39 %% Plot (Recomendado OFF)
40 clear all; clc; close all;
41 load plotejar.mat
42
43 figure;
44 set(gcf, 'WindowState', 'maximized');
45 % f.Units = 'normalized';
46 % f.OuterPosition = [0 0 1 1];
47 box on; grid minor; hold on;
48 surf(lon,lat,mask,'EdgeColor','none');
49 % stem3(lon,lat,mask);
50 xlabel("Longitud [deg]");
51 ylabel("Latitud [deg]");
52 zlabel("Elevacion [m]")
53 xlim([min(min(lon)), max(max(lon))]);
54 ylim([min(min(lat)), max(max(lat))]);
55 clim([min(min(mask)), max(max(mask))]);
56 zlim([10, max(max(mask))]);
57 view(3);
58 colormap('turbo');
59 daspect([1,1,1e5]) % Equivalencia grado-km en el ecuador 1° aprox 111 km
60
61 %% Obstáculos AIP (Recomendado OFF)
62 % Importa la tabla de datos con la información de obstáculos en el
63 % aeropuerto obtenida del AIP. Guarda la información en un struct llamado
```

```
63 % 'wp' para su posterior representación en el script 'plot_general.m'.
65 filename = 'LE_Amdt_A_2023_16_AD_2_10_GCHI_en.csv';
66 datos = leer_obstaculos_csv(filename);
67 % Guardamos los datos en un struct 'wp'.
68 for i=1:numel(datos.ID)
69     wp(i).name = datos.ID{i};
70     wp(i).desc = ',';
71     wp(i).lon = datos.Longitude(i);
72     wp(i).lat = datos.Latitude(i);
73     wp(i).alt = datos.Elevation(i);
74 end
75 save obstaculos.mat wp
76
77 % Plot obstaculos
78 load obstaculos.mat
79 for i=1:numel(wp)
80     scatter3(wp(i).lon, wp(i).lat, wp(i).alt,'white','filled')
81 end
```

Script 2: pista.m

```

%% pista.m
% En este script se definen las características geográficas de la pista
% para la representación de la misma en el raster. También se calcula y
% obtiene el área de maniobras visuales convirtiendo el resultado a
% coordenadas LL para su visualización en 'plot_general.m'

clear all; clc; close all;
%% Datos aeropuerto y pista

cab16_ll = [convert_longitude("0175323.91W"), convert_latitude("274911.46N"), 21.63]; %
    lon, lat, alt
cab34_ll = [convert_longitude("0175302.89W"), convert_latitude("274835.43N"), 31.51]; %
    lon, lat, alt

cab16_utm = [ll2utm(cab16_ll(2),cab16_ll(1)), 21.63]; % x, y, alt
cab34_utm = [ll2utm(cab34_ll(2),cab34_ll(1)), 31.51]; % x, y, alt

pendiente_vector_normal = -1/((cab34_utm(2)-cab16_utm(2))/(cab34_utm(1)-cab16_utm(1)));
angulo_normal = atand(pendiente_vector_normal);
vector_normal = [cosd(angulo_normal), sind(angulo_normal)];

ancho_pista = 30;

vertices_pista = [cab16_utm(1:2) + ancho_pista/2 * vector_normal, cab16_utm(3); %
    cab16_utm(1:2) - ancho_pista/2 * vector_normal, cab16_utm(3); %
    cab34_utm(1:2) - ancho_pista/2 * vector_normal, cab34_utm(3); %
    cab34_utm(1:2) + ancho_pista/2 * vector_normal, cab34_utm(3)]; %

x_coords = vertices_pista(:, 1);
y_coords = vertices_pista(:, 2);
z_coords = vertices_pista(:, 3);

x_coords = [x_coords; x_coords(1)];
y_coords = [y_coords; y_coords(1)];
z_coords = [z_coords; z_coords(1)];

%% Circuito visual
M2FT = 3.281;
FT2M = 1/M2FT;

h_circuito = 233; %%OCA C VISUAL 263 m (143 obs + 90 moc visual y vpt)
r_circuito = 4.8e3;

phi1 = (angulo_normal:0.5:angulo_normal+180)';
phi2 = (angulo_normal:-0.5:angulo_normal-180)';

c1 = [cab16_utm(1:2) + r_circuito * [cosd(phi1), sind(phi1)], h_circuito * ones(numel(phi1),1)];
c2 = [cab34_utm(1:2) + r_circuito * [cosd(phi2), sind(phi2)], h_circuito * ones(numel(phi2),1)];
T1 = [cab16_utm(1:2) + r_circuito * vector_normal, h_circuito];
T2 = [cab34_utm(1:2) + r_circuito * vector_normal, h_circuito];
T3 = [cab16_utm(1:2) - r_circuito * vector_normal, h_circuito];
T4 = [cab34_utm(1:2) - r_circuito * vector_normal, h_circuito];

%% Conversión a LL
vec_corr = [1,1];
c1_ll = [utm2ll(c1(:,1),c1(:,2),28), c1(:,3)];
c2_ll = [utm2ll(c2(:,1),c2(:,2),28), c2(:,3)];
T1_ll = [utm2ll(T1(1),T1(2),28), T1(3)];
T2_ll = [utm2ll(T2(1),T2(2),28), T2(3)];
T3_ll = [utm2ll(T3(1),T3(2),28), T3(3)];
T4_ll = [utm2ll(T4(1),T4(2),28), T4(3)];

vertices_pista_ll = [utm2ll(x_coords(:,1),y_coords(:,1),28), z_coords(:,1)];
lat_pista = vertices_pista_ll(:,1);

```

```
64 lon_pista = vertices_pista_ll(:,2);
z_pista = vertices_pista_ll(:,3);
66 %% Guardar mats
68 save pista.mat lat_pista lon_pista z_pista cab16_ll cab34_ll
    save circuito_visual.mat c1_ll c2_ll T1_ll T2_ll T3_ll T4_ll
```

Script 3: tramos_oas_apv.m

```
1 %% tramos_oas_apv.m
2 % Este script permite a través de los datos de entrada (constantes de
3 % las superficies OAS y datos de pista y aeropuerto) realizar la
4 % representación de los distintos planos que forman las OAS obteniendo su
5 % posición en coordenadas UTM y convirtiendo a LL para representar
6 % conjuntamente sobre el script 'plot_general.m'.
7
8
9 clear all; clc;
10 %% Definicion constantes OAS 34
11
12 % Punto E
13 x_e_34 = -1625;
14 y_e_34 = 468;
15 % Punto E'
16 x_ep_34 = -7561;
17 y_ep_34 = 1852;
18 z_ep_34 = 148;
19 % Punto C
20 x_c_34 = 986;
21 y_c_34 = 150;
22
23 % Punto D
24 x_d_34 = 439;
25 y_d_34 = 233;
26
27 % Punto C'
28 x_cpp_34 = 2849;
29 y_cpp_34 = 268;
30 z_cpp_34 = 73;
31 % Punto C'
32 x_cp_34 = 10807;
33 y_cp_34 = 304;
34 z_cp_34 = 300;
35 % Punto D'
36 x_dp_34 = 6163;
37 y_dp_34 = 1008;
38 z_dp_34 = 300;
39
40 %% Definicion constantes OAS 16
41
42 % Punto E
43 x_e_16 = -1521;
44 y_e_16 = 452;
45 % Punto E'
46 x_ep_16 = -7633;
47 y_ep_16 = 1852;
48 z_ep_16 = 152;
49 % Punto C
50 x_c_16 = 845;
51 y_c_16 = 146;
52 z_c_16 = 0;
53 % Punto D
54 x_d_16 = 376;
55 y_d_16 = 218;
56 z_d_16 = 0;
57 % Punto C'
58 x_cpp_16 = 2516;
59 y_cpp_16 = 251;
60 z_cpp_16 = 77;
61 % Punto C'
62 x_cp_16 = 9258;
63 y_cp_16 = 268;
64 z_cp_16 = 300;
65 % Punto D'
66 x_dp_16 = 5281;
67 y_dp_16 = 874;
```

```

z_dp_16 = 300;
69
71 %% Definición puntos y vectores pista
73 cab16_ll = [convert_longitude("0175323.91W"), convert_latitude("274911.46N"), 21.63]; %
    lon, lat, alt
cab34_ll = [convert_longitude("0175302.89W"), convert_latitude("274835.43N"), 31.51]; %
    lon, lat, alt
75
77 cab16_utm = [ll2utm(cab16_ll(2),cab16_ll(1)), 21.63]; % x, y, alt
cab34_utm = [ll2utm(cab34_ll(2),cab34_ll(1)), 31.51]; % x, y, alt
79
81 pendiente_vector_normal = -1/((cab34_utm(2)-cab16_utm(2))/(cab34_utm(1)-cab16_utm(1)));
angulo_normal = atand(pendiente_vector_normal);
vector_normal = [cosd(angulo_normal), sind(angulo_normal)];
83 pendiente_vector_pista = (cab34_utm(2)-cab16_utm(2))/(cab34_utm(1)-cab16_utm(1));
angulo_pista = atand(pendiente_vector_pista);
85 vector_pista = [cosd(angulo_pista), sind(angulo_pista)];
87
89 ancho_pista = 30;
elevacion_aeropuerto = 32;
91 %% ----- 34 -----
%% Plano Z (E-E') 34
91 vertices_z_oas_34 = [cab34_utm(1:2) + y_e_34 * vector_normal + x_e_34 * vector_pista,
    elevacion_aeropuerto;
    cab34_utm(1:2) + y_ep_34 * vector_normal + x_ep_34 * vector_pista,
    z_ep_34 + elevacion_aeropuerto;
    cab34_utm(1:2) - y_ep_34 * vector_normal + x_ep_34 * vector_pista,
    z_ep_34 + elevacion_aeropuerto;
    cab34_utm(1:2) - y_e_34 * vector_normal + x_e_34 * vector_pista,
    elevacion_aeropuerto];
95
97 x_coords_34 = vertices_z_oas_34(:, 1);
y_coords_34 = vertices_z_oas_34(:, 2);
z_coords_34 = vertices_z_oas_34(:, 3);
99
101 x_coords_34 = [x_coords_34; x_coords_34(1)];
y_coords_34 = [y_coords_34; y_coords_34(1)];
z_coords_34 = [z_coords_34; z_coords_34(1)];
103
105 vertices_z_oas_34 = [utm2ll(x_coords_34(:, ),y_coords_34(:, ),28), z_coords_34(:, )];
lat_z_oas_34 = vertices_z_oas_34(:, 1);
lon_z_oas_34 = vertices_z_oas_34(:, 2);
z_z_oas_34 = vertices_z_oas_34(:, 3);
107
109 %% Plano Pista (C-D) 34
110 vertices_cd_oas_34 = [cab34_utm(1:2) + y_c_34 * vector_normal + x_c_34 * vector_pista,
    elevacion_aeropuerto;
    cab34_utm(1:2) + y_d_34 * vector_normal + x_d_34 * vector_pista,
    elevacion_aeropuerto;
    cab34_utm(1:2) - y_d_34 * vector_normal + x_d_34 * vector_pista,
    elevacion_aeropuerto;
    cab34_utm(1:2) - y_c_34 * vector_normal + x_c_34 * vector_pista,
    elevacion_aeropuerto];
113
115 x_coords_34 = vertices_cd_oas_34(:, 1);
y_coords_34 = vertices_cd_oas_34(:, 2);
z_coords_34 = vertices_cd_oas_34(:, 3);
117
119 x_coords_34 = [x_coords_34; x_coords_34(1)];
y_coords_34 = [y_coords_34; y_coords_34(1)];
z_coords_34 = [z_coords_34; z_coords_34(1)];
121
123 vertices_cd_oas_34 = [utm2ll(x_coords_34(:, ),y_coords_34(:, ),28), z_coords_34(:, )];
lat_cd_oas_34 = vertices_cd_oas_34(:, 1);
lon_cd_oas_34 = vertices_cd_oas_34(:, 2);
125
```

```

127 z_cd_oas_34 = vertices_cd_oas_34(:,3);
%% Plano Pista (D-E) 34
129 vertices_de_oas_34 = [cab34_utm(1:2) + y_d_34 * vector_normal + x_d_34 * vector_pista,
    elevacion_aeropuerto;
    cab34_utm(1:2) + y_e_34 * vector_normal + x_e_34 * vector_pista,
    elevacion_aeropuerto;
    cab34_utm(1:2) - y_e_34 * vector_normal + x_e_34 * vector_pista,
    elevacion_aeropuerto;
    cab34_utm(1:2) - y_d_34 * vector_normal + x_d_34 * vector_pista,
    elevacion_aeropuerto];
131
133 x_coords_34 = vertices_de_oas_34(:, 1);
y_coords_34 = vertices_de_oas_34(:, 2);
135 z_coords_34 = vertices_de_oas_34(:, 3);
137 x_coords_34 = [x_coords_34; x_coords_34(1)];
y_coords_34 = [y_coords_34; y_coords_34(1)];
139 z_coords_34 = [z_coords_34; z_coords_34(1)];
141 vertices_de_oas_34 = [utm211(x_coords_34(:,y_coords_34(:,28), z_coords_34(:));
143 lat_de_oas_34 = vertices_de_oas_34(:,1);
lon_de_oas_34 = vertices_de_oas_34(:,2);
z_de_oas_34 = vertices_de_oas_34(:,3);
%% Plano Pista (C-C') 34
145 vertices_wp_oas_34 = [cab34_utm(1:2) + y_cpp_34 * vector_normal + x_cpp_34 * vector_pista
    ,z_cpp_34 + elevacion_aeropuerto;
    cab34_utm(1:2) + y_c_34 * vector_normal + x_c_34 * vector_pista,
    elevacion_aeropuerto;
    cab34_utm(1:2) - y_c_34 * vector_normal + x_c_34 * vector_pista,
    elevacion_aeropuerto;
    cab34_utm(1:2) - y_cpp_34 * vector_normal + x_cpp_34 * vector_pista,
    z_cpp_34 + elevacion_aeropuerto];
147
149 x_coords_34 = vertices_wp_oas_34(:, 1);
y_coords_34 = vertices_wp_oas_34(:, 2);
z_coords_34 = vertices_wp_oas_34(:, 3);
151 x_coords_34 = [x_coords_34; x_coords_34(1)];
y_coords_34 = [y_coords_34; y_coords_34(1)];
153 z_coords_34 = [z_coords_34; z_coords_34(1)];
155 vertices_wp_oas_34 = [utm211(x_coords_34(:,y_coords_34(:,28), z_coords_34(:));
157 lat_wp_oas_34 = vertices_wp_oas_34(:,1);
lon_wp_oas_34 = vertices_wp_oas_34(:,2);
z_wp_oas_34 = vertices_wp_oas_34(:,3);
%% Plano Pista (C' - C) 34
159 vertices_w_oas_34 = [cab34_utm(1:2) + y_cp_34 * vector_normal + x_cp_34 * vector_pista,
    z_cp_34 + elevacion_aeropuerto;
    cab34_utm(1:2) + y_cpp_34 * vector_normal + x_cpp_34 * vector_pista,
    z_cpp_34 + elevacion_aeropuerto;
    cab34_utm(1:2) - y_cpp_34 * vector_normal + x_cpp_34 * vector_pista,
    z_cpp_34 + elevacion_aeropuerto;
    cab34_utm(1:2) - y_cp_34 * vector_normal + x_cp_34 * vector_pista,
    z_cp_34 + elevacion_aeropuerto];
161
163 x_coords_34 = vertices_w_oas_34(:, 1);
y_coords_34 = vertices_w_oas_34(:, 2);
z_coords_34 = vertices_w_oas_34(:, 3);
165 x_coords_34 = [x_coords_34; x_coords_34(1)];
y_coords_34 = [y_coords_34; y_coords_34(1)];
z_coords_34 = [z_coords_34; z_coords_34(1)];
167
169 vertices_w_oas_34 = [utm211(x_coords_34(:,y_coords_34(:,28), z_coords_34(:));
171 lat_w_oas_34 = vertices_w_oas_34(:,1);
lon_w_oas_34 = vertices_w_oas_34(:,2);
z_w_oas_34 = vertices_w_oas_34(:,3);
%% Plano Pista (Y1) 34
173
175
177
179
181
```

```

183 vertices_y1_oas_34 = [cab34_utm(1:2) + y_ep_34 * vector_normal + x_ep_34 * vector_pista,
184     z_ep_34 + elevacion_aeropuerto;
185         cab34_utm(1:2) + y_dp_34 * vector_normal + x_dp_34 * vector_pista,
186             z_dp_34 + elevacion_aeropuerto;
187                 cab34_utm(1:2) + y_d_34 * vector_normal + x_d_34 * vector_pista, +
188                     elevacion_aeropuerto;
189                         cab34_utm(1:2) + y_e_34 * vector_normal + x_e_34 * vector_pista,
190                             elevacion_aeropuerto];
191
192 x_coords_34 = vertices_y1_oas_34(:, 1);
193 y_coords_34 = vertices_y1_oas_34(:, 2);
194 z_coords_34 = vertices_y1_oas_34(:, 3);
195
196 x_coords_34 = [x_coords_34; x_coords_34(1)];
197 y_coords_34 = [y_coords_34; y_coords_34(1)];
198 z_coords_34 = [z_coords_34; z_coords_34(1)];
199
200 vertices_y1_oas_34 = [utm211(x_coords_34(:),y_coords_34(:),28), z_coords_34(:)];
201 lat_y1_oas_34 = vertices_y1_oas_34(:,1);
202 lon_y1_oas_34 = vertices_y1_oas_34(:,2);
203 z_y1_oas_34 = vertices_y1_oas_34(:,3);
204 %% Plano Pista (Y2) 34
205 vertices_y2_oas_34 = [cab34_utm(1:2) - y_ep_34 * vector_normal + x_ep_34 * vector_pista,
206     z_ep_34 + elevacion_aeropuerto;
207         cab34_utm(1:2) - y_dp_34 * vector_normal + x_dp_34 * vector_pista,
208             z_dp_34 + elevacion_aeropuerto;
209                 cab34_utm(1:2) - y_d_34 * vector_normal + x_d_34 * vector_pista, +
210                     elevacion_aeropuerto;
211                         cab34_utm(1:2) - y_e_34 * vector_normal + x_e_34 * vector_pista,
212                             elevacion_aeropuerto];
213
214 x_coords_34 = vertices_y2_oas_34(:, 1);
215 y_coords_34 = vertices_y2_oas_34(:, 2);
216 z_coords_34 = vertices_y2_oas_34(:, 3);
217
218 x_coords_34 = [x_coords_34; x_coords_34(1)];
219 y_coords_34 = [y_coords_34; y_coords_34(1)];
220 z_coords_34 = [z_coords_34; z_coords_34(1)];
221
222 vertices_y2_oas_34 = [utm211(x_coords_34(:),y_coords_34(:),28), z_coords_34(:)];
223 lat_y2_oas_34 = vertices_y2_oas_34(:,1);
224 lon_y2_oas_34 = vertices_y2_oas_34(:,2);
225 z_y2_oas_34 = vertices_y2_oas_34(:,3);
226 %% Plano Pista (Y2) 34
227 vertices_y2_oas_34 = [cab34_utm(1:2) - y_ep_34 * vector_normal + x_ep_34 * vector_pista,
228     z_ep_34 + elevacion_aeropuerto;
229         cab34_utm(1:2) - y_dp_34 * vector_normal + x_dp_34 * vector_pista,
230             z_dp_34 + elevacion_aeropuerto;
231                 cab34_utm(1:2) - y_d_34 * vector_normal + x_d_34 * vector_pista,
232                     elevacion_aeropuerto ;
233                         cab34_utm(1:2) - y_e_34 * vector_normal + x_e_34 * vector_pista,
234                             elevacion_aeropuerto];
235
236 x_coords_34 = vertices_y2_oas_34(:, 1);
237 y_coords_34 = vertices_y2_oas_34(:, 2);
238 z_coords_34 = vertices_y2_oas_34(:, 3);
239
240 x_coords_34 = [x_coords_34; x_coords_34(1)];
241 y_coords_34 = [y_coords_34; y_coords_34(1)];
242 z_coords_34 = [z_coords_34; z_coords_34(1)];
243
244 vertices_y2_oas_34 = [utm211(x_coords_34(:),y_coords_34(:),28), z_coords_34(:)];
245 lat_y2_oas_34 = vertices_y2_oas_34(:,1);
246 lon_y2_oas_34 = vertices_y2_oas_34(:,2);
247 z_y2_oas_34 = vertices_y2_oas_34(:,3);
248 %% Plano Pista (x1) 34

```

```

1 vertices_x1_oas_34 = [cab34_utm(1:2) + y_d_34 * vector_normal + x_d_34 * vector_pista, +
2     elevacion_aeropuerto;
3         cab34_utm(1:2) + y_dp_34 * vector_normal + x_dp_34 * vector_pista,
4             z_dp_34 + elevacion_aeropuerto;
5                 cab34_utm(1:2) + y_cp_34 * vector_normal + x_cp_34 * vector_pista,
6                     z_cp_34 + elevacion_aeropuerto;
7                         cab34_utm(1:2) + y_cpp_34 * vector_normal + x_cpp_34 * vector_pista,
8                             z_cpp_34 + elevacion_aeropuerto;
9                                 cab34_utm(1:2) + y_c_34 * vector_normal + x_c_34 * vector_pista, +
10                                     elevacion_aeropuerto];
11
12 x_coords_34 = vertices_x1_oas_34(:, 1);
13 y_coords_34 = vertices_x1_oas_34(:, 2);
14 z_coords_34 = vertices_x1_oas_34(:, 3);
15
16 x_coords_34 = [x_coords_34; x_coords_34(1)];
17 y_coords_34 = [y_coords_34; y_coords_34(1)];
18 z_coords_34 = [z_coords_34; z_coords_34(1)];
19
20 vertices_x1_oas_34 = [utm211(x_coords_34(:,y_coords_34(:,28), z_coords_34(:));
21 lat_x1_oas_34 = vertices_x1_oas_34(:,1);
22 lon_x1_oas_34 = vertices_x1_oas_34(:,2);
23 z_x1_oas_34 = vertices_x1_oas_34(:,3);
24
25 %% Plano Pista (x2) 34
26 vertices_x2_oas_34 = [cab34_utm(1:2) - y_d_34 * vector_normal + x_d_34 * vector_pista, +
27     elevacion_aeropuerto;
28         cab34_utm(1:2) - y_dp_34 * vector_normal + x_dp_34 * vector_pista,
29             z_dp_34 + elevacion_aeropuerto;
30                 cab34_utm(1:2) - y_cp_34 * vector_normal + x_cp_34 * vector_pista,
31                     z_cp_34 + elevacion_aeropuerto;
32                         cab34_utm(1:2) - y_cpp_34 * vector_normal + x_cpp_34 * vector_pista,
33                             z_cpp_34 + elevacion_aeropuerto;
34                                 cab34_utm(1:2) - y_c_34 * vector_normal + x_c_34 * vector_pista, +
35                                     elevacion_aeropuerto];
36
37 x_coords_34 = vertices_x2_oas_34(:, 1);
38 y_coords_34 = vertices_x2_oas_34(:, 2);
39 z_coords_34 = vertices_x2_oas_34(:, 3);
40
41 x_coords_34 = [x_coords_34; x_coords_34(1)];
42 y_coords_34 = [y_coords_34; y_coords_34(1)];
43 z_coords_34 = [z_coords_34; z_coords_34(1)];
44
45 vertices_x2_oas_34 = [utm211(x_coords_34(:,y_coords_34(:,28), z_coords_34(:));
46 lat_x2_oas_34 = vertices_x2_oas_34(:,1);
47 lon_x2_oas_34 = vertices_x2_oas_34(:,2);
48 z_x2_oas_34 = vertices_x2_oas_34(:,3);
49
50 %% ----- 16 -----
51 %% Plano Z (E-E') 16
52 vertices_z_oas_16 = [cab16_utm(1:2) + y_e_16 * vector_normal - x_e_16 * vector_pista,
53     elevacion_aeropuerto;
54         cab16_utm(1:2) + y_ep_16 * vector_normal - x_ep_16 * vector_pista,
55             z_ep_16 + elevacion_aeropuerto;
56                 cab16_utm(1:2) - y_ep_16 * vector_normal - x_ep_16 * vector_pista,
57                     z_ep_16 + elevacion_aeropuerto;
58                         cab16_utm(1:2) - y_e_16 * vector_normal - x_e_16 * vector_pista,
59                             elevacion_aeropuerto];
60
61 x_coords_16 = vertices_z_oas_16(:, 1);
62 y_coords_16 = vertices_z_oas_16(:, 2);
63 z_coords_16 = vertices_z_oas_16(:, 3);
64
65 x_coords_16 = [x_coords_16; x_coords_16(1)];
66 y_coords_16 = [y_coords_16; y_coords_16(1)];
67 z_coords_16 = [z_coords_16; z_coords_16(1)];
68
69
70
71
72
73
74
75
76
77
78
79
80
81
82
83
84
85
86
87
88
89
90
91
```

```

293 vertices_z_oas_16 = [utm211(x_coords_16(:),y_coords_16(:,28), z_coords_16(:));
295 lat_z_oas_16 = vertices_z_oas_16(:,1);
lon_z_oas_16 = vertices_z_oas_16(:,2);
z_z_oas_16 = vertices_z_oas_16(:,3);

297 %% Plano Pista (C-D) 16
vertices_cd_oas_16 = [cab16_utm(1:2) + y_c_16 * vector_normal - x_c_16 * vector_pista,
299 elevacion_aeropuerto;
cab16_utm(1:2) + y_d_16 * vector_normal - x_d_16 * vector_pista,
elevacion_aeropuerto;
cab16_utm(1:2) - y_d_16 * vector_normal - x_d_16 * vector_pista,
elevacion_aeropuerto;
301 cab16_utm(1:2) - y_c_16 * vector_normal - x_c_16 * vector_pista,
elevacion_aeropuerto];

303 x_coords_16 = vertices_cd_oas_16(:, 1);
y_coords_16 = vertices_cd_oas_16(:, 2);
305 z_coords_16 = vertices_cd_oas_16(:, 3);

307 x_coords_16 = [x_coords_16; x_coords_16(1)];
y_coords_16 = [y_coords_16; y_coords_16(1)];
309 z_coords_16 = [z_coords_16; z_coords_16(1)];

311 vertices_cd_oas_16 = [utm211(x_coords_16(:),y_coords_16(:,28), z_coords_16(:));
313 lat_cd_oas_16 = vertices_cd_oas_16(:,1);
lon_cd_oas_16 = vertices_cd_oas_16(:,2);
z_cd_oas_16 = vertices_cd_oas_16(:,3);
315 %% Plano Pista (D-E) 16
vertices_de_oas_16 = [cab16_utm(1:2) + y_d_16 * vector_normal - x_d_16 * vector_pista,
317 elevacion_aeropuerto;
cab16_utm(1:2) + y_e_16 * vector_normal - x_e_16 * vector_pista,
elevacion_aeropuerto;
cab16_utm(1:2) - y_e_16 * vector_normal - x_e_16 * vector_pista,
elevacion_aeropuerto;
319 cab16_utm(1:2) - y_d_16 * vector_normal - x_d_16 * vector_pista,
elevacion_aeropuerto];

321 x_coords_16 = vertices_de_oas_16(:, 1);
y_coords_16 = vertices_de_oas_16(:, 2);
323 z_coords_16 = vertices_de_oas_16(:, 3);

325 x_coords_16 = [x_coords_16; x_coords_16(1)];
y_coords_16 = [y_coords_16; y_coords_16(1)];
327 z_coords_16 = [z_coords_16; z_coords_16(1)];

329 vertices_de_oas_16 = [utm211(x_coords_16(:),y_coords_16(:,28), z_coords_16(:));
331 lat_de_oas_16 = vertices_de_oas_16(:,1);
lon_de_oas_16 = vertices_de_oas_16(:,2);
z_de_oas_16 = vertices_de_oas_16(:,3);
333 %% Plano Pista (C-C') 16
vertices_wp_oas_16 = [cab16_utm(1:2) + y_cpp_16 * vector_normal - x_cpp_16 * vector_pista
335 ,z_cpp_16 + elevacion_aeropuerto;
cab16_utm(1:2) + y_c_16 * vector_normal - x_c_16 * vector_pista,
elevacion_aeropuerto;
cab16_utm(1:2) - y_c_16 * vector_normal - x_c_16 * vector_pista,
elevacion_aeropuerto;
337 cab16_utm(1:2) - y_cpp_16 * vector_normal - x_cpp_16 * vector_pista,
z_cpp_16 + elevacion_aeropuerto];

339 x_coords_16 = vertices_wp_oas_16(:, 1);
y_coords_16 = vertices_wp_oas_16(:, 2);
341 z_coords_16 = vertices_wp_oas_16(:, 3);

343 x_coords_16 = [x_coords_16; x_coords_16(1)];
y_coords_16 = [y_coords_16; y_coords_16(1)];
345 z_coords_16 = [z_coords_16; z_coords_16(1)];

347 vertices_wp_oas_16 = [utm211(x_coords_16(:),y_coords_16(:,28), z_coords_16(:));

```

```

349 lat_wp_oas_16 = vertices_wp_oas_16(:,1);
lon_wp_oas_16 = vertices_wp_oas_16(:,2);
z_wp_oas_16 = vertices_wp_oas_16(:,3);
351 %% Plano Pista (C'' - C') 16
vertices_w_oas_16 = [cab16_utm(1:2) + y_cp_16 * vector_normal - x_cp_16 * vector_pista,
353 z_cp_16 + elevacion_aeropuerto;
cab16_utm(1:2) + y_cpp_16 * vector_normal - x_cpp_16 * vector_pista,
z_cpp_16 + elevacion_aeropuerto;
cab16_utm(1:2) - y_cpp_16 * vector_normal - x_cpp_16 * vector_pista,
355 z_cpp_16 + elevacion_aeropuerto;
cab16_utm(1:2) - y_cp_16 * vector_normal - x_cp_16 * vector_pista,
z_cp_16 + elevacion_aeropuerto];
357 x_coords_16 = vertices_w_oas_16(:, 1);
y_coords_16 = vertices_w_oas_16(:, 2);
359 z_coords_16 = vertices_w_oas_16(:, 3);
361 x_coords_16 = [x_coords_16; x_coords_16(1)];
y_coords_16 = [y_coords_16; y_coords_16(1)];
363 z_coords_16 = [z_coords_16; z_coords_16(1)];
365 vertices_w_oas_16 = [utm2ll(x_coords_16(:,),y_coords_16(:,),28), z_coords_16(:)];
lat_w_oas_16 = vertices_w_oas_16(:,1);
367 lon_w_oas_16 = vertices_w_oas_16(:,2);
z_w_oas_16 = vertices_w_oas_16(:,3);
369 %% Plano Pista (Y1) 16
vertices_y1_oas_16 = [cab16_utm(1:2) + y_ep_16 * vector_normal - x_ep_16 * vector_pista,
371 z_ep_16 + elevacion_aeropuerto;
cab16_utm(1:2) + y_dp_16 * vector_normal - x_dp_16 * vector_pista,
z_dp_16 + elevacion_aeropuerto;
cab16_utm(1:2) + y_d_16 * vector_normal - x_d_16 * vector_pista,
373 z_d_16 + elevacion_aeropuerto;
cab16_utm(1:2) + y_e_16 * vector_normal - x_e_16 * vector_pista,
elevacion_aeropuerto];
375 x_coords_16 = vertices_y1_oas_16(:, 1);
y_coords_16 = vertices_y1_oas_16(:, 2);
377 z_coords_16 = vertices_y1_oas_16(:, 3);
379 x_coords_16 = [x_coords_16; x_coords_16(1)];
y_coords_16 = [y_coords_16; y_coords_16(1)];
381 z_coords_16 = [z_coords_16; z_coords_16(1)];
383 vertices_y1_oas_16 = [utm2ll(x_coords_16(:,),y_coords_16(:,),28), z_coords_16(:)];
lat_y1_oas_16 = vertices_y1_oas_16(:,1);
385 lon_y1_oas_16 = vertices_y1_oas_16(:,2);
z_y1_oas_16 = vertices_y1_oas_16(:,3);
387 %% Plano Pista (Y2) 16
vertices_y2_oas_16 = [cab16_utm(1:2) - y_ep_16 * vector_normal - x_ep_16 * vector_pista,
389 z_ep_16 + elevacion_aeropuerto;
cab16_utm(1:2) - y_dp_16 * vector_normal - x_dp_16 * vector_pista,
z_dp_16 + elevacion_aeropuerto;
cab16_utm(1:2) - y_d_16 * vector_normal - x_d_16 * vector_pista,
391 z_d_16 + elevacion_aeropuerto;
cab16_utm(1:2) - y_e_16 * vector_normal - x_e_16 * vector_pista,
elevacion_aeropuerto];
393 x_coords_16 = vertices_y2_oas_16(:, 1);
y_coords_16 = vertices_y2_oas_16(:, 2);
395 z_coords_16 = vertices_y2_oas_16(:, 3);
397 x_coords_16 = [x_coords_16; x_coords_16(1)];
y_coords_16 = [y_coords_16; y_coords_16(1)];
399 z_coords_16 = [z_coords_16; z_coords_16(1)];
401 vertices_y2_oas_16 = [utm2ll(x_coords_16(:,),y_coords_16(:,),28), z_coords_16(:)];
lat_y2_oas_16 = vertices_y2_oas_16(:,1);
403 lon_y2_oas_16 = vertices_y2_oas_16(:,2);

```

```

405 z_y2_oas_16 = vertices_y2_oas_16(:,3);
406
407 %% Plano Pista (Y2) 16
408 vertices_y2_oas_16 = [cab16_utm(1:2) - y_ep_16 * vector_normal - x_ep_16 * vector_pista,
409     z_ep_16 + elevacion_aeropuerto;
410         cab16_utm(1:2) - y_dp_16 * vector_normal - x_dp_16 * vector_pista,
411         z_dp_16 + elevacion_aeropuerto;
412             cab16_utm(1:2) - y_d_16 * vector_normal - x_d_16 * vector_pista,
413             z_d_16 + elevacion_aeropuerto;
414                 cab16_utm(1:2) - y_e_16 * vector_normal - x_e_16 * vector_pista,
415                 z_e_16 + elevacion_aeropuerto];
416
417 x_coords_16 = vertices_y2_oas_16(:, 1);
418 y_coords_16 = vertices_y2_oas_16(:, 2);
419 z_coords_16 = vertices_y2_oas_16(:, 3);
420
421 x_coords_16 = [x_coords_16; x_coords_16(1)];
422 y_coords_16 = [y_coords_16; y_coords_16(1)];
423 z_coords_16 = [z_coords_16; z_coords_16(1)];
424
425 %% Plano Pista (x1) 16
426 vertices_x1_oas_16 = [cab16_utm(1:2) + y_d_16 * vector_normal - x_d_16 * vector_pista,
427     z_d_16 + elevacion_aeropuerto;
428         cab16_utm(1:2) + y_dp_16 * vector_normal - x_dp_16 * vector_pista,
429         z_dp_16 + elevacion_aeropuerto;
430             cab16_utm(1:2) + y_cp_16 * vector_normal - x_cp_16 * vector_pista,
431             z_cp_16 + elevacion_aeropuerto;
432                 cab16_utm(1:2) + y_cpp_16 * vector_normal - x_cpp_16 * vector_pista,
433                 z_cpp_16 + elevacion_aeropuerto;
434                     cab16_utm(1:2) + y_c_16 * vector_normal - x_c_16 * vector_pista,
435                     z_c_16 + elevacion_aeropuerto];
436
437 x_coords_16 = vertices_x1_oas_16(:, 1);
438 y_coords_16 = vertices_x1_oas_16(:, 2);
439 z_coords_16 = vertices_x1_oas_16(:, 3);
440
441 vertices_x1_oas_16 = [utm2ll(x_coords_16(:,),y_coords_16(:,),28), z_coords_16(:,)];
442 lat_x1_oas_16 = vertices_x1_oas_16(:,1);
443 lon_x1_oas_16 = vertices_x1_oas_16(:,2);
444 z_x1_oas_16 = vertices_x1_oas_16(:,3);
445
446 %% Plano Pista (x2) 16
447 vertices_x2_oas_16 = [cab16_utm(1:2) - y_d_16 * vector_normal - x_d_16 * vector_pista,
448     z_d_16 + elevacion_aeropuerto;
449         cab16_utm(1:2) - y_dp_16 * vector_normal - x_dp_16 * vector_pista,
450         z_dp_16 + elevacion_aeropuerto;
451             cab16_utm(1:2) - y_cp_16 * vector_normal - x_cp_16 * vector_pista,
452             z_cp_16 + elevacion_aeropuerto;
453                 cab16_utm(1:2) - y_cpp_16 * vector_normal - x_cpp_16 * vector_pista,
454                 z_cpp_16 + elevacion_aeropuerto;
455                     cab16_utm(1:2) - y_c_16 * vector_normal - x_c_16 * vector_pista,
456                     z_c_16 + elevacion_aeropuerto];
457
457 x_coords_16 = vertices_x2_oas_16(:, 1);
458 y_coords_16 = vertices_x2_oas_16(:, 2);
459 z_coords_16 = vertices_x2_oas_16(:, 3);
460
461 x_coords_16 = [x_coords_16; x_coords_16(1)];
462 y_coords_16 = [y_coords_16; y_coords_16(1)];

```

```

459 z_coords_16 = [z_coords_16; z_coords_16(1)];
460
461 vertices_x2_oas_16 = [utm2ll(x_coords_16(:,y_coords_16(:,28), z_coords_16(:));
462 lat_x2_oas_16 = vertices_x2_oas_16(:,1);
463 lon_x2_oas_16 = vertices_x2_oas_16(:,2);
464 z_x2_oas_16 = vertices_x2_oas_16(:,3);
465
466 %% Visualización previa
467 % Pista 16
468 patch(lon_x2_oas_16, lat_x2_oas_16, z_x2_oas_16, 'r', 'FaceAlpha', .5);
469 patch(lon_x1_oas_16, lat_x1_oas_16, z_x1_oas_16, 'r', 'FaceAlpha', .5);
470 patch(lon_y2_oas_16, lat_y2_oas_16, z_y2_oas_16, 'r', 'FaceAlpha', .5);
471 patch(lon_y1_oas_16, lat_y1_oas_16, z_y1_oas_16, 'r', 'FaceAlpha', .5);
472 patch(lon_w_oas_16, lat_w_oas_16, z_w_oas_16, 'r', 'FaceAlpha', .5);
473 patch(lon_wp_oas_16, lat_wp_oas_16, z_wp_oas_16, 'r', 'FaceAlpha', .5);
474 patch(lon_de_oas_16, lat_de_oas_16, z_de_oas_16, 'r', 'FaceAlpha', .5);
475 patch(lon_cd_oas_16, lat_cd_oas_16, z_cd_oas_16, 'r', 'FaceAlpha', .5);
476 patch(lon_z_oas_16, lat_z_oas_16, z_z_oas_16, 'r', 'FaceAlpha', .5);
477 % Pista 34
478 patch(lon_x2_oas_34, lat_x2_oas_34, z_x2_oas_34, 'c', 'FaceAlpha', .5);
479 patch(lon_x1_oas_34, lat_x1_oas_34, z_x1_oas_34, 'c', 'FaceAlpha', .5);
480 patch(lon_y2_oas_34, lat_y2_oas_34, z_y2_oas_34, 'c', 'FaceAlpha', .5);
481 patch(lon_y1_oas_34, lat_y1_oas_34, z_y1_oas_34, 'c', 'FaceAlpha', .5);
482 patch(lon_w_oas_34, lat_w_oas_34, z_w_oas_34, 'c', 'FaceAlpha', .5);
483 patch(lon_wp_oas_34, lat_wp_oas_34, z_wp_oas_34, 'c', 'FaceAlpha', .5);
484 patch(lon_de_oas_34, lat_de_oas_34, z_de_oas_34, 'c', 'FaceAlpha', .5);
485 patch(lon_cd_oas_34, lat_cd_oas_34, z_cd_oas_34, 'c', 'FaceAlpha', .5);
486 patch(lon_z_oas_34, lat_z_oas_34, z_z_oas_34, 'c', 'FaceAlpha', .5);
487
488 save tramos_oas_apv.mat lon_x2_oas_34 lat_x2_oas_34 z_x2_oas_34 lon_x1_oas_34
489 lat_x1_oas_34 z_x1_oas_34 lon_y2_oas_34 lat_y2_oas_34 z_y2_oas_34 lon_y1_oas_34
490 lat_y1_oas_34 z_y1_oas_34 lat_w_oas_34 lon_w_oas_34 z_w_oas_34 z_wp_oas_34
491 lat_wp_oas_34 lon_wp_oas_34 lat_de_oas_34 lon_de_oas_34 z_de_oas_34 lat_cd_oas_34
492 lon_cd_oas_34 z_cd_oas_34 lat_z_oas_34 lon_z_oas_34 z_z_oas_34 lon_x2_oas_16
493 lat_x2_oas_16 z_x2_oas_16 lon_x1_oas_16 lat_x1_oas_16 z_x1_oas_16 lon_y2_oas_16
494 lat_y2_oas_16 z_y2_oas_16 lon_y1_oas_16 lat_y1_oas_16 z_y1_oas_16 lat_w_oas_16
495 lon_w_oas_16 z_w_oas_16 z_wp_oas_16 lat_wp_oas_16 lon_wp_oas_16 lat_de_oas_16
496 lon_de_oas_16 z_de_oas_16 lat_cd_oas_16 lon_cd_oas_16 z_cd_oas_16 lat_z_oas_16
497 lon_z_oas_16 z_z_oas_16

```

Script 4: vss.m

```
%% VSS.m
2 % En este script se definen las características geográficas y geométricas
3 % de la pista y de las superficies VSS. Una vez obtenidos los vértices de
4 % las superficies y convertidos a coordenadas LL se guardan.
5
6 clear all; clc; close all;
7
8 %% PISTA
9
10 cab16_ll = [convert_longitude("0175323.91W"), convert_latitude("274911.46N"), 21.63]; %
11     lon, lat, alt
12 cab34_ll = [convert_longitude("0175302.89W"), convert_latitude("274835.43N"), 31.51]; %
13     lon, lat, alt
14
15 cab16_utm = [ll2utm(cab16_ll(2),cab16_ll(1)), 21.63]; % x, y, alt
16 cab34_utm = [ll2utm(cab34_ll(2),cab34_ll(1)), 31.51]; % x, y, alt
17
18 pendiente_vector_normal = -1/((cab34_utm(2)-cab16_utm(2))/(cab34_utm(1)-cab16_utm(1)));
19 angulo_normal = atand(pendiente_vector_normal);
20 vector_normal = [cosd(angulo_normal), sind(angulo_normal)];
21
22 pendiente_vector_pista = (cab34_utm(2)-cab16_utm(2))/(cab34_utm(1)-cab16_utm(1));
23 angulo_pista = atand(pendiente_vector_pista);
24 vector_pista = [cosd(angulo_pista), sind(angulo_pista)];
25
26 ancho_pista = 30;
27
28 vertices_pista = [cab16_utm(1:2) + ancho_pista/2 * vector_normal, cab16_utm(3); %
29     cab16_utm(1:2) - ancho_pista/2 * vector_normal, cab16_utm(3); %
30     cab34_utm(1:2) - ancho_pista/2 * vector_normal, cab34_utm(3); %
31     cab34_utm(1:2) + ancho_pista/2 * vector_normal, cab34_utm(3)];
32
33 x_coords = vertices_pista(:, 1);
34 y_coords = vertices_pista(:, 2);
35 z_coords = vertices_pista(:, 3);
36
37 x_coords = [x_coords; x_coords(1)];
38 y_coords = [y_coords; y_coords(1)];
39 z_coords = [z_coords; z_coords(1)];
40
41 %% Definicion VSS (APV)
42
43 % Pista 16
44 anchura_vss = 90;
45 sepTHR = 60;
46 GP_pub_degree_16 = 3;
47 GP_VSS = GP_pub_degree_16 - 1.12; % deg
48 OCA_16 = 680;
49
50 x_distance_16 = OCA_16/tand(GP_VSS);
51
52 vertices_vss_16 = [cab16_utm(1:2) + anchura_vss/2 * vector_normal - sepTHR * %
53     vector_pista, cab16_utm(3); %
54     cab16_utm(1:2) - anchura_vss/2 * vector_normal - sepTHR * %
55     vector_pista, cab16_utm(3); %
56     cab16_utm(1:2) - anchura_vss/2 * vector_normal - (sepTHR +
57     x_distance_16) * vector_pista, OCA_16; %
58     cab16_utm(1:2) + anchura_vss/2 * vector_normal - (sepTHR +
59     x_distance_16) * vector_pista, OCA_16];
60
61 x_coords = vertices_vss_16(:, 1);
62 y_coords = vertices_vss_16(:, 2);
63 z_coords = vertices_vss_16(:, 3);
64
65 x_coords = [x_coords; x_coords(1)];
66 y_coords = [y_coords; y_coords(1)];
67 z_coords = [z_coords; z_coords(1)];
```

```

62 vertices_ll = [utm2ll(x_coords(:,y_coords(:,28), z_coords:)];
64 lat_vss_apv_16 = vertices_ll(:,1);
65 lon_vss_apv_16 = vertices_ll(:,2);
66 z_vss_apv_16 = vertices_ll(:,3);

68 % Pista 34
69 GP_pub_degree_34 = 3;
70 GP_VSS = GP_pub_degree_34 - 1.12; % deg
71 OCA_34 = 670;
72
73 x_distance_34 = OCA_34/tand(GP_VSS);
74
75 vertices_vss_34 = [cab34_utm(1:2) + anchura_vss/2 * vector_normal + sepTHR *
76     vector_pista, cab34_utm(3);
77         cab34_utm(1:2) - anchura_vss/2 * vector_normal + sepTHR *
78     vector_pista, cab34_utm(3);
79             cab34_utm(1:2) - anchura_vss/2 * vector_normal + (sepTHR +
80     x_distance_34) * vector_pista, OCA_34;
81                 cab34_utm(1:2) + anchura_vss/2 * vector_normal + (sepTHR +
82     x_distance_34) * vector_pista, OCA_34];

83 x_coords = vertices_vss_34(:, 1);
84 y_coords = vertices_vss_34(:, 2);
85 z_coords = vertices_vss_34(:, 3);

86 x_coords = [x_coords; x_coords(1)];
87 y_coords = [y_coords; y_coords(1)];
88 z_coords = [z_coords; z_coords(1)];

89 vertices_ll = [utm2ll(x_coords(:,y_coords(:,28), z_coords:)];
90 lat_vss_apv_34 = vertices_ll(:,1);
91 lon_vss_apv_34 = vertices_ll(:,2);
92 z_vss_apv_34 = vertices_ll(:,3);

93 %% VSS (LNAV)

94 % Cabecera 16
95 anchura_vss = 75;
96 sepTHR = 60;
97 GP_pub_degree_16 = 4.2; % deg // Necesario para franqueamiento de obstaculos
98 GP_VSS_16 = GP_pub_degree_16 - 1.12; % deg
99 OCA_16 = 233;
100 angulo_apertura = atan(0.15); % en grados segun doc.8168

101 x_distance_16 = OCA_16/tand(GP_VSS_16);
102 y_distance_16 = x_distance_16 * tand(angulo_apertura);

103 vertices_vss_16 = [cab16_utm(1:2) + anchura_vss/2 * vector_normal - sepTHR *
104     vector_pista, cab16_utm(3);
105         cab16_utm(1:2) - anchura_vss/2 * vector_normal - sepTHR *
106     vector_pista, cab16_utm(3);
107             cab16_utm(1:2) - (anchura_vss/2 + y_distance_16) * vector_normal - (
108     sepTHR + x_distance_16) * vector_pista, OCA_16;
109                 cab16_utm(1:2) + (anchura_vss/2 + y_distance_16) * vector_normal - (
110     sepTHR + x_distance_16) * vector_pista, OCA_16];

111 x_coords = vertices_vss_16(:, 1);
112 y_coords = vertices_vss_16(:, 2);
113 z_coords = vertices_vss_16(:, 3);

114 x_coords = [x_coords; x_coords(1)];
115 y_coords = [y_coords; y_coords(1)];
116 z_coords = [z_coords; z_coords(1)];

117 vertices_ll = [utm2ll(x_coords(:,y_coords(:,28), z_coords:)];

```

```

122 lat_vss_noapv_16 = vertices_ll(:,1);
124 lon_vss_noapv_16 = vertices_ll(:,2);
z_vss_noapv_16 = vertices_ll(:,3);

126 % Cabecera 34
OCA_34 = 233;
128 GP_pub_degree_34 = 3; % Óptimo 8168
GP_VSS_34 = GP_pub_degree_34 - 1.12; % deg
130
x_distance_34 = OCA_34/tand(GP_VSS_34);
132 y_distance_34 = x_distance_34 * tand(angulo_apertura);

134 vertices_vss_34 = [cab34_utm(1:2) + anchura_vss/2 * vector_normal + sepTHR *
vector_pista, cab34_utm(3);
cab34_utm(1:2) - anchura_vss/2 * vector_normal + sepTHR *
vector_pista, cab34_utm(3);
cab34_utm(1:2) - (anchura_vss/2 + y_distance_34) * vector_normal + (
sepTHR + x_distance_34) * vector_pista, OCA_34;
cab34_utm(1:2) + (anchura_vss/2 + y_distance_34) * vector_normal + (
sepTHR + x_distance_34) * vector_pista, OCA_34];
138

140 x_coords = vertices_vss_34(:, 1);
y_coords = vertices_vss_34(:, 2);
z_coords = vertices_vss_34(:, 3);

144 x_coords = [x_coords; x_coords(1)];
y_coords = [y_coords; y_coords(1)];
146 z_coords = [z_coords; z_coords(1)];

148 vertices_ll = [utm2ll(x_coords(:),y_coords(:),28), z_coords(:)];
lat_vss_noapv_34 = vertices_ll(:,1);
lon_vss_noapv_34 = vertices_ll(:,2);
z_vss_noapv_34 = vertices_ll(:,3);

152 %% GUARDADO
154 save vss.mat lat_vss_apv_16 lon_vss_apv_16 z_vss_apv_16 lat_vss_apv_34 lon_vss_apv_34
z_vss_apv_34 lat_vss_noapv_16 lon_vss_noapv_16 z_vss_noapv_16 lat_vss_noapv_34
lon_vss_noapv_34 z_vss_noapv_34

```

Script 5: tramos_lnav.m

```

%% tramos_lnav.m
% En este script se calculan y definen las superficies que forman los
% tramos de la aproximación LNAV.
% Como datos de entrada se utilizan los valores recomendados por el
% Doc.8168 de longitud, pendientes, ATT, confluencia de tramos, etc.
% Posteriormente se calculan las alturas y posiciones de los puntos,
% comenzando por el MAPt y la aproximación final para la cabecera 16 y 34.
%
% Los distintos polígonos que forman las superficies se definen en tres
% partes: principal, secundaria 1 y secundaria 2. Todos los puntos quedan
% referenciados respecto al umbral de la pista para la que se está
% realizando la aproximación.
%
% El resultado obtenido se guarda para su posterior visualización en el
% script 'plot_general.m'.
%
clear all; clc; close all;
%% Definicion datos (longitudes, pendientes, att, transiciones, SOC, MOC, pista)
ini_sanchura = 4630; % Tabla III-1-2-13 (Doc.8168) (FAF)
fru_sanchura = 3704; % Tabla III-1-2-13 (Doc.8168) (<28 km del ARP)
mapt_sanchura = 1759; % Tabla III-1-2-13 (Doc.8168) (MAPt)
faf_sanchura = 2685; % Tabla III-1-2-13 (Doc.8168) (FAF)

% ATT
att_mapt = 444; % Tabla III-1-2-13 (Doc.8168) (FAF)
att_faf = 444; % Tabla III-1-2-13 (Doc.8168) (FAF)

% Longitudes
inicial_largo = 9300; %m
intermedia_largo = 9300; %m
final_largo = 9300; %m
fru_final_largo = 9300;

% Transicion
trans_fru = ((fru_sanchura - mapt_sanchura)/ tand(15)); % longitud para pasar de
semianchura de final a frustrada con 15°

% Calculo SOC
xSOC_16 = final_largo * 0.3246 +1653;
fr_inicial_largo = xSOC_16;
fr_intermedia_largo = 9000; %EN PRUEBA
xSOC_34 = final_largo * 0.3246 +1653;

% Calculos adaptación tramo
z_trans = ini_sanchura - faf_sanchura ;
y_trans = z_trans / tand(30);

% Pendientes
pend_final_16 = 3; %grados // optimo 5.2%
pend_final_34 = 4.2; %limitado por vss
pend_inicial_16 = 2.3; %optimo 4 Por la parte general 8162 vol2 I-4-3-3
pend_inicial_34 = 2.3;
pend_frustrada_int_16 = 1.4; %grados (2.5%)
pend_frustrada_int_34 = 1.4;

% RDH
elevacion_aeropuerto = 32;
elev_aerop_ajust = 0;
% MOC

moc_final = 75;
moc_intermedia = 150;
moc_inicial = 300;
moc_frustrada = 75;
moc_frustrada_int = 30;

% Definición pista y vectores de aproximación

```

```

cab16_ll = [convert_longitude("0175323.91W"), convert_latitude("274911.46N"), 21.63]; %
    lon, lat, alt
68 cab34_ll = [convert_longitude("0175302.89W"), convert_latitude("274835.43N"), 31.51]; %
    lon, lat, alt

70 cab16_utm = [ll2utm(cab16_ll(2),cab16_ll(1)), 21.63]; % x, y, alt
72 cab34_utm = [ll2utm(cab34_ll(2),cab34_ll(1)), 31.51]; % x, y, alt

74 pendiente_vector_normal = -1/((cab34_utm(2)-cab16_utm(2))/(cab34_utm(1)-cab16_utm(1)));
angulo_normal = atand(pendiente_vector_normal);
76 vector_normal = [cosd(angulo_normal), sind(angulo_normal)];
pendiente_vector_pista = (cab34_utm(2)-cab16_utm(2))/(cab34_utm(1)-cab16_utm(1));
angulo_pista = atand(pendiente_vector_pista);
vector_pista = [cosd(angulo_pista), sind(angulo_pista)];
78
80 ancho_pista = 30;
82

%% Cálculo altura de puntos
84 OCA_FINAL_16 = 580 ; % valores antiguos 680 y 670 oca final
OCA_FINAL_34 = 600 ;
86
88 h_mapt_16 = OCA_FINAL_16;
89 h_faf_16 = (final_largo * tand(pend_final_16) + h_mapt_16);
90 h_mapt_34 = OCA_FINAL_34;
91 h_faf_34 = (final_largo * tand(pend_final_34) + h_mapt_34);
92 h_if_16 = h_faf_16;
93 h_if_34 = h_faf_34;
94 h_iap_16 = (inicial_largo * tand(pend_inicial_16) + h_if_16);
95 h_iap_34 = (inicial_largo * tand(pend_inicial_34) + h_if_34);
96 h_frustrada_intermedia_16 = (tand(pend_frustrada_int_16) * ((trans_fru + att_mapt) -
xSOC_16) + h_mapt_16);
97 h_frustrada_intermedia_34 = (tand(pend_frustrada_int_34) * ((trans_fru + att_mapt) -
xSOC_34) + h_mapt_34);

98 %% Cálculo altura de tramos
100 final_z_16 = OCA_FINAL_16; %m
final_z_34 = OCA_FINAL_34; %m
102 intermedia_z_16 = OCA_FINAL_16; %m
intermedia_z_34 = OCA_FINAL_34; %m
104 inicial_z_16 = final_z_16 + 9000 * tand(pend_inicial_16);
inicial_z_34 = final_z_34 + 9000 * tand(pend_inicial_34);
frustrada_z_16 = final_z_16;
frustrada_z_34 = final_z_34;

106 %% Datos OCA/H y MAPt
107 data_OCA_FINAL_34 = OCA_FINAL_34 + moc_final;
108 data_OCA_FINAL_16 = OCA_FINAL_16 + moc_final;
109 data_OCA_CVIS_16 = 173.87 + 90; %Tabla I-4-7-3
110
111 %% Posición MAPts
112 x_mapt_16 = OCA_FINAL_16 / tand(pend_final_16);
113 x_mapt_34 = OCA_FINAL_34 / tand(pend_final_34);

114 %% FINAL 16
115 q_trans = (ini_sanchura - faf_sanchura)/tand(30);
116 q_trans_h_16final = 200;
117 vertices_aprox_final_16 = [cab16_utm(1:2) + mapt_sanchura/2 * vector_normal + x_mapt_16 *
    -vector_pista, h_mapt_16;
118
119         cab16_utm(1:2) - mapt_sanchura/2 * vector_normal + x_mapt_16 * -
    vector_pista, h_mapt_16;
120
121         cab16_utm(1:2) - faf_sanchura/2 * vector_normal + (final_largo +
    x_mapt_16) * -vector_pista, h_faf_16 ;
122
123         cab16_utm(1:2) + faf_sanchura/2 * vector_normal + (final_largo +
    x_mapt_16) * -vector_pista, h_faf_16 ];
124
125 x_coords_16 = vertices_aprox_final_16(:, 1);
y_coords_16 = vertices_aprox_final_16(:, 2);
z_coords_16 = vertices_aprox_final_16(:, 3);

```

```

128 x_coords_16 = [x_coords_16; x_coords_16(1)];
130 y_coords_16 = [y_coords_16; y_coords_16(1)];
130 z_coords_16 = [z_coords_16; z_coords_16(1)];
132
132 vertices_ap_final_16 = [utm2ll(x_coords_16(:,),y_coords_16(:,),28), z_coords_16(:)];
134 lat_apfinal_16 = vertices_ap_final_16(:,1);
134 lon_apfinal_16 = vertices_ap_final_16(:,2);
134 z_apfinal_16 = vertices_ap_final_16(:,3);
136
136 % Secundaria 1
138 vertices_aprox_final_16_s1 = [cab16_utm(1:2) + mapt_sanchura/2 * vector_normal +
138 x_mapt_16 * -vector_pista, h_mapt_16;
138 cab16_utm(1:2) + mapt_sanchura * vector_normal + x_mapt_16 * -
138 vector_pista, h_mapt_16 + moc_final;
140 cab16_utm(1:2) + mapt_sanchura * vector_normal + (x_mapt_16 +
140 q_trans) * -vector_pista, h_mapt_16 + moc_final+q_trans_h_16final; %nuevo
140 cab16_utm(1:2) +faf_sanchura * vector_normal + (final_largo +
142 x_mapt_16) * -vector_pista , h_faf_16 + moc_intermedia;
142 cab16_utm(1:2) +faf_sanchura/2 * vector_normal + (final_largo +
142 x_mapt_16) * -vector_pista , h_faf_16];
144
144 x_coords_16_s1 = vertices_aprox_final_16_s1(:, 1);
144 y_coords_16_s1 = vertices_aprox_final_16_s1(:, 2);
146 z_coords_16_s1 = vertices_aprox_final_16_s1(:, 3);
148
148 x_coords_16_s1 = [x_coords_16_s1; x_coords_16_s1(1)];
148 y_coords_16_s1 = [y_coords_16_s1; y_coords_16_s1(1)];
150 z_coords_16_s1 = [z_coords_16_s1; z_coords_16_s1(1)];
152
152 vertices_ap_final_16_s1 = [utm2ll(x_coords_16_s1(:,),y_coords_16_s1(:,),28), z_coords_16_s1
152 (:)];
154 lat_apfinal_16_s1 = vertices_ap_final_16_s1(:,1);
154 lon_apfinal_16_s1 = vertices_ap_final_16_s1(:,2);
154 z_apfinal_16_s1 = vertices_ap_final_16_s1(:,3);
156
156 % Secundaria 2
158 vertices_aprox_final_16_s2 = [cab16_utm(1:2) - mapt_sanchura/2 * vector_normal +
158 x_mapt_16 * -vector_pista, h_mapt_16;
158 cab16_utm(1:2) - mapt_sanchura * vector_normal + x_mapt_16 * -
158 vector_pista, h_mapt_16 + moc_final;
160 cab16_utm(1:2) - mapt_sanchura * vector_normal + (x_mapt_16 +
160 q_trans) * -vector_pista, h_mapt_16 + moc_final+q_trans_h_16final; %nuevo
160 cab16_utm(1:2) -faf_sanchura * vector_normal + (final_largo +
162 x_mapt_16) * -vector_pista ,h_faf_16 + moc_intermedia;
162 cab16_utm(1:2) -faf_sanchura/2 * vector_normal + (final_largo +
162 x_mapt_16) * -vector_pista ,h_faf_16];
164
164 x_coords_16_s2 = vertices_aprox_final_16_s2(:, 1);
164 y_coords_16_s2 = vertices_aprox_final_16_s2(:, 2);
166 z_coords_16_s2 = vertices_aprox_final_16_s2(:, 3);
168
168 x_coords_16_s2 = [x_coords_16_s2; x_coords_16_s2(1)];
168 y_coords_16_s2 = [y_coords_16_s2; y_coords_16_s2(1)];
170 z_coords_16_s2 = [z_coords_16_s2; z_coords_16_s2(1)];
172
172 vertices_ap_final_16_s2 = [utm2ll(x_coords_16_s2(:,),y_coords_16_s2(:,),28), z_coords_16_s2
172 (:)];
174 lat_apfinal_16_s2 = vertices_ap_final_16_s2(:,1);
174 lon_apfinal_16_s2 = vertices_ap_final_16_s2(:,2);
174 z_apfinal_16_s2 = vertices_ap_final_16_s2(:,3);
176
178 %% FRUSTRADA INICIAL Y INTERMEDIA 16
180 xsoc_16_lnav_point_utm = [cab16_utm(1:2) + (x_mapt_16 - xSOC_16) * -vector_pista,
180 h_mapt_16+moc_final];
180 xsoc_16_lnav_point_ll = [utm2ll(xsoc_16_lnav_point_utm(1),xsoc_16_lnav_point_utm(2),28),

```

```

    xsoc_16_lnav_point_utm(3)];
182 SOC16_sanch = 2.3 * ((xSOC_16 + att_mapt/2) * tand(15));

184 % Secundaria 1
vertices_aprox_frustrada_16_s1 = [vertices_aprox_final_16(1,1:2) + (att_mapt/2) * -
vector_pista , frustrada_z_16;
186           vertices_aprox_final_16_s1(2,1:2) + (att_mapt/2) * -vector_pista,
frustrada_z_16 + moc_frustrada;
           cab16_utm(1:2) + SOC16_sanch * vector_normal + ((x_mapt_16 +
att_mapt/2) - xSOC_16) * -vector_pista, frustrada_z_16 + moc_frustrada ;
           cab16_utm(1:2) + SOC16_sanch/2 * vector_normal + ((x_mapt_16+
att_mapt/2) - xSOC_16) * -vector_pista, frustrada_z_16];

190 x_coords_16_s1 = vertices_aprox_frustrada_16_s1(:, 1);
y_coords_16_s1 = vertices_aprox_frustrada_16_s1(:, 2);
192 z_coords_16_s1 = vertices_aprox_frustrada_16_s1(:, 3);

194 x_coords_16_s1 = [x_coords_16_s1; x_coords_16_s1(1)];
y_coords_16_s1 = [y_coords_16_s1; y_coords_16_s1(1)];
196 z_coords_16_s1 = [z_coords_16_s1; z_coords_16_s1(1)];

198 vertices_ap_frustrada_16_s1 = [utm211(x_coords_16_s1(:),y_coords_16_s1(:),28),
z_coords_16_s1(:)];
lat_apfrustrada_16_s1 = vertices_ap_frustrada_16_s1(:,1);
lon_apfrustrada_16_s1 = vertices_ap_frustrada_16_s1(:,2);
z_apfrustrada_16_s1 = vertices_ap_frustrada_16_s1(:,3);

202 % Secundaria 2
204 vertices_aprox_frustrada_16_s2 = [vertices_aprox_final_16(2,1:2) + (att_mapt/2) * -
vector_pista , frustrada_z_16;
           vertices_aprox_final_16_s2(2,1:2) + (att_mapt/2) * -vector_pista,
frustrada_z_16 + moc_frustrada ;
           cab16_utm(1:2) + SOC16_sanch * -vector_normal + ((x_mapt_16+
att_mapt/2) - xSOC_16) * -vector_pista, frustrada_z_16 + moc_frustrada;
           cab16_utm(1:2) + SOC16_sanch/2 * -vector_normal + ((x_mapt_16+
att_mapt/2) - xSOC_16) * -vector_pista, frustrada_z_16];

208 x_coords_16_s2 = vertices_aprox_frustrada_16_s2(:, 1);
210 y_coords_16_s2 = vertices_aprox_frustrada_16_s2(:, 2);
z_coords_16_s2 = vertices_aprox_frustrada_16_s2(:, 3);

212 x_coords_16_s2 = [x_coords_16_s2; x_coords_16_s2(1)];
214 y_coords_16_s2 = [y_coords_16_s2; y_coords_16_s2(1)];
z_coords_16_s2 = [z_coords_16_s2; z_coords_16_s2(1)];

216 vertices_ap_frustrada_16_s2 = [utm211(x_coords_16_s2(:),y_coords_16_s2(:),28),
z_coords_16_s2(:)];
218 lat_apfrustrada_16_s2 = vertices_ap_frustrada_16_s2(:,1);
lon_apfrustrada_16_s2 = vertices_ap_frustrada_16_s2(:,2);
z_apfrustrada_16_s2 = vertices_ap_frustrada_16_s2(:,3);

222 % Area principal Frustrada 16
224 vertices_aprox_frustrada_16 = [vertices_aprox_frustrada_16_s1(1,1:2), frustrada_z_16;
vertices_aprox_frustrada_16_s1(4,1:2), frustrada_z_16;
vertices_aprox_frustrada_16_s2(4,1:2), frustrada_z_16 ;
vertices_aprox_frustrada_16_s2(1,1:2), frustrada_z_16 ];

228 x_coords_16 = vertices_aprox_frustrada_16(:, 1);
y_coords_16 = vertices_aprox_frustrada_16(:, 2);
230 z_coords_16 = vertices_aprox_frustrada_16(:, 3);

232 x_coords_16 = [x_coords_16; x_coords_16(1)];
y_coords_16 = [y_coords_16; y_coords_16(1)];
234 z_coords_16 = [z_coords_16; z_coords_16(1)];

236 vertices_ap_frustrada_16 = [utm211(x_coords_16(:),y_coords_16(:),28), z_coords_16(:)];
lat_apfrustrada_16 = vertices_ap_frustrada_16(:,1);
lon_apfrustrada_16 = vertices_ap_frustrada_16(:,2);

```

```

240 z_apfrustrada_16 = vertices_ap_frustrada_16(:,3);
241
242 %% FRUSTRADA INTERMEDIA 16
243
244 % Secundaria 1
245 vertices_aprox_frustrada_16_s1_i = [vertices_aprox_frustrada_16_s1(3,1:2), frustrada_z_16
246     + moc_frustrada;
247         vertices_aprox_frustrada_16_s1(4,1:2), frustrada_z_16 ;
248         cab16_utm(1:2) + fru_sanchura/2 * vector_normal + ((x_mapt_16 +
249             att_mapt/2) - trans_fru) * -vector_pista, h_frustrada_intermedia_16;
250             cab16_utm(1:2) + fru_sanchura * vector_normal + ((x_mapt_16+
251                 att_mapt/2) - trans_fru) * -vector_pista, h_frustrada_intermedia_16 +
252                 moc_frustrada_int ];
253
254 x_coords_16_s1 = vertices_aprox_frustrada_16_s1_i(:, 1);
255 y_coords_16_s1 = vertices_aprox_frustrada_16_s1_i(:, 2);
256 z_coords_16_s1 = vertices_aprox_frustrada_16_s1_i(:, 3);
257
258 x_coords_16_s1 = [x_coords_16_s1; x_coords_16_s1(1)];
259 y_coords_16_s1 = [y_coords_16_s1; y_coords_16_s1(1)];
260 z_coords_16_s1 = [z_coords_16_s1; z_coords_16_s1(1)];
261
262 vertices_ap_frustrada_16_s1_i = [utm2ll(x_coords_16_s1(:),y_coords_16_s1(:),28),
263     z_coords_16_s1(:)];
264 lat_apfrustrada_16_s1_i = vertices_ap_frustrada_16_s1_i(:,1);
265 lon_apfrustrada_16_s1_i = vertices_ap_frustrada_16_s1_i(:,2);
266 z_apfrustrada_16_s1_i = vertices_ap_frustrada_16_s1_i(:,3);
267
268 % Secundaria 2
269 vertices_aprox_frustrada_16_s2_i = [vertices_aprox_frustrada_16_s2(3,1:2), frustrada_z_16
270     + moc_frustrada ;
271         vertices_aprox_frustrada_16_s2(4,1:2), frustrada_z_16 ;
272         cab16_utm(1:2) + fru_sanchura/2 * -vector_normal + ((x_mapt_16+
273             att_mapt/2) - trans_fru) * -vector_pista, h_frustrada_intermedia_16;
274             cab16_utm(1:2) + fru_sanchura * -vector_normal + ((x_mapt_16+
275                 att_mapt/2) - trans_fru) * -vector_pista, h_frustrada_intermedia_16 +
276                 moc_frustrada_int ];
277
278 x_coords_16_s2 = vertices_aprox_frustrada_16_s2_i(:, 1);
279 y_coords_16_s2 = vertices_aprox_frustrada_16_s2_i(:, 2);
280 z_coords_16_s2 = vertices_aprox_frustrada_16_s2_i(:, 3);
281
282 x_coords_16_s2 = [x_coords_16_s2; x_coords_16_s2(1)];
283 y_coords_16_s2 = [y_coords_16_s2; y_coords_16_s2(1)];
284 z_coords_16_s2 = [z_coords_16_s2; z_coords_16_s2(1)];
285
286 vertices_ap_frustrada_16_s2_i = [utm2ll(x_coords_16_s2(:),y_coords_16_s2(:),28),
287     z_coords_16_s2(:)];
288 lat_apfrustrada_16_s2_i = vertices_ap_frustrada_16_s2_i(:,1);
289 lon_apfrustrada_16_s2_i = vertices_ap_frustrada_16_s2_i(:,2);
290 z_apfrustrada_16_s2_i = vertices_ap_frustrada_16_s2_i(:,3);
291
292 % Area principal Frustrada 16
293 vertices_aprox_frustrada_16_i = [vertices_aprox_frustrada_16_s1_i(2,1:2), frustrada_z_16;
294     vertices_aprox_frustrada_16_s1_i(3,1:2),
295         h_frustrada_intermedia_16;
296             vertices_aprox_frustrada_16_s2_i(3,1:2),
297                 h_frustrada_intermedia_16 ;
298                     vertices_aprox_frustrada_16_s2_i(2,1:2), frustrada_z_16 ];
299
300 x_coords_16 = vertices_aprox_frustrada_16_i(:, 1);
301 y_coords_16 = vertices_aprox_frustrada_16_i(:, 2);
302 z_coords_16 = vertices_aprox_frustrada_16_i(:, 3);
303
304 x_coords_16 = [x_coords_16; x_coords_16(1)];
305 y_coords_16 = [y_coords_16; y_coords_16(1)];
306 z_coords_16 = [z_coords_16; z_coords_16(1)];
307
308

```

```

296 vertices_ap_frustrada_16_i = [utm211(x_coords_16(:),y_coords_16(:),28), z_coords_16(:)];
lat_apfrustrada_16_i = vertices_ap_frustrada_16_i(:,1);
lon_apfrustrada_16_i = vertices_ap_frustrada_16_i(:,2);
z_apfrustrada_16_i = vertices_ap_frustrada_16_i(:,3);

300 %% FRUSTRADA FINAL 16
largo_apertura_degree_16_finfru = tand(15) * fru_final_largo;
302
% Secundaria 1
304 vertices_aprox_frustrada_16_s1_f = [vertices_aprox_frustrada_16_s1_i(3,1:2),
    vertices_aprox_frustrada_16_s1_i(3,3);
    vertices_aprox_frustrada_16_s1_i(4,1:2),
    vertices_aprox_frustrada_16_s1_i(4,3);
    vertices_aprox_frustrada_16_s1_i(4,1:2) + (fru_final_largo) *
vector_pista + (largo_apertura_degree_16_finfru) * vector_normal,
h_frustrada_intermedia_16 + moc_frustrada_int ;
    vertices_aprox_frustrada_16_s1_i(3,1:2) + (fru_final_largo) *
vector_pista+ (largo_apertura_degree_16_finfru) * vector_normal,
h_frustrada_intermedia_16 ];
308
x_coords_16_s1 = vertices_aprox_frustrada_16_s1_f(:, 1);
310 y_coords_16_s1 = vertices_aprox_frustrada_16_s1_f(:, 2);
z_coords_16_s1 = vertices_aprox_frustrada_16_s1_f(:, 3);
312
x_coords_16_s1 = [x_coords_16_s1; x_coords_16_s1(1)];
314 y_coords_16_s1 = [y_coords_16_s1; y_coords_16_s1(1)];
z_coords_16_s1 = [z_coords_16_s1; z_coords_16_s1(1)];
316
vertices_ap_frustrada_16_s1_f = [utm211(x_coords_16_s1(:),y_coords_16_s1(:),28),
    z_coords_16_s1(:)];
318 lat_apfrustrada_16_s1_f = vertices_ap_frustrada_16_s1_f(:,1);
lon_apfrustrada_16_s1_f = vertices_ap_frustrada_16_s1_f(:,2);
z_apfrustrada_16_s1_f = vertices_ap_frustrada_16_s1_f(:,3);

322 % Secundaria 2
324 vertices_aprox_frustrada_16_s2_f = [vertices_aprox_frustrada_16_s2_i(3,1:2),
    vertices_aprox_frustrada_16_s2_i(3,3);
    vertices_aprox_frustrada_16_s2_i(4,1:2),
    vertices_aprox_frustrada_16_s2_i(4,3);
    vertices_aprox_frustrada_16_s2_i(4,1:2) + (fru_final_largo) *
vector_pista+ (largo_apertura_degree_16_finfru) * vector_normal,
h_frustrada_intermedia_16+ moc_frustrada_int ;
    vertices_aprox_frustrada_16_s2_i(3,1:2) + (fru_final_largo) *
vector_pista+ (largo_apertura_degree_16_finfru) * vector_normal,
h_frustrada_intermedia_16];
328 x_coords_16_s2 = vertices_aprox_frustrada_16_s2_f(:, 1);
y_coords_16_s2 = vertices_aprox_frustrada_16_s2_f(:, 2);
z_coords_16_s2 = vertices_aprox_frustrada_16_s2_f(:, 3);
332 x_coords_16_s2 = [x_coords_16_s2; x_coords_16_s2(1)];
y_coords_16_s2 = [y_coords_16_s2; y_coords_16_s2(1)];
z_coords_16_s2 = [z_coords_16_s2; z_coords_16_s2(1)];
336 vertices_ap_frustrada_16_s2_f = [utm211(x_coords_16_s2(:),y_coords_16_s2(:),28),
    z_coords_16_s2(:)];
lat_apfrustrada_16_s2_f = vertices_ap_frustrada_16_s2_f(:,1);
lon_apfrustrada_16_s2_f = vertices_ap_frustrada_16_s2_f(:,2);
z_apfrustrada_16_s2_f = vertices_ap_frustrada_16_s2_f(:,3);

340
% Area principal Frustrada 16
342 vertices_aprox_frustrada_16_f = [vertices_aprox_frustrada_16_s1_f(1,1:2),
    h_frustrada_intermedia_16;
    vertices_aprox_frustrada_16_s1_f(4,1:2),
    h_frustrada_intermedia_16;
    vertices_aprox_frustrada_16_s2_f(4,1:2),
    h_frustrada_intermedia_16 ;
    vertices_aprox_frustrada_16_s2_f(1,1:2),
    h_frustrada_intermedia_16];

```

```

346     h_frustrada_intermedia_16];
348 x_coords_16 = vertices_aprox_frustrada_16_f(:, 1);
349 y_coords_16 = vertices_aprox_frustrada_16_f(:, 2);
350 z_coords_16 = vertices_aprox_frustrada_16_f(:, 3);
352 x_coords_16 = [x_coords_16; x_coords_16(1)];
353 y_coords_16 = [y_coords_16; y_coords_16(1)];
354 z_coords_16 = [z_coords_16; z_coords_16(1)];
356 vertices_ap_frustrada_16_f = [utm211(x_coords_16(:), y_coords_16(:), 28), z_coords_16(:)];
357 lat_apfrustrada_16_f = vertices_ap_frustrada_16_f(:, 1);
358 lon_apfrustrada_16_f = vertices_ap_frustrada_16_f(:, 2);
359 z_apfrustrada_16_f = vertices_ap_frustrada_16_f(:, 3);

360
361 %% INICIAL 34
362 vertices_aprox_inicial_34 = [cab34_utm(1:2) + (inicial_largo) * vector_normal + (
363     final_largo + intermedia_largo - ini_sanchura/2 + x_mapt_34) * vector_pista, h_iaf_34
364     ;
365         cab34_utm(1:2) + (inicial_largo) * vector_normal + (final_largo +
366             intermedia_largo + ini_sanchura/2 + x_mapt_34) * vector_pista, h_iaf_34;
367             cab34_utm(1:2) + (1) * vector_normal + (final_largo +
368                 intermedia_largo + ini_sanchura/2 + x_mapt_34) * vector_pista, h_if_34;
369                 cab34_utm(1:2) + (1) * vector_normal + (final_largo +
370                     intermedia_largo + x_mapt_34) * vector_pista, h_if_34; %if
371                     cab34_utm(1:2) + (ini_sanchura/2) * vector_normal + (final_largo
372                         + intermedia_largo - ini_sanchura/2 + x_mapt_34) * vector_pista, h_if_34];
373
374 x_coords_34_ini = vertices_aprox_inicial_34(:, 1);
375 y_coords_34_ini = vertices_aprox_inicial_34(:, 2);
376 z_coords_34_ini = vertices_aprox_inicial_34(:, 3);
377
378 x_coords_34_ini = [x_coords_34_ini; x_coords_34_ini(1)];
379 y_coords_34_ini = [y_coords_34_ini; y_coords_34_ini(1)];
380 z_coords_34_ini = [z_coords_34_ini; z_coords_34_ini(1)];
381
382 vertices_ap_inicial_34 = [utm211(x_coords_34_ini(:), y_coords_34_ini(:), 28),
383     z_coords_34_ini(:)];
384 lat_apinicial_34 = vertices_ap_inicial_34(:, 1);
385 lon_apinicial_34 = vertices_ap_inicial_34(:, 2);
386 z_apinicial_34 = vertices_ap_inicial_34(:, 3);

387
388 %% Secundaria 1
389 vertices_aprox_inicial_34_s1 = [cab34_utm(1:2) + (inicial_largo) * vector_normal + (
390     final_largo + intermedia_largo - ini_sanchura/2 + x_mapt_34) * vector_pista, h_iaf_34
391     ;
392         cab34_utm(1:2) + (inicial_largo) * vector_normal + (final_largo +
393             intermedia_largo - ini_sanchura + x_mapt_34) * vector_pista, h_iaf_34 + moc_inicial;
394             cab34_utm(1:2) + (ini_sanchura) * vector_normal + (final_largo +
395                 intermedia_largo - ini_sanchura + x_mapt_34) * vector_pista, h_if_34 + moc_inicial;
396                 cab34_utm(1:2) + (ini_sanchura/2) * vector_normal + (final_largo
397                     + intermedia_largo - ini_sanchura/2 + x_mapt_34) * vector_pista, h_if_34];
398
399 x_coords_34_s1_ini = vertices_aprox_inicial_34_s1(:, 1);
400 y_coords_34_s1_ini = vertices_aprox_inicial_34_s1(:, 2);
401 z_coords_34_s1_ini = vertices_aprox_inicial_34_s1(:, 3);
402
403 x_coords_34_s1_ini = [x_coords_34_s1_ini; x_coords_34_s1_ini(1)];
404 y_coords_34_s1_ini = [y_coords_34_s1_ini; y_coords_34_s1_ini(1)];
405 z_coords_34_s1_ini = [z_coords_34_s1_ini; z_coords_34_s1_ini(1)];
406
407 vertices_ap_inicial_34_s1 = [utm211(x_coords_34_s1_ini(:), y_coords_34_s1_ini(:), 28),
408     z_coords_34_s1_ini(:)];
409 lat_apinicial_34_s1 = vertices_ap_inicial_34_s1(:, 1);

```

```

400 lon_apinicial_34_s1 = vertices_ap_inicial_34_s1(:,2);
z_apinicial_34_s1 = vertices_ap_inicial_34_s1(:,3);
402
404 % Secundaria 2
406 vertices_aprox_inicial_34_s2 = [cab34_utm(1:2) + (inicial_largo) * vector_normal +
final_largo + intermedia_largo + ini_sanchura + x_mapt_34) * vector_pista, h_if_34 +
moc_inicial ;
cab34_utm(1:2) + (inicial_largo) * vector_normal + (final_largo +
intermedia_largo + ini_sanchura/2 + x_mapt_34) * vector_pista, h_if_34;
cab34_utm(1:2) + (1) * vector_normal + (final_largo +
intermedia_largo + ini_sanchura/2 + x_mapt_34) * vector_pista, h_if_34;
cab34_utm(1:2) + (1) * vector_normal + (final_largo +
intermedia_largo + ini_sanchura + x_mapt_34) * vector_pista, h_if_34 + moc_inicial];
410
412 x_coords_34_s2_ini = vertices_aprox_inicial_34_s2(:, 1);
y_coords_34_s2_ini = vertices_aprox_inicial_34_s2(:, 2);
414 z_coords_34_s2_ini = vertices_aprox_inicial_34_s2(:, 3);
416 x_coords_34_s2_ini = [x_coords_34_s2_ini; x_coords_34_s2_ini(1)];
y_coords_34_s2_ini = [y_coords_34_s2_ini; y_coords_34_s2_ini(1)];
418 z_coords_34_s2_ini = [z_coords_34_s2_ini; z_coords_34_s2_ini(1)];
420 vertices_ap_inicial_34_s2 = [utm211(x_coords_34_s2_ini(:,y_coords_34_s2_ini(:,28),
z_coords_34_s2_ini(:));
lat_apinicial_34_s2 = vertices_ap_inicial_34_s2(:,1);
lon_apinicial_34_s2 = vertices_ap_inicial_34_s2(:,2);
422 z_apinicial_34_s2 = vertices_ap_inicial_34_s2(:,3);
424
%% FINAL 34
426 q_trans_h_34final = 240;
428 vertices_aprox_final_34 = [cab34_utm(1:2) + mapt_sanchura/2 * vector_normal +
vector_pista * x_mapt_34, h_mapt_34;
cab34_utm(1:2) - mapt_sanchura/2 * vector_normal + vector_pista *
x_mapt_34, h_mapt_34;
cab34_utm(1:2) -faf_sanchura/2 * vector_normal + (final_largo +
x_mapt_34) * vector_pista, h_faf_34;
cab34_utm(1:2) +faf_sanchura/2 * vector_normal + (final_largo +
x_mapt_34) * vector_pista, h_faf_34];
432
x_coords_34 = vertices_aprox_final_34(:, 1);
434 y_coords_34 = vertices_aprox_final_34(:, 2);
z_coords_34 = vertices_aprox_final_34(:, 3);
436
x_coords_34 = [x_coords_34; x_coords_34(1)];
438 y_coords_34 = [y_coords_34; y_coords_34(1)];
z_coords_34 = [z_coords_34; z_coords_34(1)];
440
vertices_ap_final_34 = [utm211(x_coords_34(:,y_coords_34(:,28), z_coords_34(:));
lat_apfinal_34 = vertices_ap_final_34(:,1);
lon_apfinal_34 = vertices_ap_final_34(:,2);
442 z_apfinal_34 = vertices_ap_final_34(:,3);
444
% Secundaria 1
446 vertices_aprox_final_34_s1 = [cab34_utm(1:2) + mapt_sanchura/2 * vector_normal +
vector_pista * x_mapt_34, h_mapt_34;
cab34_utm(1:2) + mapt_sanchura * vector_normal + vector_pista *
x_mapt_34, moc_final + h_mapt_34;
cab34_utm(1:2) + mapt_sanchura * vector_normal + (x_mapt_34 +
q_trans) * vector_pista, h_mapt_16 + moc_final + q_trans_h_34final; %nuevo
cab34_utm(1:2) +faf_sanchura * vector_normal + (final_largo +
x_mapt_34) * vector_pista, h_faf_34 + moc_intermedia;
cab34_utm(1:2) +faf_sanchura/2 * vector_normal + (final_largo +
x_mapt_34) * vector_pista, h_faf_34];
450
452
```

```

454 x_coords_34_s1 = vertices_aprox_final_34_s1(:, 1);
455 y_coords_34_s1 = vertices_aprox_final_34_s1(:, 2);
456 z_coords_34_s1 = vertices_aprox_final_34_s1(:, 3);
457
458 x_coords_34_s1 = [x_coords_34_s1; x_coords_34_s1(1)];
459 y_coords_34_s1 = [y_coords_34_s1; y_coords_34_s1(1)];
460 z_coords_34_s1 = [z_coords_34_s1; z_coords_34_s1(1)];
461
462 vertices_ap_final_34_s1 = [utm2ll(x_coords_34_s1(:),y_coords_34_s1(:),28), z_coords_34_s1
463 (:)];
464 lat_apfinal_34_s1 = vertices_ap_final_34_s1(:,1);
465 lon_apfinal_34_s1 = vertices_ap_final_34_s1(:,2);
466 z_apfinal_34_s1 = vertices_ap_final_34_s1(:,3);
467
468 % Secundaria 2
469 vertices_aprox_final_34_s2 = [cab34_utm(1:2) - mapt_sanchura/2 * vector_normal +
470 vector_pista * x_mapt_34, h_mapt_34;
471 cab34_utm(1:2) - mapt_sanchura * vector_normal + vector_pista *
472 x_mapt_34, h_mapt_34+ moc_final;
473 cab34_utm(1:2) - mapt_sanchura * vector_normal + (x_mapt_34 +
474 q_trans) * vector_pista, h_mapt_16 + moc_final+q_trans_h_34final; %nuevo
475 cab34_utm(1:2) -faf_sanchura * vector_normal + (final_largo +
476 x_mapt_34) * vector_pista, h_faf_34 + moc_intermedia;
477 cab34_utm(1:2) -faf_sanchura/2 * vector_normal + (final_largo +
478 x_mapt_34) * vector_pista, h_faf_34];
479
480 x_coords_34_s2 = vertices_aprox_final_34_s2(:, 1);
481 y_coords_34_s2 = vertices_aprox_final_34_s2(:, 2);
482 z_coords_34_s2 = vertices_aprox_final_34_s2(:, 3);
483
484 x_coords_34_s2 = [x_coords_34_s2; x_coords_34_s2(1)];
485 y_coords_34_s2 = [y_coords_34_s2; y_coords_34_s2(1)];
486 z_coords_34_s2 = [z_coords_34_s2; z_coords_34_s2(1)];
487
488 vertices_ap_final_34_s2 = [utm2ll(x_coords_34_s2(:),y_coords_34_s2(:),28), z_coords_34_s2
489 (:)];
490 lat_apfinal_34_s2 = vertices_ap_final_34_s2(:,1);
491 lon_apfinal_34_s2 = vertices_ap_final_34_s2(:,2);
492 z_apfinal_34_s2 = vertices_ap_final_34_s2(:,3);
493
494 %% FRUSTRADA INICIAL Y INTERMEDIA 34
495
496 xsoc_34_lnav_point_utm = [cab34_utm(1:2) + (-x_mapt_34 + xSOC_34) * -vector_pista,
497 h_mapt_34 + moc_final];
498 xsoc_34_lnav_point_ll = [utm2ll(xsoc_34_lnav_point_utm(1),xsoc_34_lnav_point_utm(2),28),
499 xsoc_34_lnav_point_utm(3)];
500 SOC34_sanch = 2.2 * ((xSOC_34 + att_mapt/2) * tand(15));
501
502 % Secundaria 1
503 vertices_aprox_frustrada_34_s1 = [vertices_aprox_final_34(1,1:2) - (att_mapt/2) * -
504 vector_pista , frustrada_z_34;
505 vertices_aprox_final_34_s1(2,1:2) - (att_mapt/2) * -vector_pista ,
506 frustrada_z_34 + moc_frustrada;
507 cab34_utm(1:2) + SOC34_sanch * vector_normal + ((x_mapt_34 +
508 att_mapt/2) - xSOC_34) * vector_pista, frustrada_z_34 + moc_frustrada ;
509 cab34_utm(1:2) + SOC34_sanch/2 * vector_normal + ((x_mapt_34+
510 att_mapt/2) - xSOC_34) * vector_pista, frustrada_z_34];
511
512 x_coords_34_s1 = vertices_aprox_frustrada_34_s1(:, 1);
513 y_coords_34_s1 = vertices_aprox_frustrada_34_s1(:, 2);
514 z_coords_34_s1 = vertices_aprox_frustrada_34_s1(:, 3);
515
516 x_coords_34_s1 = [x_coords_34_s1; x_coords_34_s1(1)];
517 y_coords_34_s1 = [y_coords_34_s1; y_coords_34_s1(1)];
518 z_coords_34_s1 = [z_coords_34_s1; z_coords_34_s1(1)];
519
520 vertices_ap_frustrada_34_s1 = [utm2ll(x_coords_34_s1(:),y_coords_34_s1(:),28),
521 z_coords_34_s1(:)];

```

```

508 lat_apfrustrada_34_s1 = vertices_ap_frustrada_34_s1(:,1);
509 lon_apfrustrada_34_s1 = vertices_ap_frustrada_34_s1(:,2);
510 z_apfrustrada_34_s1 = vertices_ap_frustrada_34_s1(:,3);
511
512 % Secundaria 2
513 vertices_aprox_frustrada_34_s2 = [vertices_aprox_final_34(2,1:2) - (att_mapt/2) * -
514     vector_pista , frustrada_z_34;
515     vertices_aprox_final_34_s2(2,1:2) - (att_mapt/2) * -vector_pista,
516     frustrada_z_34 + moc_frustrada ;
517     cab34_utm(1:2) + SOC34_sanch * -vector_normal + ((x_mapt_34+
518 att_mapt/2) - xSOC_34) * vector_pista, frustrada_z_34 + moc_frustrada;
519     cab34_utm(1:2) + SOC34_sanch/2 * -vector_normal + ((x_mapt_34+
520 att_mapt/2) - xSOC_34) * vector_pista, frustrada_z_34];
521
522 x_coords_34_s2 = vertices_aprox_frustrada_34_s2(:, 1);
523 y_coords_34_s2 = vertices_aprox_frustrada_34_s2(:, 2);
524 z_coords_34_s2 = vertices_aprox_frustrada_34_s2(:, 3);
525
526 x_coords_34_s2 = [x_coords_34_s2; x_coords_34_s2(1)];
527 y_coords_34_s2 = [y_coords_34_s2; y_coords_34_s2(1)];
528 z_coords_34_s2 = [z_coords_34_s2; z_coords_34_s2(1)];
529
530 % Area principal Frustrada 34
531 vertices_aprox_frustrada_34 = [vertices_aprox_frustrada_34_s1(1,1:2), frustrada_z_34;
532     vertices_aprox_frustrada_34_s1(4,1:2), frustrada_z_34;
533     vertices_aprox_frustrada_34_s2(4,1:2), frustrada_z_34 ;
534     vertices_aprox_frustrada_34_s2(1,1:2), frustrada_z_34 ];
535
536 x_coords_34 = vertices_aprox_frustrada_34(:, 1);
537 y_coords_34 = vertices_aprox_frustrada_34(:, 2);
538 z_coords_34 = vertices_aprox_frustrada_34(:, 3);
539
540 x_coords_34 = [x_coords_34; x_coords_34(1)];
541 y_coords_34 = [y_coords_34; y_coords_34(1)];
542 z_coords_34 = [z_coords_34; z_coords_34(1)];
543
544 vertices_ap_frustrada_34 = [utm211(x_coords_34(:,y_coords_34(:,28), z_coords_34(:));
545 lat_apfrustrada_34 = vertices_ap_frustrada_34(:,1);
546 lon_apfrustrada_34 = vertices_ap_frustrada_34(:,2);
547 z_apfrustrada_34 = vertices_ap_frustrada_34(:,3);
548
549 %% FRUSTRADA INTERMEDIA 34
550
551 % Secundaria 1
552 vertices_aprox_frustrada_34_s1_i = [vertices_aprox_frustrada_34_s1(3,1:2), frustrada_z_34 +
553     moc_frustrada;
554     vertices_aprox_frustrada_34_s1(4,1:2), frustrada_z_34 ;
555     cab34_utm(1:2) + fru_sanchura/2 * vector_normal + ((x_mapt_34 +
556 att_mapt/2) - trans_fru) * vector_pista, h_frustrada_intermedia_34;
557     cab34_utm(1:2) + fru_sanchura * vector_normal + ((x_mapt_34 +
558 att_mapt/2) - trans_fru) * vector_pista, h_frustrada_intermedia_34 +
559     moc_frustrada_int ];
560
561 x_coords_34_s1 = vertices_aprox_frustrada_34_s1_i(:, 1);
562 y_coords_34_s1 = vertices_aprox_frustrada_34_s1_i(:, 2);
563 z_coords_34_s1 = vertices_aprox_frustrada_34_s1_i(:, 3);
564
565 x_coords_34_s1 = [x_coords_34_s1; x_coords_34_s1(1)];
566 y_coords_34_s1 = [y_coords_34_s1; y_coords_34_s1(1)];
567 z_coords_34_s1 = [z_coords_34_s1; z_coords_34_s1(1)];
568
569 vertices_ap_frustrada_34_s1_i = [utm211(x_coords_34_s1(:,y_coords_34_s1(:,28),

```



```

620 z_coords_34_s1 = vertices_aprox_frustrada_34_s1_f(:, 3);
622 x_coords_34_s1 = [x_coords_34_s1; x_coords_34_s1(1)];
y_coords_34_s1 = [y_coords_34_s1; y_coords_34_s1(1)];
624 z_coords_34_s1 = [z_coords_34_s1; z_coords_34_s1(1)];
626 vertices_ap_frustrada_34_s1_f = [utm211(x_coords_34_s1(:),y_coords_34_s1(:),28),
z_coords_34_s1(:)];
lat_apfrustrada_34_s1_f = vertices_ap_frustrada_34_s1_f(:,1);
lon_apfrustrada_34_s1_f = vertices_ap_frustrada_34_s1_f(:,2);
z_apfrustrada_34_s1_f = vertices_ap_frustrada_34_s1_f(:,3);
630
% Secundaria 2
632 vertices_aprox_frustrada_34_s2_f = [vertices_aprox_frustrada_34_s2_i(3,1:2),
vertices_aprox_frustrada_34_s2_i(3,3),
vertices_aprox_frustrada_34_s2_i(4,1:2),
634 vertices_aprox_frustrada_34_s2_i(4,3);
vertices_aprox_frustrada_34_s2_i(4,1:2) + (fru_final_largo) * -
vector_pista + (largo_apertura_degree_34_finfru) * vector_normal,
h_frustrada_intermedia_34+ moc_frustrada_int ;
vertices_aprox_frustrada_34_s2_i(3,1:2) + (fru_final_largo) * -
vector_pista + (largo_apertura_degree_34_finfru) * vector_normal,
h_frustrada_intermedia_34];
636 x_coords_34_s2 = vertices_aprox_frustrada_34_s2_f(:, 1);
638 y_coords_34_s2 = vertices_aprox_frustrada_34_s2_f(:, 2);
z_coords_34_s2 = vertices_aprox_frustrada_34_s2_f(:, 3);
640
x_coords_34_s2 = [x_coords_34_s2; x_coords_34_s2(1)];
642 y_coords_34_s2 = [y_coords_34_s2; y_coords_34_s2(1)];
z_coords_34_s2 = [z_coords_34_s2; z_coords_34_s2(1)];
644
vertices_ap_frustrada_34_s2_f = [utm211(x_coords_34_s2(:),y_coords_34_s2(:),28),
z_coords_34_s2(:)];
lat_apfrustrada_34_s2_f = vertices_ap_frustrada_34_s2_f(:,1);
lon_apfrustrada_34_s2_f = vertices_ap_frustrada_34_s2_f(:,2);
z_apfrustrada_34_s2_f = vertices_ap_frustrada_34_s2_f(:,3);
648
650 % Area principal Frustrada 34
vertices_aprox_frustrada_34_f = [vertices_aprox_frustrada_34_s1_f(1,1:2),
h_frustrada_intermedia_34;
652 h_frustrada_intermedia_34;
vertices_aprox_frustrada_34_s1_f(4,1:2),
h_frustrada_intermedia_34;
vertices_aprox_frustrada_34_s2_f(4,1:2),
654 h_frustrada_intermedia_34 ;
vertices_aprox_frustrada_34_s2_f(1,1:2),
h_frustrada_intermedia_34];
656 x_coords_34 = vertices_aprox_frustrada_34_f(:, 1);
y_coords_34 = vertices_aprox_frustrada_34_f(:, 2);
658 z_coords_34 = vertices_aprox_frustrada_34_f(:, 3);
660
x_coords_34 = [x_coords_34; x_coords_34(1)];
y_coords_34 = [y_coords_34; y_coords_34(1)];
662 z_coords_34 = [z_coords_34; z_coords_34(1)];
664
vertices_ap_frustrada_34_f = [utm211(x_coords_34(:),y_coords_34(:),28), z_coords_34(:)];
lat_apfrustrada_34_f = vertices_ap_frustrada_34_f(:,1);
lon_apfrustrada_34_f = vertices_ap_frustrada_34_f(:,2);
z_apfrustrada_34_f = vertices_ap_frustrada_34_f(:,3);
668
%% INICIAL 16 (off)
670
vertices_aprox_inicial_16 = [cab16_utm(1:2) + (inicial_largo) * vector_normal + (
final_largo + intermedia_largo - ini_sanchura/2 + x_mapt_16) * -vector_pista,
h_iaf_16;
cab16_utm(1:2) + (inicial_largo) * vector_normal + (final_largo +
intermedia_largo + ini_sanchura/2 + x_mapt_16) * -vector_pista, h_iaf_16];
672

```

```

674         cab16_utm(1:2) + (1) * vector_normal + (final_largo +
intermedia_largo + ini_sanchura/2+ x_mapt_16) * -vector_pista, h_if_16;
cab16_utm(1:2) + (1) * vector_normal + (final_largo +
intermedia_largo + x_mapt_16) * -vector_pista, h_if_16;
cab16_utm(1:2) + (ini_sanchura/2-200) * vector_normal + (
final_largo + intermedia_largo - ini_sanchura/2 + x_mapt_16) * -vector_pista, h_if_16
];
676
676 x_coords_16_ini = vertices_aprox_inicial_16(:, 1);
678 y_coords_16_ini = vertices_aprox_inicial_16(:, 2);
z_coords_16_ini = vertices_aprox_inicial_16(:, 3);
680
680 x_coords_16_ini = [x_coords_16_ini; x_coords_16_ini(1)];
682 y_coords_16_ini = [y_coords_16_ini; y_coords_16_ini(1)];
z_coords_16_ini = [z_coords_16_ini; z_coords_16_ini(1)];
684
684 vertices_ap_inicial_16 = [utm211(x_coords_16_ini(:),y_coords_16_ini(:),28),
z_coords_16_ini(:)];
686 lat_apinicial_16 = vertices_ap_inicial_16(:,1);
lon_apinicial_16 = vertices_ap_inicial_16(:,2);
688 z_apinicial_16 = vertices_ap_inicial_16(:,3);

690 % Secundaria 1
vertices_aprox_inicial_16_s1 = [cab16_utm(1:2) + (inicial_largo) * vector_normal + (
final_largo + intermedia_largo - ini_sanchura/2 + x_mapt_16) * -vector_pista,
h_iaf_16;
cab16_utm(1:2) + (inicial_largo) * vector_normal + (final_largo +
intermedia_largo - ini_sanchura + x_mapt_16) * -vector_pista, h_iaf_16 + moc_inicial
;
cab16_utm(1:2) + (ini_sanchura) * vector_normal + (final_largo +
intermedia_largo - ini_sanchura + x_mapt_16) * -vector_pista, h_if_16 + moc_inicial;
cab16_utm(1:2) + (ini_sanchura/2-200) * vector_normal + (
final_largo + intermedia_largo - ini_sanchura/2 + x_mapt_16) * -vector_pista, h_if_16
];
696
696 x_coords_16_s1_ini = vertices_aprox_inicial_16_s1(:, 1);
698 y_coords_16_s1_ini = vertices_aprox_inicial_16_s1(:, 2);
z_coords_16_s1_ini = vertices_aprox_inicial_16_s1(:, 3);
700
700 x_coords_16_s1_ini = [x_coords_16_s1_ini; x_coords_16_s1_ini(1)];
702 y_coords_16_s1_ini = [y_coords_16_s1_ini; y_coords_16_s1_ini(1)];
z_coords_16_s1_ini = [z_coords_16_s1_ini; z_coords_16_s1_ini(1)];
704
704 vertices_ap_inicial_16_s1 = [utm211(x_coords_16_s1_ini(:),y_coords_16_s1_ini(:),28),
z_coords_16_s1_ini(:)];
706 lat_apinicial_16_s1 = vertices_ap_inicial_16_s1(:,1);
lon_apinicial_16_s1 = vertices_ap_inicial_16_s1(:,2);
708 z_apinicial_16_s1 = vertices_ap_inicial_16_s1(:,3);

710 % Secundaria 2
vertices_aprox_inicial_16_s2 = [cab16_utm(1:2) + (inicial_largo) * vector_normal + (
final_largo + intermedia_largo + ini_sanchura + x_mapt_16) * -vector_pista, h_iaf_16
+ moc_inicial ;
cab16_utm(1:2) + (inicial_largo) * vector_normal + (final_largo +
intermedia_largo + ini_sanchura/2 + x_mapt_16) * -vector_pista, h_iaf_16;
cab16_utm(1:2) + (1) * vector_normal + (final_largo +
intermedia_largo + ini_sanchura/2 + x_mapt_16) * -vector_pista, h_if_16;
cab16_utm(1:2) + (1) * vector_normal + (final_largo +
intermedia_largo + ini_sanchura + x_mapt_16) * -vector_pista, h_if_16 + moc_inicial
];
716
716 x_coords_16_s2_ini = vertices_aprox_inicial_16_s2(:, 1);
718 y_coords_16_s2_ini = vertices_aprox_inicial_16_s2(:, 2);
z_coords_16_s2_ini = vertices_aprox_inicial_16_s2(:, 3);
720 x_coords_16_s2_ini = [x_coords_16_s2_ini; x_coords_16_s2_ini(1)];

```

```

722 y_coords_16_s2_ini = [y_coords_16_s2_ini; y_coords_16_s2_ini(1)];
723 z_coords_16_s2_ini = [z_coords_16_s2_ini; z_coords_16_s2_ini(1)];
724
725 vertices_ap_inicial_16_s2 = [utm211(x_coords_16_s2_ini(:),y_coords_16_s2_ini(:,28),
726 z_coords_16_s2_ini(:));
727 lat_apinicial_16_s2 = vertices_ap_inicial_16_s2(:,1);
728 lon_apinicial_16_s2 = vertices_ap_inicial_16_s2(:,2);
729 z_apinicial_16_s2 = vertices_ap_inicial_16_s2(:,3);
730
731 %% INTERMEDIA 34
732
733 vertices_aprox_intermedia_34 = [vertices_aprox_final_34(4,1:2), h_if_34;
734 vertices_aprox_final_34(3,1:2), h_if_34;
735 cab34_utm(1:2) - (ini_sanchura/2) * vector_normal + (final_largo +
736 intermedia_largo + x_mapt_34) * vector_pista, h_if_34;
737 cab34_utm(1:2) + (1) * vector_normal + (final_largo +
intermedia_largo + x_mapt_34) * vector_pista, h_if_34;
738 vertices_aprox_inicial_34_s1(4,1:3)];
739
740 x_coords_34_int = vertices_aprox_intermedia_34(:, 1);
741 y_coords_34_int = vertices_aprox_intermedia_34(:, 2);
742 z_coords_34_int = vertices_aprox_intermedia_34(:, 3);
743
744 x_coords_34_int = [x_coords_34_int; x_coords_34_int(1)];
745 y_coords_34_int = [y_coords_34_int; y_coords_34_int(1)];
746 z_coords_34_int = [z_coords_34_int; z_coords_34_int(1)];
747
748 vertices_ap_intermedia_34 = [utm211(x_coords_34_int(:),y_coords_34_int(:,28),
749 z_coords_34_int(:));
750 lat_apintermedia_34 = vertices_ap_intermedia_34(:,1);
751 lon_apintermedia_34 = vertices_ap_intermedia_34(:,2);
752 z_apintermedia_34 = vertices_ap_intermedia_34(:,3);
753
754 % Secundaria 1
755 vertices_aprox_intermedia_34_s1 = [vertices_aprox_final_34(4,1:2), h_if_34;
756 cab34_utm(1:2) + (ini_sanchura-z_trans) * vector_normal + (
final_largo + x_mapt_34) * vector_pista, h_if_34 + moc_intermedia;
757 vertices_aprox_inicial_34_s1(3,1:3);
758 vertices_aprox_inicial_34_s1(4,1:3)];
759
760 x_coords_34_s1_int = vertices_aprox_intermedia_34_s1(:, 1);
761 y_coords_34_s1_int = vertices_aprox_intermedia_34_s1(:, 2);
762 z_coords_34_s1_int = vertices_aprox_intermedia_34_s1(:, 3);
763
764 x_coords_34_s1_int = [x_coords_34_s1_int; x_coords_34_s1_int(1)];
765 y_coords_34_s1_int = [y_coords_34_s1_int; y_coords_34_s1_int(1)];
766 z_coords_34_s1_int = [z_coords_34_s1_int; z_coords_34_s1_int(1)];
767
768 vertices_ap_intermedia_34_s1 = [utm211(x_coords_34_s1_int(:),y_coords_34_s1_int(:,28),
769 z_coords_34_s1_int(:));
770 lat_apintermedia_34_s1 = vertices_ap_intermedia_34_s1(:,1);
771 lon_apintermedia_34_s1 = vertices_ap_intermedia_34_s1(:,2);
772 z_apintermedia_34_s1 = vertices_ap_intermedia_34_s1(:,3);
773
774 % Secundaria 2
775
776 vertices_aprox_intermedia_34_s2 = [vertices_aprox_final_34(3,1:2), h_if_34;
777 cab34_utm(1:2) - (ini_sanchura-z_trans) * vector_normal + (
final_largo + x_mapt_34) * vector_pista, h_if_34 + moc_intermedia;
778 cab34_utm(1:2) - (ini_sanchura) * vector_normal + (final_largo +
intermedia_largo + x_mapt_34 - y_trans) * vector_pista, h_if_34 + moc_intermedia; %
nuevo
cab34_utm(1:2) - (ini_sanchura) * vector_normal + (final_largo +
intermedia_largo + x_mapt_34) * vector_pista, h_if_34 + moc_intermedia;

```

```

780             cab34_utm(1:2) - (ini_sanchura/2) * vector_normal + (final_largo
781             + intermedia_largo + x_mapt_34) * vector_pista, h_if_34];
782
782 x_coords_34_s2_int = vertices_aprox_intermedia_34_s2(:, 1);
784 y_coords_34_s2_int = vertices_aprox_intermedia_34_s2(:, 2);
785 z_coords_34_s2_int = vertices_aprox_intermedia_34_s2(:, 3);
786
786 x_coords_34_s2_int = [x_coords_34_s2_int; x_coords_34_s2_int(1)];
788 y_coords_34_s2_int = [y_coords_34_s2_int; y_coords_34_s2_int(1)];
789 z_coords_34_s2_int = [z_coords_34_s2_int; z_coords_34_s2_int(1)];
790
790 vertices_ap_intermedia_34_s2 = [utm211(x_coords_34_s2_int(:),y_coords_34_s2_int(:),28),
791             z_coords_34_s2_int(:)];
792 lat_apintermedia_34_s2 = vertices_ap_intermedia_34_s2(:,1);
793 lon_apintermedia_34_s2 = vertices_ap_intermedia_34_s2(:,2);
794 z_apintermedia_34_s2 = vertices_ap_intermedia_34_s2(:,3);
795
796 %% INTERMEDIA 16
797
798 vertices_aprox_intermedia_16 = [vertices_aprox_final_16(4,1:2), h_if_16;
799             vertices_aprox_final_16(3,1:2), h_if_16;
800             cab16_utm(1:2) - (ini_sanchura/2) * vector_normal + (final_largo
801             + intermedia_largo + x_mapt_16) * -vector_pista, h_if_16;
802             vertices_aprox_inicial_16(4,1:3);
803             cab16_utm(1:2) + (ini_sanchura/2-200) * vector_normal + (
804             final_largo + intermedia_largo - ini_sanchura/2 + x_mapt_16) * -vector_pista, h_if_16
805             ];
806
804 x_coords_16_int = vertices_aprox_intermedia_16(:, 1);
805 y_coords_16_int = vertices_aprox_intermedia_16(:, 2);
806 z_coords_16_int = vertices_aprox_intermedia_16(:, 3);
807
808 x_coords_16_int = [x_coords_16_int; x_coords_16_int(1)];
809 y_coords_16_int = [y_coords_16_int; y_coords_16_int(1)];
810 z_coords_16_int = [z_coords_16_int; z_coords_16_int(1)];
811
812 vertices_ap_intermedia_16 = [utm211(x_coords_16_int(:),y_coords_16_int(:),28),
813             z_coords_16_int(:)];
814 lat_apintermedia_16 = vertices_ap_intermedia_16(:,1);
815 lon_apintermedia_16 = vertices_ap_intermedia_16(:,2);
816 z_apintermedia_16 = vertices_ap_intermedia_16(:,3);
817
816 % Secundaria 1
817 vertices_aprox_intermedia_16_s1 = [vertices_aprox_final_16(4,1:2), h_if_16;
818             cab16_utm(1:2) + (ini_sanchura-z_trans) * vector_normal+ (
819             final_largo + x_mapt_16) * -vector_pista, h_if_16 + moc_intermedia;
820             cab16_utm(1:2) + (ini_sanchura) * vector_normal + (final_largo +
821             intermedia_largo - ini_sanchura + x_mapt_16) * -vector_pista, h_if_16 + moc_inicial;
822             %nuevo
823             vertices_aprox_intermedia_16(5,1:3)]; %cambiar
824
824 x_coords_16_s1_int = vertices_aprox_intermedia_16_s1(:, 1);
825 y_coords_16_s1_int = vertices_aprox_intermedia_16_s1(:, 2);
826 z_coords_16_s1_int = vertices_aprox_intermedia_16_s1(:, 3);
827
828 x_coords_16_s1_int = [x_coords_16_s1_int; x_coords_16_s1_int(1)];
829 y_coords_16_s1_int = [y_coords_16_s1_int; y_coords_16_s1_int(1)];
830 z_coords_16_s1_int = [z_coords_16_s1_int; z_coords_16_s1_int(1)];
831
832 vertices_ap_intermedia_16_s1 = [utm211(x_coords_16_s1_int(:),y_coords_16_s1_int(:),28),
833             z_coords_16_s1_int(:)];
834 lat_apintermedia_16_s1 = vertices_ap_intermedia_16_s1(:,1);
835 lon_apintermedia_16_s1 = vertices_ap_intermedia_16_s1(:,2);
836 z_apintermedia_16_s1 = vertices_ap_intermedia_16_s1(:,3);
837
836 % Secundaria 2
837 vertices_aprox_intermedia_16_s2 = [vertices_aprox_final_16(3,1:2), h_if_16;

```

```

838         cab16_utm(1:2) - (ini_sanchura-z_trans) * vector_normal + (
final_largo + x_mapt_16) * -vector_pista, h_if_16 + moc_intermedia;
         cab16_utm(1:2) - (ini_sanchura) * vector_normal + (final_largo +
intermedia_largo + x_mapt_16 - y_trans) * -vector_pista, h_if_16 + moc_intermedia; %
nuevo
840         cab16_utm(1:2) - ini_sanchura * vector_normal + (final_largo +
intermedia_largo + x_mapt_16) * -vector_pista, h_if_16 + moc_intermedia;
         cab16_utm(1:2) - (ini_sanchura/2) * vector_normal + (final_largo +
+ intermedia_largo + x_mapt_16) * -vector_pista, h_if_16];
842

844 x_coords_16_s2_int = vertices_aprox_intermedia_16_s2(:, 1);
y_coords_16_s2_int = vertices_aprox_intermedia_16_s2(:, 2);
846 z_coords_16_s2_int = vertices_aprox_intermedia_16_s2(:, 3);

848 x_coords_16_s2_int = [x_coords_16_s2_int; x_coords_16_s2_int(1)];
y_coords_16_s2_int = [y_coords_16_s2_int; y_coords_16_s2_int(1)];
850 z_coords_16_s2_int = [z_coords_16_s2_int; z_coords_16_s2_int(1)];

852 vertices_ap_intermedia_16_s2 = [utm211(x_coords_16_s2_int(:),y_coords_16_s2_int(:),28),
     z_coords_16_s2_int(:)];
lat_apintermedia_16_s2 = vertices_ap_intermedia_16_s2(:,1);
lon_apintermedia_16_s2 = vertices_ap_intermedia_16_s2(:,2);
z_apintermedia_16_s2 = vertices_ap_intermedia_16_s2(:,3);

856 %% INICIAL 16
858
vertices_aprox_inicial_16 = [cab16_utm(1:2) + (inicial_largo) * vector_normal + (
final_largo + intermedia_largo - ini_sanchura/2 + x_mapt_16) * -vector_pista,
h_iap_16;
         cab16_utm(1:2) + (inicial_largo) * vector_normal + (final_largo +
intermedia_largo + ini_sanchura/2 + x_mapt_16) * -vector_pista, h_iap_16;
         cab16_utm(1:2) + (1) * vector_normal + (final_largo +
intermedia_largo + ini_sanchura/2+ x_mapt_16) * -vector_pista, h_if_16;
         cab16_utm(1:2) + (1) * vector_normal + (final_largo +
intermedia_largo + x_mapt_16) * -vector_pista, h_if_16;
         cab16_utm(1:2) + (ini_sanchura/2-200) * vector_normal + (
final_largo + intermedia_largo - ini_sanchura/2 + x_mapt_16) * -vector_pista, h_if_16];
864
x_coords_16_ini = vertices_aprox_inicial_16(:, 1);
y_coords_16_ini = vertices_aprox_inicial_16(:, 2);
z_coords_16_ini = vertices_aprox_inicial_16(:, 3);

868 x_coords_16_ini = [x_coords_16_ini; x_coords_16_ini(1)];
y_coords_16_ini = [y_coords_16_ini; y_coords_16_ini(1)];
z_coords_16_ini = [z_coords_16_ini; z_coords_16_ini(1)];

872 vertices_ap_inicial_16 = [utm211(x_coords_16_ini(:),y_coords_16_ini(:),28),
     z_coords_16_ini(:)];
874 lat_apinicial_16 = vertices_ap_inicial_16(:,1);
lon_apinicial_16 = vertices_ap_inicial_16(:,2);
876 z_apinicial_16 = vertices_ap_inicial_16(:,3);

878 % Secundaria 1
vertices_aprox_inicial_16_s1 = [cab16_utm(1:2) + (inicial_largo) * vector_normal + (
final_largo + intermedia_largo - ini_sanchura/2 + x_mapt_16) * -vector_pista,
h_iap_16;
         cab16_utm(1:2) + (inicial_largo) * vector_normal + (final_largo +
intermedia_largo - ini_sanchura + x_mapt_16) * -vector_pista, h_iap_16 + moc_inicial
];
         cab16_utm(1:2) + (ini_sanchura) * vector_normal + (final_largo +
intermedia_largo - ini_sanchura + x_mapt_16) * -vector_pista, h_if_16 + moc_inicial;
         cab16_utm(1:2) + (ini_sanchura/2-200) * vector_normal + (
final_largo + intermedia_largo - ini_sanchura/2 + x_mapt_16) * -vector_pista, h_if_16];
884

```

```

886 x_coords_16_s1_ini = vertices_aprox_inicial_16_s1(:, 1);
y_coords_16_s1_ini = vertices_aprox_inicial_16_s1(:, 2);
z_coords_16_s1_ini = vertices_aprox_inicial_16_s1(:, 3);
888
890 x_coords_16_s1_ini = [x_coords_16_s1_ini; x_coords_16_s1_ini(1)];
y_coords_16_s1_ini = [y_coords_16_s1_ini; y_coords_16_s1_ini(1)];
z_coords_16_s1_ini = [z_coords_16_s1_ini; z_coords_16_s1_ini(1)];
892
894 vertices_ap_inicial_16_s1 = [utm2ll(x_coords_16_s1_ini(:),y_coords_16_s1_ini(:),28),
z_coords_16_s1_ini(:)];
lat_apinicial_16_s1 = vertices_ap_inicial_16_s1(:,1);
lon_apinicial_16_s1 = vertices_ap_inicial_16_s1(:,2);
896 z_apinicial_16_s1 = vertices_ap_inicial_16_s1(:,3);

898 % Secundaria 2

900 vertices_aprox_inicial_16_s2 = [cab16_utm(1:2) + (inicial_largo) * vector_normal + (
final_largo + intermedia_largo + ini_sanchura + x_mapt_16) * -vector_pista, h_ifaf_16
+ moc_inicial ;
902
904
906 x_coords_16_s2_ini = vertices_aprox_inicial_16_s2(:, 1);
y_coords_16_s2_ini = vertices_aprox_inicial_16_s2(:, 2);
908 z_coords_16_s2_ini = vertices_aprox_inicial_16_s2(:, 3);

910 x_coords_16_s2_ini = [x_coords_16_s2_ini; x_coords_16_s2_ini(1)];
y_coords_16_s2_ini = [y_coords_16_s2_ini; y_coords_16_s2_ini(1)];
912 z_coords_16_s2_ini = [z_coords_16_s2_ini; z_coords_16_s2_ini(1)];

914 vertices_ap_inicial_16_s2 = [utm2ll(x_coords_16_s2_ini(:),y_coords_16_s2_ini(:),28),
z_coords_16_s2_ini(:)];
916 lat_apinicial_16_s2 = vertices_ap_inicial_16_s2(:,1);
lon_apinicial_16_s2 = vertices_ap_inicial_16_s2(:,2);
z_apinicial_16_s2 = vertices_ap_inicial_16_s2(:,3);

918 %% Definicion PTS
920 % Mapt 16
921 xmapt_16_lnav_point_utm = [sum(vertices_aprox_final_16(1:2,:))/2,h_mapt_16+moc_final];
922 xmapt_16_lnav_point_ll = [utm2ll(xmapt_16_lnav_point_utm(1),xmapt_16_lnav_point_utm(2)
,28),xmapt_16_lnav_point_utm(3)];
923 % Mapt 34
924 xmapt_34_lnav_point_utm = [sum(vertices_aprox_final_34(1:2,:))/2,h_mapt_34+moc_final];
925 xmapt_34_lnav_point_ll = [utm2ll(xmapt_34_lnav_point_utm(1),xmapt_34_lnav_point_utm(2)
,28),xmapt_34_lnav_point_utm(3)];
926 % FAF 16
927 xfaf_16_lnav_point_utm = [sum(vertices_aprox_final_16(3:4,:))/2,h_faf_16 + moc_final];
928 xfaf_16_lnav_point_ll = [utm2ll(xfaf_16_lnav_point_utm(1),xfaf_16_lnav_point_utm(2),28),
xfaf_16_lnav_point_utm(3)];
929 % FAF 34
930 xfaf_34_lnav_point_utm = [sum(vertices_aprox_final_34(3:4,:))/2,h_faf_34+moc_final];
931 xfaf_34_lnav_point_ll = [utm2ll(xfaf_34_lnav_point_utm(1),xfaf_34_lnav_point_utm(2),28),
xfaf_34_lnav_point_utm(3)];
932 % IF 16
933 xif_16_lnav_point_utm = [vertices_aprox_intermedia_16(4,1:2),h_if_16+moc_intermedia];
934 xif_16_lnav_point_ll = [utm2ll(xif_16_lnav_point_utm(1),xif_16_lnav_point_utm(2),28),
xif_16_lnav_point_utm(3)];
935 % IF 34
936 xif_34_lnav_point_utm = [vertices_aprox_intermedia_34(4,1:2),h_if_34+moc_intermedia];
937 xif_34_lnav_point_ll = [utm2ll(xif_34_lnav_point_utm(1),xif_34_lnav_point_utm(2),28),
xif_34_lnav_point_utm(3)];
938 % IAF 16

```

```

940 xiaf_16_lnav_point_utm = [sum(vertices_aprox_inicial_16(1:2,:))/2,h_iaf_16+moc_inicial];
941 xiaf_16_lnav_point_ll = [utm2ll(xiaf_16_lnav_point_utm(1),xiaf_16_lnav_point_utm(2),28),
942     xiaf_16_lnav_point_utm(3)];
% IAF 34
943 xiaf_34_lnav_point_utm = [sum(vertices_aprox_inicial_34(1:2,:))/2,h_iaf_34+moc_inicial];
944 xiaf_34_lnav_point_ll = [utm2ll(xiaf_34_lnav_point_utm(1),xiaf_34_lnav_point_utm(2),28),
945     xiaf_34_lnav_point_utm(3)];
% SOC 16
946 xsoc_16_lnav_point_utm = [cab16_utm(1:2) + (x_mapt_16 - xSOC_16) * -vector_pista,
947     h_mapt_16+moc_final];
948 xsoc_16_lnav_point_ll = [utm2ll(xsoc_16_lnav_point_utm(1),xsoc_16_lnav_point_utm(2),28),
949     xsoc_16_lnav_point_utm(3)];
% SOC 34
950 xsoc_34_lnav_point_utm = [cab34_utm(1:2) + (x_mapt_34 - xSOC_34) * -vector_pista,
951     h_mapt_34+moc_final];
952 xsoc_34_lnav_point_ll = [utm2ll(xsoc_34_lnav_point_utm(1),xsoc_34_lnav_point_utm(2),28),
953     xsoc_34_lnav_point_utm(3)];
%% Area circular pista 16
954 centro_16 = xif_16_lnav_point_utm;
955 phi = (angulo_pista+180:0.5:angulo_normal+180)';
956 arco_pequeno_16 = centro_16 + [ini_sanchura/2 * [cosd(phi), sind(phi)], -moc_intermedia*
957     ones(numel(phi),1)];
958 alturas_arco_grande_16 = moc_intermedia+(moc_intermedia-moc_inicial)/(phi(end)-phi(1))*(phi-phi(1));
959 arco_grande_16 = centro_16 + [ini_sanchura * [cosd(phi), sind(phi)],
960     alturas_arco_grande_16];
961 arco_pequeno_16_ll = [utm2ll(arco_pequeno_16(:,1),arco_pequeno_16(:,2),28),
962     arco_pequeno_16(:,3)];
963 arco_grande_16_ll = [utm2ll(arco_grande_16(:,1),arco_grande_16(:,2),28),arco_grande_16
964     (:,3)];
%% Area circular pista 34
965 centro_34 = xif_34_lnav_point_utm;
966 phi = (angulo_pista+180:-0.5:angulo_normal)';
967 arco_pequeno_34 = centro_34 + [-ini_sanchura/2 * [cosd(phi), sind(phi)], -moc_intermedia*
968     ones(numel(phi),1)];
969 alturas_arco_grande_34 = moc_intermedia+(moc_intermedia-moc_inicial)/(phi(end)-phi(1))*(phi-phi(1));
970 arco_grande_34 = centro_34 + [-ini_sanchura * [cosd(phi), sind(phi)],
971     alturas_arco_grande_34];
972 arco_pequeno_34_ll = [utm2ll(arco_pequeno_34(:,1),arco_pequeno_34(:,2),28),
973     arco_pequeno_34(:,3)];
974 arco_grande_34_ll = [utm2ll(arco_grande_34(:,1),arco_grande_34(:,2),28),arco_grande_34
975     (:,3)];
%% PLOTS AISLADOS
976 % Pista 16
977 % Inicial
978 patch(lon_apinicial_16_s2, lat_apinicial_16_s2, z_apinicial_16_s2, 'g', 'FaceAlpha', .5);
979 patch(lon_apinicial_16_s1, lat_apinicial_16_s1, z_apinicial_16_s1, 'g', 'FaceAlpha', .5);
980 patch(lon_apinicial_16, lat_apinicial_16, z_apinicial_16, 'g', 'FaceAlpha', .5);
981 % Intermedia
982 patch(lon_apintermedia_16_s2, lat_apintermedia_16_s2, z_apintermedia_16_s2, 'y', 'FaceAlpha', .5);
983 patch(lon_apintermedia_16_s1, lat_apintermedia_16_s1, z_apintermedia_16_s1, 'y', 'FaceAlpha', .5);
984 patch(lon_apintermedia_16, lat_apintermedia_16, z_apintermedia_16, 'y', 'FaceAlpha', .5);
985 % Frustrada
986 patch(lon_apfrustrada_16_s2, lat_apfrustrada_16_s2, z_apfrustrada_16_s2, 'c', 'FaceAlpha',

```

```

988 patch(lon_apfrustrada_16_s1, lat_apfrustrada_16_s1, z_apfrustrada_16_s1, 'c', 'FaceAlpha',
989     , .5);
patch(lon_apfrustrada_16, lat_apfrustrada_16, z_apfrustrada_16, 'c', 'FaceAlpha', .5);
% Frustrada interm
990 patch(lon_apfrustrada_16_s2_i, lat_apfrustrada_16_s2_i, z_apfrustrada_16_s2_i, 'm', ,
991     'FaceAlpha', .5);
992 patch(lon_apfrustrada_16_s1_i, lat_apfrustrada_16_s1_i, z_apfrustrada_16_s1_i, 'm', ,
993     'FaceAlpha', .5);
patch(lon_apfrustrada_16_i, lat_apfrustrada_16_i, z_apfrustrada_16_i, 'm', 'FaceAlpha',
994     , .5);
% Frustrada final
995 patch(lon_apfrustrada_16_s2_f, lat_apfrustrada_16_s2_f, z_apfrustrada_16_s2_f, 'k', ,
996     'FaceAlpha', .5);
patch(lon_apfrustrada_16_s1_f, lat_apfrustrada_16_s1_f, z_apfrustrada_16_s1_f, 'k', ,
997     'FaceAlpha', .5);
patch(lon_apfrustrada_16_f, lat_apfrustrada_16_f, z_apfrustrada_16_f, 'k', 'FaceAlpha',
998     , .5);
% Final
999 patch(lon_apfinal_16_s2, lat_apfinal_16_s2, z_apfinal_16_s2, 'r', 'FaceAlpha', .5);
1000 patch(lon_apfinal_16_s1, lat_apfinal_16_s1, z_apfinal_16_s1, 'r', 'FaceAlpha', .5);
patch(lon_apfinal_16, lat_apfinal_16, z_apfinal_16, 'r', 'FaceAlpha', .5);
1002 % Pista 34
1003 % Inicial
1004 patch(lon_apinicial_34_s2, lat_apinicial_34_s2, z_apinicial_34_s2, 'g', 'FaceAlpha', .5);
1005 patch(lon_apinicial_34_s1, lat_apinicial_34_s1, z_apinicial_34_s1, 'g', 'FaceAlpha', .5);
patch(lon_apinicial_34, lat_apinicial_34, z_apinicial_34, 'g', 'FaceAlpha', .5);
1006 % Intermedia
1007 patch(lon_apintermedia_34_s2, lat_apintermedia_34_s2, z_apintermedia_34_s2, 'y', ,
1008     'FaceAlpha', .5);
patch(lon_apintermedia_34_s1, lat_apintermedia_34_s1, z_apintermedia_34_s1, 'y', ,
1009     'FaceAlpha', .5);
patch(lon_apintermedia_34, lat_apintermedia_34, z_apintermedia_34, 'y', 'FaceAlpha', .5);
1010 % Frustrada
1011 patch(lon_apfrustrada_34_s2, lat_apfrustrada_34_s2, z_apfrustrada_34_s2, 'c', 'FaceAlpha',
1012     , .5);
patch(lon_apfrustrada_34_s1, lat_apfrustrada_34_s1, z_apfrustrada_34_s1, 'c', 'FaceAlpha',
1013     , .5);
patch(lon_apfrustrada_34, lat_apfrustrada_34, z_apfrustrada_34, 'c', 'FaceAlpha', .5);
1014 % Frustrada interm
1015 patch(lon_apfrustrada_34_s2_i, lat_apfrustrada_34_s2_i, z_apfrustrada_34_s2_i, 'm', ,
1016     'FaceAlpha', .5);
patch(lon_apfrustrada_34_s1_i, lat_apfrustrada_34_s1_i, z_apfrustrada_34_s1_i, 'm', ,
1017     'FaceAlpha', .5);
patch(lon_apfrustrada_34_i, lat_apfrustrada_34_i, z_apfrustrada_34_i, 'm', 'FaceAlpha',
1018     , .5);
1019 % Frustrada final
1020 patch(lon_apfrustrada_34_s2_f, lat_apfrustrada_34_s2_f, z_apfrustrada_34_s2_f, 'k', ,
1021     'FaceAlpha', .5);
patch(lon_apfrustrada_34_s1_f, lat_apfrustrada_34_s1_f, z_apfrustrada_34_s1_f, 'k', ,
1022     'FaceAlpha', .5);
patch(lon_apfrustrada_34_f, lat_apfrustrada_34_f, z_apfrustrada_34_f, 'k', 'FaceAlpha',
1023     , .5);
1024 % Final
1025 patch(lon_apfinal_34_s2, lat_apfinal_34_s2, z_apfinal_34_s2, 'r', 'FaceAlpha', .5);
1026 patch(lon_apfinal_34_s1, lat_apfinal_34_s1, z_apfinal_34_s1, 'r', 'FaceAlpha', .5);
patch(lon_apfinal_34, lat_apfinal_34, z_apfinal_34, 'r', 'FaceAlpha', .5);
1027 %% Arcos
1028 hold on;
% arco pequeño 16
1029 arco_peq_16 = [xif_16_lnav_point_ll-[0,0,moc_intermedia];arco_pequeno_16_ll;
1030     xif_16_lnav_point_ll-[0,0,moc_intermedia]];
patch(arco_peq_16(:,2), arco_peq_16(:,1), arco_peq_16(:,3), 'g', 'FaceAlpha', .5);
% arco grande 16
1031 aux = [(1:numel(arco_pequeno_16_ll(:,1)))',arco_pequeno_16_ll];
1032 aux = sortrows(aux,1,'descend');
aux(:,1) = [];

```

```

1038 arco_grande_16 = [arco_grande_16_11;aux;arco_grande_16_11(1,:)];
1039 patch(arco_grande_16(:,2), arco_grande_16(:,1), arco_grande_16(:,3), 'g', 'FaceAlpha',
1040 .5);
1040 % arco pequeño 34
1041 arco_peq_34 = [xif_34_lnav_point_ll-[0,0,moc_intermedia];arco_pequeno_34_11;
1042 xif_34_lnav_point_ll-[0,0,moc_intermedia]];
1042 patch(arco_peq_34(:,2), arco_peq_34(:,1), arco_peq_34(:,3), 'g', 'FaceAlpha', .5);
1042 % arco grande 34
1043 aux = [(1: numel(arco_pequeno_34_11(:,1)))',arco_pequeno_34_11];
1044 aux = sortrows(aux,1,'descend');
1046 aux(:,1) = [];
1046 arco_grande_34 = [arco_grande_34_11;aux;arco_grande_34_11(1,:)];
1048 patch(arco_grande_34(:,2), arco_grande_34(:,1), arco_grande_34(:,3), 'g', 'FaceAlpha',
1048 .5);

1050 %% GUARDADO
1052 save tramos.mat vertices_ap_final_16 lat_apfinal_16 lon_apfinal_16 z_apfinal_16...
1052 vertices_ap_final_34 lat_apfinal_34 lon_apfinal_34 z_apfinal_34...
1054 lat_apfinal_16_s1 lon_apfinal_16_s1 z_apfinal_16_s1 lat_apfinal_16_s2...
1054 lon_apfinal_16_s2 z_apfinal_16_s2 lat_apfinal_34_s1 lon_apfinal_34_s1...
1056 z_apfinal_34_s1 lat_apfinal_34_s2 lon_apfinal_34_s2 z_apfinal_34_s2...
1056 xfaf_16_lnav_point_ll xfaf_34_lnav_point_ll lat_apintermedia_34...
1058 lon_apintermedia_34 z_apintermedia_34 lat_apintermedia_34_s1...
1058 lon_apintermedia_34_s1 z_apintermedia_34_s1 lat_apintermedia_34_s2...
1060 lon_apintermedia_34_s2 z_apintermedia_34_s2 lat_apintermedia_16...
1060 lon_apintermedia_16 z_apintermedia_16 lat_apintermedia_16_s1...
1062 lon_apintermedia_16_s1 z_apintermedia_16_s1 lat_apintermedia_16_s2...
1062 lon_apintermedia_16_s2 z_apintermedia_16_s2 lat_apinicial_34...
1064 lon_apinicial_34 z_apinicial_34 lat_apinicial_34_s1...
1064 lon_apinicial_34_s1 z_apinicial_34_s1 lat_apinicial_34_s2...
1066 lon_apinicial_34_s2 z_apinicial_34_s2 lat_apinicial_16...
1066 lon_apinicial_16 z_apinicial_16 lat_apinicial_16_s1...
1068 lon_apinicial_16_s1 z_apinicial_16_s1 lat_apinicial_16_s2...
1068 lon_apinicial_16_s2 z_apinicial_16_s2 xmpt_16_lnav_point_ll...
1070 xmpt_34_lnav_point_ll lat_apfrustrada_16 lon_apfrustrada_16...
1070 z_apfrustrada_16 lat_apfrustrada_16_s1 lon_apfrustrada_16_s1...
1072 z_apfrustrada_16_s1 lat_apfrustrada_16_s2 lon_apfrustrada_16_s2...
1072 z_apfrustrada_16_s2 xsoc_16_lnav_point_ll z_apfrustrada_34_s2...
1074 lat_apfrustrada_34_s2 lon_apfrustrada_34_s2 lon_apfrustrada_34_s1...
1074 lat_apfrustrada_34_s1 z_apfrustrada_34_s1 z_apfrustrada_34...
1076 lat_apfrustrada_34 lon_apfrustrada_34 xsoc_34_lnav_point_ll...
1076 xif_34_lnav_point_ll xif_16_lnav_point_ll xiaf_34_lnav_point_ll...
1078 xiaf_16_lnav_point_ll lat_apfrustrada_16_i lon_apfrustrada_16_i...
1078 z_apfrustrada_16_i lat_apfrustrada_16_s1_i lon_apfrustrada_16_s1_i...
1080 z_apfrustrada_16_s1_i lat_apfrustrada_16_s2_i lon_apfrustrada_16_s2_i...
1080 z_apfrustrada_16_s2_i lat_apfrustrada_34_i lon_apfrustrada_34_i...
1082 z_apfrustrada_34_i lat_apfrustrada_34_s1_i lon_apfrustrada_34_s1_i...
1082 z_apfrustrada_34_s1_i lat_apfrustrada_34_s2_i lon_apfrustrada_34_s2_i...
1084 z_apfrustrada_34_s2_i lat_apfrustrada_34_s2_f lon_apfrustrada_34_s2_f...
1084 z_apfrustrada_34_s2_f lat_apfrustrada_34_s1_f lon_apfrustrada_34_s1_f...
1086 z_apfrustrada_34_s1_f lat_apfrustrada_34_f lon_apfrustrada_34_f...
1086 z_apfrustrada_34_f lat_apfrustrada_16_s2_f lon_apfrustrada_16_s2_f...
1088 z_apfrustrada_16_s2_f lat_apfrustrada_16_s1_f lon_apfrustrada_16_s1_f...
1088 z_apfrustrada_16_s1_f lat_apfrustrada_16_f lon_apfrustrada_16_f...
1090 z_apfrustrada_16_f arco_peq_16 arco_grande_16 arco_peq_34 arco_grande_34...
1090 arco_grande_34 arco_peq_34 arco_peq_16 arco_grande_16

```

Script 6: circuito_derrotaprescrita_vpt.m

```

%% circuito_derrotaprescrita_vpt
2 % En este script se realizan los cálculos necesarios para la representación
% de la aproximación RNP-VPT.
4 % Los datos de entrada son las características del los circuitos VPT
% previamente calculadas para el tipo de aeronave a estudio así como los
6 % datos de la pista, vectores y NDB HIE.

8 % Se representa el procedimiento VPT para ambas cabeceras conjuntamente con
% el área secundaria W. Posteriormente se calculan los tramos RNP formando
10 % los distintos polígonos necesarios. La construcción comienza desde el
% área final hasta la inicial referenciando los puntos a el área precedente
12 % en el orden descrito. Los puntos de referencia de la aproximación se
% guardan de forma conjunta una vez obtenidas las superficies.
14 % El viraje se ha representado mediante los arcos y áreas circulares
% calculadas para el método de arcos de círculo del Doc.8168.
16 % La confluencia de tramos se realiza creando una nueva "área intermedia" (llamada
% reconstrucción) la cual comprende el tramo completo de adaptación entre
18 % tramos.
% Finalmente guardan los datos obtenidos para su representación en
20 % 'plot_general.m'

22 clc; close all; clear all;

24 %% Datos
% Definicion puntos básicos aeropuerto, moc, ndb.

26 % NDB
28 ndb_pos_ll = [convert_longitude("0175311.0W"), convert_latitude("274858.2N"), 30]; % lon,
% lat, alt
ndb_pos_utm = [ll2utm(ndb_pos_ll(2),ndb_pos_ll(1)), 30]; % x, y, alt
30 % PISTA
cab16_ll = [convert_longitude("0175323.91W"), convert_latitude("274911.46N"), 21.63]; %
lon, lat, alt
cab34_ll = [convert_longitude("0175302.89W"), convert_latitude("274835.43N"), 31.51]; %
lon, lat, alt
cab16_utm = [ll2utm(cab16_ll(2),cab16_ll(1)), 21.63]; % x, y, alt
34 cab34_utm = [ll2utm(cab34_ll(2),cab34_ll(1)), 31.51]; % x, y, alt
pendiente_vector_normal = -1/((cab34_utm(2)-cab16_utm(2))/(cab34_utm(1)-cab16_utm(1)));
angulo_normal = atand(pendiente_vector_normal);
vector_normal = [cosd(angulo_normal), sind(angulo_normal)];
38 pendiente_vector_pista = (cab34_utm(2)-cab16_utm(2))/(cab34_utm(1)-cab16_utm(1));
angulo_pista = atand(pendiente_vector_pista);
vector_pista = [cosd(angulo_pista), sind(angulo_pista)];

42 angulo_llegadas_tenerife = 228-180; %Angulo llegadas desde Tenerife Norte
vector_angulollegadas = [cosd(angulo_llegadas_tenerife), sind(angulo_llegadas_tenerife)];
44 largo_ndb = 40e3 ; %%DATO
vector_angulollegadas_normal = [cosd(angulo_llegadas_tenerife-90), sind(
angulo_llegadas_tenerife-90)];
46 vertices_ndb_line = [ndb_pos_utm(1:2) + largo_ndb * vector_angulollegadas, cab16_utm(3);
ndb_pos_utm(1:2) , cab16_utm(3);];
48
vertices_ndb_line_ll = [utm2ll(vertices_ndb_line(:,1),vertices_ndb_line(:,2),28),
vertices_ndb_line(:,3)];
50 moc_final = 75;
moc_intermedia = 150;
52 moc_inicial = 300;
moc_frustrada = 75;
54 moc_frustrada_int = 30;

56 %% Datos Circuito VPT
% Datos
58 OCA_inicial_16 = 233 ; %m

60 h_circuito = OCA_inicial_16;
r_circuito = 1.58e3;
62 r_areasec = 1500;

```

```

longitud_tramoinicial = 2083.3;
64 largo_pista = 1250 ; %m
sanchura_vpt = 1500; %m
66
% Representacion
68 phi1 = (angulo_normal:0.5:angulo_normal+180)';
phi2 = (angulo_normal:-0.5:angulo_normal-180)';
70
%% Circuito 16
72 c1_16utm = [cab16_utm(1:2) + r_circuito*vector_normal - longitud_tramoinicial*
    vector_pista + r_circuito*[cosd(phi1), sind(phi1)], h_circuito*ones(numel(phi1),1)];
c2_16utm = [cab34_utm(1:2) + r_circuito*vector_normal
    + r_circuito*[cosd(phi2), sind(phi2)], h_circuito*ones(numel(phi1),1)];
74
T1_16utm = [cab16_utm(1:2) - longitud_tramoinicial*vector_pista
    , h_circuito];
76 T2_16utm = [cab34_utm(1:2)
    , h_circuito];
T3_16utm = [cab16_utm(1:2) - longitud_tramoinicial*vector_pista + 2*r_circuito*
    vector_normal, h_circuito];
78 T4_16utm = [cab34_utm(1:2)
    + 2*r_circuito*
    vector_normal, h_circuito];
80
% plot3(c1_16utm(:,1),c1_16utm(:,2),c1_16utm(:,3),'r-','LineWidth',3); hold on;
% plot3(c2_16utm(:,1),c2_16utm(:,2),c2_16utm(:,3),'r-','LineWidth',3);
82 % plot3([T1_16utm(1),T2_16utm(1)],[T1_16utm(2),T2_16utm(2)],[T1_16utm(3),T2_16utm(3)],'r
    -','LineWidth',3);
% plot3([T3_16utm(1),T4_16utm(1)],[T3_16utm(2),T4_16utm(2)],[T3_16utm(3),T4_16utm(3)],'r
    -','LineWidth',3);
84
% Conversión a 11
86 c1_16ll1 = [utm211(c1_16utm(:,1),c1_16utm(:,2),28), c1_16utm(:,3)];
c2_16ll1 = [utm211(c2_16utm(:,1),c2_16utm(:,2),28), c2_16utm(:,3)];
88
T1_16ll1 = [utm211(T1_16utm(:,1),T1_16utm(:,2),28), T1_16utm(:,3)];
90 T2_16ll1 = [utm211(T2_16utm(:,1),T2_16utm(:,2),28), T2_16utm(:,3)];
T3_16ll1 = [utm211(T3_16utm(:,1),T3_16utm(:,2),28), T3_16utm(:,3)];
92 T4_16ll1 = [utm211(T4_16utm(:,1),T4_16utm(:,2),28), T4_16utm(:,3)];
94
% plot3(c1_16ll1(:,2),c1_16ll1(:,1),c1_16ll1(:,3),'r-','LineWidth',3); hold on;
% plot3(c2_16ll1(:,2),c2_16ll1(:,1),c2_16ll1(:,3),'r-','LineWidth',3);
96 % plot3([T1_16ll1(2),T2_16ll1(2)],[T1_16ll1(1),T2_16ll1(1)],[T1_16ll1(3),T2_16ll1(3)],'r-',
    'LineWidth',3);
% plot3([T3_16ll1(2),T4_16ll1(2)],[T3_16ll1(1),T4_16ll1(1)],[T3_16ll1(3),T4_16ll1(3)],'r-',
    'LineWidth',3);
98
%% Circuito 16 // SECUNDARIA W
100 c1_16utm_sec = [cab16_utm(1:2) + (r_circuito)*vector_normal - longitud_tramoinicial*
    vector_pista + (r_circuito+r_areasec)*[cosd(phi1), sind(phi1)], h_circuito*ones(numel
    (phi1),1)];
c2_16utm_sec = [cab34_utm(1:2) + (r_circuito)*vector_normal
    + (r_circuito+r_areasec)*[cosd(phi2), sind(phi2)], h_circuito*ones(numel(phi1)
    ,1)];
102
T1_16utm_sec = [cab16_utm(1:2) - longitud_tramoinicial*vector_pista - r_areasec*
    vector_normal , h_circuito];
104 T2_16utm_sec = [cab34_utm(1:2) - r_areasec*vector_normal
    , h_circuito];
T3_16utm_sec = [cab16_utm(1:2) - longitud_tramoinicial*vector_pista + (2*r_circuito+
    r_areasec)*vector_normal , h_circuito];
106 T4_16utm_sec = [cab34_utm(1:2)
    + (2*r_circuito +
    r_areasec)*vector_normal , h_circuito];
108
% plot3(c1_16utm_sec(:,1),c1_16utm_sec(:,2),c1_16utm_sec(:,3),'r:','LineWidth',3); hold
    on;
% plot3(c2_16utm_sec(:,1),c2_16utm_sec(:,2),c2_16utm_sec(:,3),'r:','LineWidth',3);
110 % plot3([T1_16utm_sec(1),T2_16utm_sec(1)],[T1_16utm_sec(2),T2_16utm_sec(2)],[T1_16utm_sec
    (3),T2_16utm_sec(3)],'r:','LineWidth',3);

```

```

% plot3([T3_16utm_sec(1),T4_16utm_sec(1)],[T3_16utm_sec(2),T4_16utm_sec(2)],[T3_16utm_sec
112   (3),T4_16utm_sec(3)],'r:','LineWidth',3);
% Conversión a 11
114 c1_16ll_sec = [utm211(c1_16utm_sec(:,1),c1_16utm_sec(:,2),28), c1_16utm_sec(:,3)];
c2_16ll_sec = [utm211(c2_16utm_sec(:,1),c2_16utm_sec(:,2),28), c2_16utm_sec(:,3)];
116 T1_16ll_sec = [utm211(T1_16utm_sec(:,1),T1_16utm_sec(:,2),28), T1_16utm_sec(:,3)];
118 T2_16ll_sec = [utm211(T2_16utm_sec(:,1),T2_16utm_sec(:,2),28), T2_16utm_sec(:,3)];
T3_16ll_sec = [utm211(T3_16utm_sec(:,1),T3_16utm_sec(:,2),28), T3_16utm_sec(:,3)];
120 T4_16ll_sec = [utm211(T4_16utm_sec(:,1),T4_16utm_sec(:,2),28), T4_16utm_sec(:,3)];

122 % plot3(c1_16ll_sec(:,2),c1_16ll_sec(:,1),c1_16ll_sec(:,3),'r:','LineWidth',3); hold on;
% plot3(c2_16ll_sec(:,2),c2_16ll_sec(:,1),c2_16ll_sec(:,3),'r:','LineWidth',3);
124 % plot3([T1_16ll_sec(2),T2_16ll_sec(2)],[T1_16ll_sec(1),T2_16ll_sec(1)],[T1_16ll_sec(3),
125   T2_16ll_sec(3)],'r:','LineWidth',3);
% plot3([T3_16ll_sec(2),T4_16ll_sec(2)],[T3_16ll_sec(1),T4_16ll_sec(1)],[T3_16ll_sec(3),
126   T4_16ll_sec(3)],'r:','LineWidth',3);

%% Circuito 34
128 c1_34utm = [cab16_utm(1:2) + r_circuito*vector_normal
+ r_circuito*[cosd(phi1), sind(phi1)], h_circuito*ones(numel(phi1),1)];
130 c2_34utm = [cab34_utm(1:2) + r_circuito*vector_normal + longitud_tramoinicial*
vector_pista + r_circuito*[cosd(phi2), sind(phi2)], h_circuito*ones(numel(phi1),1)];

132 T1_34utm = [cab16_utm(1:2)
, h_circuito];
T2_34utm = [cab34_utm(1:2) + longitud_tramoinicial*vector_pista
, h_circuito];
134 T3_34utm = [cab16_utm(1:2) + 2*r_circuito*
vector_normal, h_circuito];
T4_34utm = [cab34_utm(1:2) + longitud_tramoinicial*vector_pista + 2*r_circuito*
vector_normal, h_circuito];
136 % plot3(c1_34utm(:,1),c1_34utm(:,2),c1_34utm(:,3),'b-.','LineWidth',3); hold on;
138 % plot3(c2_34utm(:,1),c2_34utm(:,2),c2_34utm(:,3),'b-.','LineWidth',3);
% plot3([T1_34utm(1),T2_34utm(1)],[T1_34utm(2),T2_34utm(2)],[T1_34utm(3),T2_34utm(3)],'b
- .','LineWidth',3);
140 % plot3([T3_34utm(1),T4_34utm(1)],[T3_34utm(2),T4_34utm(2)],[T3_34utm(3),T4_34utm(3)],'b
- .','LineWidth',3);

142 % Conversión a 11
c1_34ll1 = [utm211(c1_34utm(:,1),c1_34utm(:,2),28), c1_34utm(:,3)];
c2_34ll1 = [utm211(c2_34utm(:,1),c2_34utm(:,2),28), c2_34utm(:,3)];
144 T1_34ll1 = [utm211(T1_34utm(:,1),T1_34utm(:,2),28), T1_34utm(:,3)];
T2_34ll1 = [utm211(T2_34utm(:,1),T2_34utm(:,2),28), T2_34utm(:,3)];
148 T3_34ll1 = [utm211(T3_34utm(:,1),T3_34utm(:,2),28), T3_34utm(:,3)];
T4_34ll1 = [utm211(T4_34utm(:,1),T4_34utm(:,2),28), T4_34utm(:,3)];
150 % plot3(c1_34ll1(:,2),c1_34ll1(:,1),c1_34ll1(:,3),'b-.','LineWidth',3); hold on;
152 % plot3(c2_34ll1(:,2),c2_34ll1(:,1),c2_34ll1(:,3),'b-.','LineWidth',3);
% plot3([T1_34ll1(2),T2_34ll1(2)],[T1_34ll1(1),T2_34ll1(1)],[T1_34ll1(3),T2_34ll1(3)],'b- .',
154 LineWidth',3);
% plot3([T3_34ll1(2),T4_34ll1(2)],[T3_34ll1(1),T4_34ll1(1)],[T3_34ll1(3),T4_34ll1(3)],'b- .',
156 LineWidth',3);

%% Circuito 34 // SECUNDARIA W
158 c1_34utm_sec = [cab16_utm(1:2) + r_circuito*vector_normal
+ (r_circuito+r_areasec)*[cosd(phi1), sind(phi1)], h_circuito*ones(numel(phi1),1)
];
c2_34utm_sec = [cab34_utm(1:2) + r_circuito*vector_normal + longitud_tramoinicial*
vector_pista + (r_circuito+r_areasec)*[cosd(phi2), sind(phi2)], h_circuito*ones(numel
(phi1),1)];
160 T1_34utm_sec = [cab16_utm(1:2) - r_areasec*vector_normal
,
```

```

    h_circuito];
162 T2_34utm_sec = [cab34_utm(1:2) + longitud_tramo inicial*vector_pista - r_areasec*
    vector_normal , h_circuito];
    T3_34utm_sec = [cab16_utm(1:2) + (2*r_circuito+
    r_areasec)*vector_normal , h_circuito];
164 T4_34utm_sec = [cab34_utm(1:2) + longitud_tramo inicial*vector_pista + (2*r_circuito+
    r_areasec)*vector_normal , h_circuito];

166 % plot3(c1_34utm_sec(:,1),c1_34utm_sec(:,2),c1_34utm_sec(:,3),'b:','LineWidth',3); hold
    on;
% plot3(c2_34utm_sec(:,1),c2_34utm_sec(:,2),c2_34utm_sec(:,3),'b:','LineWidth',3);
168 % plot3([T1_34utm_sec(1),T2_34utm_sec(1)],[T1_34utm_sec(2),T2_34utm_sec(2)],[T1_34utm_sec
    (3),T2_34utm_sec(3)],'b:','LineWidth',3);
% plot3([T3_34utm_sec(1),T4_34utm_sec(1)],[T3_34utm_sec(2),T4_34utm_sec(2)],[T3_34utm_sec
    (3),T4_34utm_sec(3)],'b:','LineWidth',3);
170 % Conversión a 11
172 c1_3411_sec = [utm211(c1_34utm_sec(:,1),c1_34utm_sec(:,2),28), c1_34utm_sec(:,3)];
c2_3411_sec = [utm211(c2_34utm_sec(:,1),c2_34utm_sec(:,2),28), c2_34utm_sec(:,3)];
174 T1_3411_sec = [utm211(T1_34utm_sec(:,1),T1_34utm_sec(:,2),28), T1_34utm_sec(:,3)];
176 T2_3411_sec = [utm211(T2_34utm_sec(:,1),T2_34utm_sec(:,2),28), T2_34utm_sec(:,3)];
T3_3411_sec = [utm211(T3_34utm_sec(:,1),T3_34utm_sec(:,2),28), T3_34utm_sec(:,3)];
178 T4_3411_sec = [utm211(T4_34utm_sec(:,1),T4_34utm_sec(:,2),28), T4_34utm_sec(:,3)];

180 % plot3(c1_3411_sec(:,2),c1_3411_sec(:,1),c1_3411_sec(:,3),'b:','LineWidth',3); hold on;
% plot3(c2_3411_sec(:,2),c2_3411_sec(:,1),c2_3411_sec(:,3),'b:','LineWidth',3);
182 % plot3([T1_3411_sec(2),T2_3411_sec(2)],[T1_3411_sec(1),T2_3411_sec(1)],[T1_3411_sec(3),
    T2_3411_sec(3)],'b:','LineWidth',3);
% plot3([T3_3411_sec(2),T4_3411_sec(2)],[T3_3411_sec(1),T4_3411_sec(1)],[T3_3411_sec(3),
    T4_3411_sec(3)],'b:','LineWidth',3);
184 %% DATOS TRAMOS RNAV
186
188 %%Datos
189 % Anchura Areas
ini_sanchura = 4630; % Tabla III-1-2-13 (Doc.8168) (FAF)
190 fru_sanchura = 3704; % Tabla III-1-2-13 (Doc.8168) (<28 km del ARP)
mapt_sanchura = 1759; % Tabla III-1-2-13 (Doc.8168) (MAPt)
faf_sanchura = 2685; % Tabla III-1-2-13 (Doc.8168) (FAF)

194 % Pendientes
pend_inicial_16 = 3; %grados // optimo 5.2%
196 pend_inicial_34 = 4.2; %limitado por vss
pend_inicial_16 = 2.3; %optimo 4 Por la parte general 8162 vol2 I-4-3-3
198 pend_inicial_34 = 2.3;
pend_frustrada_int_16 = 1.4; %grados (2.5%)
200 pend_frustrada_int_34 = 1.4;

202 % Longitudes
final_largo = 9300; %m
204 intermedia_largo = 9300; %m
inicial_largo = 11100; %m por pag 714.
206 fru_inicial_largo = 9300;

208 % Pendiente
pend_final_vpt = 3; %grados // optimo 5.2%
210 pend_inicial_vpt = 2.3; %optimo 4 Por la parte general 8162 vol2 I-4-3-3

212

214 % Alturas
h_mapt = 263; %%PONER AQUI OCA/H DE CIRCUITO VISUAL
216 % x_mapt = (h_mapt)/tand(pend_inicial_vpt);
h_faf = tand(pend_final_vpt)*final_largo;
218 h_if = h_faf;
h_iaf = (tand(pend_inicial_vpt)*inicial_largo) + h_if;
220

```

```

222 %separación
223 x_sep_iaf = 25000; %m
224 x_sep_mapt = 5000; %m

226 %% ----TRAMOS RNP----
227 %% FINAL 34

230 % Vectores
231 vector_finalvpt_34 = [cosd(angulo_pista+45), sind(angulo_pista+45)];
232 vector_normal_finalvpt_34 = [cosd(angulo_normal+45), sind(angulo_normal+45)];

234 vertices_aprox_final34_vpt = [T2_34utm(1:2) + (x_sep_mapt) *
235     vector_finalvpt_34 + mapt_sanchura/2 * vector_normal_finalvpt_34, h_mapt ;
236     T2_34utm(1:2) + (x_sep_mapt) *
237     vector_finalvpt_34 - mapt_sanchura/2 * vector_normal_finalvpt_34, h_mapt ;
238     T2_34utm(1:2) + (final_largo + x_sep_mapt) *
239     vector_finalvpt_34 - mapt_sanchura/2 * vector_normal_finalvpt_34, h_faf;
240     T2_34utm(1:2) + (final_largo + x_sep_mapt) *
241     vector_finalvpt_34 + mapt_sanchura/2 * vector_normal_finalvpt_34, h_faf];

242 % Secundaria final 1
243 vertices_aprox_final_vpt34_s1 = [vertices_aprox_final34_vpt(4,1:2)
244     , h_faf;
245     vertices_aprox_final34_vpt(4,1:2) + mapt_sanchura/2 *
246     vector_normal_finalvpt_34 , h_faf + moc_final ;
247     vertices_aprox_final34_vpt(1,1:2) + mapt_sanchura/2 *
248     vector_normal_finalvpt_34 , h_mapt + moc_final;
249     vertices_aprox_final34_vpt(1,1:2)
250     , h_mapt ];

252 % Secundaria final 2
253 vertices_aprox_final_vpt34_s2 = [vertices_aprox_final34_vpt(2,1:2)
254     , h_mapt;
255     vertices_aprox_final34_vpt(2,1:2) - mapt_sanchura/2 *
256     vector_normal_finalvpt_34 , h_mapt + moc_final;
257     vertices_aprox_final34_vpt(3,1:2) - mapt_sanchura/2 *
258     vector_normal_finalvpt_34 , h_faf + moc_final;
259     vertices_aprox_final34_vpt(3,1:2)
260     , h_faf];

262 xfaf_34_rnp_point_utm = [(vertices_aprox_final34_vpt(3,1:2)+vertices_aprox_final34_vpt
263     (4,1:2))/2,h_faf];
264 xfaf_34_rnp_point_ll = [utm2ll(xfaf_34_rnp_point_utm(1),xfaf_34_rnp_point_utm(2),28),
265     xfaf_34_rnp_point_utm(3)];

266 xmapt_34_rnp_point_utm = [(vertices_aprox_final34_vpt(2,1:2)+vertices_aprox_final34_vpt
267     (1,1:2))/2,h_mapt];
268 xmapt_34_rnp_point_ll = [utm2ll(xmapt_34_rnp_point_utm(1),xmapt_34_rnp_point_utm(2),28),
269     xmapt_34_rnp_point_utm(3)];

272 figure;
273 hold on;
274 scatter3(xfaf_34_rnp_point_ll(2), xfaf_34_rnp_point_ll(1),xfaf_34_rnp_point_ll(3),40,"b
275     ","o","filled")
276 text(xfaf_34_rnp_point_ll(2)+0.005, xfaf_34_rnp_point_ll(1)+0.005,xfaf_34_rnp_point_ll(3)
277     +300,'FAF34 RNP','Color','b','FontSize',10)
278 scatter3(xmapt_34_rnp_point_ll(2), xmapt_34_rnp_point_ll(1),xmapt_34_rnp_point_ll(3),40,"b
279     ","o","filled")
280 text(xmapt_34_rnp_point_ll(2)+0.005, xmapt_34_rnp_point_ll(1)+0.005,xmapt_34_rnp_point_ll
281     (3)+300,'MAPT34 RNP','Color','b','FontSize',10)

284 %% INTERMEDIA 34
285 viraje_intermedia34 = 0; % 30 grados maximos viraje faf rnp
286 vector_intermediavpt_34 = [cosd(angulo_pista+45+viraje_intermedia34), sind(angulo_pista

```

```

    +45+viraje_intermedia34];
vector_normal_intermediavpt_34 = [cosd(angulo_normal+45+viraje_intermedia34), sind(
angulo_normal+45+viraje_intermedia34)];
270

272 vertices_aprox_intermedia34_vpt = [xfaf_34_rnp_point_utm(1:2) + (intermedia_largo) *
vector_intermediavpt_34 + ini_sanchura/2 * vector_normal_intermediavpt_34, h_if;
xfaf_34_rnp_point_utm(1:2) + (1) *
vector_intermediavpt_34 + ini_sanchura/2 * vector_normal_intermediavpt_34, h_faf ;
274 vector_intermediavpt_34 - ini_sanchura/2 * vector_normal_intermediavpt_34, h_faf ;
xfaf_34_rnp_point_utm(1:2) + (intermedia_largo) *
vector_intermediavpt_34 - ini_sanchura/2 * vector_normal_intermediavpt_34, h_if];
276

278 % Secundaria intermedia 1
280 vertices_aprox_intermedia_vpt34_s1 = [vertices_aprox_intermedia34_vpt(1,1:2), h_faf;
vertices_aprox_intermedia34_vpt(1,1:2)+ini_sanchura/2 * vector_normal_intermediavpt_34, h_faf + moc_intermedia;
282 vertices_aprox_intermedia34_vpt(2,1:2)+ini_sanchura/2 * vector_normal_intermediavpt_34, h_faf + moc_intermedia;
vertices_aprox_intermedia34_vpt(2,1:2), h_faf ];
284

286 % Secundaria intermedia 2
288 vertices_aprox_intermedia_vpt34_s2 = [vertices_aprox_intermedia34_vpt(3,1:2), h_faf;
vertices_aprox_intermedia34_vpt(3,1:2)-ini_sanchura/2 * vector_normal_intermediavpt_34, h_faf + moc_intermedia;
vertices_aprox_intermedia34_vpt(4,1:2)-ini_sanchura/2 * vector_normal_intermediavpt_34, h_faf + moc_intermedia;
vertices_aprox_intermedia34_vpt(4,1:2), h_faf];
290

292 % IF 34
xif_34_rnp_point_utm = [(vertices_aprox_intermedia34_vpt(4,1:2)+vertices_aprox_intermedia34_vpt(1,1:2))/2, h_if + moc_intermedia];
294 xif_34_rnp_point_ll = [utm2ll(xif_34_rnp_point_utm(1),xif_34_rnp_point_utm(2),28),
xif_34_rnp_point_utm(3)];

296 %% TRAMO TRANSICION 34

298 x_inter_trans = (ini_sanchura-faf_sanchura) / tand(30);
x_fin_trans = (faf_sanchura-mapt_sanchura) / tand(30);
300

302 % Superficie 1

pto_A_utm_s1 = [xfaf_34_rnp_point_utm(1:2) - x_fin_trans * vector_intermediavpt_34 +
mapt_sanchura * vector_normal_intermediavpt_34 ,0];
304 t = (pto_A_utm_s1(1)-vertices_aprox_final_vpt34_s1(3,1)) / (vertices_aprox_final_vpt34_s1
(2,1)-vertices_aprox_final_vpt34_s1(3,1));
h_A = vertices_aprox_final_vpt34_s1(3,3) + t * (vertices_aprox_final_vpt34_s1(2,3) -
vertices_aprox_final_vpt34_s1(3,3));
306 pto_A_utm_s1(3) = h_A;

308 pto_B_utm_s1 = [xfaf_34_rnp_point_utm(1:2) + x_inter_trans * vector_intermediavpt_34 +
ini_sanchura * vector_normal_intermediavpt_34 ,xfaf_34_rnp_point_utm(3)+moc_intermedia];
310 pto_C_utm_s1 = pto_B_utm_s1 - ini_sanchura/2 * [vector_normal_intermediavpt_34 ,0] -
[0,0,1] .* moc_intermedia;

pto_D_utm_s1 = pto_A_utm_s1 - mapt_sanchura/2 * [vector_normal_intermediavpt_34 ,0];
312 t = (pto_D_utm_s1(1)-vertices_aprox_final34_vpt(1,1)) / (vertices_aprox_final34_vpt(4,1)-
vertices_aprox_final34_vpt(1,1));
h_D = vertices_aprox_final34_vpt(1,3) + t * (vertices_aprox_final34_vpt(4,3) -
vertices_aprox_final34_vpt(1,3));
314 pto_D_utm_s1(3) = h_D;

316 vertices_transicion_final_utm_s1 = [pto_A_utm_s1;

```

```

318         pto_B_utm_s1;
319         pto_C_utm_s1;
320         pto_D_utm_s1];
321
320 x_coords_vpt = vertices_transicion_final_utm_s1(:, 1);
321 y_coords_vpt = vertices_transicion_final_utm_s1(:, 2);
322 z_coords_vpt = vertices_transicion_final_utm_s1(:, 3);
323
324 x_coords_vpt = [x_coords_vpt; x_coords_vpt(1)];
325 y_coords_vpt = [y_coords_vpt; y_coords_vpt(1)];
326 z_coords_vpt = [z_coords_vpt; z_coords_vpt(1)];
327
328 vertices_transicion_final_ll_s1 = [utm2ll(x_coords_vpt(:),y_coords_vpt(:),28),
329                                     z_coords_vpt(:)];
330 lat_transfinal_vpt34_ll_s1 = vertices_transicion_final_ll_s1(:,1);
331 lon_transfinal_vpt34_ll_s1 = vertices_transicion_final_ll_s1(:,2);
332 z_transfinal_vpt34_ll_s1 = vertices_transicion_final_ll_s1(:,3);
333
334 % Superficie 2 (definida a partir de la 1)
335
336 pto_A_utm_s2 = pto_A_utm_s1 - [vector_normal_intermediavpt_34,0] * mapt_sanchura*2;
337 pto_B_utm_s2 = pto_B_utm_s1 - [vector_normal_intermediavpt_34,0] * ini_sanchura*2;
338 pto_C_utm_s2 = pto_C_utm_s1 - [vector_normal_intermediavpt_34,0] * ini_sanchura;
339 pto_D_utm_s2 = pto_D_utm_s1 - [vector_normal_intermediavpt_34,0] * mapt_sanchura;
340
341 vertices_transicion_final_utm_s2 = [pto_A_utm_s2;
342                                         pto_B_utm_s2;
343                                         pto_C_utm_s2;
344                                         pto_D_utm_s2];
345
346 x_coords_vpt = vertices_transicion_final_utm_s2(:, 1);
347 y_coords_vpt = vertices_transicion_final_utm_s2(:, 2);
348 z_coords_vpt = vertices_transicion_final_utm_s2(:, 3);
349
350 x_coords_vpt = [x_coords_vpt; x_coords_vpt(1)];
351 y_coords_vpt = [y_coords_vpt; y_coords_vpt(1)];
352 z_coords_vpt = [z_coords_vpt; z_coords_vpt(1)];
353
354 vertices_transicion_final_ll_s2 = [utm2ll(x_coords_vpt(:),y_coords_vpt(:),28),
355                                     z_coords_vpt(:)];
356 lat_transfinal_vpt34_ll_s2 = vertices_transicion_final_ll_s2(:,1);
357 lon_transfinal_vpt34_ll_s2 = vertices_transicion_final_ll_s2(:,2);
358 z_transfinal_vpt34_ll_s2 = vertices_transicion_final_ll_s2(:,3);
359
360 % Primaria
361 vertices_transicion_final_utm = [pto_D_utm_s1;
362                                     pto_C_utm_s1;
363                                     pto_C_utm_s2;
364                                     pto_D_utm_s2];
365
365 x_coords_vpt = vertices_transicion_final_utm(:, 1);
366 y_coords_vpt = vertices_transicion_final_utm(:, 2);
367 z_coords_vpt = vertices_transicion_final_utm(:, 3);
368
368 x_coords_vpt = [x_coords_vpt; x_coords_vpt(1)];
369 y_coords_vpt = [y_coords_vpt; y_coords_vpt(1)];
370 z_coords_vpt = [z_coords_vpt; z_coords_vpt(1)];
371
372 vertices_transicion_final_ll = [utm2ll(x_coords_vpt(:),y_coords_vpt(:),28), z_coords_vpt
373                                 (:)];
374 lat_transfinal_vpt34 = vertices_transicion_final_ll(:,1);
375 lon_transfinal_vpt34 = vertices_transicion_final_ll(:,2);
376 z_transfinal_vpt34 = vertices_transicion_final_ll(:,3);
377
378 %% Reconstrucción intermedia 34
379 vertices_aprox_intermedia34_vpt = [vertices_aprox_intermedia34_vpt(1,:) - [
380                                         vector_intermediavpt_34,0]*ini_sanchura/2;
381                                         vertices_aprox_intermedia34_vpt(2,:)] + [

```

```

    vector_intermediavpt_34,0]*x_inter_trans;
    vertices_aprox_intermedia34_vpt(3,:) + [
382    vector_intermediavpt_34,0]*x_inter_trans;
    vertices_aprox_intermedia34_vpt(4,:)
    xif_34_rnp_point_utm(1:2) , h_if];
384

386 x_coords_vpt = vertices_aprox_intermedia34_vpt(:, 1);
y_coords_vpt = vertices_aprox_intermedia34_vpt(:, 2);
388 z_coords_vpt = vertices_aprox_intermedia34_vpt(:, 3);

390 x_coords_vpt = [x_coords_vpt; x_coords_vpt(1)];
y_coords_vpt = [y_coords_vpt; y_coords_vpt(1)];
392 z_coords_vpt = [z_coords_vpt; z_coords_vpt(1)];

394 vertices_ap_intermedia34_vpt = [utm211(x_coords_vpt(:),y_coords_vpt(:),28), z_coords_vpt
    (:)];
lat_apintermedia_vpt34 = vertices_ap_intermedia34_vpt(:,1);
396 lon_apintermedia_vpt34 = vertices_ap_intermedia34_vpt(:,2);
z_apintermedia_vpt34 = vertices_ap_intermedia34_vpt(:,3);
398

400 % Secundaria intermedia 1
vertices_aprox_intermedia_vpt34_s1 = [vertices_aprox_intermedia34_vpt(1,1:2), h_faf;
402                                vertices_aprox_intermedia34_vpt(1,1:2)+*
    ini_sanchura/2 * vector_normal_intermediavpt_34 - vector_intermediavpt_34*
    ini_sanchura/2, h_if + moc_inicial;
                                vertices_aprox_intermedia34_vpt(2,1:2)+*
    ini_sanchura/2 * vector_normal_intermediavpt_34, h_faf + moc_intermedia;
                                vertices_aprox_intermedia34_vpt(2,1:2), h_faf ];

406 x_coords_vpt = vertices_aprox_intermedia_vpt34_s1(:, 1);
y_coords_vpt = vertices_aprox_intermedia_vpt34_s1(:, 2);
408 z_coords_vpt = vertices_aprox_intermedia_vpt34_s1(:, 3);

410 x_coords_vpt = [x_coords_vpt; x_coords_vpt(1)];
y_coords_vpt = [y_coords_vpt; y_coords_vpt(1)];
412 z_coords_vpt = [z_coords_vpt; z_coords_vpt(1)];

414 vertices_ap_intermedia_vpt34_s1 = [utm211(x_coords_vpt(:),y_coords_vpt(:),28),
    z_coords_vpt(:)];
lat_apintermedia_vpt34_s1 = vertices_ap_intermedia_vpt34_s1(:,1);
416 lon_apintermedia_vpt34_s1 = vertices_ap_intermedia_vpt34_s1(:,2);
z_apintermedia_vpt34_s1 = vertices_ap_intermedia_vpt34_s1(:,3);
418

420 % Secundaria intermedia 2
vertices_aprox_intermedia_vpt34_s2 = [vertices_aprox_intermedia34_vpt(3,1:2), h_faf;
422                                vertices_aprox_intermedia34_vpt(3,1:2)- ini_sanchura/2 *
    vector_normal_intermediavpt_34, h_faf + moc_intermedia;
                                vertices_aprox_intermedia34_vpt(4,1:2)- ini_sanchura/2 *
    vector_normal_intermediavpt_34, h_faf + moc_intermedia;
                                vertices_aprox_intermedia34_vpt(4,1:2), h_faf];

426 x_coords_vpt = vertices_aprox_intermedia_vpt34_s2(:, 1);
y_coords_vpt = vertices_aprox_intermedia_vpt34_s2(:, 2);
428 z_coords_vpt = vertices_aprox_intermedia_vpt34_s2(:, 3);

430 x_coords_vpt = [x_coords_vpt; x_coords_vpt(1)];
y_coords_vpt = [y_coords_vpt; y_coords_vpt(1)];
432 z_coords_vpt = [z_coords_vpt; z_coords_vpt(1)];

434 vertices_ap_intermedia_vpt34_s2 = [utm211(x_coords_vpt(:),y_coords_vpt(:),28),
    z_coords_vpt(:)];
lat_apintermedia_vpt34_s2 = vertices_ap_intermedia_vpt34_s2(:,1);
436 lon_apintermedia_vpt34_s2 = vertices_ap_intermedia_vpt34_s2(:,2);
z_apintermedia_vpt34_s2 = vertices_ap_intermedia_vpt34_s2(:,3);
438
```

```

440 %% Reconstrucción final 34
441 vertices_aprox_final34_vpt = [vertices_aprox_final34_vpt(1,:);
442                                     pto_D_utm_s1;
443                                     pto_D_utm_s2;
444                                     vertices_aprox_final34_vpt(2,:)];
445
446 x_coords_vpt = vertices_aprox_final34_vpt(:, 1);
447 y_coords_vpt = vertices_aprox_final34_vpt(:, 2);
448 z_coords_vpt = vertices_aprox_final34_vpt(:, 3);
449
450 x_coords_vpt = [x_coords_vpt; x_coords_vpt(1)];
451 y_coords_vpt = [y_coords_vpt; y_coords_vpt(1)];
452 z_coords_vpt = [z_coords_vpt; z_coords_vpt(1)];
453
454 vertices_ap_final34_vpt = [utm211(x_coords_vpt(:),y_coords_vpt(:,28), z_coords_vpt(:));
455 lat_apfinal_vpt34 = vertices_ap_final34_vpt(:,1);
456 lon_apfinal_vpt34 = vertices_ap_final34_vpt(:,2);
457 z_apfinal_vpt34 = vertices_ap_final34_vpt(:,3);
458
459 % Secundaria final 1
460 vertices_aprox_final_vpt34_s1 = [vertices_aprox_final_vpt34_s1(3,:);
461                                     pto_A_utm_s1;
462                                     pto_D_utm_s1;
463                                     vertices_aprox_final_vpt34_s1(4,:)];
464
465 x_coords_vpt = vertices_aprox_final_vpt34_s1(:, 1);
466 y_coords_vpt = vertices_aprox_final_vpt34_s1(:, 2);
467 z_coords_vpt = vertices_aprox_final_vpt34_s1(:, 3);
468
469 x_coords_vpt = [x_coords_vpt; x_coords_vpt(1)];
470 y_coords_vpt = [y_coords_vpt; y_coords_vpt(1)];
471 z_coords_vpt = [z_coords_vpt; z_coords_vpt(1)];
472
473 vertices_ap_final_vpt34_s1 = [utm211(x_coords_vpt(:),y_coords_vpt(:,28), z_coords_vpt(:))
474                               ];
475 lat_apfinal_vpt34_s1 = vertices_ap_final_vpt34_s1(:,1);
476 lon_apfinal_vpt34_s1 = vertices_ap_final_vpt34_s1(:,2);
477 z_apfinal_vpt34_s1 = vertices_ap_final_vpt34_s1(:,3);
478
479 % Secundaria final 2
480 vertices_aprox_final_vpt34_s2 = [vertices_aprox_final_vpt34_s2(1,:);
481                                     pto_D_utm_s2;
482                                     pto_A_utm_s2;
483                                     vertices_aprox_final_vpt34_s2(2,:)];
484
485 x_coords_vpt = vertices_aprox_final_vpt34_s2(:, 1);
486 y_coords_vpt = vertices_aprox_final_vpt34_s2(:, 2);
487 z_coords_vpt = vertices_aprox_final_vpt34_s2(:, 3);
488
489 x_coords_vpt = [x_coords_vpt; x_coords_vpt(1)];
490 y_coords_vpt = [y_coords_vpt; y_coords_vpt(1)];
491 z_coords_vpt = [z_coords_vpt; z_coords_vpt(1)];
492
493 vertices_ap_final_vpt34_s2 = [utm211(x_coords_vpt(:),y_coords_vpt(:,28), z_coords_vpt(:))
494                               ];
495 lat_apfinal_vpt34_s2 = vertices_ap_final_vpt34_s2(:,1);
496 lon_apfinal_vpt34_s2 = vertices_ap_final_vpt34_s2(:,2);
497 z_apfinal_vpt34_s2 = vertices_ap_final_vpt34_s2(:,3);
498
499 %% INICIAL 34
500
501 viraje_inicial34 = 90; % 90 grados máximos viraje inicial-intermedia rnp
502 vector_inicialvpt_34 = [cosd(angulo_pista+45+viraje_intermedia34+viraje_inicial34), sind(
503     angulo_pista+45+viraje_intermedia34+viraje_inicial34)];
```

```

504 vector_normal_inicialvpt_34 = [cosd(angulo_normal+45+viraje_intermedia34+viraje_inicial34
505     ), sind(angulo_normal+45+viraje_intermedia34+viraje_inicial34)];
506 vector_angulollegadas34 = [cosd(angulo_llegadas_tenerife), sind(angulo_llegadas_tenerife)
507     ];
508 vector_angulollegadas_normal34 = [cosd(angulo_llegadas_tenerife-90), sind(
509     angulo_llegadas_tenerife-90)];
510 vertices_aprox_inicial34_vpt = [xif_34_rnp_point_utm(1:2) + (inicial_largo ) *
511     vector_inicialvpt_34 + ini_sanchura/2 * vector_normal_inicialvpt_34, h_if ;
512     xif_34_rnp_point_utm(1:2) + (ini_sanchura/2) *
513     vector_inicialvpt_34 + ini_sanchura/2 * vector_normal_inicialvpt_34 , h_if ;
514     xif_34_rnp_point_utm(1:2) , h_if ; % punto central (if)
515     xif_34_rnp_point_utm(1:2) + (1) * vector_inicialvpt_34 -
516     ini_sanchura/2 * vector_normal_inicialvpt_34, h_if ;
517     xif_34_rnp_point_utm(1:2) + (inicial_largo ) *
518     vector_inicialvpt_34 - ini_sanchura/2 * vector_normal_inicialvpt_34, h_if ];
519 x_coords_vpt = vertices_aprox_inicial34_vpt(:, 1);
520 y_coords_vpt = vertices_aprox_inicial34_vpt(:, 2);
521 z_coords_vpt = vertices_aprox_inicial34_vpt(:, 3);
522 x_coords_vpt = [x_coords_vpt; x_coords_vpt(1)];
523 y_coords_vpt = [y_coords_vpt; y_coords_vpt(1)];
524 z_coords_vpt = [z_coords_vpt; z_coords_vpt(1)];
525 vertices_ap_inicial34_vpt = [utm211(x_coords_vpt(:,y_coords_vpt(:,28), z_coords_vpt(:)
526     );
527 lat_apinicial_vpt34 = vertices_ap_inicial34_vpt(:,1);
528 lon_apinicial_vpt34 = vertices_ap_inicial34_vpt(:,2);
529 z_apinicial_vpt34 = vertices_ap_inicial34_vpt(:,3);
530
531 % Secundaria inicial 1
532 vertices_aprox_inicial_vpt34_s1 = [vertices_aprox_inicial34_vpt(1,1:2), h_if;
533     vertices_aprox_inicial34_vpt(1,1:2)+ ini_sanchura/2 *
534     vector_normal_inicialvpt_34, h_if + moc_inicial;
535     vertices_aprox_inicial34_vpt(2,1:2)+ (ini_sanchura/2) *
536     vector_inicialvpt_34 + ini_sanchura/2 * vector_normal_inicialvpt_34, h_if +
537     moc_inicial;
538     vertices_aprox_inicial34_vpt(2,1:2) , h_if ];
539 x_coords_vpt = vertices_aprox_inicial_vpt34_s1(:, 1);
540 y_coords_vpt = vertices_aprox_inicial_vpt34_s1(:, 2);
541 z_coords_vpt = vertices_aprox_inicial_vpt34_s1(:, 3);
542 x_coords_vpt = [x_coords_vpt; x_coords_vpt(1)];
543 y_coords_vpt = [y_coords_vpt; y_coords_vpt(1)];
544 z_coords_vpt = [z_coords_vpt; z_coords_vpt(1)];
545 vertices_ap_inicial_vpt34_s1 = [utm211(x_coords_vpt(:,y_coords_vpt(:,28), z_coords_vpt(:)
546     );
547 lat_apinicial_vpt34_s1 = vertices_ap_inicial_vpt34_s1(:,1);
548 lon_apinicial_vpt34_s1 = vertices_ap_inicial_vpt34_s1(:,2);
549 z_apinicial_vpt34_s1 = vertices_ap_inicial_vpt34_s1(:,3);
550
551 % Secundaria inicial 2
552 vertices_aprox_inicial_vpt34_s2 = [vertices_aprox_inicial34_vpt(4,1:2), h_if;
553     vertices_aprox_inicial34_vpt(4,1:2)- ini_sanchura/2 *
554     vector_normal_inicialvpt_34, h_if + moc_inicial ;
555     vertices_aprox_inicial34_vpt(5,1:2)- ini_sanchura/2 *
556     vector_normal_inicialvpt_34, h_if + moc_inicial;
557     vertices_aprox_inicial34_vpt(5,1:2) , h_if ];
558 x_coords_vpt = vertices_aprox_inicial_vpt34_s2(:, 1);
559 y_coords_vpt = vertices_aprox_inicial_vpt34_s2(:, 2);
560 z_coords_vpt = vertices_aprox_inicial_vpt34_s2(:, 3);
561 x_coords_vpt = [x_coords_vpt; x_coords_vpt(1)];

```

```

558 y_coords_vpt = [y_coords_vpt; y_coords_vpt(1)];
559 z_coords_vpt = [z_coords_vpt; z_coords_vpt(1)];
560
561 vertices_ap_inicial_vpt34_s2 = [utm211(x_coords_vpt(:,),y_coords_vpt(:,),28), z_coords_vpt(:)];
562 lat_apinicial_vpt34_s2 = vertices_ap_inicial_vpt34_s2(:,1);
563 lon_apinicial_vpt34_s2 = vertices_ap_inicial_vpt34_s2(:,2);
564 z_apinicial_vpt34_s2 = vertices_ap_inicial_vpt34_s2(:,3);
565
566 patch(lon_apinicial_vpt34, lat_apinicial_vpt34, z_apinicial_vpt34, 'c', 'FaceAlpha', .7);
567 patch(lon_apinicial_vpt34_s1, lat_apinicial_vpt34_s1, z_apinicial_vpt34_s1, 'c', 'FaceAlpha', .3);
568 patch(lon_apinicial_vpt34_s2, lat_apinicial_vpt34_s2, z_apinicial_vpt34_s2, 'c', 'FaceAlpha', .3);
569
570 % IAF 34
571 xiaf_34_rnp_point_utm = [(vertices_aprox_inicial34_vpt(5,:)+vertices_aprox_inicial34_vpt(1,:))/2,h_iaf+2*moc_inicial];
572 xiaf_34_rnp_point_ll = [utm211(xiaf_34_rnp_point_utm(1),xiaf_34_rnp_point_utm(2),28),
573 xiaf_34_rnp_point_utm(3)];
574
575 %% ----- PISTA 16 -----
576 %% FINAL 16
577
578 vector_finalvpt_16 = [cosd(angulo_pista-45+180), sind(angulo_pista-45+180)];
579 vector_normal_finalvpt_16 = [cosd(angulo_normal-45+180), sind(angulo_normal-45+180)];
580
581 vertices_aprox_final16_vpt = [T1_16utm(1:2) + (final_largo + x_sep_mapt) *
582 vector_finalvpt_16 + mapt_sanchura/2 * vector_normal_finalvpt_16, h_faf;
583 T1_16utm(1:2) + (x_sep_mapt) * vector_finalvpt_16 + mapt_sanchura
584 /2 * vector_normal_finalvpt_16, h_mapt ;
585 T1_16utm(1:2) + (x_sep_mapt) * vector_finalvpt_16 - mapt_sanchura
586 /2 * vector_normal_finalvpt_16, h_mapt ;
587 T1_16utm(1:2) + (final_largo + x_sep_mapt) * vector_finalvpt_16 -
588 mapt_sanchura/2 * vector_normal_finalvpt_16, h_faf];
589
590 x_coords_vpt = vertices_aprox_final16_vpt(:, 1);
591 y_coords_vpt = vertices_aprox_final16_vpt(:, 2);
592 z_coords_vpt = vertices_aprox_final16_vpt(:, 3);
593
594 vertices_ap_final16_vpt = [utm211(x_coords_vpt(:,),y_coords_vpt(:,),28), z_coords_vpt(:)];
595 lat_apfinal_vpt16 = vertices_ap_final16_vpt(:,1);
596 lon_apfinal_vpt16 = vertices_ap_final16_vpt(:,2);
597 z_apfinal_vpt16 = vertices_ap_final16_vpt(:,3);
598
599
600 % Secundaria final 1
601 vertices_aprox_final_vpt16_s1 = [vertices_aprox_final16_vpt(1,1:2), h_faf;
602 vertices_aprox_final16_vpt(1,1:2)+ mapt_sanchura/2 *
603 vector_normal_finalvpt_16, h_faf + moc_final ;
604 vertices_aprox_final16_vpt(2,1:2)+ mapt_sanchura/2 *
605 vector_normal_finalvpt_16, h_mapt + moc_final;
606 vertices_aprox_final16_vpt(2,1:2), h_mapt ];
607
608 x_coords_vpt = vertices_aprox_final_vpt16_s1(:, 1);
609 y_coords_vpt = vertices_aprox_final_vpt16_s1(:, 2);
610 z_coords_vpt = vertices_aprox_final_vpt16_s1(:, 3);
611
612 x_coords_vpt = [x_coords_vpt; x_coords_vpt(1)];
613 y_coords_vpt = [y_coords_vpt; y_coords_vpt(1)];
614 z_coords_vpt = [z_coords_vpt; z_coords_vpt(1)];
615
616 vertices_ap_final_vpt16_s1 = [utm211(x_coords_vpt(:,),y_coords_vpt(:,),28), z_coords_vpt(:)]

```

```

    ];
lat_apfinal_vpt16_s1 = vertices_ap_final_vpt16_s1(:,1);
lon_apfinal_vpt16_s1 = vertices_ap_final_vpt16_s1(:,2);
z_apfinal_vpt16_s1 = vertices_ap_final_vpt16_s1(:,3);

% Secundaria final 2
vertices_aprox_final_vpt16_s2 = [vertices_aprox_final16_vpt(3,1:2), h_mapt;
                                    vertices_aprox_final16_vpt(3,1:2)- mapt_sanchura/2 *
                                    vector_normal_finalvpt_16, h_mapt + moc_final;
                                    vertices_aprox_final16_vpt(4,1:2)- mapt_sanchura/2 *
                                    vector_normal_finalvpt_16, h_faf + moc_final;
                                    vertices_aprox_final16_vpt(4,1:2), h_faf ];

x_coords_vpt = vertices_aprox_final_vpt16_s2(:, 1);
y_coords_vpt = vertices_aprox_final_vpt16_s2(:, 2);
z_coords_vpt = vertices_aprox_final_vpt16_s2(:, 3);

x_coords_vpt = [x_coords_vpt; x_coords_vpt(1)];
y_coords_vpt = [y_coords_vpt; y_coords_vpt(1)];
z_coords_vpt = [z_coords_vpt; z_coords_vpt(1)];

vertices_ap_final_vpt16_s2 = [utm211(x_coords_vpt(:),y_coords_vpt(:),28), z_coords_vpt(:)];
lat_apfinal_vpt16_s2 = vertices_ap_final_vpt16_s2(:,1);
lon_apfinal_vpt16_s2 = vertices_ap_final_vpt16_s2(:,2);
z_apfinal_vpt16_s2 = vertices_ap_final_vpt16_s2(:,3);

%% PUNTOS
% FAF 16
xfaf_16_rnp_point_utm = [(vertices_aprox_final16_vpt(4,1:2)+vertices_aprox_final16_vpt
                           (1,1:2))/2,h_faf];
xfaf_16_rnp_point_ll = [utm211(xfaf_16_rnp_point_utm(1),xfaf_16_rnp_point_utm(2),28),
                        xfaf_16_rnp_point_utm(3)];

% MAPT 16
xmapt_16_rnp_point_utm = [(vertices_aprox_final16_vpt(2,:)+vertices_aprox_final16_vpt
                           (3,:))/2,h_mapt];
xmapt_16_rnp_point_ll = [utm211(xmapt_16_rnp_point_utm(1),xmapt_16_rnp_point_utm(2),28),
                         xmapt_16_rnp_point_utm(3)];

hold on;
scatter3(xfaf_16_rnp_point_ll(2), xfaf_16_rnp_point_ll(1), xfaf_16_rnp_point_ll(3),40,"b
", "o", "filled")
text(xfaf_16_rnp_point_ll(2)+0.005, xfaf_16_rnp_point_ll(1)+0.005, xfaf_16_rnp_point_ll(3)
+300,'FAF16 RNP','Color','b','FontSize',10)
scatter3(xmapt_16_rnp_point_ll(2), xmapt_16_rnp_point_ll(1), xmapt_16_rnp_point_ll(3),40,"b
", "o", "filled")
text(xmapt_16_rnp_point_ll(2)+0.005, xmapt_16_rnp_point_ll(1)+0.005,xmapt_16_rnp_point_ll
(3)+300,'MAPT16 RNP','Color','b','FontSize',10)

scatter3(xfaf_16_rnp_point_utm(1), xfaf_16_rnp_point_utm(2), xfaf_16_rnp_point_utm(3),
40,"b","o","filled")
text(xfaf_16_rnp_point_utm(1)+0.005, xfaf_16_rnp_point_utm(2)+0.005, xfaf_16_rnp_point_utm
(3)+10,'FAF16 RNP','Color','b','FontSize',10)
scatter3(xmapt_16_rnp_point_utm(1), xmapt_16_rnp_point_utm(2), xmapt_16_rnp_point_utm(3),
40,"b","o","filled")
text(xmapt_16_rnp_point_utm(1)+0.005, xmapt_16_rnp_point_utm(2)+0.005,
xmapt_16_rnp_point_utm(3)+10,'MAPT16 RNP','Color','b','FontSize',10)

%% INTERMEDIA 16
viraje_intermedia16 =90; % 30 grados maximos viraje faf rnp
vector_intermediavpt_16 = [cosd(angulo_pista+45+viraje_intermedia16), sind(angulo_pista
+45+viraje_intermedia16)];
vector_normal_intermediavpt_16 = [cosd(angulo_normal+45+viraje_intermedia16), sind(
angulo_normal+45+viraje_intermedia16)];
vector_angulollegadas16 = [cosd(angulo_llegadas_tenerife), sind(angulo_llegadas_tenerife)
];

```

```

664 vector_angulollegadas_normal16 = [cosd(angulo_llegadas_tenerife-90), sind(
665   angulo_llegadas_tenerife-90)];
666 vertices_aprox_intermedia16_vpt = [xfaf_16_rnp_point_utm(1:2) + (intermedia_largo ) *
667   vector_intermediavpt_16 + ini_sanchura/2 * vector_normal_intermediavpt_16 , h_if;
668   xfaf_16_rnp_point_utm(1:2) + (1) * vector_intermediavpt_16 +
669   ini_sanchura/2 * vector_normal_intermediavpt_16 , h_faf ;
670   xfaf_16_rnp_point_utm(1:2) + (1) * vector_intermediavpt_16 -
671   ini_sanchura/2 * vector_normal_intermediavpt_16 , h_faf ;
672   xfaf_16_rnp_point_utm(1:2) + (intermedia_largo ) *
673   vector_intermediavpt_16 - ini_sanchura/2 * vector_normal_intermediavpt_16 , h_if];
674
675 x_coords_vpt = vertices_aprox_intermedia16_vpt(:, 1);
676 y_coords_vpt = vertices_aprox_intermedia16_vpt(:, 2);
677 z_coords_vpt = vertices_aprox_intermedia16_vpt(:, 3);
678
679 x_coords_vpt = [x_coords_vpt; x_coords_vpt(1)];
680 y_coords_vpt = [y_coords_vpt; y_coords_vpt(1)];
681 z_coords_vpt = [z_coords_vpt; z_coords_vpt(1)];
682
683 vertices_ap_intermedia16_vpt = [utm211(x_coords_vpt(:),y_coords_vpt(:,28), z_coords_vpt
684   (:));
685 lat_apintermedia_vpt16 = vertices_ap_intermedia16_vpt(:,1);
686 lon_apintermedia_vpt16 = vertices_ap_intermedia16_vpt(:,2);
687 z_apintermedia_vpt16 = vertices_ap_intermedia16_vpt(:,3);
688
689 % Secundaria intermedia 1
690 vertices_aprox_intermedia_vpt16_s1 = [vertices_aprox_intermedia16_vpt(1,1:2) , h_faf;
691   vertices_aprox_intermedia16_vpt(1,1:2)+ ini_sanchura/2 *
692   vector_normal_intermediavpt_16 , h_faf + moc_intermedia;
693   vertices_aprox_intermedia16_vpt(2,1:2)+ ini_sanchura/2 *
694   vector_normal_intermediavpt_16 , h_faf + moc_intermedia;
695   vertices_aprox_intermedia16_vpt(2,1:2) , h_faf ];
696
697 x_coords_vpt = vertices_aprox_intermedia_vpt16_s1(:, 1);
698 y_coords_vpt = vertices_aprox_intermedia_vpt16_s1(:, 2);
699 z_coords_vpt = vertices_aprox_intermedia_vpt16_s1(:, 3);
700
701 x_coords_vpt = [x_coords_vpt; x_coords_vpt(1)];
702 y_coords_vpt = [y_coords_vpt; y_coords_vpt(1)];
703 z_coords_vpt = [z_coords_vpt; z_coords_vpt(1)];
704
705 vertices_ap_intermedia_vpt16_s1 = [utm211(x_coords_vpt(:),y_coords_vpt(:,28),
706   z_coords_vpt:)];
707 lat_apintermedia_vpt16_s1 = vertices_ap_intermedia_vpt16_s1(:,1);
708 lon_apintermedia_vpt16_s1 = vertices_ap_intermedia_vpt16_s1(:,2);
709 z_apintermedia_vpt16_s1 = vertices_ap_intermedia_vpt16_s1(:,3);
710
711 % Secundaria intermedia 2
712 vertices_aprox_intermedia_vpt16_s2 = [vertices_aprox_intermedia16_vpt(3,1:2) , h_faf;
713   vertices_aprox_intermedia16_vpt(3,1:2)- ini_sanchura/2 *
714   vector_normal_intermediavpt_16 , h_faf + moc_intermedia;
715   vertices_aprox_intermedia16_vpt(4,1:2)- ini_sanchura/2 *
716   vector_normal_intermediavpt_16 , h_faf + moc_intermedia;
717   vertices_aprox_intermedia16_vpt(4,1:2) , h_faf];
718
719 x_coords_vpt = vertices_aprox_intermedia_vpt16_s2(:, 1);
720 y_coords_vpt = vertices_aprox_intermedia_vpt16_s2(:, 2);
721 z_coords_vpt = vertices_aprox_intermedia_vpt16_s2(:, 3);
722
723 x_coords_vpt = [x_coords_vpt; x_coords_vpt(1)];
724 y_coords_vpt = [y_coords_vpt; y_coords_vpt(1)];
725 z_coords_vpt = [z_coords_vpt; z_coords_vpt(1)];
726
727 vertices_ap_intermedia_vpt16_s2 = [utm211(x_coords_vpt(:),y_coords_vpt(:,28),
728   z_coords_vpt:)];
729 lat_apintermedia_vpt16_s2 = vertices_ap_intermedia_vpt16_s2(:,1);

```

```

720 lon_apintermedia_vpt16_s2 = vertices_ap_intermedia_vpt16_s2(:,2);
z_apintermedia_vpt16_s2 = vertices_ap_intermedia_vpt16_s2(:,3);
722
723 % IF 16
724 xif_16_rnp_point_utm = [(vertices_aprox_intermedia16_vpt(4,1:2) +
    vertices_aprox_intermedia16_vpt(1,1:2))/2,h_if+ moc_intermedia];
xif_16_rnp_point_ll = [utm2ll(xif_16_rnp_point_utm(1),xif_16_rnp_point_utm(2),28),
    xif_16_rnp_point_utm(3)];
725 %% TRAMO TRANSICION 16
726
727 x_inter_trans = (ini_sanchura-faf_sanchura) / tand(30);
x_fin_trans = (faf_sanchura-mapt_sanchura) / tand(30);
728
729 % Superficie 1
730
731 pto_A_utm_s1 = [xfaf_16_rnp_point_utm(1:2) - x_fin_trans * vector_intermediavpt_16 +
    mapt_sanchura * vector_normal_intermediavpt_16,0];
732 t = (pto_A_utm_s1(1)-vertices_aprox_final_vpt16_s1(3,1)) / (vertices_aprox_final_vpt16_s1
    (2,1)-vertices_aprox_final_vpt16_s1(3,1));
h_A = vertices_aprox_final_vpt16_s1(3,3) + t * (vertices_aprox_final_vpt16_s1(2,3) -
    vertices_aprox_final_vpt16_s1(3,3));
733 pto_A_utm_s1(3) = h_A;
734
735 pto_B_utm_s1 = [xfaf_16_rnp_point_utm(1:2) + x_inter_trans * vector_intermediavpt_16 +
    ini_sanchura * vector_normal_intermediavpt_16,xfaf_16_rnp_point_utm(3)+moc_intermedia
    ];
pto_C_utm_s1 = pto_B_utm_s1 - ini_sanchura/2 * [vector_normal_intermediavpt_16,0] -
    [0,0,1] .* moc_intermedia;
736
737 pto_D_utm_s1 = pto_A_utm_s1 - mapt_sanchura/2 * [vector_normal_intermediavpt_16,0];
738 t = (pto_D_utm_s1(1)-vertices_aprox_final16_vpt(2,1)) / (vertices_aprox_final16_vpt(1,1)-
    vertices_aprox_final16_vpt(2,1));
h_D = vertices_aprox_final16_vpt(2,3) + t * (vertices_aprox_final16_vpt(1,3) -
    vertices_aprox_final16_vpt(2,3));
739 pto_D_utm_s1(3) = h_D;
740
741 vertices_transicion_final_utm_s1 = [pto_A_utm_s1;
                                         pto_B_utm_s1;
                                         pto_C_utm_s1;
                                         pto_D_utm_s1];
742
743 x_coords_vpt = vertices_transicion_final_utm_s1(:, 1);
y_coords_vpt = vertices_transicion_final_utm_s1(:, 2);
z_coords_vpt = vertices_transicion_final_utm_s1(:, 3);
744
745 x_coords_vpt = [x_coords_vpt; x_coords_vpt(1)];
y_coords_vpt = [y_coords_vpt; y_coords_vpt(1)];
z_coords_vpt = [z_coords_vpt; z_coords_vpt(1)];
746
747 vertices_transicion_final_ll_s1 = [utm2ll(x_coords_vpt(:),y_coords_vpt(:),28),
    z_coords_vpt(:)];
748 lat_transfinal_vpt16_ll_s1 = vertices_transicion_final_ll_s1(:,1);
lon_transfinal_vpt16_ll_s1 = vertices_transicion_final_ll_s1(:,2);
749 z_transfinal_vpt16_ll_s1 = vertices_transicion_final_ll_s1(:,3);
750
751 % Superficie 2 (definida a partir de la 1)
752
753 pto_A_utm_s2 = pto_A_utm_s1 - [vector_normal_intermediavpt_16,0] * mapt_sanchura*2;
pto_B_utm_s2 = pto_B_utm_s1 - [vector_normal_intermediavpt_16,0] * ini_sanchura*2;
754 pto_C_utm_s2 = pto_C_utm_s1 - [vector_normal_intermediavpt_16,0] * ini_sanchura;
pto_D_utm_s2 = pto_D_utm_s1 - [vector_normal_intermediavpt_16,0] * mapt_sanchura;
755
756 vertices_transicion_final_utm_s2 = [pto_A_utm_s2;
                                         pto_B_utm_s2;
                                         pto_C_utm_s2;
                                         pto_D_utm_s2];
757
758 x_coords_vpt = vertices_transicion_final_utm_s2(:, 1);

```

```

778 y_coords_vpt = vertices_transicion_final_utm_s2(:, 2);
z_coords_vpt = vertices_transicion_final_utm_s2(:, 3);

780 x_coords_vpt = [x_coords_vpt; x_coords_vpt(1)];
y_coords_vpt = [y_coords_vpt; y_coords_vpt(1)];
z_coords_vpt = [z_coords_vpt; z_coords_vpt(1)];

784 vertices_transicion_final_ll_s2 = [utm2ll(x_coords_vpt(:),y_coords_vpt(:),28),
    z_coords_vpt(:)];
lat_transfinal_vpt16_ll_s2 = vertices_transicion_final_ll_s2(:,1);
lon_transfinal_vpt16_ll_s2 = vertices_transicion_final_ll_s2(:,2);
z_transfinal_vpt16_ll_s2 = vertices_transicion_final_ll_s2(:,3);

788

790 % Primaria
vertices_transicion_final_utm = [pto_D_utm_s1;
    pto_C_utm_s1;
    pto_C_utm_s2;
    pto_D_utm_s2];

796 x_coords_vpt = vertices_transicion_final_utm(:, 1);
y_coords_vpt = vertices_transicion_final_utm(:, 2);
z_coords_vpt = vertices_transicion_final_utm(:, 3);

800 x_coords_vpt = [x_coords_vpt; x_coords_vpt(1)];
y_coords_vpt = [y_coords_vpt; y_coords_vpt(1)];
z_coords_vpt = [z_coords_vpt; z_coords_vpt(1)];

804 vertices_transicion_final_ll = [utm2ll(x_coords_vpt(:),y_coords_vpt(:),28), z_coords_vpt
    (:)];
lat_transfinal_vpt16 = vertices_transicion_final_ll(:,1);
lon_transfinal_vpt16 = vertices_transicion_final_ll(:,2);
z_transfinal_vpt16 = vertices_transicion_final_ll(:,3);

808 %% Reconstrucción intermedia 16

810 h_tr_giro16 = tand(30)*ini_sanchura/2;
812 vertices_aprox_intermedia16_vpt = [xif_16_rnp_point_utm(1:2), h_if;
    vertices_aprox_intermedia16_vpt(1,:); vertices_aprox_intermedia16_vpt(2,:)+[
        vector_intermediavpt_16,0]*x_inter_trans;
    vertices_aprox_intermedia16_vpt(3,:)+[
        vector_intermediavpt_16,0]*x_inter_trans;
    vertices_aprox_intermedia16_vpt(4,:)-[
        vector_intermediavpt_16,0]*h_tr_giro16];

818 x_coords_vpt = vertices_aprox_intermedia16_vpt(:, 1);
820 y_coords_vpt = vertices_aprox_intermedia16_vpt(:, 2);
z_coords_vpt = vertices_aprox_intermedia16_vpt(:, 3);

822 x_coords_vpt = [x_coords_vpt; x_coords_vpt(1)];
y_coords_vpt = [y_coords_vpt; y_coords_vpt(1)];
z_coords_vpt = [z_coords_vpt; z_coords_vpt(1)];

826 vertices_ap_intermedia16_vpt = [utm2ll(x_coords_vpt(:),y_coords_vpt(:),28), z_coords_vpt
    (:)];
lat_apintermedia_vpt16 = vertices_ap_intermedia16_vpt(:,1);
lon_apintermedia_vpt16 = vertices_ap_intermedia16_vpt(:,2);
z_apintermedia_vpt16 = vertices_ap_intermedia16_vpt(:,3);

832 % Secundaria intermedia 1
834 vertices_aprox_intermedia_vpt16_s1 = [vertices_aprox_intermedia16_vpt(2,1:2), h_faf;
    vertices_aprox_intermedia16_vpt(2,1:2)+ini_sanchura/2 * vector_normal_intermediavpt_16, h_faf + moc_intermedia;
    vertices_aprox_intermedia16_vpt(3,1:2)+ini_sanchura/2 * vector_normal_intermediavpt_16, h_faf + moc_intermedia;
836

```

```

838                                vertices_aprox_intermedia16_vpt(3,1:2), h_faf ];
839
840 x_coords_vpt = vertices_aprox_intermedia_vpt16_s1(:, 1);
841 y_coords_vpt = vertices_aprox_intermedia_vpt16_s1(:, 2);
842 z_coords_vpt = vertices_aprox_intermedia_vpt16_s1(:, 3);
843
844 x_coords_vpt = [x_coords_vpt; x_coords_vpt(1)];
845 y_coords_vpt = [y_coords_vpt; y_coords_vpt(1)];
846 z_coords_vpt = [z_coords_vpt; z_coords_vpt(1)];
847
848 vertices_ap_intermedia_vpt16_s1 = [utm211(x_coords_vpt(:),y_coords_vpt(:),28),
849                                     z_coords_vpt(:)];
850 lat_apintermedia_vpt16_s1 = vertices_ap_intermedia_vpt16_s1(:,1);
851 lon_apintermedia_vpt16_s1 = vertices_ap_intermedia_vpt16_s1(:,2);
852 z_apintermedia_vpt16_s1 = vertices_ap_intermedia_vpt16_s1(:,3);

853
854 % Secundaria intermedia 2
855 vertices_aprox_intermedia_vpt16_s2 = [vertices_aprox_intermedia16_vpt(4,1:2), h_faf;
856                                         vertices_aprox_intermedia16_vpt(4,1:2)- ini_sanchura/2 *
857                                         vector_normal_intermediavpt_16 , h_faf + moc_intermedia;
858                                         vertices_aprox_intermedia16_vpt(5,1:2)- ini_sanchura/2 *
859                                         vector_normal_intermediavpt_16- vector_intermediavpt_16*h_tr_giro16, h_if +
860                                         moc_inicial;
861                                         vertices_aprox_intermedia16_vpt(5,1:2), h_faf];
862
863 x_coords_vpt = vertices_aprox_intermedia_vpt16_s2(:, 1);
864 y_coords_vpt = vertices_aprox_intermedia_vpt16_s2(:, 2);
865 z_coords_vpt = vertices_aprox_intermedia_vpt16_s2(:, 3);
866
867 x_coords_vpt = [x_coords_vpt; x_coords_vpt(1)];
868 y_coords_vpt = [y_coords_vpt; y_coords_vpt(1)];
869 z_coords_vpt = [z_coords_vpt; z_coords_vpt(1)];
870
871 vertices_ap_intermedia_vpt16_s2 = [utm211(x_coords_vpt(:),y_coords_vpt(:),28),
872                                     z_coords_vpt(:)];
873 lat_apintermedia_vpt16_s2 = vertices_ap_intermedia_vpt16_s2(:,1);
874 lon_apintermedia_vpt16_s2 = vertices_ap_intermedia_vpt16_s2(:,2);
875 z_apintermedia_vpt16_s2 = vertices_ap_intermedia_vpt16_s2(:,3);

876
877 %% Reconstrucción final 16
878 vertices_aprox_final16_vpt = [vertices_aprox_final16_vpt(2,:);
879                               pto_D_utm_s1;
880                               pto_D_utm_s2;
881                               vertices_aprox_final16_vpt(3,:)];
882
883 x_coords_vpt = vertices_aprox_final16_vpt(:, 1);
884 y_coords_vpt = vertices_aprox_final16_vpt(:, 2);
885 z_coords_vpt = vertices_aprox_final16_vpt(:, 3);
886
887 x_coords_vpt = [x_coords_vpt; x_coords_vpt(1)];
888 y_coords_vpt = [y_coords_vpt; y_coords_vpt(1)];
889 z_coords_vpt = [z_coords_vpt; z_coords_vpt(1)];
890
891 vertices_ap_final16_vpt = [utm211(x_coords_vpt(:),y_coords_vpt(:),28), z_coords_vpt(:)];
892 lat_apfinal_vpt16 = vertices_ap_final16_vpt(:,1);
893 lon_apfinal_vpt16 = vertices_ap_final16_vpt(:,2);
894 z_apfinal_vpt16 = vertices_ap_final16_vpt(:,3);

895
896 % Secundaria final 1
897 vertices_aprox_final_vpt16_s1 = [vertices_aprox_final_vpt16_s1(3,:);
898                                   pto_A_utm_s1;
899                                   pto_D_utm_s1;
900                                   vertices_aprox_final_vpt16_s1(4,:)];
901
902 x_coords_vpt = vertices_aprox_final_vpt16_s1(:, 1);
903 y_coords_vpt = vertices_aprox_final_vpt16_s1(:, 2);

```

```

900 z_coords_vpt = vertices_aprox_final_vpt16_s1(:, 3);
902 x_coords_vpt = [x_coords_vpt; x_coords_vpt(1)];
y_coords_vpt = [y_coords_vpt; y_coords_vpt(1)];
904 z_coords_vpt = [z_coords_vpt; z_coords_vpt(1)];
906 vertices_ap_final_vpt16_s1 = [utm211(x_coords_vpt(:),y_coords_vpt(:),28), z_coords_vpt(:)
];
908 lat_apfinal_vpt16_s1 = vertices_ap_final_vpt16_s1(:,1);
lon_apfinal_vpt16_s1 = vertices_ap_final_vpt16_s1(:,2);
910 z_apfinal_vpt16_s1 = vertices_ap_final_vpt16_s1(:,3);
912 % Secundaria final 2
912 vertices_aprox_final_vpt16_s2 = [vertices_aprox_final_vpt16_s2(1,:);
pto_D_utm_s2;
914 pto_A_utm_s2;
916 vertices_aprox_final_vpt16_s2];
918 x_coords_vpt = vertices_aprox_final_vpt16_s2(:, 1);
y_coords_vpt = vertices_aprox_final_vpt16_s2(:, 2);
z_coords_vpt = vertices_aprox_final_vpt16_s2(:, 3);
920
922 x_coords_vpt = [x_coords_vpt; x_coords_vpt(1)];
y_coords_vpt = [y_coords_vpt; y_coords_vpt(1)];
z_coords_vpt = [z_coords_vpt; z_coords_vpt(1)];
924 vertices_ap_final_vpt16_s2 = [utm211(x_coords_vpt(:),y_coords_vpt(:),28), z_coords_vpt(:)
];
926 lat_apfinal_vpt16_s2 = vertices_ap_final_vpt16_s2(:,1);
lon_apfinal_vpt16_s2 = vertices_ap_final_vpt16_s2(:,2);
928 z_apfinal_vpt16_s2 = vertices_ap_final_vpt16_s2(:,3);
930 %% INICIAL 16
932 viraje_inicial16 = -60; % 90 grados maximos viraje inicial-intermedia rnp
vector_inicialvpt_16_inicial = [cosd(angulo_pista+45++viraje_intermedia16+
viraje_inicial16), sind(angulo_pista+45+viraje_intermedia16+viraje_inicial16)];
934 vector_normal_inicialvpt_16 = [cosd(angulo_normal+45+viraje_intermedia16+viraje_inicial16
), sind(angulo_normal+45+viraje_intermedia16+viraje_inicial16)];
936 h_tr_giro16 = tand(30)*ini_sanchura/2;
938
940 vertices_aprox_inicial16_vpt = [xif_16_rnp_point_utm(1:2) + (inicial_largo ) *
vector_inicialvpt_16_inicial + ini_sanchura/2 * vector_normal_inicialvpt_16, h_if ;
942 xif_16_rnp_point_utm(1:2) + (1) * vector_inicialvpt_16_inicial +
ini_sanchura/2 * vector_normal_inicialvpt_16, h_if ;
xif_16_rnp_point_utm(1:2), h_if;
944 xif_16_rnp_point_utm(1:2) + (h_tr_giro16) *
vector_inicialvpt_16_inicial - ini_sanchura/2 * vector_normal_inicialvpt_16, h_if ;
xif_16_rnp_point_utm(1:2) + (inicial_largo ) *
vector_inicialvpt_16_inicial - ini_sanchura/2 * vector_normal_inicialvpt_16, h_if ];
946 x_coords_vpt = vertices_aprox_inicial16_vpt(:, 1);
y_coords_vpt = vertices_aprox_inicial16_vpt(:, 2);
948 z_coords_vpt = vertices_aprox_inicial16_vpt(:, 3);
950 x_coords_vpt = [x_coords_vpt; x_coords_vpt(1)];
y_coords_vpt = [y_coords_vpt; y_coords_vpt(1)];
952 z_coords_vpt = [z_coords_vpt; z_coords_vpt(1)];
954 vertices_ap_inicial16_vpt = [utm211(x_coords_vpt(:),y_coords_vpt(:),28), z_coords_vpt(:)
];
956 lat_apinicial_vpt16 = vertices_ap_inicial16_vpt(:,1);
lon_apinicial_vpt16 = vertices_ap_inicial16_vpt(:,2);
z_apinicial_vpt16 = vertices_ap_inicial16_vpt(:,3);
958

```

```

960 % Secundaria inicial 1
960 vertices_aprox_inicial_vpt16_s1 = [vertices_aprox_inicial16_vpt(1,1:2), h_iaf;
961                                     vertices_aprox_inicial16_vpt(1,1:2)+ ini_sanchura/2 *
962                                     vector_normal_inicialvpt_16, h_iaf + moc_inicial;
963                                     vertices_aprox_inicial16_vpt(2,1:2)+ ini_sanchura/2 *
964                                     vector_normal_inicialvpt_16, h_if + moc_inicial;
965                                     vertices_aprox_inicial16_vpt(2,1:2), h_if ];
966
966 x_coords_vpt = vertices_aprox_inicial_vpt16_s1(:, 1);
967 y_coords_vpt = vertices_aprox_inicial_vpt16_s1(:, 2);
968 z_coords_vpt = vertices_aprox_inicial_vpt16_s1(:, 3);
969
970 x_coords_vpt = [x_coords_vpt; x_coords_vpt(1)];
971 y_coords_vpt = [y_coords_vpt; y_coords_vpt(1)];
972 z_coords_vpt = [z_coords_vpt; z_coords_vpt(1)];
973
973 vertices_ap_inicial_vpt16_s1 = [utm211(x_coords_vpt(:),y_coords_vpt(:),28), z_coords_vpt
974 (:)];
974 lat_apinicial_vpt16_s1 = vertices_ap_inicial_vpt16_s1(:,1);
975 lon_apinicial_vpt16_s1 = vertices_ap_inicial_vpt16_s1(:,2);
976 z_apinicial_vpt16_s1 = vertices_ap_inicial_vpt16_s1(:,3);
977
978 % Secundaria inicial 2
978 vertices_aprox_inicial_vpt16_s2 = [vertices_aprox_inicial16_vpt(4,1:2), h_if;
979                                     vertices_aprox_inicial16_vpt(4,1:2)- ini_sanchura/2 *
980                                     vector_normal_inicialvpt_16 + h_tr_giro16 * vector_inicialvpt_16_inicial, h_if +
981                                     moc_inicial ;
982                                     vertices_aprox_inicial16_vpt(5,1:2)- ini_sanchura/2 *
983                                     vector_normal_inicialvpt_16 , h_iaf + moc_inicial;
984                                     vertices_aprox_inicial16_vpt(5,1:2), h_iaf ];
985
985 x_coords_vpt = vertices_aprox_inicial_vpt16_s2(:, 1);
986 y_coords_vpt = vertices_aprox_inicial_vpt16_s2(:, 2);
987 z_coords_vpt = vertices_aprox_inicial_vpt16_s2(:, 3);
988
988 x_coords_vpt = [x_coords_vpt; x_coords_vpt(1)];
989 y_coords_vpt = [y_coords_vpt; y_coords_vpt(1)];
990 z_coords_vpt = [z_coords_vpt; z_coords_vpt(1)];
991
991 vertices_ap_inicial_vpt16_s2 = [utm211(x_coords_vpt(:),y_coords_vpt(:),28), z_coords_vpt
992 (:)];
993 lat_apinicial_vpt16_s2 = vertices_ap_inicial_vpt16_s2(:,1);
994 lon_apinicial_vpt16_s2 = vertices_ap_inicial_vpt16_s2(:,2);
995 z_apinicial_vpt16_s2 = vertices_ap_inicial_vpt16_s2(:,3);
996
996 % IAF 16
996 xiaf_16_rnp_point_utm = [(vertices_aprox_inicial16_vpt(5,:)+vertices_aprox_inicial16_vpt
997 (1,:))/2,h_iaf+2*moc_inicial];
998 xiaf_16_rnp_point_ll = [utm211(xiaf_16_rnp_point_utm(1),xiaf_16_rnp_point_utm(2),28),
999 xiaf_16_rnp_point_utm(3)];
1000
1002 %% Area circular IF 16
1002 centro_16 = xif_16_rnp_point_utm;
1004
1004 phi = (angulo_pista+165:0.5:angulo_normal+135)';
1005 arco_pequeno_16 = centro_16 + [ini_sanchura/2 * [cosd(phi), sind(phi)], -moc_intermedia*
1006 ones(numel(phi),1)];
1007 alturas_arco_grande_16 = moc_intermedia+(moc_intermedia-moc_inicial)/(phi(end)-phi(1))*(
1008 phi-phi(1));
1009 arco_grande_16 = centro_16 + [ini_sanchura * [cosd(phi), sind(phi)],
1010 alturas_arco_grande_16];
1011
1011 arco_pequeno_16_ll = [utm211(arco_pequeno_16(:,1),arco_pequeno_16(:,2),28),
1012 arco_pequeno_16(:,3)];
1010 arco_grande_16_ll = [utm211(arco_grande_16(:,1),arco_grande_16(:,2),28),arco_grande_16
1011(:,3)];
1012 hold on;

```

```

1014 % arco pequeño 16
1015 arco_peqrnp_16 = [xif_16_rnp_point_ll-[0,0,moc_intermedia];arco_pequeno_16_ll;
1016     xif_16_rnp_point_ll-[0,0,moc_intermedia]];
1017 patch(arco_peqrnp_16(:,2), arco_peqrnp_16(:,1), arco_peqrnp_16(:,3), 'c', 'FaceAlpha',
1018 .7);
1019
1020 % arco grande 16
1021 aux = [(1:numel(arco_pequeno_16_ll(:,1)))',arco_pequeno_16_ll];
1022 aux = sortrows(aux,1,'descend');
1023 aux(:,1) = [];
1024 arco_grandernp_16 = [arco_grande_16_ll;aux;arco_grande_16_ll(1,:)];
1025 aux = [arco_grande_16_ll;sortrows(arco_pequeno_16_ll,1,'ascend');arco_grande_16_ll(1,:)];
1026 patch(arco_grandernp_16(:,2), arco_grandernp_16(:,1), arco_grandernp_16(:,3), 'c',
1027 'FaceAlpha', .3);
1028
1029 %% Area circular IF 34
1030 centro_34 = xif_34_rnp_point_utm;
1031
1032 phi = (angulo_pista+225:-0.5:angulo_normal+45)';
1033 arco_pequeno_34 = centro_34 + [-ini_sanchura/2 * [cosd(phi), sind(phi)], -moc_intermedia*
1034     ones(numel(phi),1)];
1035 alturas_arco_grande_34 = moc_intermedia+(moc_intermedia-moc_inicial)/(phi(end)-phi(1))*(phi-
1036     phi(1));
1037 arco_grande_34 = centro_34 + [-ini_sanchura * [cosd(phi), sind(phi)],
1038     alturas_arco_grande_34];
1039
1040 arco_pequeno_34_ll = [utm2ll(arco_pequeno_34(:,1),arco_pequeno_34(:,2),28),
1041     arco_pequeno_34(:,3)];
1042 arco_grande_34_ll = [utm2ll(arco_grande_34(:,1),arco_grande_34(:,2),28),arco_grande_34
1043     (:,3)];
1044
1045 % arco pequeño 34
1046 arco_peqrnp_34 = [xif_34_rnp_point_ll-[0,0,moc_intermedia];arco_pequeno_34_ll;
1047     xif_34_rnp_point_ll-[0,0,moc_intermedia]];
1048 patch(arco_peqrnp_34(:,2), arco_peqrnp_34(:,1), arco_peqrnp_34(:,3), 'c', 'FaceAlpha',
1049 .7);
1050
1051 % arco grande 34
1052 aux = [(1:numel(arco_pequeno_34_ll(:,1)))',arco_pequeno_34_ll];
1053 aux = sortrows(aux,1,'descend');
1054 aux(:,1) = [];
1055 arco_grandernp_34 = [arco_grande_34_ll;aux;arco_grande_34_ll(1,:)];
1056 patch(arco_grandernp_34(:,2), arco_grandernp_34(:,1), arco_grandernp_34(:,3), 'c',
1057     'FaceAlpha', .3);
1058
1059 %% SAVE DATOS
1060 save vpt_datos.mat vertices_ndb_line_ll
1061 save circuito_vpt.mat c1_1611 c2_1611 T1_1611 T2_1611 T3_1611 T4_1611...
1062     c1_3411 c2_3411 T1_3411 T2_3411 T3_3411 T4_3411 lat_apinicial_vpt34
1063     lon_apinicial_vpt34...
1064     z_apinicial_vpt34 lat_apinicial_vpt34_s1 lon_apinicial_vpt34_s1 z_apinicial_vpt34_s1
1065     ...
1066     lat_apinicial_vpt34_s2 lon_apinicial_vpt34_s2 z_apinicial_vpt34_s2...
1067     lat_apinicial_vpt16_s2 lon_apinicial_vpt16_s2 z_apinicial_vpt16_s2...
1068     z_apinicial_vpt16 lat_apinicial_vpt16_s1 lon_apinicial_vpt16_s1 z_apinicial_vpt16_s1
1069     lat_apinicial_vpt16 lon_apinicial_vpt16...
1070     z_apfinal_vpt34 lat_apfinal_vpt34 lon_apfinal_vpt34...
1071     z_apfinal_vpt34_s1 lat_apfinal_vpt34_s1 lon_apfinal_vpt34_s1...
1072     z_apfinal_vpt34_s2 lat_apfinal_vpt34_s2 lon_apfinal_vpt34_s2...
1073     z_apintermedia_vpt34 lat_apintermedia_vpt34 lon_apintermedia_vpt34...
1074     z_apintermedia_vpt34_s1 lat_apintermedia_vpt34_s1 lon_apintermedia_vpt34_s1...
1075     z_apintermedia_vpt34_s2 lat_apintermedia_vpt34_s2 lon_apintermedia_vpt34_s2
1076     xfaf_34_rnp_point_ll...
1077     xif_34_rnp_point_ll xiaf_34_rnp_point_ll xmapt_34_rnp_point_ll...
1078     z_apfinal_vpt16 lat_apfinal_vpt16 lon_apfinal_vpt16...
1079     z_apfinal_vpt16_s1 lat_apfinal_vpt16_s1 lon_apfinal_vpt16_s1...
1080     z_apfinal_vpt16_s2 lat_apfinal_vpt16_s2 lon_apfinal_vpt16_s2...

```

```
1066 z_apintermedia_vpt16 lon_apintermedia_vpt16 lat_apintermedia_vpt16...
1068 z_apintermedia_vpt16_s1 lon_apintermedia_vpt16_s1 lat_apintermedia_vpt16_s1...
1069 z_apintermedia_vpt16_s2 lon_apintermedia_vpt16_s2 lat_apintermedia_vpt16_s2...
1070 z_apinicial_vpt16 lat_apinicial_vpt16 lon_apinicial_vpt16...
1071 z_apinicial_vpt16_s1 lat_apinicial_vpt16_s1 lon_apinicial_vpt16_s1...
1072 z_apinicial_vpt16_s2 lat_apinicial_vpt16_s2 lon_apinicial_vpt16_s2...
1073 xiaf_16_rnp_point_ll xif_16_rnp_point_ll xmapt_16_rnp_point_ll xfaf_16_rnp_point_ll
1074 ...
1075 arco_grandernp_34 arco_grandernp_16 arco_peqrnp_16 arco_peqrnp_34...
1076 lon_transfinal_vpt16 lat_transfinal_vpt16 z_transfinal_vpt16...
1077 lon_transfinal_vpt16_ll_s1 lat_transfinal_vpt16_ll_s1 z_transfinal_vpt16_ll_s1...
1078 lon_transfinal_vpt16_ll_s2 lat_transfinal_vpt16_ll_s2 z_transfinal_vpt16_ll_s2...
1079 lon_transfinal_vpt34 lat_transfinal_vpt34 z_transfinal_vpt34...
1080 lat_transfinal_vpt34_ll_s1 lon_transfinal_vpt34_ll_s1 z_transfinal_vpt34_ll_s1...
1081 lat_transfinal_vpt34_ll_s2 lon_transfinal_vpt34_ll_s2 z_transfinal_vpt34_ll_s2...
1082 c1_16ll_sec c2_16ll_sec T1_16ll_sec T2_16ll_sec T3_16ll_sec T4_16ll_sec ...
1083 c1_34ll_sec c2_34ll_sec T1_34ll_sec T2_34ll_sec T3_34ll_sec T4_34ll_sec
```

Script 7: plot_general.m

```
1 %% Descripción
% Este script carga los datos obtenidos de los diferentes scripts de
3 % cálculo de las distintas aproximaciones: LPV, LNAV y
% RNP-VPT. En las distintas secciones se configura el raster,
5 % zooms y se activan las vistas de: pista, área de circuito visual, obstáculos,
% vss, tramos y puntos de la aproximación RNP-VPT, tramos aproximación LNAV, OAS APV-I y
7 % los puntos asociados a la aproximación LNAV.

9 % Algunas partes del script requieren de activación-desactivación manual
% comentando parte del script dependiendo de la visualización deseada
11 % reduciendo también así el tiempo de carga el cual puede ser elevado.

13 clear all; clc; close all;

15 %% PLOT RASTER Y CONFIGURACION
% Se carga la información del raster y se configuran los detalles de la
17 % vista.

19 load raster.mat

21 figure;
set(gcf, 'WindowState', 'maximized');
23 box on; grid minor; hold on;
surf(lon_raster,lat_raster,mask,'EdgeColor','none');
25 xlabel("Longitud [deg]");
ylabel("Latitud [deg]");
27 zlabel("Elevación [m]")
clim([min(min(mask)), max(max(mask))]);
29 view(90,90); % Vista personalizada
colormap('turbo');
31 daspect([1,1,0.25e5]) % Equivalencia grado-km en el ecuador 1° aprox 111 km

33 %% ZOOMS MANUALES
% En esta sección se configura el zoom deseado para la visualización. Se
35 % proponen algunos ejemplos utilizados en la memoria del proyecto.

37 % % Zoom VSS
% xlim([-17.95, -17.85]);
39 % ylim([27.7, 27.9]);
% zlim([5, 2000]);
41
% % Zoom VSS
43 % xlim([-17.95, -17.82]);
% ylim([27.73, 27.89]);
45 % zlim([5, 2000]);

47 % % Zoom AP FINALES y FRUSTRADA
% xlim([-18.05, -17.75]);
49 % ylim([27.655, 28.05]);
% zlim([5, 2000]);
51
% % Zoom APROX COMPLETA 16
53 % xlim([-18.05, -17.75]);
% ylim([27.655, 28.05]);
55 % zlim([5, 2000]);
%
57 % % Zoom OCAH LNAV 34
% xlim([-18, -17.84]);
59 % ylim([27.74, 27.9]);
% zlim([5, 2000]);
61
% % Zoom OCAH LNAV 16
63 % xlim([-18, -17.84]);
% ylim([27.74, 27.9]);
65 % zlim([5, 2000]);

67 % Zoom VPT
```

```

69 % xlim([-17.95, -17.8]);
70 % ylim([27.7, 27.9]);
71 % zlim([5, 2000]);
72
73 % % Zoom OCAH LNAV 16
74 % xlim([-18.05, -17.5]);
75 % ylim([27.65, 28.15]);
76 % zlim([5, 2000]);
77
78 %% PLOT PISTA
79 % Esta sección carga el archivo creado en 'pista.m' con la información para
80 % representar la pista sobre el raster.
81 load pista.mat
82
83 patch(lon_pista, lat_pista, z_pista, 'k');
84 plot3([cab16_ll(1),cab34_ll(1)],[cab16_ll(2),cab34_ll(2)],[cab16_ll(3),cab34_ll(3)],'w')
85
86 %% PLOT CIRCUITO VISUAL
87 % Carga los datos calculados del área de maniobra de circuito visual y
88 % representa sobre el raster.
89
90 load circuito_visual.mat
91
92 % scatter3(cab16_ll(1),cab16_ll(2),cab16_ll(3),50,'kx');
93 % scatter3(cab34_ll(1),cab34_ll(2),cab34_ll(3),50,'kx');
94 % plot3(c1_ll(:,2),c1_ll(:,1),c1_ll(:,3),'k','LineWidth',2);
95 % plot3(c2_ll(:,2),c2_ll(:,1),c2_ll(:,3),'k','LineWidth',2);
96 % plot3([T1_ll(2),T2_ll(2)],[T1_ll(1),T2_ll(1)],[T1_ll(3),T2_ll(3)],'k','LineWidth',2);
97 % plot3([T3_ll(2),T4_ll(2)],[T3_ll(1),T4_ll(1)],[T3_ll(3),T4_ll(3)],'k','LineWidth',2);
98
99 %% PLOT OBSTACULOS
100 % Carga los datos del struct 'wp' creado con la información de obstáculos de la
101 % tabla de datos del AIP mediante el script 'Raster_Hierro' y los
102 % visualiza.
103
104 load obstaculos.mat
105
106 for i=1:numel(wp)
107     scatter3(wp(i).lon, wp(i).lat, wp(i).alt,'white','filled')
108 end
109
110 %% PLOT VSS (APV y LNAV)
111 % Carga los datos obtenidos del calculo de las VSS en 'vss.m' y representa
112 % las superficies sobre el raster.
113
114 load vss.mat
115
116 %% VSS
117 patch(lon_vss_noapv_16, lat_vss_noapv_16, z_vss_noapv_16, 'r', 'FaceAlpha', .5);
118 patch(lon_vss_noapv_34, lat_vss_noapv_34, z_vss_noapv_34, 'r', 'FaceAlpha', .5);
119 % VSS APV
120 patch(lon_vss_apv_16, lat_vss_apv_16, z_vss_apv_16, 'r', 'FaceAlpha', .4);
121 patch(lon_vss_apv_34, lat_vss_apv_34, z_vss_apv_34, 'r', 'FaceAlpha', .4);
122
123 %% PLOT TRAMOS RNP-VPT
124 % Carga de datos y visualización de los tramos de la aproximación RNP-VPT.
125 % Incluye el radial 228 sobre el que se ha trabajado en la memoria así como
126 % los circuitos de maniobra de derrota prescrita, tramos RNP y ubicación de
127 % los puntos de la aproximación (IAF, IF, FAF, MAPt).
128
129 load vpt_datos.mat
130
131 % plot3(vertices_ndb_line_ll(:,2), vertices_ndb_line_ll(:,1), vertices_ndb_line_ll(:,3),
132 % 'k-','LineWidth',3);
133 load circuito_vpt.mat

```

```

135 % Circuito VPT 16
136 plot3(c1_1611(:,2),c1_1611(:,1),c1_1611(:,3),'r-.', 'LineWidth',3); hold on;
137 plot3(c2_1611(:,2),c2_1611(:,1),c2_1611(:,3),'r-.', 'LineWidth',3);
138 plot3([T1_1611(2),T2_1611(2)],[T1_1611(1),T2_1611(1)],[T1_1611(3),T2_1611(3)],'r-.', 'LineWidth',3);
139 plot3([T3_1611(2),T4_1611(2)],[T3_1611(1),T4_1611(1)],[T3_1611(3),T4_1611(3)],'r-.', 'LineWidth',3);
% Circuito VPT 16 + protección área exterior
141 plot3(c1_1611_sec(:,2),c1_1611_sec(:,1),c1_1611_sec(:,3),'r:', 'LineWidth',2); hold on;
142 plot3(c2_1611_sec(:,2),c2_1611_sec(:,1),c2_1611_sec(:,3),'r:', 'LineWidth',2);
143 plot3([T1_1611_sec(2),T2_1611_sec(2)],[T1_1611_sec(1),T2_1611_sec(1)],[T1_1611_sec(3),
    T2_1611_sec(3)],'r:', 'LineWidth',2);
plot3([T3_1611_sec(2),T4_1611_sec(2)],[T3_1611_sec(1),T4_1611_sec(1)],[T3_1611_sec(3),
    T4_1611_sec(3)],'r:', 'LineWidth',2);
145 % Circuito VPT 34
146 plot3(c1_3411(:,2),c1_3411(:,1),c1_3411(:,3),'b-.', 'LineWidth',3); hold on;
147 plot3(c2_3411(:,2),c2_3411(:,1),c2_3411(:,3),'b-.', 'LineWidth',3);
plot3([T1_3411(2),T2_3411(2)],[T1_3411(1),T2_3411(1)],[T1_3411(3),T2_3411(3)],'b-.', 'LineWidth',3);
149 plot3([T3_3411(2),T4_3411(2)],[T3_3411(1),T4_3411(1)],[T3_3411(3),T4_3411(3)],'b-.', 'LineWidth',3);
% Circuito VPT 34 + protección área exterior
151 plot3(c1_3411_sec(:,2),c1_3411_sec(:,1),c1_3411_sec(:,3),'b:', 'LineWidth',2); hold on;
152 plot3(c2_3411_sec(:,2),c2_3411_sec(:,1),c2_3411_sec(:,3),'b:', 'LineWidth',2);
153 plot3([T1_3411_sec(2),T2_3411_sec(2)],[T1_3411_sec(1),T2_3411_sec(1)],[T1_3411_sec(3),
    T2_3411_sec(3)],'b:', 'LineWidth',2);
plot3([T3_3411_sec(2),T4_3411_sec(2)],[T3_3411_sec(1),T4_3411_sec(1)],[T3_3411_sec(3),
    T4_3411_sec(3)],'b:', 'LineWidth',2);
155 % PLOT TRAMOS
157
% Inicial 34
158 patch(lon_apinicial_vpt34, lat_apinicial_vpt34, z_apinicial_vpt34, 'r', 'FaceAlpha', .5);
patch(lon_apinicial_vpt34_s1, lat_apinicial_vpt34_s1, z_apinicial_vpt34_s1, 'r', 'FaceAlpha', .3);
160 patch(lon_apinicial_vpt34_s2, lat_apinicial_vpt34_s2, z_apinicial_vpt34_s2, 'r', 'FaceAlpha', .3);
% Final 34
161 patch(lon_apfinal_vpt34, lat_apfinal_vpt34, z_apfinal_vpt34, 'g', 'FaceAlpha', .5);
patch(lon_apfinal_vpt34_s1, lat_apfinal_vpt34_s1, z_apfinal_vpt34_s1, 'g', 'FaceAlpha', .3);
163 patch(lon_apfinal_vpt34_s2, lat_apfinal_vpt34_s2, z_apfinal_vpt34_s2, 'g', 'FaceAlpha', .3);
% Intermedia 34
164 patch(lon_apintermedia_vpt34, lat_apintermedia_vpt34, z_apintermedia_vpt34, 'y', 'FaceAlpha', .5);
patch(lon_apintermedia_vpt34_s1, lat_apintermedia_vpt34_s1, z_apintermedia_vpt34_s1, 'y', 'FaceAlpha', .3);
166 patch(lon_apintermedia_vpt34_s2, lat_apintermedia_vpt34_s2, z_apintermedia_vpt34_s2, 'y', 'FaceAlpha', .3);
% Transicion 34
167 patch(lon_transfinal_vpt34, lat_transfinal_vpt34, z_transfinal_vpt34, 'c', 'FaceAlpha', .5);
patch(lon_transfinal_vpt34_ll_s1, lat_transfinal_vpt34_ll_s1, z_transfinal_vpt34_ll_s1, 'c', 'FaceAlpha', .3);
169 patch(lon_transfinal_vpt34_ll_s2, lat_transfinal_vpt34_ll_s2, z_transfinal_vpt34_ll_s2, 'c', 'FaceAlpha', .3);
% arco pequeño 34
170 patch(arco_peqrnp_34(:,2), arco_peqrnp_34(:,1), arco_peqrnp_34(:,3), 'y', 'FaceAlpha', .5);
% arco grande 34
171 patch(arco_grandernp_34(:,2), arco_grandernp_34(:,1), arco_grandernp_34(:,3), 'y', 'FaceAlpha', .5);
173 % Inicial 16
patch(lon_apinicial_vpt16, lat_apinicial_vpt16, z_apinicial_vpt16, 'r', 'FaceAlpha', .5);
patch(lon_apinicial_vpt16_s1, lat_apinicial_vpt16_s1, z_apinicial_vpt16_s1, 'r', 'FaceAlpha', .3);

```

```

    FaceAlpha', .3);
patch(lon_apinicial_vpt16_s2, lat_apinicial_vpt16_s2, z_apinicial_vpt16_s2, 'r', ,
      FaceAlpha', .3);
183 % Final 16
patch(lon_apfinal_vpt16, lat_apfinal_vpt16, z_apfinal_vpt16, 'g', 'FaceAlpha', .5);
185 patch(lon_apfinal_vpt16_s1, lat_apfinal_vpt16_s1, z_apfinal_vpt16_s1, 'g', 'FaceAlpha',
      .3);
patch(lon_apfinal_vpt16_s2, lat_apfinal_vpt16_s2, z_apfinal_vpt16_s2, 'g', 'FaceAlpha',
      .3);
187 % Intermedia 16
patch(lon_apintermedia_vpt16, lat_apintermedia_vpt16, z_apintermedia_vpt16, 'y', ,
      FaceAlpha', .5);
189 patch(lon_apintermedia_vpt16_s1, lat_apintermedia_vpt16_s1, z_apintermedia_vpt16_s1, 'y',
      'FaceAlpha', .3);
patch(lon_apintermedia_vpt16_s2, lat_apintermedia_vpt16_s2, z_apintermedia_vpt16_s2, 'y',
      'FaceAlpha', .3);
191 % Transicion 16
patch(lon_transfinal_vpt16, lat_transfinal_vpt16, z_transfinal_vpt16, 'c', 'FaceAlpha',
      .5);
193 patch(lon_transfinal_vpt16_ll_s1, lat_transfinal_vpt16_ll_s1, z_transfinal_vpt16_ll_s1, 'c',
      'FaceAlpha', .3);
patch(lon_transfinal_vpt16_ll_s2, lat_transfinal_vpt16_ll_s2, z_transfinal_vpt16_ll_s2, 'c',
      'FaceAlpha', .3);
195 % % arco pequeño 16
patch(arco_peqrnp_16(:,2), arco_peqrnp_16(:,1), arco_peqrnp_16(:,3), 'y', 'FaceAlpha',
      .5);
197 % arco grande 16
patch(arco_grandernp_16(:,2), arco_grandernp_16(:,1), arco_grandernp_16(:,3), 'y', ,
      FaceAlpha', .5);
199

201 % WAYPOINTS RNP (FAF, IF, ETC)
% FAF 34
203 scatter3(xfaf_34_rnp_point_ll(2), xfaf_34_rnp_point_ll(1), xfaf_34_rnp_point_ll(3), 40,
      "black", "o", "filled")
text(xfaf_34_rnp_point_ll(2)+0.005, xfaf_34_rnp_point_ll(1)+0.005, xfaf_34_rnp_point_ll(3)
      +300, 'FAF34 RNP', 'Color', 'red', 'FontSize', 10)
205 % IF 34
scatter3(xif_34_rnp_point_ll(2), xif_34_rnp_point_ll(1), xif_34_rnp_point_ll(3), 40, "black
      ", "o", "filled")
207 text(xif_34_rnp_point_ll(2)+0.005, xif_34_rnp_point_ll(1)+0.005, xif_34_rnp_point_ll(3)
      +300, 'IF34 RNP', 'Color', 'red', 'FontSize', 10)
% IAF 34
209 scatter3(xiaf_34_rnp_point_ll(2), xiaf_34_rnp_point_ll(1), xiaf_34_rnp_point_ll(3), 40,
      "black", "o", "filled")
text(xiaf_34_rnp_point_ll(2)+0.005, xiaf_34_rnp_point_ll(1)+0.005, xiaf_34_rnp_point_ll(3)
      +300, 'IAF34 RNP', 'Color', 'red', 'FontSize', 10)
211 % MAPt 34
scatter3(xmapt_34_rnp_point_ll(2), xmapt_34_rnp_point_ll(1), xmapt_34_rnp_point_ll(3), 40,
      "black", "o", "filled")
213 text(xmapt_34_rnp_point_ll(2)+0.005, xmapt_34_rnp_point_ll(1)+0.005, xmapt_34_rnp_point_ll
      (3)+300, 'MAPt34 RNP', 'Color', 'red', 'FontSize', 10)

215 % 16
% FAF 16
217 scatter3(xfaf_16_rnp_point_ll(2), xfaf_16_rnp_point_ll(1), xfaf_16_rnp_point_ll(3), 40,
      "black", "o", "filled")
text(xfaf_16_rnp_point_ll(2)+0.005, xfaf_16_rnp_point_ll(1)+0.005, xfaf_16_rnp_point_ll(3)
      +300, 'FAF16 RNP', 'Color', 'red', 'FontSize', 10)
219 % IF 16
scatter3(xif_16_rnp_point_ll(2), xif_16_rnp_point_ll(1), xif_16_rnp_point_ll(3), 40, "black
      ", "o", "filled")
221 text(xif_16_rnp_point_ll(2)+0.005, xif_16_rnp_point_ll(1)+0.005, xif_16_rnp_point_ll(3)
      +300, 'IF16 RNP', 'Color', 'red', 'FontSize', 10)
% IAF 16
223 scatter3(xiaf_16_rnp_point_ll(2), xiaf_16_rnp_point_ll(1), xiaf_16_rnp_point_ll(3), 40,
      "black", "o", "filled")
text(xiaf_16_rnp_point_ll(2)+0.005, xiaf_16_rnp_point_ll(1)+0.005, xiaf_16_rnp_point_ll(3)

```

```

    +300,'IAF16 RNP','Color','red','FontSize',10)
225 % MAPt 16
scatter3(xmapt_16_rnp_point_ll(2), xmapt_16_rnp_point_ll(1),xmapt_16_rnp_point_ll(3),40,"black","o","filled")
227 text(xmapt_16_rnp_point_ll(2)+0.005, xmapt_16_rnp_point_ll(1)+0.005,xmapt_16_rnp_point_ll(3)+300,'MAPT16 RNP','Color','red','FontSize',10)
%% PLOT TRAMOS LNAV
229 % Se cargan las superficies que forman los distintos tramos de la
% aproximación LNAV. Los arcos pertenecientes al viraje sobre el IF se
231 % importan separados.

233 load tramos.mat

235 % PISTA 16
% Tramo inicial 16
237 patch(lon_apinicial_16, lat_apinicial_16, z_apinicial_16, 'r', 'FaceAlpha', .5);
patch(lon_apinicial_16_s1, lat_apinicial_16_s1, z_apinicial_16_s1, 'r', 'FaceAlpha', .3);
239 patch(lon_apinicial_16_s2, lat_apinicial_16_s2, z_apinicial_16_s2, 'r', 'FaceAlpha', .3);
% Tramo intermedia 16
241 patch(lon_apintermedia_16, lat_apintermedia_16, z_apintermedia_16, 'y', 'FaceAlpha', .5);
patch(lon_apintermedia_16_s1, lat_apintermedia_16_s1, z_apintermedia_16_s1, 'y', 'FaceAlpha', .3);
243 patch(lon_apintermedia_16_s2, lat_apintermedia_16_s2, z_apintermedia_16_s2, 'y', 'FaceAlpha', .3);
% Tramo frustrada 16
245 patch(lon_apfrustrada_16, lat_apfrustrada_16, z_apfrustrada_16, 'c', 'FaceAlpha', .5);
patch(lon_apfrustrada_16_s1, lat_apfrustrada_16_s1, z_apfrustrada_16_s1, 'c', 'FaceAlpha', .3);
247 patch(lon_apfrustrada_16_s2, lat_apfrustrada_16_s2, z_apfrustrada_16_s2, 'c', 'FaceAlpha', .3);
% Tramo frustrada intermedia 16
249 patch(lon_apfrustrada_16_i, lat_apfrustrada_16_i, z_apfrustrada_16_i, 'c', 'FaceAlpha', .5);
patch(lon_apfrustrada_16_s1_i, lat_apfrustrada_16_s1_i, z_apfrustrada_16_s1_i, 'c', 'FaceAlpha', .3);
251 patch(lon_apfrustrada_16_s2_i, lat_apfrustrada_16_s2_i, z_apfrustrada_16_s2_i, 'c', 'FaceAlpha', .3);
% Tramo final 16
253 patch(lon_apfinal_16, lat_apfinal_16, z_apfinal_16, 'g', 'FaceAlpha', .5);
patch(lon_apfinal_16_s1, lat_apfinal_16_s1, z_apfinal_16_s1, 'g', 'FaceAlpha', .3);
255 patch(lon_apfinal_16_s2, lat_apfinal_16_s2, z_apfinal_16_s2, 'g', 'FaceAlpha', .3);
% Tramo frustrada final16
257 patch(lon_apfrustrada_16_s2_f, lat_apfrustrada_16_s2_f, z_apfrustrada_16_s2_f, 'k', 'FaceAlpha', .5);
patch(lon_apfrustrada_16_s1_f, lat_apfrustrada_16_s1_f, z_apfrustrada_16_s1_f, 'k', 'FaceAlpha', .5);
259 patch(lon_apfrustrada_16_f, lat_apfrustrada_16_f, z_apfrustrada_16_f, 'k', 'FaceAlpha', .5);
% arco pequeño 16
261 patch(arco_peq_16(:,2), arco_peq_16(:,1), arco_peq_16(:,3), 'y', 'FaceAlpha', .5);
% arco grande 16
263 patch(arco_grande_16(:,2), arco_grande_16(:,1), arco_grande_16(:,3), 'y', 'FaceAlpha', .5);

265 % PISTA 34

267 % Tramo frustrada 34
patch(lon_apfrustrada_34, lat_apfrustrada_34, z_apfrustrada_34, 'c', 'FaceAlpha', .5);
269 patch(lon_apfrustrada_34_s1, lat_apfrustrada_34_s1, z_apfrustrada_34_s1, 'c', 'FaceAlpha', .3);
patch(lon_apfrustrada_34_s2, lat_apfrustrada_34_s2, z_apfrustrada_34_s2, 'c', 'FaceAlpha', .3);
271 % Tramo frustrada intermedia 34
patch(lon_apfrustrada_34_i, lat_apfrustrada_34_i, z_apfrustrada_34_i, 'c', 'FaceAlpha', .5);
273 patch(lon_apfrustrada_34_s1_i, lat_apfrustrada_34_s1_i, z_apfrustrada_34_s1_i, 'c', 'FaceAlpha', .3);
patch(lon_apfrustrada_34_s2_i, lat_apfrustrada_34_s2_i, z_apfrustrada_34_s2_i, 'c', .
```

```

    FaceAlpha', .3);
275 % Tramo inicial 34
patch(lon_apinicial_34, lat_apinicial_34, z_apinicial_34, 'r', 'FaceAlpha', .5);
277 patch(lon_apinicial_34_s1, lat_apinicial_34_s1, z_apinicial_34_s1, 'r', 'FaceAlpha', .3);
patch(lon_apinicial_34_s2, lat_apinicial_34_s2, z_apinicial_34_s2, 'r', 'FaceAlpha', .3);
279 % Tramo intermedia 34
patch(lon_apintermedia_34, lat_apintermedia_34, z_apintermedia_34, 'y', 'FaceAlpha', .5);
281 patch(lon_apintermedia_34_s1, lat_apintermedia_34_s1, z_apintermedia_34_s1, 'y', 'FaceAlpha', .3);
patch(lon_apintermedia_34_s2, lat_apintermedia_34_s2, z_apintermedia_34_s2, 'y', 'FaceAlpha', .3);
283 % Tramo final 34
patch(lon_apfinal_34, lat_apfinal_34, z_apfinal_34, 'g', 'FaceAlpha', .5);
285 patch(lon_apfinal_34_s1, lat_apfinal_34_s1, z_apfinal_34_s1, 'g', 'FaceAlpha', .3);
patch(lon_apfinal_34_s2, lat_apfinal_34_s2, z_apfinal_34_s2, 'g', 'FaceAlpha', .3);
287 % Tramo frustrada final 34
patch(lon_apfrustrada_34_s2_f, lat_apfrustrada_34_s2_f, z_apfrustrada_34_s2_f, 'k', 'FaceAlpha', .4);
289 patch(lon_apfrustrada_34_s1_f, lat_apfrustrada_34_s1_f, z_apfrustrada_34_s1_f, 'k', 'FaceAlpha', .3);
patch(lon_apfrustrada_34_f, lat_apfrustrada_34_f, z_apfrustrada_34_f, 'k', 'FaceAlpha', .3);
291 % arco pequeño 34
patch(arco_peq_34(:,2), arco_peq_34(:,1), arco_peq_34(:,3), 'y', 'FaceAlpha', .5);
293 % arco grande 34
patch(arco_grande_34(:,2), arco_grande_34(:,1), arco_grande_34(:,3), 'y', 'FaceAlpha', .5);
295 %% PLOT OAS APV I
297 % Se cargan los datos de las superficies OAS para la aproximación LPV para
% ambas pistas. A continuación se representa sobre el raster.
299
load tramos_oas_apv.mat
301
% 34 OAS APV
303 patch(lon_x2_oas_34, lat_x2_oas_34, z_x2_oas_34, 'c', 'FaceAlpha', .5);
patch(lon_x1_oas_34, lat_x1_oas_34, z_x1_oas_34, 'c', 'FaceAlpha', .5);
305 patch(lon_y2_oas_34, lat_y2_oas_34, z_y2_oas_34, 'c', 'FaceAlpha', .5);
patch(lon_y1_oas_34, lat_y1_oas_34, z_y1_oas_34, 'c', 'FaceAlpha', .5);
307 patch(lon_w_oas_34, lat_w_oas_34, z_w_oas_34, 'c', 'FaceAlpha', .5);
patch(lon_wp_oas_34, lat_wp_oas_34, z_wp_oas_34, 'c', 'FaceAlpha', .5);
309 patch(lon_de_oas_34, lat_de_oas_34, z_de_oas_34, 'c', 'FaceAlpha', .5);
patch(lon_cd_oas_34, lat_cd_oas_34, z_cd_oas_34, 'c', 'FaceAlpha', .5);
311 patch(lon_z_oas_34, lat_z_oas_34, z_z_oas_34, 'c', 'FaceAlpha', .5);
% % 16 OAS APV
313 patch(lon_x2_oas_16, lat_x2_oas_16, z_x2_oas_16, 'y', 'FaceAlpha', .7);
patch(lon_x1_oas_16, lat_x1_oas_16, z_x1_oas_16, 'y', 'FaceAlpha', .7);
315 patch(lon_y2_oas_16, lat_y2_oas_16, z_y2_oas_16, 'y', 'FaceAlpha', .7);
patch(lon_y1_oas_16, lat_y1_oas_16, z_y1_oas_16, 'y', 'FaceAlpha', .7);
317 patch(lon_w_oas_16, lat_w_oas_16, z_w_oas_16, 'y', 'FaceAlpha', .7);
patch(lon_wp_oas_16, lat_wp_oas_16, z_wp_oas_16, 'y', 'FaceAlpha', .7);
319 patch(lon_de_oas_16, lat_de_oas_16, z_de_oas_16, 'y', 'FaceAlpha', .7);
patch(lon_cd_oas_16, lat_cd_oas_16, z_cd_oas_16, 'y', 'FaceAlpha', .7);
321 patch(lon_z_oas_16, lat_z_oas_16, z_z_oas_16, 'y', 'FaceAlpha', .7);

323 %% PLOT PUNTOS LNAV
325 % Se obtiene la ubicación de los puntos de la aproximación LNAV y se
% representan mediante la función scatter sobre el raster.

327 % Plot Mmaps
scatter3(xmapt_16_lnav_point_ll(2), xmapt_16_lnav_point_ll(1), xmapt_16_lnav_point_ll(3)
,40,"black","o","filled")
329 text(xmapt_16_lnav_point_ll(2)+0.005, xmapt_16_lnav_point_ll(1)+0.005,
xmapt_16_lnav_point_ll(3)+300,'MAPT16','Color','red','FontSize',10)
scatter3(xmapt_34_lnav_point_ll(2), xmapt_34_lnav_point_ll(1), xmapt_34_lnav_point_ll(3)
,40,"black","o","filled")
331 text(xmapt_34_lnav_point_ll(2)+0.005, xmapt_34_lnav_point_ll(1)+0.005,
xmapt_34_lnav_point_ll(3)+300,'MAPT34','Color','red','FontSize',10)

```

```

333 % Plot SOCs (LNAV)
333 scatter3(xsoc_16_lnav_point_ll(2), xsoc_16_lnav_point_ll(1), xsoc_16_lnav_point_ll(3), 20, "black", "o", "filled")
333 text(xsoc_16_lnav_point_ll(2)+0.005, xsoc_16_lnav_point_ll(1)+0.005, xsoc_16_lnav_point_ll(3)+300, 'SOC16', 'Color', 'black', 'FontSize', 10)
335 scatter3(xsoc_34_lnav_point_ll(2), xsoc_34_lnav_point_ll(1), xsoc_34_lnav_point_ll(3), 20, "black", "o", "filled")
335 text(xsoc_34_lnav_point_ll(2)+0.005, xsoc_34_lnav_point_ll(1)+0.005, xsoc_34_lnav_point_ll(3)+300, 'SOC34', 'Color', 'black', 'FontSize', 10)
337 % Plot FAFs (LNAV)
337 scatter3(xfaf_16_lnav_point_ll(2), xfaf_16_lnav_point_ll(1), xfaf_16_lnav_point_ll(3), 40, "black", "o", "filled")
339 text(xfaf_16_lnav_point_ll(2)+0.005, xfaf_16_lnav_point_ll(1)+0.005, xfaf_16_lnav_point_ll(3)+300, 'FAF16', 'Color', 'red', 'FontSize', 10)
339 scatter3(xfaf_34_lnav_point_ll(2), xfaf_34_lnav_point_ll(1), xfaf_34_lnav_point_ll(3), 40, "black", "o", "filled")
341 text(xfaf_34_lnav_point_ll(2)+0.005, xfaf_34_lnav_point_ll(1)+0.005, xfaf_34_lnav_point_ll(3)+300, 'FAF34', 'Color', 'red', 'FontSize', 10)
343 % Plot IFs (LNAV)
343 scatter3(xif_16_lnav_point_ll(2), xif_16_lnav_point_ll(1), xif_16_lnav_point_ll(3), 40, "black", "o", "filled")
343 text(xif_16_lnav_point_ll(2)+0.005, xif_16_lnav_point_ll(1)+0.005, xif_16_lnav_point_ll(3)+300, 'IF16', 'Color', 'red', 'FontSize', 10)
345 scatter3(xif_34_lnav_point_ll(2), xif_34_lnav_point_ll(1), xif_34_lnav_point_ll(3), 40, "black", "o", "filled")
345 text(xif_34_lnav_point_ll(2)+0.005, xif_34_lnav_point_ll(1)+0.005, xif_34_lnav_point_ll(3)+300, 'IF34', 'Color', 'red', 'FontSize', 10)
347 % Plot IAFs (LNAV)
347 scatter3(xiaf_16_lnav_point_ll(2), xiaf_16_lnav_point_ll(1), xiaf_16_lnav_point_ll(3), 40, "black", "o", "filled")
349 text(xiaf_16_lnav_point_ll(2)+0.005, xiaf_16_lnav_point_ll(1)+0.005, xiaf_16_lnav_point_ll(3)+300, 'IAF16', 'Color', 'red', 'FontSize', 10)
349 scatter3(xiaf_34_lnav_point_ll(2), xiaf_34_lnav_point_ll(1), xiaf_34_lnav_point_ll(3), 40, "black", "o", "filled")
351 text(xiaf_34_lnav_point_ll(2)+0.005, xiaf_34_lnav_point_ll(1)+0.005, xiaf_34_lnav_point_ll(3)+300, 'IAF34', 'Color', 'red', 'FontSize', 10)

```

Bibliografía

- [1] ENAIRE: *Servicio de Información Aeronáutica*. Informe técnico, Ministerio de Transportes, Enero 2024.
- [2] *Plan Director del aeropuerto de El Hierro*. Informe técnico, Ministerio de Transportes, 2021.
- [3] Yuste Pérez, Pedro: *Apuntes de la asignatura Gestión del Espacio Aéreo II - ETSID (UPV)*. Universidad Politécnica de Valencia - Escuela Técnica Superior de Ingeniería del Diseño, 2024.
- [4] OACI: *Doc. 8168 OPS/611 Aircraft Operations Volume II - Construction of Visual and Instrument Flight Procedures*. International Civil Aviation Organization, 2014 - Sixth Edition.
- [5] INT, ICAO: *PANS OPS OAS*. <http://www.icao.int/safety/AirNavigation/OPS/PANS-OPS-OAS-Software.aspx>, Abril 2024.
- [6] IGN: *Instituto Geográfico Nacional*. <https://www.ign.es/web/ign/portal>, Febrero 2024.
- [7] OACI: *Anexo 14. Aeródromos, Volumen 1*. International Civil Aviation Organization, 2016 - Séptima edición.
- [8] Wikipedia: *Aeropuerto El Hierro*. https://es.wikipedia.org/wiki/Aeropuerto_de_El_Hierro, Mayo 2024.
- [9] ISTAC: *Instituto Canario de Estadística*. <https://www.gobiernodecanarias.org>, Abril 2024.
- [10] OACI: *Doc. 9613 AN/937 Performance-based Navigation (PBN) Manual*. International Civil Aviation Organization, 2013 - Fourth Edition.

